

UNIVERSITATEA "POLITEHNICA" DIN TIMIȘOARA

FACULTATEA DE ELECTRONICĂ ȘI TELECOMUNICAȚII

Ing. ROBERT PAZSITKA

**CONTRIBUȚII LA EȘANTIONAREA
ȘI ANALIZA SPECTRALĂ A
SEMNALELOR**

TEZĂ DE DOCTORAT

CONDUCĂTOR ȘTIINȚIFIC:
Prof. Dr. Ing. ALIMPIE IGNEA

BIBLIOTECA ȘTIINȚIFICĂ
volum 664.717
369 IP E

TIMIȘOARA

2004

Doresc să aduc mulțumiri domnului prof. dr. ing. Eugen Pop, sub îndrumarea căruia am început lucrul pentru realizarea prezentei teze de doctorat, care a știut să-mi dea sfaturi utile și posibile rezolvări ale unor probleme apărute.

Faptul că am ajuns la finalizarea tezei sub prezenta formă o datorez în primul rând conducătorului științific, prof. dr. ing. Alimpie Ignea, care a avut răbdarea de a parcurge capitolele din teză, de a-mi face observații și de a-mi da sfaturi pentru rezolvarea anumitor probleme aparute, atât de ordin tehnic cât și din punct de vedere al redactării tezei.

Doresc de asemenea să aduc mulțumiri domnului prof. dr. ing. Liviu Toma pentru ajutorul acordat în lămurirea unor probleme de ordin tehnic.

Un cuvânt de mulțumire doresc să adresez și domnilor prof. dr. ing. Dan Stoiciu, prof. dr. ing. Traian Jurca și dr. ing. Peter Kiss care, atunci când am avut nevoie de ajutor pentru redactarea articolelor în engleză, pentru accesul la un sistem de calcul performant sau pentru obținerea bibliografiei, mi-au oferit sprijinul lor.

De asemenea doresc să aduc mulțumiri familiei și celorlalți colegi de lucru, pentru înțelegerea de care au dat dovadă pe parcursul elaborării tezei de doctorat.

Autorul

CUPRINS

1 EȘANTIONAREA	1
1.1 Introducere	1
1.2 Teorema WKS (sau teorema eșantionării)	1
1.3 Eșantionarea funcțiilor (semnalelor) periodice	3
1.4 Erori de eșantionare	7
1.4.1 Erori de aliere	8
1.5 Erori la eșantionarea funcțiilor periodice	9
2 EȘANTIONAREA SEMNALELOR PERIODICE PE MAI MULTE PERIOADE	16
2.1 Introducere	16
2.2 Reducerea frecvenței de eșantionare a semnalelor periodice	19
2.3 Eșantionarea semnalelor periodice pe M perioade	23
2.3.1 Cazul – N număr <i>par</i>	23
2.3.2 Cazul – N număr <i>impar</i>	24
3 FUNCȚII PARE, FUNCȚII IMPARE	29
3.1 Introducere	29
3.2 Funcții pare și impare	29
3.3 Serii de cosinusuri și serii de sinusuri	32
3.4 Funcții pare	34
3.5 Funcții impare	39
3.6 Cazul general – funcție periodică oarecare	44
3.7 Obținerea eșantioanelor necesare pentru calculul coeficienților Fourier în cazul semnalelor pare. respectiv impare	45
3.7.1 Prelevarea a $2K+1$ eșantioane dintr-o perioadă și utilizarea doar a primelor $K+1$ eșantioane	45
3.7.2 Prelevarea eșantioanelor necesare utilizând un pas de eșantionare mărit	46
3.7.3 Începerea procesului de eșantionare de la un moment diferit de momentul zero	47
3.8 Exemplu de calcul, funcții pare și impare	52
4 STUDIUL SEMNALELOR NEPERIODICE. PERIODICIZAREA UNUI SET DE EȘANTIOANE	57
4.1 Introducere	57
4.2 Periodicizare prin repetare	57
4.3 Periodicizare prin oglindire și repetare	61
4.4 Prelucrarea semnalului pe segmente parțial suprapuse	72
5 EȘANTIONAREA SEMNALELOR PERIODICE TRECE BANDĂ	85
5.1 Introducere	85
5.2 Eșantionarea semnalelor periodice de tip trece bandă	85
5.3 Condiții suplimentare pentru utilizarea numărului minim de eșantioane	95
5.4 Eșantionarea semnalelor periodice trece bandă obținute prin modulare	97

5.5 Exemplu numeric	105
CONCLUZII FINALE ȘI CONTRIBUȚII	110
BIBLIOGRAFIE	116
ANEXE	
Anexa A – Calculul coeficienților Fourier a_k corespunzători unui semnal periodic și par	121
Anexa B - Calculul coeficienților Fourier b_k corespunzători unui semnal periodic și impar	124
Anexa C – Calculul termenilor N, M_1, M_2, m_1, m_0 pentru un semnal de tip trece bandă	127
Anexa D – Program ce implementează relația (5.31)	130
Anexa E - Calculul numărului N pentru un semnal trece bandă obținut prin modulare în amplitudine	133
Anexa F – Program pentru calculul numărului N conform teoremei din paragraful 5.2	134

LISTA FIGURILOR

Fig. 1.1 Suprapunerea spectrelor în cazul subeșantionării	8
Fig. 1.2 Spectrul unui semnal periodic fără componentă continuă, cu fundamentala f_0 și $K=5$, eșantionat cu frecvența f_{emn}	9
Fig. 1.3 Spectrul unui semnal periodic fără componentă continuă, cu fundamentala f_0 și $K=5$, eșantionat cu frecvența $f_{e1} = f_{emn} - 2,5f_0$	9
Fig. 2.1 Prelevarea de eșantioane adiacente din perioade succesive	18
Fig. 2.2 Eșantionarea unui semnal periodic cu $K=3$, pe două perioade	25
Fig. 2.3 Prelevarea unui număr par de eșantioane de pe două perioade ale unui semnal periodic	27
Fig. 3.1 Funcție pară	29
Fig. 3.2 Funcție impară	30
Fig. 3.3 Semnal periodic par format din fundamentală și armonica $K=4$, $N=2K+1=9$	36
Fig. 3.4 Semnal periodic par format din fundamentală și armonica $K=4$, $N=2K+2=10$	37
Fig. 3.5 Semnal periodic impar format din fundamentală și armonica $K=4$, $N=2K+1=9$	42
Fig. 3.6 Semnal periodic impar format din fundamentală și armonica $K=4$, $N=2K-2=10$	43
Fig. 4.1 Semnal rampă în domeniu $[-\pi, \pi]$	58
Fig. 4.2 Semnalul inițial (linie continuă) pe perioada T și respectiv reconstituit (linie întreruptă) în intervalul $0 \div 4T$	59
Fig. 4.3 Eroarea absolută făcută la reconstrucția semnalului rampă în intervalul $0 \div T - T_c/2$	60
Fig. 4.4 Semnalul rampă $x(t)$ și semnalul $xpar(t)$ rezultat prin oglindire	61
Fig. 4.5 O perioadă din semnalul $xpar(t)$ (linie continuă de la 0 la 2) și reconstrucția sa (linie întreruptă de la 0 la 4). $K=5$	62
Fig. 4.6 Eroarea absolută la reconstrucția secvenței din semnalul analizat	63
Fig. 4.7 Semnalul $xpar(t)$ (linie continuă de la 0 la 2) și reconstrucția sa (linie întreruptă de la 0 la 4), $K=5$	67
Fig. 4.8 Eroarea absolută la reconstrucția secvenței din semnalul analizat	67
Fig. 4.9 Semnal sinusoidal, $T_c=0,25$, $K=5$. a) periodicizare prin repetare, b) periodicizare prin oglindire și repetare	69
Fig. 4.10 Semnal sinusoidal, $T_c=0,375$, $K=5$. a) periodicizare prin repetare, b) periodicizare prin oglindire și repetare	69
Fig. 4.11 Semnal sinusoidal, $T_c=0,375$, $K=15$. a) periodicizare prin repetare, b) periodicizare prin oglindire și repetare	69
Fig. 4.12 Semnal sinusoidal, $T_c=0,75$, $K=5$. a) periodicizare prin repetare, b) periodicizare prin oglindire și repetare	69
Fig. 4.13 Semnal sinusoidal, $T_c=1$, $K=5$. a) periodicizare prin repetare, b) periodicizare prin oglindire și repetare	70
Fig. 4.14 Prezentarea grafică a intervalelor de observație IO și a intervalelor de reconstrucție IR	72
Fig. 4.15 Semnalul rampă (linie continuă) și reconstrucția sa (linie întreruptă) pe o perioadă $T=1$, periodicizare prin repetare	73

Fig. 4.16 Semnalul rampă și reconstrucția sa pe o perioadă $T=1$, periodicizare prin oglindire și repetare	74
Fig. 4.17 Semnalul rampă $x(t)$ și reconstrucția sa $x_{ref}(t)$ pe două IR ($IR=IO$), periodicizare prin repetare, $K=10$	75
Fig. 4.18 Eroarea absolută la reconstrucția semnalului rampă pe două IR ($IR=IO$), periodicizare prin repetare $K=10$	75
Fig. 4.19 Semnalul rampă $x(t)$ și reconstrucția sa $x_{refa}(t)$ pe două IR ($IR=IO$), periodicizare prin oglindire și repetare, $K=10$	76
Fig. 4.20 Eroarea absolută la reconstrucția semnalului rampă pe două IR ($IR=IO$), periodicizare prin oglindire și repetare $K=10$	76
Fig. 4.21 Reconstrucția semnalului rampă pe două IR , $IR<IO$ cu $2 \cdot T_e$, periodicizare prin repetare, $K=10$	76
Fig. 4.22 Eroarea absolută la reconstrucția semnalului rampă pe două IR , $IR<IO$ cu $2 \cdot T_e$, periodicizare prin repetare, $K=10$	77
Fig. 4.23 Semnalul rampă $x(t)$ și reconstrucția sa $x_{ref}(t)$ pe două IR ($IR=IO-T_e$), periodicizare prin repetare, $K=10$	78
Fig. 4.24 Eroarea absolută la reconstrucția semnalului rampă pe două IR ($IR=IO-T_e$), periodicizare prin repetare, $K=10$	78
Fig. 4.25 Semnalul rampă $x(t)$ și reconstrucția sa $x_{refa}(t)$ pe două IR ($IR=IO-T_e$), periodicizare prin oglindire și repetare, $K=10$	79
Fig. 4.26 Eroarea absolută la reconstrucția semnalului rampă pe două IR ($IR=IO-T_e$), periodicizare prin oglindire și repetare, $K=10$	79
Fig. 4.27 Semnal sinusoidal (linie continuă) și reconstrucția sa (linie întreruptă) pe două IR , $T_c=0,25$, $K=10$, $IR=IO-T_e$, periodicizare prin repetare	80
Fig. 4.28 Graficul erorii absolute la reconstrucție pe două IR , semnal sinusoidal, $T_c=0,25$, $K=10$, $IR=IO-T_e$, periodicizare prin repetare	80
Fig. 4.29 Graficul erorii absolute la reconstrucție pe două IR , semnal sinusoidal, $T_c=0,25$, $K=10$, $IR=IO-3 \cdot T_e$, periodicizare prin repetare	81
Fig. 4.30 Semnal sinusoidal (linie continuă) și reconstrucția sa (linie întreruptă) pe două IR , $T_c=0,25$, $K=10$, $IR=IO-T_e$, periodicizare prin oglindire și repetare	81
Fig. 4.31 Graficul erorii absolute la reconstrucție pe două IR , semnal sinusoidal, $T_c=0,25$, $K=10$, $IR=IO-T_e$, periodicizare prin oglindire și repetare	81
Fig. 4.32 Semnal sinusoidal (linie continuă) și reconstrucția sa (linie întreruptă) pe două IR , $T_c=0,375$, $K=10$, $IR=IO-T_e$, periodicizare prin repetare	82
Fig. 4.33 Graficul erorii absolute la reconstrucție pe două IR , semnal sinusoidal, $T_c=0,375$, $K=10$, $IR=IO-T_e$, periodicizare prin repetare	82
Fig. 4.34 Semnal sinusoidal (linie continuă) și reconstrucția sa (linie întreruptă) pe două IR , $T_c=0,375$, $K=10$, $IR=IO-T_e$, periodicizare prin repetare, $t_0=0,15$	82
Fig. 4.35 Graficul erorii absolute la reconstrucție pe două IR , semnal sinusoidal, $T_c=0,25$, $K=10$, $IR=IO-T_e$, periodicizare prin repetare, $t_0=0,15$	82
Fig. 4.36 Semnal sinusoidal (linie continuă) și reconstrucția sa (linie întreruptă) pe două IR , $T_c=0,375$, $K=10$, $IR=IO-T_e$, periodicizare prin oglindire și repetare	83
Fig. 4.37 Graficul erorii absolute la reconstrucție pe două IR , semnal sinusoidal, $T_c=0,375$, $K=10$, $IR=IO-T_e$, periodicizare prin oglindire și repetare	83
Fig. 5.1 Reprezentarea grafică a spectrului unui semnal trece bandă eșantionat cu o frecvență minimă de eșantionare	95
Fig. 5.2 Semnalul trece bandă $x(t)$ și reconstrucția sa $xr2(t)$	107
Fig. 5.3 Semnalele $p(t)$, $q(t)$ și reconstrucțiile lor	107
Fig. 5.4 Frecvențe de eșantionare permise pentru un semnal trece bandă	108

LISTA TABELELOR

Tabelul 1.1 Valorile coeficienților Fourier obținuți folosindu-se diferite frecvențe de eșantionare (funcție de K)	13
Tabelul 1.2 Valorile coeficienților Fourier pentru un semnal periodic cu componente armonice lipsă	14
Tabelul 3.1 Determinantul matricei C și condiția ca acesta să fie diferit de zero, pentru K cu valori diferite	50
Tabelul 3.2 Erorile absolute cu care sunt obținute eșantioanele trunchiate	53
Tabelul 3.3 Erorile de calcul ale coeficienților Fourier calculați folosindu-se valori trunchiate ale eșantioanelor și erorile la reconstrucția semnalului inițial	54
Tabelul 3.4 Erorile de calcul ale coeficienților Fourier corespunzători componentelor pară și impară și erorile la reconstrucția acestor componente	54
Tabelul 3.5 Erorile de calcul ale coeficienților Fourier corespunzători componentelor pară și impară și erorile la reconstrucția acestor componente, $t_0 \neq 0$	55
Tabelul 3.6 Numărul minim de biți necesari pentru codarea eșantioanelor scrise pe un anumit număr de cifre zecimale	55
Tabelul 4.1 Coeficienții Fourier pentru semnalul rampă în domeniul $[-\pi, \pi]$	58
Tabelul 4.2 Erorile de reconstrucție a semnalului rampă $x(t) = t$ în funcție de numărul K de componente armonice considerate ($t_0 = 0$)	63
Tabelul 4.3 Erorile de reconstrucție a semnalului rampă $x(t) = t$ în funcție de numărul de componente armonice considerate ($t_0 = T_e/4$)	64
Tabelul 4.4 Erorile de reconstrucție a semnalului rampă $x_1(t) = t + 0,5$ în funcție de numărul de componente armonice considerate ($t_0 = 0$)	65
Tabelul 4.5 Erorile de reconstrucție a semnalului rampă $x_2(t) = 0,5t$ în funcție de numărul de componente armonice considerate ($t_0 = 0$)	65
Tabelul 4.6 Erorile de reconstrucție a semnalului rampă $x_3(t) = 2t$ în funcție de numărul de componente armonice considerate ($t_0 = 0$)	66
Tabelul 4.7 Valorile coeficienților Fourier $c(k)$ și $a(k)$ pentru un semnal rampă $x(t) = t$ și $K=10$	68
Tabelul 4.8 Erorile de reconstrucție a semnalului sinusoidal în funcție de numărul de componente armonice considerate ($t_0 = 0$)	71
Tabelul 4.9 Eroarea de reconstrucție la începutul, mijlocul și sfârșitul perioadei de observație în cazul semnalului rampă $x(t) = t$, $t_0 = 0$, periodicizare prin repetare	73
Tabelul 4.10 Eroarea de reconstrucție la începutul, mijlocul și sfârșitul perioadei de observație în cazul semnalului rampă, $t_0 = 0$, periodicizare prin oglindire și repetare	74
Tabelul 4.11 Erorile absolute maxime la reconstrucția semnalului rampă în funcție de diferența dintre IO și IR , $IO - IR = 2 \cdot n \cdot T_e$	77

Tabelul 4.12 Erorile absolute maxime la reconstrucția semnalului rampă în funcție de diferența dintre IO și IR , $IR = IO - 2 \cdot nec \cdot T_e - T_e$	79
Tabelul 4.13 Erorile absolute maxime la reconstrucția semnalului sinusoidal $x(t) = \sin 2\pi ft$, în funcție de IR și K , $IR = IO - 2 \cdot nec \cdot T_e - T_e$, $t_0 = 0$	84
Tabelul 5.1 Limitele intervalelor de frecvențe pentru $f_M / f_B = 4$	105
Tabelul 5.2 Frecvențele de eșantionare ce pot fi utilizate pentru un semnal periodic trece bandă cu $f_1 = 1$, $K = 5$, $f_0 = 35$	106
Tabelul 5.3 Numărul de eșantioane N și frecvența de eșantionare f_e în cazul $p(t)$, $q(t)$	107

EȘANTIONAREA

1.1. Introducere

Procesul de eșantionare se poate defini astfel: eșantionarea este operația de prelevare a unor informații la momente discrete de timp (sau spațiu), în scopul memorării, transmiterii și prelucrării semnalelor într-un mod mai avantajos, în formă numerică [Po3].

Informația numerică obținută în urma eșantionării, prelucrată sau nu, se poate folosi pentru obținerea unui semnal continuu (folosind un CNA și un FTJ). Dacă, prin eșantionare, nu se pierde informație din semnalul inițial și dacă el poate fi reconstituit exact, sau cu erori acceptabile din eșantioanele sale, se poate spune că numărul de eșantioane extrase este suficient. În general, datorită posibilităților limitate de memorare și datorită necesității unor calcule rapide, se caută ca numărul de eșantioane prelevate dintr-un semnal să fie minim, dar destul de mare astfel încât distorsiunile introduse la reconstrucție să fie cât mai mici. Deci se poate spune că eșantionarea reprezintă o aproximare a funcțiilor. Acest lucru se poate face prin mai multe metode de aproximare: polinomială, prin funcții în scară, prin funcții poligonale, prin serii cardinale etc. În următorul paragraf se prezintă aproximarea funcțiilor prin serii cardinale. În paragraful 3 se prezintă cazul eșantionării semnalelor periodice urmând ca, în continuare, să se trateze pe scurt erorile ce pot să apară din cauza eșantionării.

1.2. Teorema WKS (sau teorema eșantionării)

Seriile cardinale au fost studiate de către Whittaker [Je1] care a definit funcția cardinală sub forma

$$f_c(t) = \sum_{n=-\infty}^{+\infty} f_c(a+nT) \frac{\sin \frac{\pi}{T}(t-a-nT)}{\frac{\pi}{T}(t-a-nT)}. \quad (1.1)$$

unde $f_c(t)$ reprezintă funcția studiată, T perioada de eșantionare, a momentul corespunzător eșantionului zero ($n = 0$).

După cum se vede expresia depinde de valori ale funcției corespunzătoare punctelor echidistante $a, a+T, \dots, a+nT, \dots$ ale argumentului.

Aceste serii au fost introduse în telecomunicații de către Kotelnikov și Shannon. Din acest motiv teorema eșantionării se mai numește și teorema WKS.

Teorema eșantionării enunțată și publicată de Shannon în 1949 are următorul enunț [Sh1]: Dacă o funcție $f(t)$ nu conține frecvențe mai mari decât W , ea este

complet determinată prin valorile sale într-o serie de puncte echidistante, la intervale egale cu $1/(2W)$ secunde.

Pentru a putea demonstra acest lucru, Papoulis pornește de la transformata Fourier a funcției $f(t)$, notată $F_f(\omega)$, pentru a putea introduce limitarea spectrului la W [Po3]. O condiție suplimentară impusă este ca semnalul să fie de energie finită ($\sum_{n=-\infty}^{+\infty} |f_c(nT)|^2 < \infty$) [Je1].

Contrar părerii generale că relația (1.1) este valabilă doar pentru semnale de energie finită, ea se aplică și la semnale periodice [Po1].

Transformata Fourier inversă va avea intervalul de integrare dat de domeniul de existență a semnalului în domeniul frecvențe. Transformata Fourier (funcția corespunzătoare), $F_f(\omega)$, este de bandă limitată (are valori diferite de zero în domeniul $[-W, +W]$), prin urmare se poate dezvolta în serie Fourier, notată $F_{fp}(\omega)$, care va reprezenta, în tot spectrul, funcția obținută prin periodicizarea lui $F_f(\omega)$. Aceasta se dezvoltă în serie exponențială, coeficienții Fourier fiind proporționali cu valorile funcției în momentele de eșantionare. Deoarece $F_{fp}(\omega)$ și $F_f(\omega)$ sunt identice în intervalul $[-W, +W]$, rezultă relația de reconstrucție sub forma [Po3, Hi1]

$$f(t) = \sum_{k=-\infty}^{+\infty} f\left(\frac{k}{2W}\right) \frac{\sin \pi(2Wt - k)}{\pi(2Wt - k)}. \quad (1.2)$$

Rezultă ceea ce afirmă teorema eșantionării: cunoscând valorile funcției în punctele echidistante $k/(2W)$ atunci funcția este cunoscută în orice punct t .

Mărimea $1/(2W) = T_e$ reprezintă perioada de eșantionare, iar $2W = f_e$ frecvența de eșantionare.

Din formula de reconstrucție dată de relația (1.2), se pot trage următoarele concluzii:

- în punctele de eșantionare suma coincide cu valoarea funcției. Adică, valoarea funcției în momentul $t = iT_e$ este egală cu valoarea eșantionului i , celelalte eșantioane neintervenind în calcul;
- pentru momentele de timp $t \neq iT_e$, toate eșantioanele participă la determinarea valorii funcției. Asta înseamnă că un eșantion participă la determinarea valorii funcției și în momente anterioare apariției lui, cu toate că valoarea unui semnal la un moment dat nu se schimbă dacă semnalul evoluează sub o formă sau alta. Astfel comportarea seriei din formula de reconstrucție nu este cauzală, aceasta fiind o proprietate a tuturor formulelor de interpolare [Po3].

1.3. Eșantionarea funcțiilor (semnalelor) periodice

În tratarea teoremei eșantionării s-au luat în considerare semnale aperiodice. Studiul eșantionării semnalelor periodice nu se face tot pe baza teoremei eșantionării, prezentată în paragraful anterior, deoarece ele nu au transformată Fourier. În schimb putem considera seria Fourier atașată lor, dacă îndeplinesc condițiile lui Dirichlet, și anume [An1, Bu1]:

- 1) Funcția dată, $f(x)$, de perioadă 2π , este mărginită în toate punctele intervalului închis $[a, b]$, unde $b - a = 2\pi$;
- 2) În intervalul închis $[a, b]$, funcția $f(x)$ variază monoton sau are un număr finit de maxime și minime;
- 3) Funcția $f(x)$ este continuă în toate punctele intervalului închis $[a, b]$, cu excepția unui număr finit de puncte.

Semnalele (funcțiile) de durată finită, cu spectrul infinit, pot fi considerate ca fiind o perioadă a unui semnal periodic obținut din funcția inițială prin repetarea sa.

Considerăm un semnal periodic $f(t)$ cu perioada T_0 (fundamentală f_0). El poate fi descompus în serie Fourier trigonometrică

$$f(t) = a_0 + \sum_{k=1}^{\infty} [a_k \cos(k\omega_0 t) + b_k \sin(k\omega_0 t)], \quad (1.3)$$

cu condiția ca această serie atașată funcției (semnalului) să fie convergentă.

Relațiile de calcul a coeficienților ce intervin în dezvoltarea în serie Fourier trigonometrică sunt

$$a_0 = \frac{1}{T_0} \int_{T_0} f(t) dt, \text{ coeficient corespunzător componentei continue.}$$

$$a_k = \frac{2}{T_0} \int_{T_0} f(t) \cos(k\omega_0 t) dt \quad (1.4)$$

$$b_k = \frac{2}{T_0} \int_{T_0} f(t) \sin(k\omega_0 t) dt.$$

Folosind formulele lui Euler, relația (1.3) poate fi transformată în seria Fourier exponențială

$$f(t) = \sum_{k=-\infty}^{\infty} c_k e^{jk\omega_0 t}, \quad (1.5)$$

unde

$$c_0 = a_0$$
$$c_{\pm k} = \frac{a_k \mp j b_k}{2} = \frac{1}{T_0} \int_{T_0} f(t) e^{\mp jk\omega_0 t} dt. \quad (1.6)$$

Coeficienții c_k , respectiv a_k și b_k , se calculează folosind funcția continuă $f(t)$. În urma eșantionării se dispune de un număr limitat de valori corespunzătoare funcției analizate. Se dorește calcularea coeficienților Fourier în funcție de eșantioanele funcției $f(t)$ la momentele de timp iT_e , unde $i = 0, 1, 2, \dots$, iar T_e reprezintă perioada (pasul) de eșantionare.

Presupunem că cea mai mare frecvență din semnalul considerat corespunde armonice de ordinul K . Studiind formula de dezvoltare în serie Fourier dată de relația (1.5), observăm că avem un coeficient, c_0 , corespunzător valorii medii a semnalului și câte doi coeficienți, c_k și c_{-k} , pentru fiecare componentă armonică k , unde $k = 1, 2, \dots, K$. Prin urmare, deoarece avem nevoie de un sistem de relații independente pentru determinarea tuturor coeficienților seriei și, având de calculat $N = 2K + 1$ coeficienți, rezultă că avem nevoie de $2K + 1$ relații liniar independente. Înlocuind în relația (1.5) pe t cu iT_e (înseamnă că eșantionarea începe la momentul $t = 0$), și ținând cont de presupunerea făcută mai sus, și anume că avem maxim K componente armonice, vom obține

$$f(iT_e) = \sum_{k=-K}^{+K} c_k e^{jk\omega_0 iT_e} \quad (1.7)$$

Numărul i reprezintă indicele (numărul) eșantionului.

Din relația (1.7) rezultă că în fiecare eșantion intervin toți cei N coeficienți. Pentru a obține cele N relații liniar independente ce formează un sistem de ecuații compatibil determinat, trebuiesc prelevate un număr de N eșantioane.

Vom considera cazul general, când eșantionarea începe la un moment $t = t_0$ (în literatura de specialitate se utilizează cazul particular $t_0 = 0$). În acest caz, eșantioanele se prelevează la momentele $t_i = t_0 + iT_e$. În relația (1.7) facem notația $y_i = f(t_0 + iT_e)$ și scriem sistemul format din $N = 2K + 1$ relații

$$\begin{cases} y_0 = c_{-K} e^{-jK\omega_0 t_0} + \dots + c_{-1} e^{-j\omega_0 t_0} + c_0 + c_1 e^{j\omega_0 t_0} + \dots + c_K e^{jK\omega_0 t_0} \\ \vdots \\ y_i = c_{-K} e^{-jK\omega_0(t_0 + iT_e)} + \dots + c_0 + c_1 e^{j\omega_0(t_0 + iT_e)} + \dots + c_K e^{jK\omega_0(t_0 + iT_e)} \\ \vdots \\ y_{N-1} = c_{-K} e^{-jK\omega_0(t_0 + (N-1)T_e)} + \dots + c_0 + \dots + c_K e^{jK\omega_0(t_0 + (N-1)T_e)} \end{cases} \quad (1.8)$$

Calculul coeficienților c_k folosind eșantioane prelevate începând de la un moment $t_0 \neq 0$, ale unor semnale periodice pare sau impare, utilizând o frecvență de eșantionare mai mică decât frecvența Nyquist, va fi tratat ulterior în capitolul 3.

Notăm cu \mathbf{Y} vectorul corespunzător eșantioanelor de intrare, adică

$$\mathbf{Y} = (y_0 \quad y_1 \quad y_2 \quad \dots), \quad (1.9)$$

cu \mathbf{C} vectorul coeficienților

$$\mathbf{C} = (c_0 \quad c_1 \quad c_2 \quad \dots) \quad (1.10)$$

și cu \mathbf{E} matricea dată de exponențialele

$$\mathbf{E} = \begin{pmatrix} e^{-jK\omega_0 t_0} & \dots & e^{-j\omega_0 t_0} & 1 & \dots & e^{jK\omega_0 t_0} \\ e^{-jK\omega_0(t_0+T_e)} & \dots & e^{-j\omega_0(t_0+T_e)} & 1 & \dots & e^{jK\omega_0(t_0+T_e)} \\ \vdots & & \vdots & \vdots & & \vdots \\ e^{-jK\omega_0(t_0+(N-1)T_e)} & \dots & e^{-j\omega_0(t_0+(N-1)T_e)} & 1 & \dots & e^{jK\omega_0(t_0+(N-1)T_e)} \end{pmatrix} \quad (1.11)$$

Astfel, sistemul (1.8) poate fi scris matriceal ca mai jos

$$\mathbf{Y}^T = \mathbf{E} \cdot \mathbf{C}^T \quad (1.12)$$

Pentru ca sistemul (1.8) să fie compatibil determinat trebuie ca determinantul matricei (1.11) să fie diferit de zero.

Folosind proprietatea determinantilor care spune că [Bu1]: dacă toate elementele unei linii (coloane) ale unei matrice sunt înmulțite cu un număr α , se obține o matrice al cărui determinant este egal cu α înmulțit cu determinantul matricei inițiale, vom înmulți fiecare dintre liniile matricei (1.11) cu $e^{jK\omega_0 t_0} e^{j(m-1)K\omega_0 T_e}$, $m = 1, 2, \dots, N$, unde m reprezintă numărul liniei. În urma acestor operații va rezulta matricea

$$\begin{pmatrix} 1 & e^{j\omega_0 t_0} & \left(e^{j\omega_0 t_0}\right)^2 & \left(e^{j\omega_0 t_0}\right)^{2K} \\ 1 & e^{j\omega_0(t_0+T_e)} & \left(e^{j\omega_0(t_0+T_e)}\right)^2 & \left(e^{j\omega_0(t_0+T_e)}\right)^{2K} \\ 1 & e^{j\omega_0(t_0+2T_e)} & \left(e^{j\omega_0(t_0+2T_e)}\right)^2 & \left(e^{j\omega_0(t_0+2T_e)}\right)^{2K} \\ \vdots & \vdots & \vdots & \vdots \\ 1 & e^{j\omega_0(t_0+(N-1)T_e)} & \left(e^{j\omega_0(t_0+(N-1)T_e)}\right)^2 & \left(e^{j\omega_0(t_0+(N-1)T_e)}\right)^{2K} \end{pmatrix} \quad (1.13)$$

Determinantul acestei matrice este un determinant Vandermond care se calculează relativ simplu [Ma1, Bu1]. Dacă folosim notațiile $x_m = e^{j\omega_0(t_0+(m-1)T_e)}$, $m = 1, 2, \dots, N$, atunci determinantul matricei (1.13) se va calcula cu relația

$$\text{Det} = \prod_{\substack{l,k=1 \\ l>k}}^N (x_l - x_k) \quad (1.14)$$

Acest determinant împărțit cu

$$\left(e^{jK\omega_0 t_0}\right)^N e^{jK\omega_0 T_e \frac{N(N-1)}{2}}, \quad (1.15)$$

care reprezintă rezultatul produsului între cele N elemente cu care s-au înmulțit cele N linii ale matricei \mathbf{E} , este egal cu determinantul matricei inițiale (din relația (1.11)).

Pentru a avea un sistem de ecuații determinat, de tipul (1.8), rezultă că avem nevoie de N eșantioane diferite. Teorema eșantionării spune că frecvența de eșantionare trebuie să fie mai mare sau egală cu o limită numită frecvență Nyquist

[Na1]. Prin urmare, rezultă că eşantioanele trebuie prelevate dintr-o perioadă a semnalului considerat. Astfel, pasul la eşantionarea uniformă este

$$T_e = \frac{T_0}{N} = \frac{T_0}{2K+1}, \quad (1.16)$$

iar frecvența de eşantionare va fi

$$f_e = 2Kf_0 + f_0 = 2f_{\max} + f_0. \quad (1.17)$$

Concluzia ce rezultă din relația (1.17) este că frecvența minimă de eşantionare a semnalelor periodice este ceva mai mare decât frecvența minimă de eşantionare în cazul eşantionării semnalelor aperiodice, $2f_{\max}$. După cum se știe, în cazul semnalelor periodice, un anumit eşantion se regăsește în toate perioadele la aceeași distanță în timp față de începutul perioadei; astfel, eşantioanele necesare pot fi prelevate de pe parcursul mai multor perioade. În capitolul următor se va prezenta modalitatea de obținere a acestor eşantioane și modul de calcul al coeficienților Fourier.

Deoarece $\omega_0 = 2\pi/T_0$ și $T_e = T_0/N$, exponențiala a doua din (1.15) poate fi rescrisă sub forma

$$e^{jK\omega_0 T_e \frac{N(N-1)}{2}} = e^{jK(N-1)\pi}.$$

Pentru N impar, termenul $e^{jK(N-1)\pi}$ are valoarea 1. În cazul în care se alege N par (avem supraeșantionare), dacă K este par, acest termen va lua valoarea 1, iar pentru K impar va lua valoarea -1 . Prin urmare, determinantul calculat cu relația (1.14) va fi împărțit cu $\pm \left(e^{jK\omega_0 t_0}\right)^N$. Dacă $t_0 = 0$, atunci termenul $\left(e^{jK\omega_0 t_0}\right)^N$ devine 1.

Până acum s-au obținut numărul (minim) de eşantioane necesare și perioada (pasul) de eşantionare. În continuare, pentru simplificarea relațiilor folosite în scopul obținerii coeficienților din eşantioanele semnalului, considerăm $t_0 = 0$.

Relația (1.7) o înmulțim cu $e^{-jn\omega_0 T_e}$, unde n este un număr întreg cuprins în intervalul $[-K, +K]$, după care se face însumarea celor N relații corespunzătoare eşantioanelor prelevate, obținând

$$\sum_{i=0}^{N-1} f(iT_e) e^{-jn\omega_0 iT_e} = \sum_{k=-K}^{+K} c_k \sum_{i=0}^{N-1} e^{j(k-n)\omega_0 iT_e}. \quad (1.18)$$

Pentru $n = k$ din relația (1.18) obținem formula de calcul a coeficienților seriei Fourier a funcției $f(t)$, din valorile eşantioanelor

$$c_k = \frac{1}{N} \sum_{i=0}^{N-1} f(iT_e) e^{-jk\omega_0 iT_e}, \quad (1.19)$$

deoarece

$$\sum_{i=0}^{N-1} e^{j(k-n)\omega_0 iT_e} = \begin{cases} N & , \quad k = n \\ 0 & , \quad k \neq n \end{cases} \quad (1.20)$$

Pentru $k = 0$ avem

$$c_0 = \frac{1}{N} \sum_{i=0}^{N-1} f(iT_e), \quad (1.21)$$

adică coeficientul corespunzător componentei continue (valoarea medie) a funcției, este dat de media eșantioanelor.

Dacă frecvența de eșantionare este aleasă mai mică decât frecvența minimă de eșantionare dată de relația (1.17), este posibil ca prin punctele de eșantionare să treacă nu doar sinusoida de frecvență f_0 ci și alte sinusoida din banda semnalului, cu frecvențe $f_0 + nf_e$ sau $nf_e - f_0$, unde n este un număr întreg. Acest lucru înseamnă că în procesul de eșantionare a intervenit o eroare, în cazul nostru fiind vorba de eroare de aliere. Pentru a demonstra faptul că prin punctele de eșantionare pot trece semnale de frecvențe diferite astfel rezultând erori de aliere, considerăm că avem un semnal sinusoidal de frecvență f_0 cu amplitudinea unu și faza zero. Eșantionul i , unde $i = 0, 1, 2, \dots$, al acestui semnal are valoarea $f(iT_e) = \sin(\omega_0 iT_e)$. Deoarece funcțiile trigonometrice sunt periodice, putem scrie

$$f(iT_e) = \sin(\omega_0 iT_e) = \sin(\omega_0 iT_e \pm 2ni\pi) = \sin 2\pi T_e (f_0 \pm nf_e), \quad (1.22)$$

ceea ce înseamnă că un semnal sinusoidal, de amplitudine unu, fază zero și frecvență $f_0 + nf_e$ va da aceleași valori ale eșantioanelor. în cazul eșantionării cu pasul T_e , ca și semnalul ales mai înainte.

Ca o concluzie se poate scrie, o nouă formulare a teoremei eșantionării: Dacă o funcție periodică are frecvența fundamentală f_0 și ordinul componentei armonice maxime egal cu K , ea este complet determinată prin valorile sale într-o serie de puncte echidistante, aflate la intervale egale cu $1/(2K + 1)f_0$ secunde.

Observație: Pe baza unei demonstrații similare cu cea din relația (1.22) se va demonstra în capitolul 2 că, în anumite condiții, frecvența de eșantionare a unui semnal periodic poate fi redusă sub valoarea limită precizată prin enunțul anterior.

1.4. Erori de eșantionare

Dintre erorile ce intervin în procesul de eșantionare se consideră, în general, următoarele tipuri [Po3]:

- erori de aliere, ce apar datorită nerespectării condiției de limitare a benzii de frecvențe în concordanță cu frecvența de eșantionare a semnalului ce se eșantionează;
- erori de trunchiere, ce apar datorită utilizării în serie a unui număr finit de eșantioane în locul seriei complete (infinite);
- erori de jitter, ce apar datorită faptului că eșantionarea are loc la momente diferite față de cele teoretice de eșantionare;
- erori de amplitudine, ce apar datorită incertitudinii de măsurare a valorii eșantioanelor.

Ultimele două erori se tratează împreună deoarece au același effect; în cazul erorii de jitter rezultă, de fapt, o eroare în măsurarea amplitudinii semnalului în punctul de eșantionare (teoretic).

În continuare vom prezenta pe larg cazul erorii de aliere.

1.4.1. Erori de aliere

Dacă semnalul $f(t)$ considerat nu este de bandă limitată, sau dacă procesul de eșantionare nu se realizează cu frecvența de eșantionare dată de teorema WKS, ci cu o frecvență mai mică, atunci apare o eroare numită eroare de aliere, dată de relația

$$\varepsilon_A(t) = f(t) - f_r(t), \quad (1.23)$$

unde $\varepsilon_A(t)$ reprezintă eroarea de aliere, iar $f_r(t)$ reprezintă semnalul reconstituit cu ajutorul relației (1.1) fără să fie îndeplinite condițiile teoremei WKS.

După cum se știe procesul de eșantionare duce la lărgirea spectrului prin periodicizarea lui. În cazul în care condițiile teoremei eșantionării nu sunt satisfăcute, spectrele alăturate corespunzătoare transformatei Fourier se suprapun mai mult sau mai puțin.

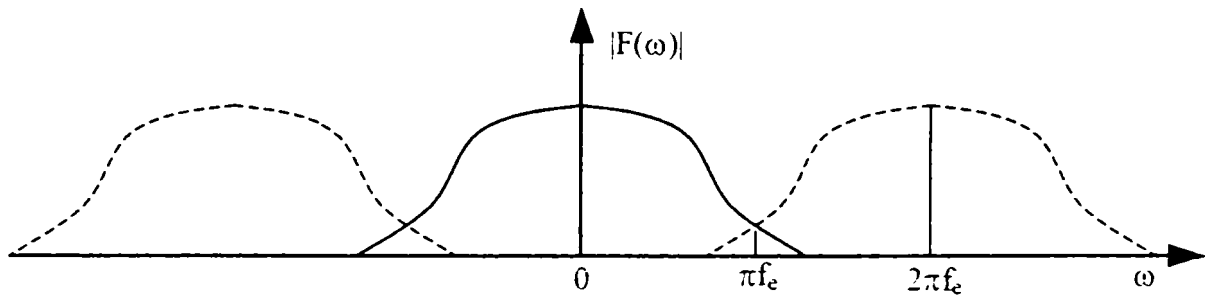


Fig. 1.1. Suprapunerea spectrelor în cazul subeșantionării

Rezultă că prin filtrare, lobul central rezultat va fi diferit față de cel care ar fi fost obținut în cazul respectării teoremei eșantionării.

S-a demonstrat [Na1, Po3] că o margine (valoare limită) pentru eroarea de aliere este dată de relația

$$|\varepsilon_A(t)| = |f(t) - f_r(t)| \leq \frac{2}{\pi} \int_{\pi f_e}^{\infty} |F_f(\omega)| d\omega, \quad (1.24)$$

adică tocmai de partea din spectru care ar trebui să fie nulă, în cazul aplicării corecte a teoremei eșantionării. Cu $F_f(\omega)$ s-a notat transformata Fourier a funcției $f(t)$, iar cu $F(\omega)$ funcția obținută prin periodicizarea lui $F_f(\omega)$.

În cazul semnalelor periodice, spectrul nu mai este continuu ci discret. Dacă este îndeplinită condiția $f_e \geq 2Kf_0 + f_0$, spectrul semnalului eșantionat este prezentat în figura de mai jos (figura 1.2). S-a considerat că semnalul nu conține componentă continuă, componenta armonică maximă conținută în spectrul semnalului are ordinul $K = 5$, iar eșantionarea se face cu frecvența $f_e = f_{e \min} = (2K + 1)f_0$.

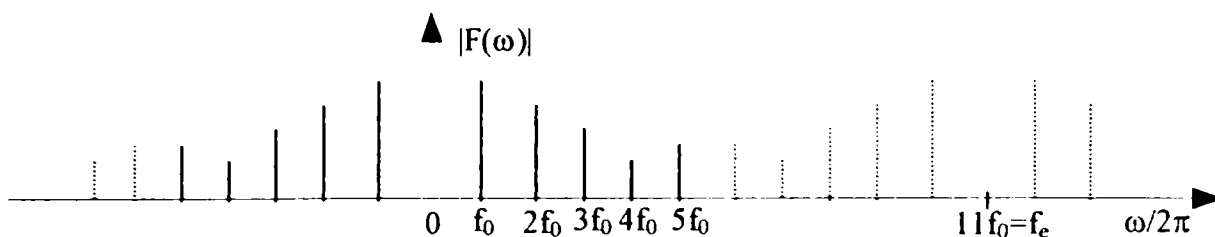


Fig. 1.2. Spectrul unui semnal periodic fără componentă continuă, cu fundamentală f_0 și $K = 5$, eșantionat cu frecvența f_{emr}

Cu linie continuă am reprezentat spectrul semnalului periodic considerat, iar cu linie întreruptă periodicizarea sa în urma eșantionării. Dacă avem și componentă continuă atunci la $0, \pm f_e, \pm 2f_e, \dots$ vom avea câte o linie spectrală proporțională cu valoarea acelei componente. După cum se observă avem linii spectrale corespunzătoare fundamentalei și armonicilor. În cazul în care eșantionarea se face folosind o frecvență $f_{e1} < f_{emin}$, în anumite condiții, și anume $f_{emin} - f_{e1} \neq nf_0$, cu $n = 1, 2, \dots$, spectrul semnalului eșantionat va fi de forma prezentată în figura următoare.

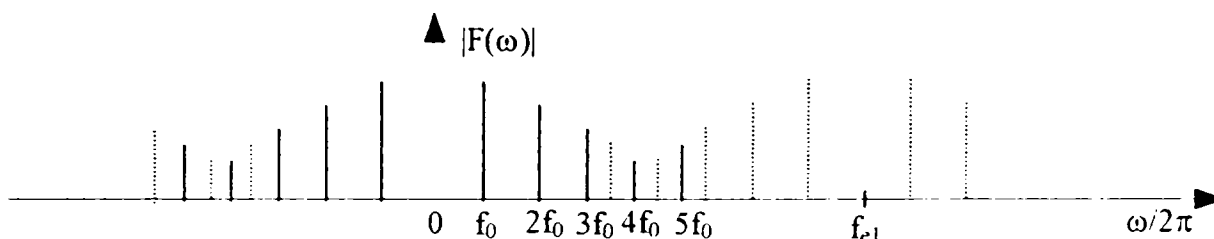


Fig. 1.3. Spectrul unui semnal periodic fără componentă continuă, cu fundamentală f_0 și $K = 5$, eșantionat cu frecvența $f_{e1} = f_{emin} - 2.5f_0$

În acest caz, chiar dacă apare procesul de întrepătrundere a spectrelor, semnalul inițial poate fi reconstituit dacă se iau în considerare doar liniile spectrale utile, corespunzătoare componentei continue (dacă există), fundamentalei și componentelor armonice. Semnalul va putea fi corect reconstituit deoarece, după cum se observă din figura 1.3, aceste linii spectrale nu sunt corupte în urma procesului de întrepătrundere (aliere).

Acest avantaj va fi utilizat în capitolul următor, “Eșantionarea semnalelor periodice pe mai multe perioade”.

1.5. Erori la eșantionarea funcțiilor periodice

După cum s-a demonstrat, în cazul unui semnal periodic, pentru alegerea frecvenței de eșantionare trebuie să cunoaștem frecvența f_0 a fundamentalei și ordinul K corespunzător componentei armonice maxime. Descompunerea în serie Fourier a semnalului este dată de relația (1.5) unde limitele de însumare sunt $-K$ și $+K$, frecvența de eșantionare va fi $f_e \geq (2K + 1)f_0$. Dacă semnalul are mai multe armonice, de exemplu K_1 armonice, cu $K_1 > K$, atunci seria Fourier corectă este

$$f(t) = \sum_{k=-K_1}^{+K_1} c_k e^{jk\omega_0 t} \quad (1.25)$$

Dacă prelevăm doar $N = 2K + 1$ eşantioane, corespunzătoare numărului de armonice considerate (și anume K), folosind relația (1.19) putem calcula doar N coeficienți ai seriei. La o primă analiză, putem spune că neglijăm armonicele superioare lui K . La o analiză mai amănunțită vom vedea că de fapt coeficienții c_k , cu $k \leq K$, pe care îi calculăm sunt și ei afectați de erori, toți sau numai o parte [Po3], după cum se va arăta mai jos.

Dacă semnalul are K_1 componente armonice, dezvoltarea în serie Fourier exponențială este dată de relația (1.25). Valorile eşanțioanelor, indiferent de frecvența de eşanționare folosită, sunt date de relația

$$f(iT_e) = \sum_{k=-K_1}^{+K_1} c_k e^{jk\omega_0 iT_e} = \sum_{k=-K_1}^{+K_1} c_k e^{jk \frac{2\pi}{N} i}, \quad (1.26)$$

unde $T_e = T_0/N$.

Deoarece considerăm că semnalul are doar K componente armonice, se vor preleva un număr de $N = 2K + 1$ eşantioane în loc de valoarea corectă, $2K_1 + 1$. În acest caz avem un proces de subeșanționare.

Pentru calculul coeficienților Fourier vom utiliza aceeași procedură prezentată în paragraful 1.3. Relația (1.26) o vom înmulți cu $e^{-jn \frac{2\pi}{N} i}$, $n \in \{-K, \dots, +K\}$, și facem însumarea celor N relații corespunzătoare celor N eşantioane prelevate, obținând

$$\sum_{i=0}^{N-1} f(iT_e) e^{-jn \frac{2\pi}{N} i} = \sum_{k=-K_1}^{+K_1} c_k \sum_{i=0}^{N-1} e^{j(k-n) \frac{2\pi}{N} i} \quad (1.27)$$

În cazul în care $|k - n| < N$, pentru orice k , $|k| \leq K_1$, și orice n , $|n| < K$, este valabilă relația

$$\sum_{i=0}^{N-1} e^{j(k-n) \frac{2\pi}{N} i} = \begin{cases} N & \text{pt. } k = n \\ 0 & \text{pt. } k \neq n \end{cases} \quad (1.28)$$

și coeficienții corespunzători ai seriei Fourier se calculează corect cu relația (1.19).

Dacă $|k - n| = N$, sau în general $|k - n| = rN$ cu $r = 1, 2, \dots$, atunci suma exponențialelor

$$\sum_{i=0}^{N-1} e^{j(k-n) \frac{2\pi}{N} i} = \sum_{i=0}^{N-1} e^{j2\pi r i} = N \neq 0 \text{ pentru } k \neq n. \quad (1.29)$$

În cazul eşanționării corecte, situația $|k - n| = N$ nu poate să apară, deoarece semnalul având doar K componente armonice, valoarea maximă a modulului $|k - n|$ se obține pentru $|k| = \max(k) = K$ și n de semn contrar lui k , cu $|n| = \max(n) = K$. Astfel $\max(|k - n|) = K + K = 2K < N = 2K + 1$.

Situația $|k - n| = N$ (sau $|k - n| = rN$) intervine doar dacă subeșantionăm și anume $\max(k) = K_1 > K$ și $\max(n) = K$.

Pentru fiecare n ales, cu relația (1.19) se va calcula un coeficient c_k al seriei Fourier, cu $k = n$, datorită valabilității relației (1.28). Dacă pentru un n ales, $|k - n| < N$ pentru orice $|k| \leq K_1$, atunci coeficientul c_k , $k = n$, este determinat corect cu ajutorul relației (1.19) chiar dacă avem subeșantionare, pentru că relația (1.28) este adevărată. Dacă avem un k' , sau mai mulți, cu $|k'| \leq K_1$ astfel încât pentru un anumit n dat să avem $|k' - n| = rN$, atunci relația (1.19) devine

$$\sum_{i=0}^{N-1} f(iT_e) e^{-jn \frac{2\pi}{N} i} = c_n N + c_{k'} N + \dots \quad (1.30)$$

și prin urmare $c_k = c_n$ nu se mai poate determina corect. Aceasta deoarece relația (1.20) nu mai este valabilă, suma de exponențiale fiind egală cu N și pentru anumite valori $k' \neq n$. Dacă $r = 1$ atunci în partea dreaptă a relației (1.30) avem $(c_n + c_{k'})N$.

În continuare vom considera $r = 1$, adică cazul în care $K < K_1 \leq 2K$, unde, precizăm încă o dată, K_1 este numărul real de componente armonice, iar K numărul presupus de componente armonice a semnalului analizat. Numărul N de eșantioane va fi egal cu $2K + 1$, identic cu numărul de coeficienți ai seriei Fourier care vor fi determinați. Prin urmare n poate lua valori în domeniul $-K$ la $+K$, iar k poate lua valori între $-K_1$ și $+K_1$. Dacă $K_1 \leq 2K = N - 1$, atunci k maxim va avea valoarea $N - 1$. Astfel, pentru a avea situația $|k - n| = N$ rezultă că k și n trebuie să fie de semn contrar. Pentru simplificare, vom considera cazul k pozitiv și n negativ.

Coeficienții c_k sunt calculați eronat pentru $|k - n| = N$ sau, altfel spus, $k + |n| = N$. Condiția ca să nu avem coeficienți eronați este

$$k_{\max} + |n| = K_1 + |n| \leq N - 1 = 2K. \quad (1.31)$$

Deci toți coeficienții c_n , $k = n$, pentru care

$$|n| \leq 2K - K_1, \quad (1.32)$$

se determină fără erori cu ajutorul relației (1.19) și în cazul subeșantionării semnalului. În cazul k - numere negative, se ajunge la o condiție similară.

Astfel putem spune că acei coeficienți c_n pentru care indicele n îndeplinește una din condițiile

$$K \geq n > 2K - K_1 \quad (1.33)$$

$$-K \leq n < -(2K - K_1) \quad (1.34)$$

sunt afectați de erori.

În cazul $K_1 \leq 2K$ (sau $r = 1$), vom avea ca rezultat al sumei din relația (1.19)

$$(c_n + c_{N+n})N \quad (1.35)$$

pentru $n < 0$, $k > 0$, respectiv

$$(c_n + c_{-(N-n)})N \quad (1.36)$$

pentru $n > 0$, $k < 0$.

Dacă $K_1 > 2K$, toți coeficienții seriei Fourier calculați cu relația (1.19) vor fi eronați.

Ca exemplu numeric, considerăm un semnal periodic $x(t)$ obținut ca sumă a două semnale, unul ce are doar componente cosinusoidale (par) și unul ce are doar componente sinusoidale (impar). La această sumă se adaugă și o componentă continuă. Semnalele sunt:

$$\begin{aligned} x_c(t) &= \cos(\omega t) - 0,5 \cos(2\omega t) + 0,5 \cos(3\omega t) + 0,25 \cos(4\omega t) - 0,25 \cos(5\omega t) \\ x_s(t) &= \sin(\omega t) - 0,5 \sin(2\omega t) + 0,5 \sin(3\omega t) - 0,25 \sin(4\omega t) + 0,25 \sin(5\omega t) \end{aligned} \quad (1.37)$$

și

$$x(t) = 1 + x_c(t) + x_s(t). \quad (1.38)$$

Ordinul componentei armonice maxime este $K_1 = 5$, prin urmare numărul minim de eșantioane ce trebuie prelevate este $N_1 = 11$. Dacă se consideră $K = 4$, numărul minim de eșantioane prelevate este $N = 9$, în acest caz se pot calcula 9 coeficienți c_n , cu $|n| \leq 4$. Dintre aceștia, cei pentru care indicele are valoarea $|n| \leq 2K - K_1 = 8 - 5 = 3$, se calculează corect. Astfel, în acest caz, c_4 și c_{-4} se calculează eronat.

Dacă $K = 3$, aplicând aceeași regulă (relația (1.32)), doar c_0 , c_1 și c_{-1} se calculează corect. Pe pagina următoare, în tabelul 1.1, sunt prezentate valorile coeficienților seriei Fourier calculați pentru cazurile $K = 5$, $K = 4$, $K = 3$, $K = 2$. După cum se poate observa, dacă $K = 2$, $K_1 = 5 > 4 = 2K$, toți coeficienții seriei Fourier sunt eronați.

Tabelul 1.1. Valorile coeficienților Fourier obținuți folosindu-se diferite frecvențe de eșantionare (funcție de K)

	K = 5	K = 4	K = 3	K = 2
c_{-5}	-0.125+0.125i			
c_{-4}	0.125-0.125i	-0.25i		
c_{-3}	0.25+0.25i	0.25+0.25i	0.375+0.375i	
c_{-2}	-0.25-0.25i	-0.25-0.25i	-0.375-0.375i	-0.5i
c_{-1}	0.5+0.5i	0.5+0.5i	0.5+0.5i	0.625+0.625i
c_0	1	1	1	0.75
c_1	0.5-0.5i	0.5-0.5i	0.5-0.5i	0.625-0.625i
c_2	-0.25+0.25i	-0.25+0.25i	-0.375+0.375i	0.5i
c_3	0.25-0.25i	0.25-0.25i	0.375-0.375i	
c_4	0.125+0.125i	0.25i		
c_5	-0.125-0.125i			

Dacă notăm coeficienții sub forma c_n^K , din tabelul 1.1 putem scrie

$$\begin{aligned} c_{-4}^4 &= c_{-4}^5 + c_5^5 \\ c_4^4 &= c_4^5 + c_{-5}^5 \end{aligned} \quad (1.39)$$

astfel fiind verificate relațiile (1.35) și (1.36).

De asemenea sunt valabile relațiile

$$\begin{aligned} c_{-3}^3 &= c_{-3}^5 + c_4^5 \\ c_3^3 &= c_3^5 + c_{-4}^5 \\ c_{-2}^3 &= c_{-2}^5 + c_5^5 \\ c_2^3 &= c_2^5 + c_{-5}^5 \end{aligned} \quad (1.40)$$

respectiv

$$\begin{aligned} c_{-2}^2 &= c_{-2}^5 + c_3^5 \\ c_2^2 &= c_2^5 + c_{-3}^5 \\ c_{-1}^2 &= c_{-1}^5 + c_4^5 \\ c_1^2 &= c_1^5 + c_{-4}^5 \\ c_0^2 &= c_0^5 + c_5^5 + c_{-5}^5 \end{aligned} \quad (1.41)$$

Din (1.39) se poate observa faptul că nu se pot calcula coeficienții c_{-4}^5 , c_4^5 , c_{-5}^5 , c_5^5 pe baza coeficienților c_{-4}^4 și c_4^4 deoarece avem două ecuații și patru necunoscute.

Se știe faptul că transformata Fourier (discretă) este periodică. Dacă nu se cunosc numărul de componente armonice K_1 în semnalul periodic considerat, se va alege un număr K și se vor calcula cu ajutorul relației (1.19) mai mulți coeficienți (de exemplu $2K$). Dacă coeficienții c_K și c_{K+1} ($c_{-K} = c_{K+1}$) sunt diferiți de zero, avem cazul $K \leq K_1$ ceea ce înseamnă că numărul K trebuie ales mai mare, prin urmare și frecvența de eșantionare se va mări. Dacă se ajunge în situația $K = K_1 + 1$ atunci vom avea

$$c_K = c_{K+1} = 0, \quad (1.42)$$

și astfel se va ști care este ordinul componentei armonice maxime, reconstrucția semnalului fiind posibilă. Acest lucru este valabil pentru semnalele care au componente armonice până la K_1 diferite de zero. Dacă în intervalul $k = 2, \dots, K_1$ lipsesc mai multe componente armonice succesive (sunt egale cu zero) algoritmul prezentat mai sus nu mai poate fi aplicat. Pentru exemplificare se consideră semnalul $x(t)$ dat de relația (1.38) unde $x_c(t)$ și $x_s(t)$ sunt

$$\begin{aligned} x_c(t) &= \cos(\omega t) - 0,5 \cos(2\omega t) + 0,5 \cos(3\omega t) + 0,25 \cos(4\omega t) - 0,25 \cos(10\omega t) \\ x_s(t) &= \sin(\omega t) - 0,5 \sin(2\omega t) + 0,5 \sin(3\omega t) - 0,25 \sin(4\omega t) + 0,25 \sin(10\omega t) \end{aligned} \quad (1.43)$$

Prin urmare, $K_1 = 10$ și componentele armonice de la ordinul 5 la ordinul 9 lipsesc. În tabelul 1.2 sunt prezentate valorile coeficienților seriei Fourier (cu indici pozitivi) pentru cazurile $K = 6$ la $K = 10$.

Tabelul 1.2 Valorile coeficienților Fourier pentru un semnal periodic cu componente armonice lipsă

	$K = 6$	$K = 7$	$K = 8$	$K = 9$	$K = 10$
c_0	1	1	1	1	1
c_1	0,5-0,5i	0,5-0,5i	0,5-0,5i	0,5-0,5i	0,5-0,5i
c_2	-0,25+0,25i	-0,25+0,25i	-0,25+0,25i	-0,25+0,25i	-0,25+0,25i
c_3	0,125-0,125i	0,25-0,25i	0,25-0,25i	0,25-0,25i	0,25-0,25i
c_4	0,125+0,125i	0,125+0,125i	0,125+0,125i	0,125+0,125i	0,125+0,125i
c_5	0	-0,125+0,125i	0	0	0
c_6	0	0	0	0	0
c_7	0	0	-0,125+0,125i	0	0
c_8	0	0	0	0	0
c_9	0,125-0,125i	0	0	-0,125+0,125i	0
c_{10}	0,125+0,125i	-0,125-0,125i	-0,125-0,125i	-0,125-0,125i	-0,125-0,125i

Dacă un coeficient c_k , unde $k = 0$ la K , sau mai mulți își schimbă valoarea la incrementarea lui K atunci ordinul componentei armonice corespunzător frecvenței maxime din semnal nu este corect ales chiar dacă, $c_K = c_{K+1} = 0$. Pentru obținerea valorii corecte a ordinului componentei armonice maxime din semnalul analizat se va proceda în modul următor:

1. pe baza unor informații apriori despre semnal ce se analizează, se va alege o valoare pentru ordinul K corespunzător componentei armonice maxime considerate;
2. se prelevează două seturi de N' și N'' eșantioane de pe parcursul unei perioade a semnalului $x(t)$ unde $N' = 2K + 1$ și $N'' = 2(K + 1) + 1$;

3. se calculează două seturi de coeficienți Fourier, c_k^i și c_k^v , pe baza eșantioanelor prelevate;
4. dacă $c_k^i = c_k^v$ pentru $k = 0 \div K$ și $c_K^i \neq 0$ iar $c_{K+1}^v = 0$, ordinul componentei armonice maxime din semnalul analizat este K ;
5. dacă $c_k^i = c_k^v$ pentru $k = 0 \div K$ și ultimii m coeficienți c_k^i sunt egali cu zero atunci, $K = K - m$;
6. dacă există un k pentru care $c_k^i \neq c_k^v$ atunci $K = K + 1$ și se reia calculul de la pasul 2.

S-au făcut simulări și pentru alte valori ale amplitudinilor componentelor armonice pentru a se verifica relațiile (1.39), (1.40), (1.41), rezultând aceleași relații între coeficienții Fourier calculați.

EȘANTIONAREA SEMNALELOR PERIODICE PE MAI MULTE PERIOADE

2.1. Introducere

Scopul urmărit, în acest capitol, este de a reduce cât mai mult frecvența de eșantionare și în același timp, de a preleva un număr cât mai mic de eșantioane cu ajutorul cărora să se poată reconstitui în bune condițiuni semnalul supus eșantionării.

În capitolul I s-a prezentat eșantionarea semnalelor periodice cu obținerea eșantioanelor în intervalul corespunzător unei perioade, frecvența de eșantionare fiind dată de relația (1.16) pe care o rescriem sub forma

$$f_e \geq (2K + 1)f_0, \quad (2.1)$$

unde f_0 reprezintă frecvența fundamentalei și K numărul maxim de componente armonice prezente în semnal.

Eșantionarea semnalelor periodice pe mai multe perioade a mai fost tratată în literatura de specialitate de mai mulți autori.

În [Ti1] se prezintă o teoremă cu privire la eșantionarea unui semnal periodic pe mai multe perioade. Teorema prezentată este următoarea:

Un semnal periodic $s_p(t)$, care nu conține armonice de rang mai mare decât K , poate fi reconstituit fără erori pe baza a N eșantioane, culese uniform pe durata a P perioade, dacă frecvența de eșantionare este suficient de ridicată, încât să rezulte $N \geq 2KP + 1$.

După cum se poate observa din enunțul teoremei, numărul de eșantioane prelevate este destul de mare, fiind direct proporțional cu numărul P de perioade considerate.

Din demonstrația teoremei expuse mai sus (pe care nu o mai prezentăm), rezultă că perioada de eșantionare este [Ti1]

$$T_e \leq \frac{T_0}{2K + \frac{1}{P}}. \quad (2.2)$$

Perioada de eșantionare în cazul teoremei negeneralizate, când eșantionarea se face pe o perioadă T_0 a semnalului este

$$T_e \leq \frac{T_0}{2K + 1}. \quad (2.3)$$

Se poate observa că frecvența de eșantionare scade în cazul în care se face eșantionarea pe mai multe perioade dar crește foarte mult numărul de eșantioane prelevate.

De asemenea se poate observa că dacă P tinde către infinit, perioada de eșantionare va fi

$$T_e \leq \lim_{P \rightarrow \infty} \left\{ \frac{T_0}{2K + \frac{1}{P}} \right\} = \frac{T_0}{2K}, \quad (2.4)$$

de unde rezultă că se impune extragerea a cel puțin două eșantioane pe durata unei perioade corespunzătoare componentei armonice maxime din semnal (T_0/K fiind perioada componentei armonice maxime din semnal), condiție care apare și în cazul teoremei WKS, de unde rezultă că teorema lui Shannon este un caz particular, limită, al teoremei generalizate a eșantionării funcțiilor periodice.

Acest mod de eșantionare pe mai multe perioade nu mulțumește deoarece numărul de eșantioane prelevate poate ajunge inacceptabil de mare.

Dacă considerăm eșantioanele prelevate într-o perioadă, conform eșantionării semnalelor periodice prezentate în capitolul 1, vom obține $N_1 \geq 2K + 1$ eșantioane. În cazul în care prelevarea se face conform teoremei mai sus prezentate (eșantionarea pe durata a P perioade) vom obține $N \geq 2KP + 1$ eșantioane. Rezultă că vor fi obținute un număr de $N_x = N - N_1 = 2KP + 1 - 2K - 1 = 2K(P - 1)$ eșantioane în plus. Dacă P este mare, deci eșantionarea se face pe mai multe perioade, numărul eșantioanelor prelevate va fi foarte mare.

De asemenea, se poate observa că perioada de eșantionare, în cazul în care eșantionarea se execută pe durata a P perioade, nu crește prea mult, față de cazul eșantionării pe o perioadă. Conform relației (2.4) dacă P tinde la infinit perioada de eșantionare va fi

$$T_{ep} = \frac{T_0}{2K},$$

unde cu T_{ep} am notat pasul de eșantionare corespunzător eșantionării pe P perioade.

Notăm cu

$$T_e = \frac{T_0}{2K + 1},$$

pasul de eșantionare corespunzător eșantionării pe o perioadă. Când P tinde spre infinit creșterea perioadei de eșantionare va fi egală cu valoarea

$$\Delta T = T_{ep} - T_e = \frac{T_0}{2K} - \frac{T_0}{2K + 1} = \frac{T_0}{2K(2K + 1)} = \frac{T_e}{2K},$$

adică o creștere foarte mică a pasului de eșantionare, deci o scădere foarte mică a frecvenței de eșantionare. Dacă facem notațiile $f_{ep} = 1/T_{ep}$, $f_e = 1/T_e$, pentru $P \rightarrow \infty$ avem

$$f_{ep} = \frac{f_e}{1 + \frac{1}{2K}}$$

După cum se poate observa frecvența de eșantionare scade foarte puțin (nesemnificativ în cazul în care avem mai multe componente armonice).

De asemenea, în literatura de specialitate, se prezintă cazul în care dorind să achiziționăm N eșantioane, în loc să le prelevăm cu cadența T_0/N , obținerea lor durând astfel o perioadă a semnalului, se prelevează eșantioanele adiacente din perioade succesive [Na1], vezi figura 2.1..

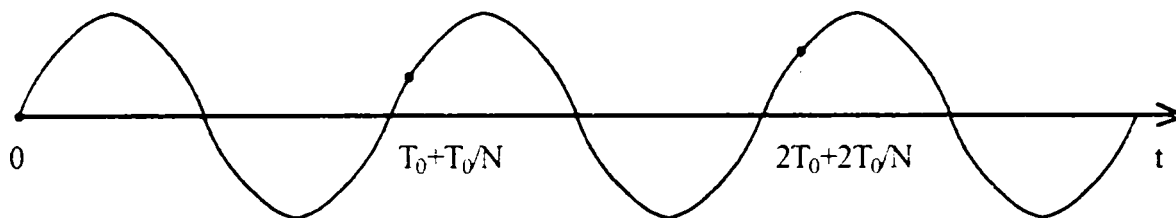


Fig. 2.1. Prelevarea de eșantioane adiacente din perioade succesive.

Perioada de eșantionare va fi în acest caz

$$T_e = T_0 + \frac{T_0}{N}. \quad (2.5)$$

Conform [Na1] prelevarea celor N eșantioane durează N perioade T_0 , dar în acest caz se poate spune că eșantionarea este neuniformă, în sensul că perioada de timp între ultimul eșantion prelevat dintr-un set de eșantioane și primul eșantion din următorul set de eșantioane nu este egală cu pasul de eșantionare ci este mai mică, acest lucru nefiind menționat.

Cele N eșantioane dintr-un set de eșantioane sunt egal distanțate între ele, diferența dintre eșantionul $N-1$ și eșantionul 0 din următorul set de eșantioane prelevate nefiind $T_0 + T_0/N$ ci T_0/N . Dacă dorim ca eșantionarea să fie uniformă atunci calculând perioada de timp T pe care se face eșantionarea ajungem la

$$T = NT_e = N \left(T_0 + \frac{T_0}{N} \right) = (N+1)T_0. \quad (2.6)$$

Deci pentru o eșantionare uniformă prelevarea celor N eșantioane durează $N+1$ perioade T_0 .

Se poate executa și o eșantionare mai rară, prelevarea de eșantioane adiacente făcându-se la un interval de M perioade T_0 plus incrementul T_0/N , în acest caz prelevarea celor N eșantioane va dura $MN+1$ perioade T_0 .

Semnalul rezultat prin eșantionare va avea componente spectrale foarte apropiate de zero, cu atât mai apropiate cu cât M este mai mare. Acest principiu este folosit în osciloscoapele cu eșantionare reducând frecvența semnalului de vizualizat la valori la care se poate utiliza tubul catodic.

Observație: în cazul prezentat mai sus se modifică doar frecvența rezultată în urma prelucrării eșantioanelor obținute. Eșantioanele se obțin în ordinea lor firească (0, 1, 2, ..., N - 2, N - 1).

În continuare tratăm cazul în care dorim să reducem frecvența de eșantionare, eșantionând semnalul pe mai multe perioade, nu neaparat numai un eșantion pe perioadă ca în cazul prezentat mai sus. Se va menține constant numărul de eșantioane, fiind același ca în cazul eșantionării pe o perioadă. După cum se va observa eșantioanele nu vor mai fi obținute în ordinea lor firească, pentru reconstrucție trebuind să se țină seama de acest lucru. În paragraful următor se va face o demonstrație matematică a faptului că, în anumite condiții, prin reducerea frecvenței de eșantionare nu vom avea erori de aliere. În paragraful 2.3 se vor prezenta condițiile ce trebuiesc îndeplinite, în ceea ce privește numărul de eșantioane prelevate și numărul de perioade de pe care sunt acestea prelevate, pentru ca informația obținută să permită reconstrucția semnalului inițial.

2.2. Reducerea frecvenței de eșantionare a semnalelor periodice

În paragraful 1.4, s-a prezentat grafic faptul că, datorită spectrului discret al semnalelor periodice, prin întrepătrunderea spectrelor datorată eșantionării cu o frecvență mai mică decât minimul dat de teorema eșantionării, există posibilitatea ca liniile spectrale să nu se suprapună (ci să se întrepătrundă). Dacă frecvența de eșantionare este aleasă astfel încât să se respecte teorema eșantionării, reconstrucția se face simplu pe baza spectrului semnalului extras prin filtrare trece jos, din spectrul periodic rezultat după eșantionare. Se poate utiliza în acest scop relația (1.1). Dacă frecvența de eșantionare este mai mică astfel încât liniile spectrale ajung să se întrepătrundă, spectrul semnalului se va putea obține, din spectrul periodic, cu ajutorul unui filtru pieptene care să permită extragerea componentelor dorite. Pentru reconstrucție se va utiliza relația (1.7) unde timpul discret iT_e se înlocuiește cu timpul continuu t .

Dacă liniile spectrale se suprapun înseamnă că semnalul periodic $x(t)$ are în reprezentarea sa componente sinusoidale de frecvențe diferite dar care, în urma eșantionării, rezultă cu aceeași frecvență.

În [To2] se obține o relație pentru alegerea pasului de eșantionare al unei sinusoidale cu frecvența f , $0 < f < f_{\max}$, pornind de la condiția ca, eșantionând cu același pas o altă sinusoidă, cu aceeași amplitudine, având frecvența situată în același interval, să nu se obțină aceleași eșantioane, în final rezultând teorema eșantionării. În continuare, se prezintă condițiile pe care trebuie să le îndeplinească frecvența de eșantionare pentru ca două sinusoidale de frecvențe diferite cuprinse în domeniul $(0, f_{\max})$ să aibă aceleași eșantioane în punctele de eșantionare (se consideră că sinusoidalele au aceeași amplitudine). Pe baza acestor condiții se va demonstra că se pot obține frecvențe de eșantionare ale unui semnal periodic, mai mici decât cea dată de teorema eșantionării și, cu toate acestea, să nu rezulte erori de aliere.

Mulțimea frecvențelor sinusoidelor, ce fac parte dintr-un semnal periodic $x(t)$, care au aceleași eșantioane, în cazul utilizării unei anumite frecvențe de eșantionare, se poate obține din identitățile [To2]

$$\sin\left(2\pi f \frac{n}{f_e} + \varphi\right) = \sin\left[2\pi(f + k_1 f_e) \frac{n}{f_e} + \varphi\right], \quad (2.7)$$

$$\sin\left(2\pi f \frac{n}{f_e} + \varphi\right) = \sin\left[2\pi(k_2 f_e - f) \frac{n}{f_e} - \varphi + \pi\right], \quad (2.8)$$

unde k_1 și k_2 sunt numere întregi. Aceste numere întregi trebuie să fie alese astfel încât

$$0 \leq f + k_1 f_e \leq f_{\max} \quad (2.9)$$

și respectiv

$$0 \leq k_2 f_e - f \leq f_{\max} \quad (2.10)$$

unde f_{\max} reprezintă frecvența maximă corespunzătoare semnalului $x(t)$ iar, $f_e = 1/T_e$ reprezintă frecvența de eșantionare.

Din relațiile (2.9) și (2.10) rezultă că se iau în considerare doar acele frecvențe ce fac parte din domeniul de frecvențe $(0, f_{\max})$ adică, domeniul în care spectrul semnalului analizat este diferit de zero. Pe baza relațiilor (2.7) și (2.8) se notează mulțimea frecvențelor sinusoidelor din domeniul de frecvențe $(0, f_{\max})$ care au aceleași eșantioane, sub forma

$$f_{k_1} = f + k_1 f_e, \quad (2.11)$$

$$f_{k_2} = k_2 f_e - f. \quad (2.12)$$

Dacă avem un semnal periodic $x(t)$, acesta va fi format din componente de anumite frecvențe, de exemplu, fundamentală plus un număr de componente armonice, cu alte cuvinte, domeniul de frecvențe $(0, f_{\max})$ este unul discret. În cazul în care, pentru o anumită frecvență de eșantionare f_e , relațiile (2.11) și (2.12) au ca rezultat frecvențele f_{k_1} și f_{k_2} din care, doar una să facă parte din domeniul discret $(0, f_{\max})$, putem spune că f_e este corect aleasă.

Considerăm că semnalul periodic $x(t)$ este format din componentele armonice de frecvențe $m f_0$, $m = 1, 2, 3, \dots, K$, unde $f_0 = 1/T_0$ reprezintă frecvența fundamentalei. Conform teoremei eșantionării, frecvența de eșantionare trebuie să fie mai mare decât $2K f_0$. În cele ce urmează se va demonstra că eșantionarea semnalului periodic $x(t)$ cu frecvența

$$f_e = \frac{2K+1}{2^P} f_0, \quad (2.13)$$

unde $P = 1, 2, \dots$, nu conduce la erori de aliere. Pentru $P \geq 1$, teorema clasică a eșantionării nu este respectată. Demonstrarea faptului că erorile de aliere sunt eliminate se face prin verificarea condiției de neexistență a două componente armonice ale semnalului $x(t)$ care să aibă aceleași eșantioane în punctele de eșantionare.

Pentru semnalul $x(t)$ și pentru frecvențe de eșantionare alese pe baza relației (2.13), relațiile (2.9) și (2.10) devin:

$$0 \leq mf_0 + k_1 \frac{2K+1}{2^P} f_0 \leq Kf_0, \quad (2.14)$$

$$0 \leq k_2 \frac{2K+1}{2^P} f_0 - mf_0 \leq Kf_0, \quad (2.15)$$

unde $m = 1, 2, \dots, K$.

Mulțimea frecvențelor sinusoidelor cu aceleași eșantioane în intervalul de frecvențe $0, \dots, Kf_0$ este

$$f_{k_1 m} = \left(m + k_1 \frac{2K+1}{2^P} \right) f_0, \quad (2.16)$$

$$f_{k_2 m} = \left(k_2 \frac{2K+1}{2^P} - m \right) f_0, \quad (2.17)$$

unde termenii k_1 și k_2 au valori întregi, $k_1 \geq 0$ și $k_2 > 0$, astfel încât să fie satisfăcute relațiile (2.14) și (2.15).

Din relațiile (2.16) și (2.17) rezultă că mulțimea frecvențelor sinusoidelor cu aceleași eșantioane în intervalul $0, \dots, Kf_0$ se poate obține cu ajutorul relației

$$f_{km} = \left| m + k \frac{2K+1}{2^P} \right| f_0, \quad (2.18)$$

unde variabila k are valori (pozitive sau negative) întregi, astfel încât

$$0 \leq f_{km} \leq Kf_0. \quad (2.19)$$

Folosind relațiile (2.18) și (2.19) putem scrie

$$-Kf_0 \leq \left(m + k \frac{2K+1}{2^P} \right) f_0 \leq Kf_0,$$

de unde, eliminând pe f_0 vom avea pentru k relația

$$-(K+m) \frac{2^P}{2K+1} \leq k \leq (K-m) \frac{2^P}{2K+1}. \quad (2.20)$$

Rezultă succesiv limitele maxime de variație pentru variabila k

$$-\frac{2K}{2K+1} 2^P \leq k \leq \frac{K}{2K+1} 2^P,$$

$$-2^P < k < 2^{P-1}, \quad (2.21)$$

$$-2^P + 1 \leq k \leq 2^{P-1} - 1. \quad (2.22)$$

Astfel obținem

$$\left|k' \pm k''\right|_{\max} = \left|-2^P + 1\right| + \left|-2^P + 2\right| = 2 \cdot 2^P - 3 < 2^{P+1}, \quad (2.23)$$

unde k' și k'' au același domeniu de variație ca și k (relația (2.22)), condiție ce va fi utilizată mai jos.

În cazul apariției erorilor de aliere următoarea relație ar fi adevărată

$$f_{k_1 m_1} = f_{k_2 m_2}, \quad (2.24)$$

unde $f_{k_1 m_1}$ și $f_{k_2 m_2}$ sunt două componente ce fac parte din mulțimea frecvențelor sinusoidelor, mulțime obținută cu ajutorul relației (2.18). Din relația (2.24) și (2.18) se obține

$$\left|m_1 \pm m_2\right| = \left|k_1 + k_2\right| \frac{2K + 1}{2^P}, \quad (2.25)$$

deoarece $k_1, k_2 > 0$.

Prin urmare $\left|k_1 + k_2\right|$ trebuie să fie divizibil cu 2^P . Din relația (2.23) rezultă singura valoare posibilă și anume

$$\left|k_1 + k_2\right| = 2^P, \quad p > 1$$

pentru care condiția de divizibilitate este satisfăcută. În acest caz vom obține

$$\left|m_1 \pm m_2\right| = 2K + 1. \quad (2.26)$$

Deoarece m_1 și m_2 au valori în domeniul $0, \dots, K$ putem scrie

$$\left|m_1 + m_2\right| \leq 2K - 1 \quad (\leq 2K \text{ dacă } m_1 = m_2),$$

astfel, relația (2.26) nu poate fi îndeplinită. Prin urmare singura soluție a ecuației (2.24) este $m_1 = m_2$ și $k_1 = k_2$, în caz contrar $f_{k_1 m_1} \neq f_{k_2 m_2}$, ceea ce demonstrează absența erorilor de aliere.

Din relația (2.13) se poate observa că, pentru $P = 0$ se prelevează un număr de $2K + 1$ eșantioane dintr-o perioadă a semnalului periodic $x(t)$, pentru $P \geq 1$ aceste eșantioane prelevându-se de pe 2 sau mai multe perioade dar totdeauna un număr par de perioade. În continuare se va studia posibilitatea prelevării unui număr par sau impar de eșantioane de pe un număr par sau impar de perioade ale semnalului $x(t)$ analizat.

2.3 Eșantionarea semnalelor periodice pe M perioade

Considerăm că pentru calculul coeficienților Fourier ai unui semnal periodic avem nevoie de un anumit număr de eșantioane (număr dat de frecvența maximă din spectrul semnalului), pe care îl notăm cu N . În acest caz vom avea perioada de eșantionare $T_e = T_0/N$ dată de teorema eșantionării, unde cu T_0 s-a notat perioada fundamentalei (perioada semnalului). Notăm cu M numărul de perioade din semnal pe care dorim să facem eșantionarea. Perioada (de timp) pe care se face eșantionarea va fi în acest caz $T = MT_0$, rezultând perioada de eșantionare notată T_{em} cu valoarea

$$T_{em} = \frac{T}{N} = \frac{MT_0}{N} = MT_e. \quad (2.27)$$

Eșantionând pe mai multe perioade este posibil însă, să prelevăm același eșantion din perioade diferite. Același eșantion se referă la faptul că prelevarea se face în momente de timp astfel încât eșantioanele sunt egal depărtate față de începutul unei perioade. Pentru ca să nu se întâmple acest lucru vom căuta condițiile ce trebuiesc îndeplinite referitor la numărul de perioade M pe care se face eșantionarea în funcție de numărul N de eșantioane dorite, considerând cazurile N par și N impar.

2.3.1 Cazul - N număr par

Din relația (2.27) avem $NT_{em} = MT_0$, adică numărul de eșantioane înmulțit cu perioada de eșantionare este egal cu un multiplu al perioadei semnalului de eșantionat.

- Considerăm M par. Rezultă că se pot face simplificări în relația (2.27) și vom avea

$$T_{em} = \frac{M}{N} T_0 = \frac{M'}{N'} T_0. \quad (2.28)$$

Altfel scris $N'T_{em} = M'T_0$, adică un anumit număr de eșantioane (diferit de N), înmulțit cu perioada de eșantionare, este egal cu un multiplu al perioadei semnalului de eșantionat. Deci eșantionul zero va fi prelevat de mai multe ori, acest lucru însemnând că și alte eșantioane vor fi prelevate de mai multe ori, în detrimentul unora care nu vor ajunge să fie luate în considerare. Prin urmare eșantionarea nu este corectă neputând obține un sistem (de tipul (1.8)) determinat.

Concluzie: dacă N este un număr par, M nu poate fi un număr par deoarece nu am eșantiona corect semnalul.

- Considerăm M impar. Dacă raportul N/M are ca rezultat un număr întreg, sau se poate simplifica rezultând

$$\frac{M}{N} = \frac{M^*}{N^*},$$

avem situația prezentată mai sus (relația (2.28)) adică un anumit număr de eșantioane înmulțit cu perioada de eșantionare este un multiplu al perioadei semnalului de eșantionat, deci anumite eșantioane se prelevează de mai multe ori în timp ce alte eșantioane se pierd.

Un mod de calcul al numerelor impare ce nu pot fi acceptate ca fiind număr de perioade pe care se face eșantionarea este prezentat mai jos.

Numărul de eșantioane N se divide cu 2 până când rezultatul x va fi un număr impar. Numărul impar x obținut nu poate fi folosit ca număr de perioade pe care se face eșantionarea. De asemenea nici numerele $n \cdot x$ cu $n=1, 2, \dots$ nu pot fi folosite ca număr de perioade pe care să se facă eșantionarea.

Exemplu: $N = 6$; $6/2 = 3$, rezultă că 3 nu poate fi numărul de perioade pe care se dorește să se facă eșantionarea și de asemenea nici un multiplu de 3, care este și impar deoarece numerele pare sunt eliminate din start.

2.3.2 Cazul - N număr impar

Din relația (2.27) avem $T_{em} = MT_0/N$. Condiția ce se pune pentru a avea eșantionare corectă este $M \neq nN$, unde $n=1, 2, \dots$, în caz contrar $T_{em} = nT_0$, deci se va eșantiona tot timpul numai eșantionul zero. În rest M poate lua orice valoare - număr par sau impar.

Concluzie

În cazul în care dorim să obținem un număr N de eșantioane dintr-un semnal periodic folosind o frecvență mai mică decât cea corespunzătoare teoremei eșantionării, prelevarea eșantioanelor trebuie să fie făcută în decursul a M perioade complete ale semnalului periodic supus eșantionării.

Notând cu T_{em} perioada de eșantionare și cu T_0 perioada semnalului, vom avea relația (2.27) pentru calculul T_{em} funcție de T_0 . Pentru a găsi condiția ce trebuie îndeplinită pentru ca să nu prelevăm același eșantion de mai multe ori din perioade diferite, ne vom folosi de notația kT_{em} pentru a indica momentul în care se prelevează eșantionul cu indicele k . Considerăm că avem două eșantioane ce au indicii k_1 respectiv k_2 . Distanța în domeniul timp dintre cele două eșantioane este $k_2T_{em} - k_1T_{em} = (k_2 - k_1)T_{em}$. În cazul în care această valoare este egală cu perioada T_0 a semnalului sau un multiplu al ei, eșantioanele vor fi identice. Prin urmare condiția de a nu preleva același eșantion de două (sau mai multe) ori (din perioade diferite) este

$$(k_2 - k_1)T_{em} \neq nT_0, \quad (2.29)$$

unde $k_2 - k_1 \leq N$, iar n este un număr întreg (mai mic decât M).

Teoremă

Reducerea frecvenței de eșantionare, în cazul semnalelor periodice, prin prelevarea eșantioanelor de pe mai multe perioade trebuie astfel realizată încât distanța dintre oricare două eșantioane să fie diferită de multiplul perioadei semnalului.

Înlocuind în relația (2.29) pe T_{em} în funcție de T_0 vom obține

$$(k_2 - k_1) \frac{MT_0}{N} \neq nT_0 \Rightarrow \frac{M}{N} \neq \frac{n}{k_2 - k_1}. \quad (2.30)$$

Din partea dreaptă a relației (2.30) putem trage concluzia că numărul de eșantioane N și numărul de perioade M nu au voie să aibă nici un divizor comun

pentru ca prin procesul de eșantionare să nu prelevăm de două ori (sau de mai multe ori) același eșantion.

Exemplu - eșantionarea pe două perioade în cazul $N = 2K + 1$.

Pentru simplificare, considerăm un caz particular și anume, $K = 3$, și semnalul periodic de forma $x(t) = \sin(2\pi f_0 t) + 0,5 \sin(2\pi 3 f_0 t)$. În acest caz numărul minim necesar de eșantioane este 7, conform teoremei eșantionării, pentru a reconstitui semnalul inițial.

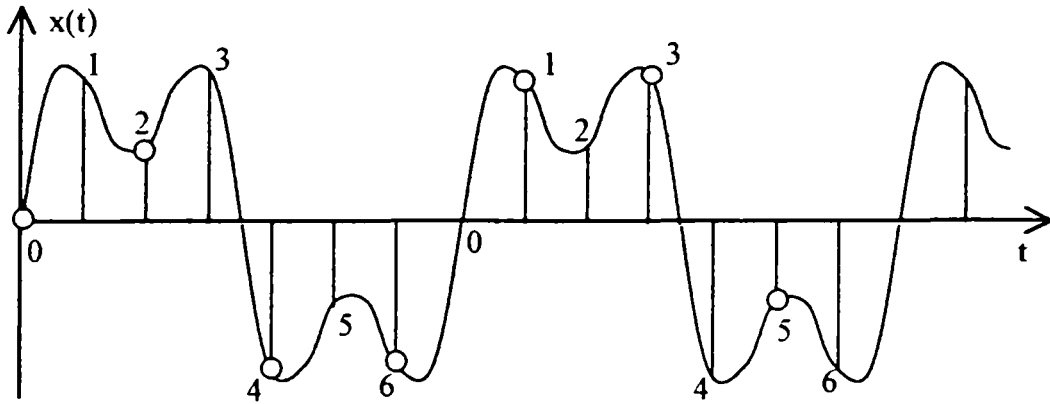


Fig. 2.2. Eșantionarea unui semnal periodic cu $K=3$. pe două perioade.

Eșantionarea făcându-se pe două perioade cu pasul de eșantionare $T_{e2} = 2T_{e1}$, față de cazul eșantionării pe o perioadă, T_{e1} , va fi prelevat tot al doilea eșantion. Deci, după cum se poate observa și din desen (fig. 2.2) vor fi prelevate în ordine eșantioanele: 0,2,4,6,1,3,5.

Formula de calcul a coeficienților seriei Fourier (vezi relația 1.19) pentru semnalul $x(t)$ este

$$c_k = \frac{1}{N} \sum_{i=0}^{N-1} x(iT_e) e^{-jk\omega_0 T_e} = \frac{1}{N} \sum_{i=0}^{N-1} x(iT_e) e^{-jk \frac{2\pi}{N} i}, \quad (2.31)$$

unde $\omega_0 = 2\pi/T_0$ și $T_e = T_0/N$.

În cazul în care frecvența de eșantionare este

$$f_{e1} = \frac{1}{T_{e1}} = \frac{N}{T_0},$$

adică prelevăm cele N eșantioane dintr-o singură perioadă a semnalului, calculul coeficienților seriei Fourier se face cu relația (2.31) unde în loc de k se utilizează kl

$$c_{kl} = \frac{1}{N} \sum_{i=0}^{N-1} x(iT_{e1}) e^{-jk l \frac{2\pi}{N} i} \quad (2.32)$$

În cazul în care frecvența de eșantionare este

$$f_{e2} = \frac{1}{T_{e2}} = \frac{1}{2T_{e1}} = \frac{f_{e1}}{2},$$

adică prelevăm cele N eşantioane în decursul a două perioade ale semnalului, calculul coeficienţilor seriei Fourier se face cu relaţia

$$c_{k2} = \frac{1}{N} \sum_{i=0}^{N-1} x(iT_{e2}) e^{-jk2 \cdot \frac{2\pi}{N} \cdot 2i}. \quad (2.33)$$

Calculând coeficienţii cu relaţiile (2.32) respectiv (2.33) vom vedea că $c_{k1} = c_{k2}$ pentru $k_1 = k_2$, unde $k_1, k_2 = 0, 1, \dots, N-1$.

Formula de reconstrucţie rămâne aceeaşi

$$g(t) = \sum_{k=-K}^K c_k e^{jk\omega_s t}. \quad (2.34)$$

Urmărind ordinea de prelevare a eşantioanelor în acest caz, $K=3$ şi $M=2$ şi în alte cazuri (eşantionare pe mai multe perioade, respectiv prelevarea unui număr diferit de eşantioane), se poate deduce relaţia după care se obţin eşantioanele faţă de cazul eşantionării pe o perioadă. În acest scop se vor utiliza notaţiile:

- i pentru indicele eşantionului în cazul eşantionării pe o perioadă,
 - j pentru indicele eşantionului în cazul eşantionării pe M perioade,
 - P pentru perioada în care se află eşantionul j , $P = 0, 1, \dots, M-1$,
 - 2π perioada semnalului,
 - $2\pi/N$ perioada de eşantionare în cazul eşantionării pe o perioadă.
- Semnalul fiind periodic, următoarea relaţie este adevărată

$$x\left(jM \frac{2\pi}{N}\right) = x\left(i \frac{2\pi}{N} + 2\pi P\right), \quad (2.35)$$

de unde rezultă succesiv

$$jM \frac{2\pi}{N} = i \frac{2\pi}{N} + 2\pi P,$$

$$jM = i + NP,$$

$$i = jM - NP. \quad (2.36)$$

Această relaţie se poate scrie mai simplu sub forma

$$x(iT_{em}) = x(u(i)T_{e1}), \quad (2.37)$$

unde

$$u(i) = (M \cdot i)_{\text{modulo}(N)}, \quad (2.38)$$

relație valabilă în cazul în care se consideră că primul eșantion este eșantionul zero.

Exemple de alte cazuri:

$N = 6, M = 5$ se prelevează eșantioanele în ordinea: 0,5,4,3,2,1;

$N = 8, M = 3$ se prelevează eșantioanele în ordinea: 0,3,6,1,4,7,2,5;

$N = 9, M = 4$ se prelevează eșantioanele în ordinea: 0,4,8,3,7,2,6,1,5;

$N = 6, M = 7$ se prelevează eșantioanele în ordinea: 0,1,2,3,4,5;

$N = 6, M = 11$ se prelevează eșantioanele în ordinea: 0,5,4,3,2,1.

Relațiile (2.37) și (2.38) au fost verificate pe cale experimentală, prin simulare în Mathcad. Aceste relații sunt valabile și în cazul în care N este par, după cum se poate observa și din exemplele amintite, în acest caz, însă, trebuie ținut cont de faptul că numărul de perioade de pe care se face prelevarea eșantioanelor trebuie să satisfacă mai multe condiții.

Exemplu: considerăm că avem un semnal periodic descris de ecuația $x(t) = \sin(2\pi f_0 t) + 0,5 \sin(2\pi 2 f_0 t)$, $K = 2$, și îl eșantionăm astfel încât să obținem $N = 2K + 2$ eșantioane pe perioadă. În cazul în care prelevăm aceste eșantioane în decurs de două perioade, deci pe un număr par de perioade, vom obține în ordine eșantioanele 0,2,4,0,2,4, corespunzătoare eșantionării pe o perioadă. Eșantioanele 1,3,5, lipsesc din achiziție în timp ce eșantioanele 0,2,4, au fost prelevate de două ori. Acest lucru este prezentat grafic în figura 2.3.

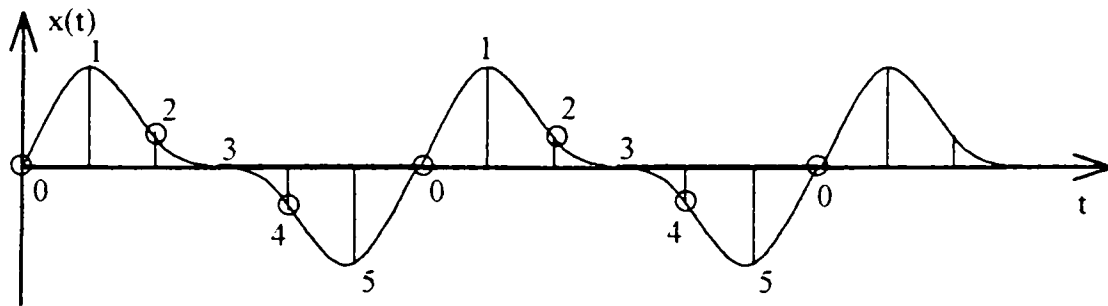


Fig. 2.3. Prelevarea unui număr par de eșantioane de pe două perioade ale unui semnal periodic.

Numărul N fiind par, eșantionarea se poate face pe mai multe perioade, dar aceste perioade trebuie să fie un număr impar și în același timp să nu fie un divizor al lui N (sau să aibă divizori comuni, în cazul nostru $N = 6$, M nu poate fi 3, 9, 15, ...).

Pentru reconstrucția semnalului trebuie ținut cont de ordinea în care au fost obținute eșantioanele, relația (2.37) cu (2.38), și scoaterea eșantioanelor la ieșire în ordinea normală de apariție a lor, indiferent de ordinea în care au fost prelevate. Folosind pentru achiziție, prelucrare și redare un procesor numeric de semnal, eșantioanele de ieșire pot fi obținute relativ simplu deoarece procedeul de alegere a eșantioanelor folosind operația *modulo* este folosit și pentru calculul transformatei Fourier rapide (TFR).

În general, dacă se prelucrează un semnal cu ajutorul unui procesor numeric de semnal, eșantioanele prelevate sunt memorate într-un spațiu de memorie. Memorarea lor se poate face la adrese succesive sau la adrese alese după o anumită regulă, spre exemplu *modulo(N)*. Astfel, pentru prelucrarea și refacerea semnalului se poate considera că prelevarea eșantioanelor a fost făcută în ordinea firească.

Deoarece sunt realizate subrutine de calcul a FFT ce țin seama de faptul că eșantioanele sunt stocate în memorie în ordinea lor firească, este indicat, în cazul în care se dorește calculul FFT, memorarea lor să se facă după regula *modulo(N)*.

FUNCTII PARE, FUNCTII IMPARE

3.1. Introducere

În acest capitol se tratează cazul particular al funcțiilor pare respectiv impare, modul de definire al lor [Un4], descompunerea lor în serii de cosinusi și serii de sinusuri. Se vor calcula coeficienții seriei Fourier în aceste cazuri particulare folosind un număr redus de eșantioane, prelevate începând cu momentul $t_0 = 0$ și respectiv, $t_0 \neq 0$. Funcția inițială va fi reconstituită pe baza coeficienților calculați. Relațiile de calcul al coeficienților vor fi utilizate (testate) și în cazul unor eșantionări urmate de cuantizări mai apropiate de cazul real. Deoarece convertoarele analog numerice au un număr limitat de biți, simularea în cazul cuantizării se va face utilizând eșantioane ce au un număr limitat de cifre mai mic decât cel corespunzător rezoluției maxime a programului de calcul.

3.2. Functii pare și impare

Considerăm o funcție $f(x)$ definită pe axa Ox . Spunem că $f(x)$ este o funcție *pară* dacă este valabilă relația

$$f(-x) = f(x), \quad (3.1)$$

oricare ar fi x .

Conform relației (3.1) graficul unei funcții pare este simetric față de axa Oy . Un exemplu de funcție pară este ilustrat în figura 4.1.

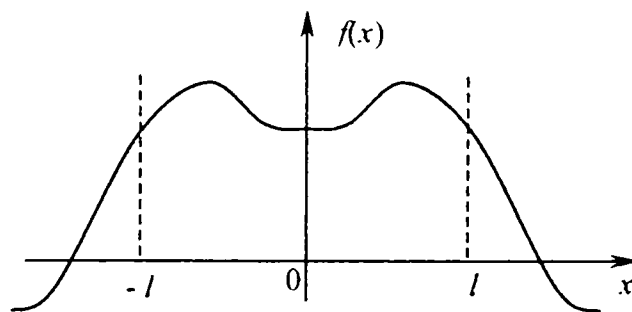


Figura 3.1. Funcție pară.

Calculând aria pe un segment $[-l, +l]$, pentru funcțiile pare avem relația

$$\int_{-l}^l f(x)dx = 2 \int_0^l f(x)dx, \quad (3.2)$$

pentru orice l , cu condiția ca $f(x)$ să fie definită și integrabilă pe segmentul $[-l, +l]$.

Spunem că $f(x)$ este o funcție *impară* dacă este valabilă relația

$$f(-x) = -f(x), \quad (3.3)$$

oricare ar fi x . Pentru o funcție impară $f(0) = 0$ (vezi relația (3.3)). Graficul unei funcții impare este simetric față de punctul zero (originea axelor). Un exemplu de funcție impară este dat în figura 3.2.

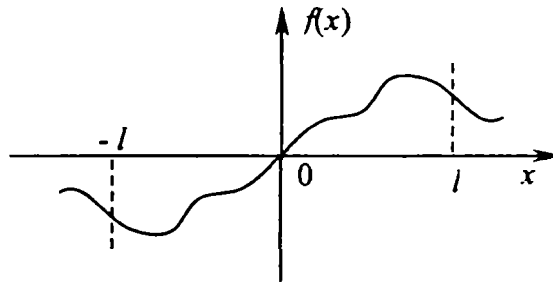


Figura 3.2. Funcție impară.

Calculând aria pe un segment $[-l, +l]$, pentru funcțiile impare vom avea relația

$$\int_{-l}^l f(x)dx = 0, \quad (3.4)$$

pentru orice l , cu condiția ca $f(x)$ să fie definită și integrabilă pe segmentul $[-l, +l]$.

Din definiția funcțiilor pare și impare putem deduce proprietățile:

- a) produsul a două funcții pare sau a două funcții impare este o funcție pară;
- b) produsul dintre o funcție pară și o funcție impară este o funcție impară.

Demonstrație: fie $\varphi(x)$ și $\psi(x)$ două funcții pare și $\gamma(x)$ și $\rho(x)$ două funcții impare.

Pentru $f(x) = \varphi(x) \cdot \psi(x)$ avem egalitatea

$$f(-x) = \varphi(-x) \cdot \psi(-x) = \varphi(x) \cdot \psi(x) = f(x).$$

Pentru $f(x) = \gamma(x) \cdot \rho(x)$ avem egalitatea

$$f(-x) = \gamma(-x) \cdot \rho(-x) = [-\gamma(x)] \cdot [-\rho(x)] = \gamma(x) \cdot \rho(x) = f(x).$$

Pentru $f(x) = \varphi(x) \cdot \gamma(x)$ avem egalitatea

$$f(-x) = \varphi(-x) \cdot \gamma(-x) = \varphi(x) \cdot [-\gamma(x)] = -\varphi(x) \cdot \gamma(x) = -f(x).$$

Astfel, au fost demonstrate cele două proprietăți prezentate mai sus.

Deoarece se vor face produse de semnale vom demonstra, în continuare, că produsul a două semnale periodice cu frecvențe aflate în relație armonică este tot un semnal periodic. Pentru aceasta se prezintă întâi că suma a două semnale periodice, cu frecvențe aflate în relație armonică este tot un semnal periodic. Un astfel de caz este semnalul periodic ce conține atât fundamentala cât și un anumit număr de componente armonice, în acest caz perioada semnalului fiind egală cu perioada fundamentalei. Exemplu: notăm cu T_1 perioada fundamentalei și cu $T_2 = T_1/2$ perioada celei de-a doua componente armonice. Astfel, perioada semnalului este

$$T = k_1 T_1 = k_2 T_2, \quad (3.5)$$

unde $k_1 = 1$ și $k_2 = 2$ deci, $T = T_1$.

Un alt caz este acela în care fundamentala lipsește adică, semnalele însumate au perioadele notate T_i cu valori diferite de un submultiplu întreg corespunzător celei mai mari perioade dintre T_i . În acest caz, factorii de multiplicare k_i vor fi toți mai mari decât unu și prin urmare perioada semnalului rezultat va fi mai mare decât oricare perioadă T_i corespunzătoare semnalelor periodice însumate.

Exemplu: fie $T_2 = T_1/1,5$. Rezultă că $T = 2T_1 = 3T_2$.

Astfel, *perioada semnalului rezultat ca sumă de semnale periodice este un număr egal cu cel mai mic multiplu comun tuturor perioadelor semnalelor componente.*

În continuare vom demonstra că această regulă, dată de relația 3.5, este valabilă și în cazul în care avem produs de semnale periodice, semnalul rezultat fiind și el periodic. Pentru aceasta, considerăm că avem un semnal periodic, de tip trece jos, $p(t)$, cu perioada T_1 ce este înmulțit cu un semnal periodic, $\cos(\omega_0 t)$, cu perioada T_0 unde $T_0 < T_1$. Prin semnal de tip trece jos se înțelege un semnal ce are componente cu frecvențe în domeniul 0 la f_{\max} . Presupunem că semnalul

$$x(t) = p(t) \cos(\omega_0 t), \quad (3.6)$$

este periodic cu perioada T . Se pun întrebările: există o perioadă T și, dacă da, care este valoarea sa dacă se cunosc T_1 și T_0 ?

Dacă $x(t)$ este periodic cu perioada T atunci este valabilă relația

$$p(t) \cos(\omega_0 t) = x(t) = x(t+T) = p(t+T) \cos[\omega_0(t+T)]. \quad (3.7)$$

Pentru $p(t)$ avem egalitățile

$$p(t) = p(t+T_1) = p(t+2T_1) = \dots = p(t+m_1 T_1) = \dots, \quad (3.8)$$

dar, din (3.7) rezultă $p(t) = p(t+T)$ deci, există un m_1 astfel încât

$$p(t) = p(t+m_1 T_1) = p(t+T). \quad (3.9)$$

Pentru $\cos(\omega_0 t)$ avem egalitățile

$$\cos(\omega_0 t) = \cos[\omega_0(t+T_0)] = \dots = \cos[\omega_0(t+m_0 T_0)] = \dots, \quad (3.10)$$

dar, din (3.7) rezultă $\cos(\omega_0 t) = \cos[\omega_0(t + T)]$ deci, există un m_0 astfel încât

$$\cos(\omega_0 t) = \cos[\omega_0(t + m_0 T_0)] = \cos[\omega_0(t + T)]. \quad (3.11)$$

Astfel rezultă că este valabilă relația

$$T = m_1 T_1 = m_0 T_0, \quad m_0 > m_1, \quad (3.12)$$

unde m_0 și m_1 sunt numere întregi.

Pe baza relației (3.12) se poate scrie un enunț similar cu cel prezentat la suma de semnale periodice și anume: *perioada semnalului rezultat ca produs de semnale periodice este un număr egal cu cel mai mic multiplu comun tuturor perioadelor semnalelor componente.*

Cu cât raportul T_1/T_0 (perioada mai mare / perioada mai mică) are ca rezultat o parte fracționară reprezentată pe mai multe cifre, numerele m_0 și m_1 vor fi mai mari, perioada semnalului rezultat fiind mai mare.

Semnalul $x(t)$ obținut cu relația (3.6) este un semnal periodic de tip trece bandă (obținut prin modulare în amplitudine). Prin semnal de tip trece bandă se înțelege un semnal ce are componente în domeniul f_{\min} la f_{\max} unde, $f_{\min} \gg 0$. Eșantionarea acestui tip de semnale periodice va fi studiată în capitolul 5.

3.3. Serii de cosinusuri și serii de sinusuri

Considerăm că $f(x)$ este o funcție (periodică) pară definită pe segmentul $[-\pi, \pi]$.

Funcția $\cos(nx)$, $n = 0, 1, 2, \dots$, este o funcție pară iar funcția $\sin(nx)$ este o funcție impară. Conform proprietăților a) și b) enunțate în paragraful 3.2, avem $f(x)\cos(nx)$ funcție pară și $f(x)\sin(nx)$ funcție impară.

Pe baza relațiilor (1.4), (3.2) și (3.4) vom obține pentru coeficienții Fourier ai unei funcții pare $f(x)$ relațiile

$$a_n = \frac{1}{\pi} \int_{-\pi}^{\pi} f(x) \cos(nx) dx = \frac{2}{\pi} \int_0^{\pi} f(x) \cos(nx) dx, \quad (n = 0, 1, 2, \dots). \quad (3.13)$$

$$b_n = \frac{1}{\pi} \int_{-\pi}^{\pi} f(x) \sin(nx) dx = 0, \quad (n = 1, 2, \dots). \quad (3.14)$$

Conform relațiilor (3.13) și (3.14) seria Fourier a unei funcții pare conține numai componente cosinusoidale, deci putem scrie

$$f(x) = \frac{a_0}{2} + \sum_{n=1}^{\infty} a_n \cos(nx). \quad (3.15)$$

Considerăm că $f(x)$ este o funcție (periodică) impară definită pe segmentul $[-\pi, \pi]$. Conform proprietăților a) și b) enunțate în subcapitolul 3.2, avem $f(x)\cos(nx)$ funcție impară și $f(x)\sin(nx)$ funcție pară.

Pe baza relațiilor (1.4), (3.2) și (3.4) vom obține pentru coeficienții Fourier ai funcției impare $f(x)$ relațiile

$$a_n = \frac{1}{\pi} \int_{-\pi}^{\pi} f(x)\cos(nx)dx = 0, \quad (n = 0, 1, 2, \dots), \quad (3.16)$$

$$b_n = \frac{1}{\pi} \int_{-\pi}^{\pi} f(x)\sin(nx)dx = \frac{2}{\pi} \int_0^{\pi} f(x)\sin(nx)dx, \quad (n = 1, 2, \dots). \quad (3.17)$$

Conform relațiilor (3.16) și (3.17) seria Fourier a unei funcții impare conține numai componente sinusoidale prin urmare putem scrie

$$f(x) = \sum_{n=1}^{\infty} b_n \sin(nx). \quad (3.18)$$

Deoarece seria Fourier a unei funcții impare conține numai sinusuri, ea va converge către valoarea zero pentru $x \rightarrow k\pi$, cu $k = 0, 1, 2, \dots$.

În cazul dezvoltării unei funcții oarecare periodice $f(x)$ în serie Fourier exponențială (complexă) pentru coeficienți se folosește notația c_k , calculul lor făcându-se cu relația (1.6). Între coeficienții c_k și c_{-k} avem relația

$$c_k = c_{-k}^*, \quad (3.19)$$

unde cu indice superior * s-a notat termenul complex conjugat.

Dacă funcția este *pară*, notată $f_p(x)$, atunci din (1.6), (3.13) și (3.14), relația (3.19) devine

$$c_k = c_{-k}, \quad (3.20)$$

în acest caz coeficienții Fourier fiind reali.

Dacă funcția este *impară*, notată $f_I(x)$, atunci din (1.6), (3.16) și (3.17), relația (3.19) devine

$$c_k = -c_{-k}, \quad (3.21)$$

în acest caz coeficienții Fourier fiind imaginari.

Se poate considera că o funcție oarecare (periodică) $f(x)$ este formată dintr-o funcție pară $f_p(x)$ însumată cu o funcție impară $f_I(x)$

$$f(x) = f_p(x) + f_I(x). \quad (3.22)$$

Funcțiile pară respectiv impară pot fi obținute din funcția $f(x)$ cu ajutorul relațiilor

$$f_p(x) = \frac{f(x) + f(-x)}{2} ; f_l(x) = \frac{f(x) - f(-x)}{2} . \quad (3.23)$$

În prelucrarea numerică a semnalelor, coeficienții Fourier se calculează folosindu-se eșantioane din semnalul analizat. Pentru aceasta sunt necesari cel puțin un număr de eșantioane egal cu numărul de coeficienți calculați. Din (3.23) și

$$c_k = \frac{a_k - jb_k}{2} \text{ respectiv } c_{-k} = \frac{a_k + jb_k}{2}$$

se observă că pentru calculul coeficienților Fourier, în cazul unei funcții oarecare avem nevoie de un număr dublu de eșantioane față de cazul unei funcții pare sau impare.

3.4. Funcții pare

Considerăm o funcție periodică pară $y = f_p(x)$ pe care o descompunem într-o sumă de cosinusuri

$$y = a_0 + a_1 \cos x + a_2 \cos 2x + \dots + a_K \cos Kx , \quad (3.24)$$

unde K reprezintă indicele componentei armonice maxime din semnal.

Notăm cu α pasul de eșantionare. Perioada semnalului fiind 2π atunci α va avea valoarea $\alpha = 2\pi/N$, unde N reprezintă numărul de eșantioane prelevate în decursul unei perioade. Din relația (3.24) rezultă că avem un număr de $K+1$ necunoscute care pot fi calculate pe baza a $N = K+1$ eșantioane diferite din semnalul $f_p(x)$. Vom avea sistemul

$$\begin{cases} y_0 = a_0 + a_1 + a_2 + \dots + a_K \\ y_1 = a_0 + a_1 \cos \alpha + a_2 \cos 2\alpha + \dots + a_K \cos K\alpha \\ \vdots \\ y_p = a_0 + a_1 \cos p\alpha + a_2 \cos 2p\alpha + a_K \cos Kp\alpha \\ \vdots \\ y_{N-1} = a_0 + a_1 \cos((N-1)\alpha) + \dots + a_K \cos((N-1)K\alpha) \end{cases} \quad (3.25)$$

unde y_p este eșantionul funcției (semnalului) y la momentul $p\alpha$.

Sistemul (3.25) poate fi scris matriceal sub forma

$$\begin{pmatrix} y_0 \\ y_1 \\ y_2 \\ \vdots \\ y_{N-1} \end{pmatrix} = \begin{pmatrix} 1 & 1 & 1 & \dots & 1 \\ 1 & \cos \alpha & \cos 2\alpha & \dots & \cos K\alpha \\ 1 & \cos 2\alpha & \cos 4\alpha & \dots & \cos 2K\alpha \\ \vdots & \vdots & \vdots & \ddots & \vdots \\ 1 & \cos(N-1)\alpha & \cos(N-1)2\alpha & \dots & \cos(N-1)K\alpha \end{pmatrix} \cdot \begin{pmatrix} a_0 \\ a_1 \\ a_2 \\ \vdots \\ a_K \end{pmatrix} \quad (3.26)$$

sau, folosind notații mai simple

$$Y = C \cdot A, \quad (3.27)$$

unde Y este vectorul eșantioanelor semnalului, C este matricea formată din termenii cos și A este vectorul coeficienților Fourier.

Utilizând proprietatea de periodicitate a funcției cosinus putem scrie

$$\cos(N - q)k\alpha = \cos\left(Nk \frac{2\pi}{N} - qk \frac{2\pi}{N}\right) = \cos qk \frac{2\pi}{N} = \cos qk\alpha. \quad (3.28)$$

Folosind relația (3.28) și sistemul (3.25) vom avea identitățile

$$y_{N-1} = a_0 + a_1 \cos((N-1)\alpha) + a_2 \cos((N-1)2\alpha) + \dots + a_K \cos((N-1)K\alpha)$$

$$= a_0 + a_1 \cos \alpha + a_2 \cos 2\alpha + \dots + a_K \cos K\alpha = y_1,$$

$$y_{N-2} = a_0 + a_1 \cos((N-2)\alpha) + a_2 \cos((N-2)2\alpha) + \dots + a_K \cos((N-2)K\alpha)$$

$$= a_0 + a_1 \cos 2\alpha + a_2 \cos 4\alpha + \dots + a_K \cos K2\alpha = y_2,$$

...

Rezultă că între eșantioane, în cazul eșantionării uniforme începând din momentul $t_0 = 0$, vom avea o relație de egalitate și anume

$$y_{N-p} = y_p, \quad \text{unde } p = 0, 1, 2, \dots, N-1. \quad (3.29)$$

Din (3.28) și (3.29) rezultă că două câte două linii ale matricei C sunt egale între ele. Altfel spus, determinantul matricei C este zero, astfel că nu pot fi calculati toți cei $K+1$ coeficienți, deși avem $K+1$ relații dar care nu sunt liniar independente. Prin urmare, eșantionând semnalul începând din momentul $t_0 = 0$, nu se poate reduce frecvența de eșantionare în raportul

$$\frac{K+1}{2K+1},$$

relația (3.29) fiind valabilă oricare ar fi N . Rezultă că trebuie obținute astfel de eșantioane încât relația (3.29) să nu mai fie valabilă.

În continuare, folosim notațiile T pentru perioada semnalului și T_e pentru perioada de eșantionare minimă obținută în conformitate cu teorema eșantionării.

Considerăm N număr *impar*, și anume $N = 2K + 1$, unde K reprezintă numărul de componente armonice din semnalul periodic par $f_p(t)$. În acest caz, $p = 0 \dots (N-1)/2$. Din relația (3.29) rezultă că eșantionul cu indice zero este independent, celelalte eșantioane vor fi două câte două egale. Deoarece avem nevoie de $K+1$ relații independente pentru a calcula tot atâtea necunoscute, eșantioanele necesare

se pot preleva dintr-o perioadă T a semnalului $f_p(t)$ folosind o perioadă de eșantionare dublă față de cazul limită dat de teorema eșantionării și anume $T_{e2} = 2T_e = 2T/N$. Prin reducerea frecvenței de eșantionare la jumătate se poate observa că pe parcursul unei perioade eșantionarea nu este “total uniformă”, în sensul că pasul de eșantionare este constant mai puțin ultima perioadă de eșantionare care este doar jumătate din T_{e2} . Astfel, în următoarea perioadă eșantionarea nu va începe din momentul zero (al noii perioade) ci de la momentul $t_0 = 2\pi/N$.

Dacă eșantionarea o facem cu pasul $T_e = 2\pi/N$ (perioada semnalului se consideră că este $T = 2\pi$), avem pentru eșantionare uniformă

$$NT_e = N \frac{2\pi}{N} = 2\pi. \quad (3.30)$$

Folosind pasul de eșantionare $T_{e2} = 2T_e$ vom preleva, de pe parcursul unei perioade T a semnalului periodic par, un număr de $(N+1)/2$ eșantioane ($K+1$ eșantioane pentru calculul celor $K+1$ coeficienți notați de la a_0 la a_K). Dacă eșantionarea ar fi uniformă, ar trebui ca

$$\frac{N+1}{2} T_{e2} = 2\pi,$$

dar de fapt

$$\frac{N+1}{2} T_{e2} = \frac{N+1}{2} 2T_e = (N+1) \frac{2\pi}{N} = 2\pi + \frac{2\pi}{N}. \quad (3.31)$$

În figura 3.3 se prezintă grafic cazul $K = 4$, $N = 2K + 1 = 9$.

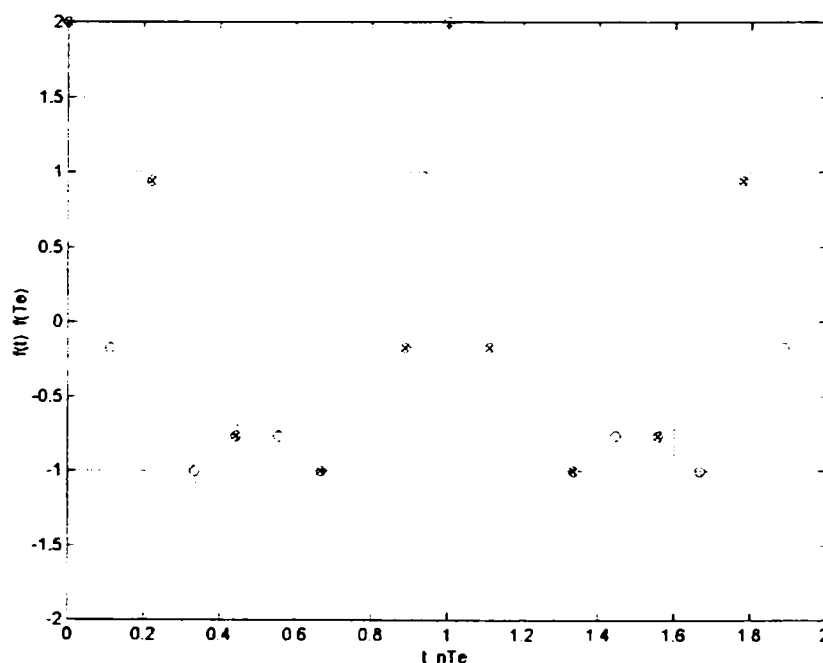


Figura 3.3. Semnal periodic par format din fundamentală și armonica $K=4$, $N=2K+1=9$.

Deoarece avem 4 coeficienți pentru suma de cosinus ($K = 4$) și coeficientul a_0 , rezultă că avem nevoie de 5 eșantioane diferite pentru calculul coeficienților. Prin alegerea pasului de eșantionare ca mai sus (T_{e2}), rezultă că toate cele 5 eșantioane sunt diferite. În figură ele sunt simbolizate cu un x încercuit (\otimes). Se observă că cele 5 eșantioane necesare pot fi prelevate de pe parcursul unei (primei) perioade a semnalului periodic par. Aceste eșantioane pot fi prelevate și din mai multe perioade ale semnalului supus analizei, astfel rezultând o nouă reducere a frecvenței de eșantionare.

Considerăm N număr par, $N = 2K + 2$. Și în acest caz sistemul (3.25) și relația (3.29) dintre eșantioane sunt valabile dar, acum $p = 0 \dots N/2$. Pentru $p = N/2$ avem $N - p = N - N/2 = N/2 = p$, deci eșantionul y_{N-p} este același cu eșantionul y_p și nu sunt două eșantioane diferite de aceeași valoare. Prin urmare, avem un număr de $K + 2$ eșantioane diferite care trebuie să se preleveze și anume eșantionul cu indice zero (unic), K eșantioane cu indice în domeniul 1 la $N/2 - 1$ (egale cu cele care au indicele între $N/2 + 1$ și $N - 1$) și eșantionul cu indice $N/2 = K + 1$ (unic). În acest caz, N număr par, frecvența de eșantionare nu mai poate fi redusă la jumătate la fel ca în cazul N număr impar, ci în alt raport. În capitolul 2, eșantionarea semnalelor periodice pe mai multe perioade, s-a prezentat faptul că numărul N de eșantioane și numărul M de perioade de pe care se face prelevarea lor, nu trebuie să aibe divizori comuni.

Folosind același exemplu, și anume semnalul periodic par ce conține fundamentală și componenta armonică $K = 4$, vom avea $N = 2K + 2 = 10$. Prelevarea celor $K + 2$ eșantioane din semnal, folosind o frecvență de eșantionare redusă, se poate face folosind perioada de eșantionare $T_{e3} = 3T_e = 3T/N$, unde cu T am notat perioada semnalului considerat. În acest caz cele N eșantioane ar fi prelevate de pe parcursul a trei perioade T . Acest exemplu este ilustrat grafic în figura 3.4.

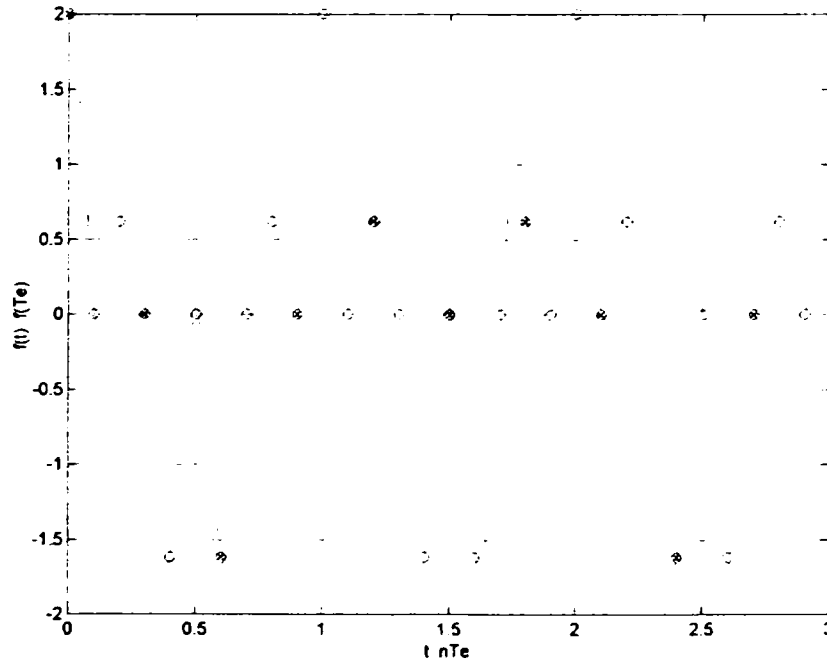


Figura 3.4. Semnal periodic par format din fundamentală și armonică $K=4$, $N=2K+2=10$.

Și în acest caz cu simbolul cerc sunt indicate eșantioanele ce se prelevează folosind pasul de eșantionare T_e , iar cu un x încercuit (\otimes) sunt indicate eșantioanele

prelevate folosind pasul de eşantionare T_{e3} . Din figură, se observă că cele 6 eşantioane necesare (primele notate cu \otimes), se prelevează din mai multe perioade (în acest caz două) ale semnalului analizat.

Pentru obținerea unei relații de calcul a coeficienților a_k în funcție de valorile eşantioanelor $f_p(iT_e)$, plecăm de la relația (3.15) scrisă sub forma

$$f_p(iT_e) = \sum_{k=0}^{N-1} a_k \cos(k\omega_0 iT_e), \quad (3.32)$$

unde coeficientul a_0 a fost inclus în sumă (astfel pentru coeficientul a_0 va rezulta o relație diferită de calcul față de cea utilizată pentru calculul coeficienților a_k , $k = 1, 2, \dots$) și, timpul continuu t a fost înlocuit cu timpul discret iT_e .

În anexa A se demonstrează că relațiile de calcul a coeficienților a_k sunt:

- pentru coeficientul a_0 corespunzător componentei continue

$$a_0 = \frac{1}{N} \sum_{i=0}^{N-1} f_p(iT_e), \quad (3.33)$$

în suma din relația (3.32) având coeficientul a_0 și nu $a_0/2$,

- iar pentru coeficienții a_k , $k = 1, 2, 3, \dots, K$

$$a_k = \frac{2}{N} \sum_{i=0}^{N-1} f_p(iT_e) \cos(k\omega_0 iT_e). \quad (3.34)$$

A. Cazul N număr *impar*

Deoarece relațiile ce formează sistemul (3.25) nu sunt independente, putem reduce numărul lor utilizând un număr mai mic de eşantioane, egal cu numărul coeficienților ce trebuie calculați. Eșantionând semnalul cu perioada $T_{e2} = 2T_e$ și utilizând doar eşantioanele prelevate din prima perioadă, relația (3.34) devine

$$a_k = \frac{2}{N} \left(f_p(0) + 2 \cdot \sum_{i=1}^K f_p(iT_{e2}) \cos(k\omega_0 iT_{e2}) \right) \quad (3.35)$$

(vezi relația A.12 din anexa A).

Dacă în relația (3.33) înmulțim cu 2 membrul drept, rezultă un coeficient a_0 pe care îl putem include în relația (3.35) și în acest caz indicele k va putea lua valori în domeniul $0 \dots K$ (la reconstrucție trebuie ținut cont de acest lucru).

B. Cazul N număr *par*

Dacă numărul N de eşantioane este par, reducerea frecvenței de eşantionare o putem face utilizând perioada de eşantionare $T_{eM} = MT_e$, unde numărul M de perioade de pe care se prelevează eşantioanele este ales în conformitate cu cerințele expuse în

capitolul 2. Relația de calcul a coeficienților a_k , folosind doar $K + 2$ eșantioane, va fi în acest caz

$$a_k = \frac{2}{N} (f_p(0) + f_p((K+1)T_{eM}) \cos(k(K+1)\omega_0 T_{eM})) + 2 \cdot \sum_{i=1}^K f_p(iT_{eM}) \cos(k\omega_0 iT_{eM}) \quad (3.36)$$

deoarece eșantionul cu indice zero și eșantionul cu indice $N/2 = K + 1$ sunt unici, restul fiind egali doi câte doi. Numărul de eșantioane prelevate este $K + 2$. Și în acest caz coeficientul a_0 poate fi introdus în relația (3.36), la fel ca în cazul N număr impar.

Formula de reconstrucție a semnalului inițial pe baza coeficienților a_k este

$$g_p(t) = \frac{a_0}{2} + \sum_{k=1}^K a_k \cos(k\omega_0 t), \quad (3.37)$$

pentru a_0 calculat conform relației (3.35) sau (3.36).

Concluzie

Dacă semnalul pe care îl eșantionăm este unul periodic par putem utiliza o frecvență de eșantionare mai mică decât limita impusă de teorema eșantionării și, în același timp vom avea nevoie de un număr mai mic de eșantioane decât în cazul prelucrării unui semnal periodic oarecare. Coeficienții seriei Fourier sunt numere reale iar ei se calculează cu ajutorul unor relații în care intervin doar numere reale și nu complexe prin urmare se reduce volumul de calcule necesare pentru obținerea lor.

3.5. Funcții impare

Considerăm o funcție periodică impară $y = f_I(x)$ pe care o descompunem într-o sumă de sinusuri

$$y = b_1 \sin x + b_2 \sin 2x + \dots + b_K \sin Kx, \quad (3.38)$$

unde K reprezintă indicele componentei armonice maxime din semnal. Folosim notația α pentru pasul de eșantionare, aceeași notație ca în paragraful 3.4, $\alpha = 2\pi/N$, unde 2π reprezintă perioada semnalului, iar N numărul de eșantioane prelevate de pe parcursul unei perioade. Pentru fiecare eșantion poate fi scrisă o relație de tipul (3.38) rezultând sistemul

$$\begin{cases} y_0 = b_1 \sin 0 + b_2 \sin 0 + \dots + b_K \sin 0 = 0 \\ y_1 = b_1 \sin \alpha + b_2 \sin 2\alpha + \dots + b_K \sin K\alpha \\ \vdots \\ y_i = b_1 \sin i\alpha + b_2 \sin 2i\alpha + \dots + b_K \sin Ki\alpha \\ \vdots \\ y_{N-1} = b_1 \sin(N-1)\alpha + b_2 \sin 2(N-1)\alpha + \dots + b_K \sin K(N-1)\alpha \end{cases} \quad (3.39)$$

unde y_i reprezintă eșantionul i , din semnalul periodic impar considerat, obținut la momentul $i\alpha$.

Din relația (3.38) se observă că avem doar K coeficienți prin urmare am avea nevoie de K eșantioane din semnalul analizat pentru a obține tot atâtea relații de tipul celei notate (3.38). Dacă eșantionarea începe în momentul $t_0 = 0$, din sistemul (3.39) se observă ca primul eșantion nu poate fi folosit deoarece toți coeficienții sunt înmulțiți cu zero. Prin urmare vor trebui prelevate cel puțin $K + 1$ eșantioane, la fel ca în cazul semnalelor periodice pare, prezentat anterior.

Sistemul (3.39) poate fi scris matriceal sub forma

$$\begin{pmatrix} y_1 \\ y_2 \\ \vdots \\ y_{N-1} \end{pmatrix} = \begin{pmatrix} \sin \alpha & \sin 2\alpha & \dots & \sin K\alpha \\ \sin 2\alpha & \sin 4\alpha & \dots & \sin 2K\alpha \\ \vdots & \vdots & & \vdots \\ \sin(N-1)\alpha & \sin(N-1)2\alpha & \dots & \sin(N-1)K\alpha \end{pmatrix} \cdot \begin{pmatrix} b_1 \\ b_2 \\ \vdots \\ b_K \end{pmatrix} \quad (3.40)$$

sau, folosind notații mai simple

$$\mathbf{Y} = \mathbf{S} \cdot \mathbf{B}, \quad (3.41)$$

unde \mathbf{Y} reprezintă vectorul eșantioanelor prelevate, \mathbf{S} matricea formată din termeni sin și \mathbf{B} vectorul coeficienților Fourier.

Utilizând proprietatea de periodicitate a funcției sinus putem scrie

$$\sin i(N-q)\alpha = \sin\left(iN\frac{2\pi}{N} - iq\alpha\right) = -\sin iq\alpha, \quad i, q = 1, \dots, N-1. \quad (3.42)$$

Din sistemul (3.39) și relația (3.42) se observă că

$$\begin{aligned} y_{N-1} &= b_1 \sin(N-1)\alpha + b_2 \sin 2(N-1)\alpha + \dots + b_K \sin K(N-1)\alpha = \\ &= -b_1 \sin \alpha - b_2 \sin 2\alpha - \dots - b_K \sin K\alpha = -y_1, \\ y_{N-2} &= b_1 \sin(N-2)\alpha + b_2 \sin 2(N-2)\alpha + \dots + b_K \sin K(N-2)\alpha = \\ &= -b_1 \sin 2\alpha - b_2 \sin 2 \cdot 2\alpha - \dots - b_K \sin K \cdot 2\alpha = -y_2, \end{aligned}$$

Rezultă că între eșantioane, în cazul eșantionării uniforme și $t_0 = 0$, vom avea o relație de forma

$$y_{N-i} = -y_i, \quad i = 0, 1, 2, \dots, N-1 \quad (3.43)$$

Din relațiile (3.42) și (3.43) rezultă că două câte două linii ale matricei \mathbf{S} sunt proportionale, prin urmare determinantul acestei matrice este zero. Altfel spus sistemul (3.39) este nedeterminat și prin urmare nu pot fi calculate necunoscutele b_k ,

$k = 1, 2, \dots, K$. Relația (3.43) este valabilă oricare ar fi numărul N . Pentru ca să putem calcula coeficienții b_k trebuie ca eșantioanele să fie astfel prelevate încât relația (3.43) să nu mai fie valabilă.

A. Cazul N număr *impar*

Considerăm N număr *impar*, și anume $N = 2K + 1$, în acest caz $i = 0, 1, 2, \dots, (N-1)/2$. Deoarece avem doar K coeficienți, ei ar putea fi calculați folosind un număr mai mic de eșantioane (față de $2K + 1$). Dacă reducem frecvența de eșantionare la jumătate se poate observa că avem și în acest caz, la fel ca în cazul semnalelor periodice pare, eșantionare "neuniformă" deoarece ultimul interval de timp, de la $y_{(N+1)/2}$ - ultimul eșantion din prima perioadă, la y_0 - primul eșantion din perioada următoare, nu este egal cu pasul de eșantionare, ci cu jumătate din acest pas. Considerăm perioada semnalului egală cu 2π , perioada de eșantionare fiind $T_e = 2\pi/N$. În cazul eșantionării uniforme, pentru N eșantioane prelevate, avem relația

$$NT_e = N \frac{2\pi}{N} = 2\pi. \quad (3.44)$$

Dacă reducem frecvența de eșantionare la jumătate, înseamnă că noul pas de eșantionare va fi $T_{e2} = 2T_e$ și pe parcursul unei perioade se vor preleva $(N+1)/2$ eșantioane. Pentru ca eșantionarea să fie uniformă ar trebui ca $T_{e2} (N+1)/2 = 2\pi$ dar, în acest caz

$$\frac{N+1}{2} T_{e2} = (N+1) \frac{2\pi}{N} = 2\pi + \frac{2\pi}{N}.$$

În figura următoare se prezintă cazul unui semnal periodic impar format din fundamentală și componenta armonică de ordin 4 ($K = 4$), ambele având aceeași amplitudine. Prin urmare $N = 2K + 1 = 9$. Dacă folosim perioada de eșantionare T_{e2} atunci vor fi prelevate de pe parcursul unei perioade a semnalului un număr de $(N+1)/2 = 5$ eșantioane (eșantionul cu indice zero care, dacă eșantionarea începe la momentul $t_0 = 0$, are valoarea zero și încă 4 eșantioane diferite).

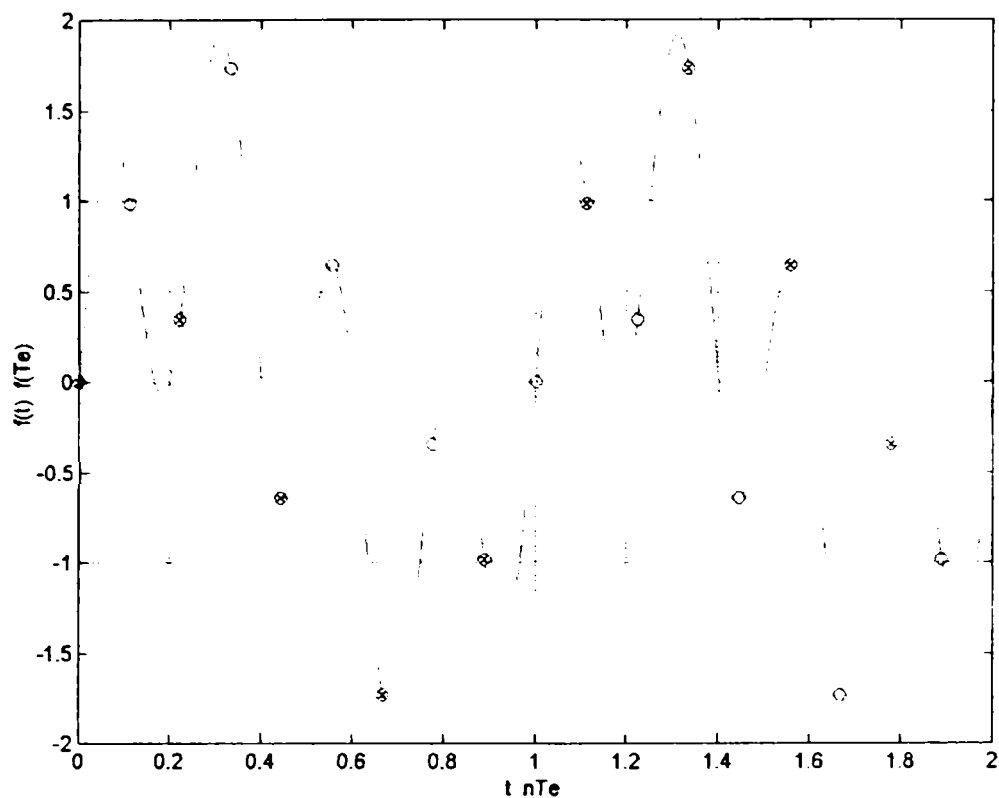


Figura 3.5. Semnal periodic impar format din fundamentală și armonica $K=4$, $N=2K-1=9$.

În figură au fost evidențiate valorile semnalului în punctele de eșantionare. Eșantioanele prelevate cu perioada T_{e2} sunt simbolizate cu un x încercuit (\otimes).

B. Cazul N număr par

Considerăm N număr par, adică $N = 2K + 2$. În acest caz $i = 1, 2, \dots, N/2$. Dacă $i = N/2$ atunci $N - i = N - N/2 = N/2 = i$, deci eșantionul $y_{N-N/2}$ este același cu eșantionul $y_{N/2}$ și nu sunt două eșantioane diferite cu valori egale în modul. În plus, acest eșantion are valoarea zero deoarece se află la mijlocul perioadei semnalului și din relația (3.43) rezultă ca avem o simetrie față de acest punct. Prin urmare avem un număr de $K + 2$ eșantioane diferite din care K sunt egale în modul cu restul eșantioanelor până la $2K + 2$.

La fel ca în cazul semnalelor pare, și în acest caz (N număr par) frecvența de eșantionare poate fi redusă de M ori (obținerea eșantioanelor de pe M perioade ale semnalului) față de frecvența de eșantionare minimă impusă la eșantionarea semnalelor periodice. Numărul M trebuie ales astfel încât să satisfacă condiția impusă în capitolul 2 și anume, numărul N de eșantioane și numărul M de perioade de pe care se prelevează acestea, nu trebuie să aibă divizori comuni.

Pentru calculul coeficienților Fourier vor fi prelevate $K + 2$ eșantioane – eșantionul cu indice zero (unic), K eșantioane ce satisfac relația (3.43) și eșantionul cu indice $N/2$ (unic).

Pentru exemplificare grafică vom folosi același semnal și anume un semnal periodic impar format din fundamentală și componenta armonică $K = 4$, ambele având aceeași amplitudine. Numărul N de eșantioane va avea valoarea $N = 2K + 2 = 10$. Prelevarea celor $K + 2 = 6$ eșantioane din semnal folosind o frecvență redusă de

eșantionare se poate face folosind pasul $T_{e3} = 3T_e$. În acest caz cele N eșantioane sunt dispuse pe 3 perioade ale semnalului în timp ce cele 6 eșantioane necesare se prelevează de pe două perioade.

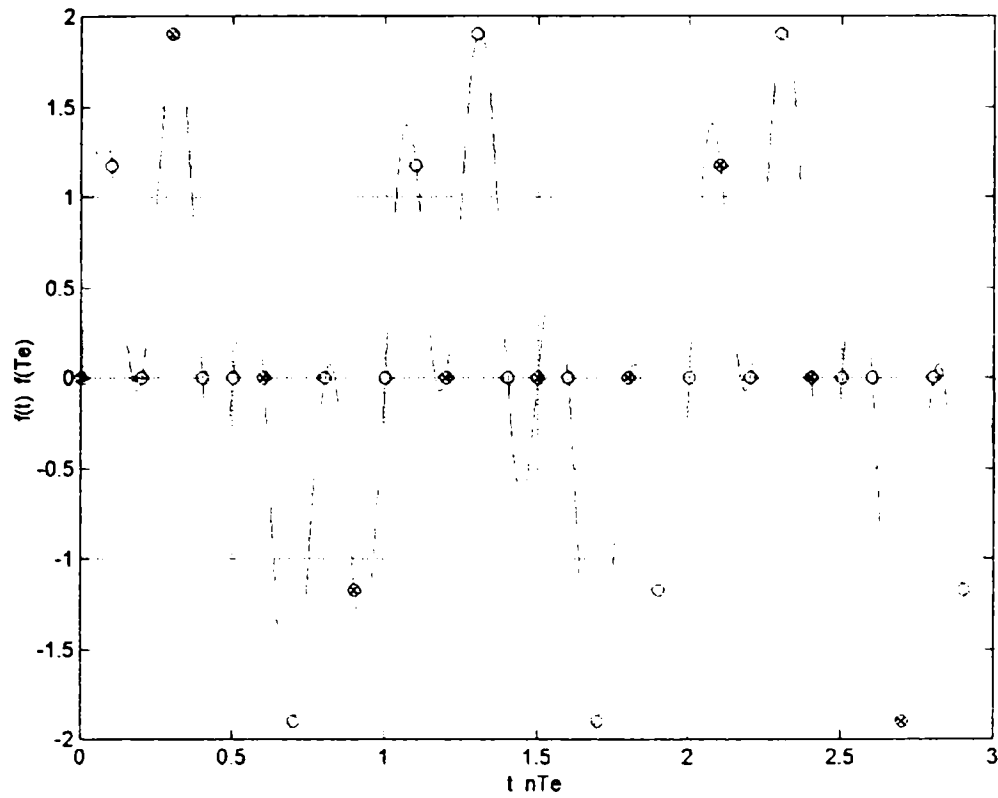


Figura 3.6. Semnal periodic impar format din fundamentala și armonica $K=4$, $N=2K-2=10$.

Cu simbolul cerc au fost simbolizate eșantioanele în momentele iT_e , $i = 0, 1, 2, \dots$, iar cu \otimes au fost simbolizate eșantioanele în momentele iT_{e3} .

Pentru obținerea unei relații de calcul a coeficienților b_k în funcție de valorile eșantioanelor $f_I(iT_e)$, plecăm de la relația (3.18) scrisă sub forma

$$f_I(iT_e) = \sum_{k=1}^{N-1} b_k \sin(k\omega_0 iT_e), \quad (3.45)$$

unde timpul continuu t a fost înlocuit cu timpul discret iT_e iar însumarea nu se mai face pentru un număr infinit de coeficienți. În anexa B se demonstrează că relația de calcul a coeficienților b_k este

$$b_k = \frac{2}{N} \sum_{i=0}^{N-1} f_I(iT_e) \sin(k\omega_0 iT_e). \quad (3.46)$$

Eșantionarea semnalului începe la momentul $t_0 = 0$ astfel, primul eșantion are valoarea zero și este înmulțit cu zero (sinus de zero) prin urmare, poate fi eliminat din relația (3.46), suma începând de la unu și nu de la zero.

Deoarece între eșantioane avem o relație de egalitate (în modul), relația (3.43) rezultă că putem folosi mai puține eșantioane pentru calculul coeficienților Fourier.

Dacă N este număr impar relația (3.46) devine

$$b_k = \frac{4}{N} \sum_{i=1}^K f_I(iT_e) \sin(k\omega_0 iT_e), \quad (3.47)$$

iar pentru N număr par se utilizează aceeași relație și același număr de eșantioane (vezi anexa B).

Modul de prelevare a eșantioanelor necesare în relația (3.47) pentru calculul coeficienților Fourier va fi prezentat ulterior în cadrul acestui capitol.

Formula de reconstrucție a semnalului inițial, pe baza coeficienților b_k este

$$g_I(t) = \sum_{k=1}^K b_k \sin(k\omega_0 t). \quad (3.48)$$

Concluzie. Deoarece în cazul unui semnal periodic impar avem mai puțini coeficienți corespunzători seriei Fourier (coeficienții a_k sunt zero) rezultă că avem nevoie de mai puține eșantioane pentru calculul acestora. Prin urmare frecvența de eșantionare utilizată pentru obținerea acestora poate fi mai mică decât frecvența de eșantionare necesară în cazul eșantionării semnalelor periodice oarecare. În plus, coeficienții seriei Fourier sunt numere reale și ei se calculează folosind relații în care intervin doar numere reale și nu complexe, prin urmare, volumul de calcul necesar este mai mic.

3.6. Cazul general – funcție periodică oarecare

Considerăm că avem o funcție periodică oarecare $f(t)$ ce are componente sinusoidale și cosinusoidale. Ordinul componentei armonice maxime din semnal o notăm ca și până acum cu K . Pentru a calcula toți coeficienții seriei Fourier avem nevoie de $N = 2K + 1$ eșantioane din semnal pentru a forma un sistem cu același număr de ecuații. Formula de calcul a coeficienților seriei Fourier exponențiale este dată în capitolul 1, relația (1.19). Reconstrucția semnalului poate fi făcută cu relația (1.7). Toate aceste calcule se fac în complex. Pentru a putea face calcule folosind numere reale funcția periodică oarecare se descompune în partea sa pară și respectiv impară - vezi relațiile notate (3.23), în continuare, aplicându-se relațiile de calcul a coeficienților Fourier a_k și b_k prezentate în paragrafele anterioare.

Chiar dacă pentru calculul coeficienților a_k , în număr de $K + 1$, și b_k în număr de K , se folosesc $K + 1$ eșantioane ale semnalului par respectiv K eșantioane ale semnalului impar, pentru obținerea acestor eșantioane este nevoie de $2K + 1$ eșantioane ale semnalului periodic oarecare $f(t)$. Aceasta deoarece $f(-iT_e) = f((N - i)T_e)$.

Reconstituirea semnalului inițial se va face prin adunarea părții pare cu partea impară reconstituite pe baza coeficienților a_k respectiv b_k .

Ca o concluzie se poate spune că prin utilizarea acestei tehnici de descompunere a semnalului periodic oarecare în parte pară și impară, avem nevoie de $N = 2K + 1$ eșantioane pentru obținerea celor $K + 1$ respectiv K eșantioane ale părții pare respectiv impare. Reducerea frecvenței de eșantionare se poate face nu prin reducerea numărului de eșantioane prelevat, ci prin obținerea lor de pe mai multe perioade ale semnalului

analizat. Un câștig apare la calcul deoarece relațiile care intervin utilizează doar numere reale și nu complexe.

3.7. Obținerea eșantioanelor necesare pentru calculul coeficienților Fourier în cazul semnalelor pare, respectiv impare

În paragrafele anterioare, 3.4 și 3.5, s-a prezentat faptul că, în cazul eșantionării uniforme, începând din momentul $t_0 = 0$, sunt valabile relațiile de egalitate dintre eșantioane, scrise mai jos

$$y_p = y_{N-p}, \quad (3.49)$$

pentru semnalele periodice pare și respectiv

$$y_i = -y_{N-i}, \quad (3.50)$$

pentru semnalele periodice impare, unde cu y_p , respectiv y_i , s-au notat eșantioanele semnalelor periodice pare, respectiv impare. Cu N am notat numărul de eșantioane prelevate pe parcursul unei perioade în cazul în care este satisfăcută teorema eșantionării. De asemenea, în aceleași subcapitole, s-a prezentat faptul că nu avem nevoie de $N = 2K + 1$ eșantioane, K fiind ordinul componentei armonice maxime din semnalul periodic par sau impar, ci de un număr mult mai mic de eșantioane, pentru a putea calcula coeficienții seriei Fourier pentru un semnal par sau impar.

Pentru prelevarea, în decursul unei perioade, a unui număr de $K + 1$ eșantioane necesare calculului coeficienților Fourier, frecvența de eșantionare necesară este mai mică decât în cazul prelevării unui număr aproape dublu de eșantioane ($2K + 1$). Numai că nu este suficient doar să reducem frecvența de eșantionare. Problema care apare este că relațiile (3.49) și (3.50) sunt valabile oricare ar fi numărul N . În acest caz nu putem calcula coeficienții seriei Fourier deoarece nu putem forma un sistem liniar independent. Acest lucru ne conduce spre concluzia că eșantioanele trebuie obținute în alt mod.

În continuare, vor fi prezentate 3 metode de obținere a eșantioanelor necesare și relațiile de calcul a coeficienților Fourier corespunzător semnalului analizat.

3.7.1. Prelevarea a $2K+1$ eșantioane dintr-o perioadă și utilizarea doar a primelor $K+1$ eșantioane

O soluție ce poate fi folosită pentru obținerea unui număr de $K + 1$ eșantioane cu valori diferite este eșantionarea semnalului cu o frecvență minimă care să respecte teorema eșantionării, adică prelevarea a $N = 2K + 1$ eșantioane dintr-o perioadă și, luarea în calcul doar a eșantioanelor corespunzătoare primei jumătăți de perioadă.

Considerăm semnalul periodic par notat $f_p(t)$. S-a demonstrat că relația de calcul a coeficienților a_k , din eșantioanele semnalului, este cea notată (3.34). Dacă se prelevează un număr de $N = 2K + 1$ eșantioane de pe parcursul unei perioade de la momentul $t_0 = 0$, atunci primul eșantion este unic, restul, sunt egali doi câte doi – vezi relația (3.49). Din suma din relația (3.34) scoatem primul termen, $f_p(0)\cos(0)$, restul produselor fiind separate în două părți egale, ca mai jos

$$a_k = \frac{2}{N} \left[f_p(0) + \sum_{i=1}^{\frac{N-1}{2}} f_p(iT_e) \cos(k\omega_0 iT_e) + \sum_{i=\frac{N+1}{2}}^{N-1} f_p(iT_e) \cos(k\omega_0 iT_e) \right]. \quad (3.51)$$

Între valorile funcției cosinus avem același tip de egalitate ca cea din relația (3.49), prin urmare, cele două sume din relația (3.51) sunt egale. Dacă pe una o eliminăm și pe cealaltă o dublăm, coeficienții a_k vor fi calculați folosind doar $K+1$ eșantioane în loc de $2K+1$. Rezultă relația notată (3.35) unde T_{e2} se înlocuiește cu T_e

$$a_k = \frac{2}{N} \left[f_p(0) + 2 \cdot \sum_{i=1}^{\frac{N-1}{2}} f_p(iT_e) \cos(k\omega_0 iT_e) \right], \quad (3.52)$$

unde $(N-1)/2 = K$.

Pentru cazul N număr par, $N = 2K + 2$, s-a demonstrat că relația de calcul a coeficienților a_k este cea notată (3.36), în acest caz utilizându-se un număr de $K+2$ eșantioane.

Considerăm semnalul periodic impar notat $f_I(t)$. S-a demonstrat că relația de calcul a coeficienților b_k , din eșantioanele semnalului, este cea notată (3.46), suma fiind de la 1 la $N-1$ (eșantionul zero este zero iar $\sin(0) = 0$). Între eșantioane avem o relație de egalitate (în modul) – vezi relația (3.50). Se poate demonstra că același tip de egalitate avem și pentru funcția sinus. Prin urmare, dacă suma din relația (3.46) este desfăcută în două sume cu număr egal de termeni

$$b_k = \frac{2}{N} \left[\sum_{i=1}^{\frac{N-1}{2}} f_I(iT_e) \sin(k\omega_0 iT_e) + \sum_{i=\frac{N+1}{2}}^{N-1} f_I(iT_e) \sin(k\omega_0 iT_e) \right], \quad (3.53)$$

cele două sume vor avea valori egale deci, și în acest caz se poate elimina o sumă în timp ce cealaltă se dublează rezultând utilizarea unui număr mai mic de eșantioane (K eșantioane). Relația de calcul a coeficienților b_k va fi cea notată (3.47) deoarece $(N-1)/2 = K$.

Pentru cazul N număr par, $N = 2K + 2$, s-a demonstrat (vezi anexa B) că relația de calcul a coeficienților b_k este tot cea notată (3.47).

3.7.2. Prelevarea eșantioanelor necesare utilizând un pas de eșantionare mărit

O altă modalitate pentru obținerea numărului necesar de eșantioane este prezentată în paragrafele 3.4 și 3.5 cu ajutorul figurilor 3.3 și 3.5. În aceste cazuri s-a considerat că semnalul periodic par, respectiv impar, a fost eșantionat în concordanță cu teorema eșantionării, preluându-se un număr de $N = 2K + 1$ eșantioane dintr-o perioadă. În paragraful 3.7.1 s-au luat în considerare în calcule doar primul eșantion – indice zero (fiind independent) și următoarele de la indicele 1 la K . Aceasta deoarece

avem o relație de egalitate între eșantioane, vezi relația (3.49) sau (3.50), și anume un eșantion cu indice impar este egal cu un eșantion cu indice par. Putem preleva K eșantioane diferite, din cele ce au indexul de la 1 la $2K$ și în alt mod și anume prelevând tot al doilea eșantion – vezi fig. 3.3 sau 3.5, adică se vor preleva doar eșantioanele cu indice par. Acest mod de obținere a eșantioanelor necesare poate fi văzut la fel ca cel prezentat în paragraful 3.7.1 doar că, în acest caz, perioada de eșantionare este dublă. Astfel se reduce și frecvența de eșantionare. Cu eșantioanele astfel obținute se poate forma un sistem de tipul celui notat cu (3.25) respectiv (3.39) iar, determinantul matricei C , respectiv S , ar fi diferit de zero, adică se pot calcula coeficienții a_k , respectiv b_k . Folosind doar eșantioane cu indici pari, obținuți datorită pasului de eșantionare $T_{e2} = 2T_e$, relația de calcul a coeficienților a_k este cea notată (3.35) respectiv, pentru coeficienții b_k , vom avea relația notată (3.47), unde T_e se înlocuiește cu T_{e2} . Pentru eșantionare pe mai multe perioade (frecvență de eșantionare și mai mică), notăm cu M numărul de perioade de pe care vor fi prelevate cele N eșantioane și cu T_{eM} perioada de eșantionare corespunzătoare. Din relația

$$T_{eM} = \frac{MT_0}{N}, \quad (3.54)$$

unde T_0 reprezintă perioada semnalului periodic par sau impar, rezultă condiția pentru a avea eșantionare corectă și anume, $M \neq nN$, unde $n = 1, 2, \dots$, în caz contrar $T_{eM} = nT_0$ adică, se va eșantiona numai eșantionul cu indice zero (corespunzător primei perioade). În rest M poate lua orice valoare.

Dacă N este un număr par (de exemplu $N = 2K + 2$) atunci M nu poate fi număr par. În paragraful 2.3 s-a demonstrat faptul că numărul de eșantioane N și numărul de perioade M de pe care se prelevează acestea nu au voie să aibă nici un divizor comun (diferit de 1) deoarece, în caz contrar, unele eșantioane vor fi prelevate de mai multe ori (din perioade diferite) în timp ce altele vor fi omise.

Pentru calculul coeficienților a_k se va utiliza relația (3.36), iar pentru calculul coeficienților b_k , se va utiliza relația (3.47), în acestea făcându-se înlocuirea perioadei T_e cu T_{eM} .

3.7.3. Începerea procesului de eșantionare de la un moment diferit de momentul zero

În paragrafele 3.7.1 și 3.7.2 procesul de eșantionare a început la momentul zero astfel, între eșantioanele funcției periodice pare, respectiv impare, existând câte o relație de egalitate, indiferent de numărul de eșantioane prelevate de pe parcursul unei perioade. Pentru a se putea obține un sistem determinat de $K + 1$, respectiv K ecuații, eșantioanele necesare trebuie prelevate în unul din cele două moduri expuse mai sus. O altă posibilitate de a obține numărul de eșantioane dorit este eșantionarea începând dintr-un moment diferit de zero, adică $t_0 \neq 0$. În acest caz, relațiile de egalitate (3.49), respectiv (3.50), dintre eșantioane, nu mai sunt valabile dacă, așa cum se va demonstra, $t_0 \neq nT_e/2$, unde $n = 1, 2, \dots$ și T_e - perioada de eșantionare utilizată.

În continuare vom considera descompunerea semnalului periodic par $f_P(t)$, de perioadă T_0 , în serie Fourier exponențială. Coeficienții c_k sunt numere reale și $c_k = c_{-k}$, prin urmare relația de descompunere poate fi scrisă sub forma

$$f_P(t_0 + iT_e) = c_0 + \sum_{k=1}^K c_k \left(e^{jk\omega_0 t_0} e^{jk\omega_0 iT_e} + e^{-jk\omega_0 t_0} e^{-jk\omega_0 iT_e} \right). \quad (3.55)$$

Perioada de eșantionare are valoarea $T_e = T_0/(K+1)$. În relația (3.55) facem însumarea după i , unde $i = 0, 1, 2, \dots, K$. Este simplu de demonstrat că

$$c_0 = \frac{1}{K+1} \sum_{i=0}^K f_P(t_0 + iT_e) \quad \left(\sum_{i=0}^K e^{jki \frac{2\pi}{K+1}} = 0 \right) \quad (3.56)$$

Pentru a calcula și ceilalți coeficienți, pe lângă însumarea după i , facem și o înmulțire a relației (3.55) cu $e^{-jmi \frac{2\pi}{K+1}}$, unde $n = 0, 1, \dots, K$, rezultând

$$\begin{aligned} \sum_{i=0}^K f_P(t_0 + iT_e) e^{-jmi \frac{2\pi}{K+1}} &= \sum_{i=0}^K c_0 e^{-jmi \frac{2\pi}{K+1}} + \\ &+ \sum_{i=0}^K \sum_{k=1}^K c_k \left(e^{jk\omega_0 t_0} e^{j(k-n)i \frac{2\pi}{K+1}} + e^{-jk\omega_0 t_0} e^{-j(k+n)i \frac{2\pi}{K+1}} \right) \end{aligned} \quad (3.57)$$

Suma după i în care apare coeficientul c_0 este egală cu zero oricare ar fi valoarea lui n . De asemenea, se poate scrie

$$\sum_{i=0}^K e^{j(k-n)i \frac{2\pi}{K+1}} = \begin{cases} K+1 & \text{pentru } k-n=0 \\ 0 & \text{pentru } k-n \neq 0 \end{cases}, \quad (3.58)$$

$$\sum_{i=0}^K e^{j(k+n)i \frac{2\pi}{K+1}} = \begin{cases} K+1 & \text{pentru } k+n=K+1 \\ 0 & \text{pentru } k+n \neq K+1 \end{cases}. \quad (3.59)$$

Deoarece valoarea maximă pe care o poate lua k , respectiv n , este K , suma lor, $k+n$, poate avea cel mult valoarea $2K < 2(K+1)$, astfel putem avea doar cele patru situații descrise de relațiile (3.58) și (3.59). Prin urmare, pentru un anumit k , avem un $n=m$ astfel încât $k+m=K+1$, altfel spus, în partea dreaptă a egalității din relația (3.57) vom avea tot timpul doi coeficienți, și anume c_k și c_m . Ținând cont de cele de mai sus, pentru un anumit k , relația (3.57) devine

$$\sum_{i=0}^K f_P(t_0 + iT_e) e^{-jki \frac{2\pi}{K+1}} = (K+1) \cdot \left(c_k e^{jk\omega_0 t_0} + c_m e^{-jm\omega_0 t_0} \right), \quad (3.60)$$

dar și

$$\sum_{i=0}^K f_P(t_0 + iT_e) e^{-jmi \frac{2\pi}{K+1}} = (K+1) \cdot (c_m e^{jm\omega_0 t_0} + c_k e^{-jk\omega_0 t_0}). \quad (3.61)$$

Pentru a găsi o relație de calcul a coeficienților c_k , înmulțim relația (3.60) cu $-e^{jm\omega_0 t_0}$, relația (3.61) cu $e^{-jm\omega_0 t_0}$, le însumăm și ținem cont de faptul că $k+m=K+1$ rezultând

$$c_k = \frac{\sum_{i=0}^K f_P(t_0 + iT_e) \sin\left[(K+1-k)\omega_0 t_0 - ki \frac{2\pi}{K+1}\right]}{(K+1) \sin[(K+1)\omega_0 t_0]}. \quad (3.62)$$

Reconstrucția semnalului se face cu relația

$$f_{Pr}(t) = c_0 + 2 \sum_{k=1}^K c_k \cos(k\omega_0 t). \quad (3.63)$$

Din relația (3.62) rezultă valorile lui t_0 pentru care c_k nu poate fi calculat. Din $\sin[(K+1)\omega_0 t_0] = 0$ vom avea pentru t_0 valorile

$$(K+1)\omega_0 t_0 = p\pi \Rightarrow t_0 = p \frac{T_e}{2}, \quad p = 0, 1, 2, \dots \quad (3.64)$$

Altfel spus, pentru a putea calcula coeficienții c_k din $K+1$ eșantioane, t_0 trebuie să fie diferit de 0, $T_e/2$ sau multiplii de $T_e/2$.

Sistemul format din relația (3.63) scrisă pentru fiecare eșantion, notat y_i cu $i = 0, 1, 2, \dots$, al semnalului $f_P(t)$, pentru $\alpha_0 = \omega_0 t_0 \neq 0$ și $\alpha = \omega_0 T_e = 2\pi/N$, este scris mai jos

$$\begin{cases} y_0 = c_0 + 2c_1 \cos \alpha_0 + 2c_2 \cos 2\alpha_0 + \dots + 2c_K \cos K\alpha_0 \\ y_1 = c_0 + 2c_1 \cos(\alpha + \alpha_0) + 2c_2 \cos 2(\alpha + \alpha_0) + \dots + 2c_K \cos K(\alpha + \alpha_0) \\ y_2 = c_0 + 2c_1 \cos(2\alpha + \alpha_0) + \dots + 2c_K \cos K(2\alpha + \alpha_0) \\ \vdots \\ y_{N-1} = c_0 + 2c_1 \cos[(N-1)\alpha + \alpha_0] + \dots + 2c_K \cos K[(N-1)\alpha + \alpha_0] \end{cases} \quad (3.65)$$

Considerăm “unghiul de eșantionare” $\alpha = 2\pi/N$, unde $N = K+1$, iar K reprezintă, ca și până acum, numărul maxim de componente armonice din semnal (ordinul componentei armonice maxime). Dacă $K=1$, atunci

$$\alpha = \frac{2\pi}{2} = \pi, \quad (3.66)$$

și vor fi prelevate două eșantioane, y_0 și y_1 . Sistemul rezultat, scris sub formă matriceală, este

$$\begin{pmatrix} y_0 \\ y_1 \end{pmatrix} = \begin{pmatrix} 1 & \cos \alpha_0 \\ 1 & \cos(\alpha + \alpha_0) \end{pmatrix} \cdot \begin{pmatrix} c_0 \\ 2c_1 \end{pmatrix}, \quad (3.67)$$

al cărui determinant îl notăm $Det1$ și are valoarea

$$Det1 = -2 \cos \alpha_0. \quad (3.68)$$

Pentru ca determinantul să fie diferit de zero, deci sistemul să fie determinat, trebuie să fie îndeplinită relația

$$\alpha_0 \neq \frac{\pi}{2} = \frac{\alpha}{2}. \quad (3.69)$$

S-au făcut calcule ale determinantilor pentru valori ale lui K până la 6. Rezultatele sunt prezentate mai jos pe coloane și anume, valoarea lui K , valoarea pasului de eșantionare, valoarea determinantului, valoarea pe care nu trebuie să o aibă α_0 pentru ca determinantul să fie diferit de zero.

Tabelul 3.1 Determinantul matricei C și condiția ca acesta să fie diferit de zero, pentru K cu valori diferite

$K = 2$	$\alpha = \frac{2\pi}{3}$	$Det2 = 3 \sin\left(\frac{\pi}{3}\right) \sin(3\alpha_0)$	$\alpha_0 \neq k \frac{\pi}{3} = k \frac{\alpha}{2}$
$K = 3$	$\alpha = \frac{2\pi}{4}$	$Det3 = 8 \cos(2\alpha_0) \sin(4\alpha_0)$	$\alpha_0 \neq k \frac{\pi}{4} = k \frac{\alpha}{2}$
$K = 4$	$\alpha = \frac{2\pi}{5}$	$Det4 = \frac{25\sqrt{5}}{4} \sin^2(5\alpha_0)$	$\alpha_0 \neq k \frac{\pi}{5} = k \frac{\alpha}{2}$
$K = 5$	$\alpha = \frac{2\pi}{6}$	$Det5 = -216 \cos^3(3\alpha_0) \sin^2(3\alpha_0)$	$\alpha_0 \neq k \frac{\pi}{6} = k \frac{\alpha}{2}$
$K = 6$	$\alpha = \frac{2\pi}{7}$	$Det6 = 13,36 \sin^2(7\alpha_0)$	$\alpha_0 \neq k \frac{\pi}{7} = k \frac{\alpha}{2}$

După cum se observă, am ajuns la aceeași condiție notată (3.64), adică t_0 trebuie să fie diferit de multiplu de $T_e/2$ pentru a putea calcula coeficienții dezvoltării în serie Fourier folosind doar $K + 1$ eșantioane.

În continuare, vom căuta să obținem relația de calcul a coeficienților dezvoltării în serie Fourier pentru un semnal periodic impar $f_I(t)$ cu armonica maximă notată K . În acest caz coeficienții c_k sunt numere imaginare și între ei avem relația de egalitate $c_k = -c_{-k}$, prin urmare, relația de descompunere poate fi scrisă sub forma

$$f_I(t_0 + iT_e) = \sum_{k=1}^K c_k \left(e^{jk\omega_0 t_0} e^{jk\omega_0 T_e} - e^{-jk\omega_0 t_0} e^{-jk\omega_0 T_e} \right). \quad (3.70)$$

Coeficientul c_0 nu mai apare în sumă deoarece el apare doar în cazul semnalelor pare. Folosim aceleași notații ca în cazul tratării semnalelor periodice pare.

Relația (3.70) o înmulțim cu $e^{-jm\frac{2\pi}{N}}$, unde termenul n are același domeniu de variație ca și k , urmând însumarea celor N relații rezultate, corespunzătoare celor N eșantioane prelevate din semnal. Vom obține

$$\sum_{i=0}^{N-1} f_I(t_0 + iT_e) e^{-jm\frac{2\pi}{N}} = \sum_{i=0}^{N-1} \sum_{k=1}^K c_k \left(e^{jk\omega_0 t_0} e^{j(k-n)\frac{2\pi}{N}i} - e^{-jk\omega_0 t_0} e^{-j(k+n)\frac{2\pi}{N}i} \right). \quad (3.71)$$

Numărul N de eșantioane are de asemenea valoarea $K+1$ ca în cazul tratat anterior. Astfel, relațiile (3.58) și (3.59), corespunzătoare sumelor $\sum_{i=0}^{N-1} e^{j(k\pm n)\frac{2\pi}{N}i}$, sunt valabile și în acest caz.

Dacă numărul N de eșantioane ar fi ales egal cu K (adică egal cu numărul de coeficienți ce sunt calculați), atunci, sumele din relațiile (3.58) și (3.59) ar fi fost diferite de zero în două cazuri și nu doar într-un caz. Valoarea maximă pe care o poate lua suma $k+n$ este $2K$, adică $2N$. Prin urmare există valori pentru k și n astfel încât $k+n = N$ sau $2N$ deci, în partea dreaptă a egalității din relația (3.71), am avea mai mult de 2 coeficienți.

Preluând un număr de $N = K+1$ eșantioane dintr-o perioadă a semnalului periodic impar, la fel ca în cazul semnalului periodic par, va exista un $n = m$ astfel încât $k+m = K+1 = N$ dar nu vom avea și cazul $k+n = 2N$. Astfel în partea dreaptă a egalității din relația (3.71) vom avea doar doi coeficienți c_k și c_m . Pentru un anumit k vom avea

$$\frac{1}{N} \sum_{i=0}^{N-1} f_I(t_0 + iT_e) e^{-jki\frac{2\pi}{N}} = c_k e^{jk\omega_0 t_0} - c_m e^{-jm\omega_0 t_0}. \quad (3.72)$$

și, în același timp

$$\frac{1}{N} \sum_{i=0}^{N-1} f_I(t_0 + iT_e) e^{-jmi\frac{2\pi}{N}} = c_m e^{jm\omega_0 t_0} - c_k e^{-jk\omega_0 t_0}. \quad (3.73)$$

Pentru calculul coeficienților c_k înmulțim relația (3.72) cu $-e^{jm\omega_0 t_0}$ și relația (3.73) cu $e^{-jm\omega_0 t_0}$, le însumăm rezultând

$$c_k = \frac{\sum_{i=0}^{N-1} f_I(t_0 + iT_e) \cos \left[ki\frac{2\pi}{N} - (N-k)\omega_0 t_0 \right]}{N \sin(N\omega_0 t_0)}. \quad (3.74)$$

Reconstrucția semnalului se face cu relația

$$f_{Ir}(t) = 2 \sum_{k=1}^K c_k \sin(k\omega_0 t). \quad (3.75)$$

Din relația (3.74) rezultă valorile lui t_0 pentru care c_k nu pot fi calculați, valori care sunt date de relația (3.64) deoarece în relațiile (3.62) și (3.74) avem același numitor.

3.8. Exemplu de calcul, funcții pare și impare

Ca exemplu de calcul al coeficienților Fourier folosindu-se relațiile prezentate în paragrafele anterioare, s-a luat un semnal periodic cu componente sinusoidale și cosinusoidale, ordinul componentei armonice maxime fiind ales $K=5$. Perioada semnalului se consideră egală cu unitatea, $T=1$. Pentru calculul coeficienților Fourier corespunzători componentelor pare, respectiv impare, ale acestui semnal, este nevoie de câte $K+1$ eșantioane, respectiv K eșantioane pentru fiecare set de coeficienți. Din acest motiv se folosesc un număr de N eșantioane egal cu $2K+1$.

În simulările făcute în Mathcad, dacă se utilizează valori pentru eșantioanele prelevate folosindu-se reprezentarea maximă posibilă în acest program, erorile de calcul ale coeficienților și respectiv, a reconstrucției semnalului sunt neglijabile. În practică, numărul de biți ai unui convertor analog numeric este limitat (rezoluție limitată). Astfel, se face o trunchiere a valorilor eșantioanelor, ele fiind reprezentate pe un număr redus de cifre. Această reducere se face prin rotunjire a valorilor eșantioanelor calculate pentru a se simula cazul real. În funcție de numărul de cifre fracționare n pe care se exprimă eșantioanele din semnalul considerat, eroarea absolută a valorii aproximative este egală cu cel mult $0,5 \cdot 10^{-n}$. Coeficienții Fourier sunt calculați cu erori mai mari sau mai mici în funcție de numărul de cifre pe care se exprimă eșantioanele. Prin urmare, și eroarea făcută la reconstrucția semnalului inițial pe baza coeficienților Fourier, va depinde de numărul de cifre pe care se exprimă eșantioanele.

Semnalul utilizat în simulări are componentă continuă, componente sinusoidale și cosinusoidale, fiind descris de ecuația

$$x(t) = 0,5 + \cos(2\pi ft) + 0,5 \cos(2\pi 2ft) + 0,5 \cos(2\pi 4ft) + 0,5 \cos(2\pi 5ft) + \sin(2\pi ft) + 0,5 \sin(2\pi 2ft) + 0,5 \sin(2\pi 5ft) \quad (3.76)$$

Componentele pară, $x_p(t)$, și impară, $x_i(t)$, au fost calculate cu relațiile (3.23). În funcție de modul de obținere a eșantioanelor necesare pentru calculul coeficienților Fourier, frecvențele de eșantionare sunt

$$f_e = Nf \quad (3.77)$$

respectiv

$$f_{e1} = N_1 f, \quad (3.78)$$

unde f este frecvența fundamentalei semnalului $x(t)$, $N = 2K + 1$, $N_1 = K + 1$. Perioadele de eșantionare vor fi $T_e = 1/f_e$ respectiv $T_{e1} = 1/f_{e1}$.

În continuare, se notează cu $x(iT_e)$, $x_p(iT_e)$, $x_i(iT_e)$ valorile netrunchiate ale eșantioanelor prelevate din semnalul $x(t)$, respectiv, cele calculate cu relațiile (3.23) corespunzătoare componentelor pară și impară ale acestui semnal. Cu $x_i(iT_e)$ se notează valorile trunchiate (prin rotunjire) ale eșantioanelor semnalului considerat. Cu

$x_{pt}(iT_e)$, $x_{it}(iT_e)$ se notează valorile eşantioanelor părţilor pară şi impară calculate pe baza eşantioanelor $x_t(iT_e)$. În tabelul următor se prezintă erorile absolute cu care sunt obţinute eşantioanele din semnalul considerat, respectiv eşantioanele corespunzătoare părţilor pară şi impară, scrise pe un număr mai mic de cifre (biţi).

Tabelul 3.2. Erorile absolute cu care sunt obţinute eşantioanele trunchiate

	ideal	trunchiat				
număr cifre fracționare	>10	1	2	3	4	5
eroare calcul $x_t(iT_e)$	$4,8 \cdot 10^{-11}$	$4,5 \cdot 10^{-2}$	$4,6 \cdot 10^{-3}$	$4,6 \cdot 10^{-4}$	$4 \cdot 10^{-5}$	$4,9 \cdot 10^{-6}$
eroare calcul $x_{pt}(iT_e)$	$1,5 \cdot 10^{-11}$	$2,1 \cdot 10^{-2}$	$3,2 \cdot 10^{-3}$	$2,8 \cdot 10^{-4}$	$1,6 \cdot 10^{-5}$	$4,9 \cdot 10^{-6}$
eroare calcul $x_{it}(iT_e)$	$3,6 \cdot 10^{-11}$	$3,8 \cdot 10^{-2}$	$3,1 \cdot 10^{-3}$	$3,1 \cdot 10^{-4}$	$3,6 \cdot 10^{-5}$	$2,1 \cdot 10^{-6}$

Pentru calculul coeficienţilor Fourier corespunzători semnalului $x(t)$ a fost utilizată relaţia (1.19). Coeficienţii au fost notaţi $c(k)$ atunci când s-au folosit eşantioane cu valori netrunchiate şi $c_t(k)$ atunci când s-au folosit eşantioane cu valori trunchiate.

Pentru calculul coeficienţilor $a(k)$ şi $b(k)$, corespunzători părţilor pare şi impare ale semnalului $x(t)$, s-au folosit relaţiile (3.35) şi (3.47). Dacă s-au utilizat eşantioane cu valori trunchiate, coeficienţii Fourier au fost notaţi $a_t(k)$ şi $b_t(k)$. Reconstrucţia componentelor pară şi impară corespunzătoare semnalului iniţial se face cu ajutorul relaţiilor (3.37) şi (3.48). Relaţiile de calcul ale coeficienţilor Fourier s-au obţinut considerându-se că eşantionarea începe în momentul $t_0 = 0$. În cazul în care acest moment este diferit de zero, coeficienţii vor avea alte valori dacă se utilizează aceleaşi relaţii pentru calculul lor. Reconstrucţia semnalului va fi însă corectă (valoarea modulului $a(k) \pm jb(k)$ rămâne constantă).

Reducerea frecvenţei de eşantionare se poate face prelevând eşantioanele de pe mai multe perioade cu respectarea condiţiei prezentate în capitolul 2.

Dacă eşantionarea începe la un moment $t_0 \neq 0$, calculul coeficienţilor Fourier corespunzători părţilor pară, notaţi $c_p(k)$, respectiv impară, notaţi $c_i(k)$, ale semnalului $x(t)$, se face cu ajutorul relaţiilor (3.62) şi (3.74). În acest caz valorile obţinute pentru coeficienţi vor fi cele reale. Reconstrucţia componentelor pară şi impară pe baza coeficienţilor Fourier se face cu ajutorul relaţiilor (3.63) şi (3.75).

Eşantioanele din semnalul analizat utilizate în calcule au fost trunchiate (prin rotunjire), menţinându-se între o cifră după virgulă şi 5 cifre după virgulă.

În tabelul 3.3 se prezintă erorile de calcul ale coeficienţilor Fourier corespunzători semnalului $x(t)$ şi erorile absolute la reconstrucţia semnalului iniţial pe baza coeficienţilor calculaţi. În cazul ideal, eroarea la reconstrucţie rezultată este dată de programul de calcul, limitarea fiind la 16 cifre zecimale eroarea făcută fiind de ordinul 10^{-15} .

Tabelul 3.3. Erorile de calcul ale coeficienților Fourier calculați folosindu-se valori trunchiate ale eșantioanelor și erorile la reconstrucția semnalului inițial

$c(k), c_i(k)$	ideal	trunchiat				
număr cifre fracționare	>10	1	2	3	4	5
erori în calculul coeficienților	$<10^{-12}$	$9,7 \cdot 10^{-3}$	$1,2 \cdot 10^{-3}$	$1 \cdot 10^{-4}$	$1,2 \cdot 10^{-5}$	$9 \cdot 10^{-7}$
erori la reconstrucția semnalului	$<10^{-12}$	$4,5 \cdot 10^{-2}$	$5,6 \cdot 10^{-3}$	$4,7 \cdot 10^{-4}$	$6,1 \cdot 10^{-5}$	$5,7 \cdot 10^{-6}$

Din tabelul 3.3 se observă că erorile de calcul scad aproape liniar cu creșterea numărului de cifre pe care sunt reprezentate eșantioanele.

În tabelul 3.4 se prezintă erorile de calcul ale coeficienților Fourier corespunzători componentelor pară, $x_p(t)$, și impară, $x_i(t)$, a semnalului analizat $x(t)$, în funcție de numărul de cifre pe care sunt exprimate valorile eșantioanelor. De asemenea, pentru fiecare caz în parte, sunt calculate și erorile absolute la reconstrucția componentelor pară și impară. Prelevarea eșantioanelor a început la momentul $t_0 = 0$.

Tabelul 3.4. Erorile de calcul ale coeficienților Fourier corespunzători componentelor pară și impară și erorile la reconstrucția acestor componente

	ideal	trunchiat				
număr cifre fracționare	>10	1	2	3	4	5
eroare calcul coeficienți $a(k)$	$<10^{-12}$	$9,1 \cdot 10^{-3}$	$2,4 \cdot 10^{-3}$	$1,8 \cdot 10^{-4}$	$1,8 \cdot 10^{-5}$	$3,6 \cdot 10^{-6}$
eroare la reconstrucție $x_p(t)$	$<10^{-12}$	$2,2 \cdot 10^{-2}$	$4 \cdot 10^{-3}$	$3,6 \cdot 10^{-4}$	$2,5 \cdot 10^{-5}$	$5 \cdot 10^{-6}$
eroare calcul coeficienți $b(k)$	$<10^{-12}$	$1,9 \cdot 10^{-2}$	$1,8 \cdot 10^{-3}$	$2,1 \cdot 10^{-4}$	$2,5 \cdot 10^{-5}$	$1,8 \cdot 10^{-6}$
eroare la reconstrucție $x_i(t)$	$<10^{-12}$	$3,4 \cdot 10^{-2}$	$3,3 \cdot 10^{-3}$	$3,3 \cdot 10^{-4}$	$4,3 \cdot 10^{-5}$	$2,8 \cdot 10^{-6}$
eroare la reconstrucție $x_p(t) + x_i(t)$	$<10^{-12}$	$4,5 \cdot 10^{-2}$	$5,6 \cdot 10^{-3}$	$4,7 \cdot 10^{-4}$	$6,1 \cdot 10^{-5}$	$5,7 \cdot 10^{-6}$

În cazul în care eșantionarea începe la un moment t_0 diferit de zero și se prelevează doar $K + 1$ eșantioane de pe parcursul unei perioade a semnalului par sau impar, coeficienții Fourier $c_p(k)$ și $c_i(k)$ vor avea valori egale cu partea reală, respectiv imaginară, a coeficienților $c(k)$. În tabelul 3.5 se prezintă erorile de calcul a acestor coeficienți și erorile absolute la reconstrucția semnalelor par, respectiv impar, dacă eșantioanele se exprimă pe un număr limitat de cifre. S-a considerat că $t_0 = T_{e1}/0,21$, unde $T_{e1} = T/(K + 1)$, T fiind perioada semnalului $x(t)$.

Tabelul 3.5. Erorile de calcul ale coeficienților Fourier corespunzatori componentelor pară și impară și erorile la reconstrucția acestor componente, $t_0 \neq 0$

	ideal	trunchiat				
număr cifre fracționare	>10	1	2	3	4	5
eroare calcul coeficienți $c_p(k)$	$<10^{-12}$	$1,2 \cdot 10^{-2}$	$8,3 \cdot 10^{-4}$	$1,6 \cdot 10^{-4}$	$1,6 \cdot 10^{-5}$	$9,9 \cdot 10^{-7}$
eroare la reconstrucție $x_p(t)$	$<10^{-12}$	$4,3 \cdot 10^{-2}$	$2,3 \cdot 10^{-3}$	$4,6 \cdot 10^{-4}$	$5,5 \cdot 10^{-5}$	$3,2 \cdot 10^{-6}$
eroare calcul coeficienți $c_i(k)$	$<10^{-12}$	$8,2 \cdot 10^{-3}$	$9,3 \cdot 10^{-4}$	$4,9 \cdot 10^{-5}$	$1,2 \cdot 10^{-5}$	$6,1 \cdot 10^{-7}$
eroare la reconstrucție $x_i(t)$	$<10^{-12}$	$2,8 \cdot 10^{-2}$	$3,4 \cdot 10^{-3}$	$4,6 \cdot 10^{-4}$	$4,1 \cdot 10^{-5}$	$3 \cdot 10^{-6}$

Din tabele 3.3, 3.4 și 3.5 se poate observa că erorile de calcul ale coeficienților Fourier ($c(k)$, $a(k)$, $b(k)$), respectiv erorile absolute la reconstrucția semnalului analizat ($x(t)$, $x_p(t)$, $x_i(t)$), sunt de același ordin, în funcție de numărul de cifre fracționare pe care sunt reprezentate eșantioanele.

Dacă se utilizează o cifră după virgulă – zecimea – deci în total, în acest caz, eșantioanele sunt exprimate pe 2 cifre, eroarea de cuantizare cu care se obține valoarea eșantioanelor este de ordinul 10^{-2} deoarece zecimea este influențată de sutime (eroarea este maxim $0,5 \cdot 10^{-1}$). Dacă eșantioanele se exprimă pe 3 cifre, 2 cifre după virgulă, sutimea este influențată de miime, valorile eșantioanelor se obțin cu o eroare de ordinul 10^{-3} . Același situație apare dacă rezoluția convertorului analog-numeric este mai mare. Prin urmare, se poate scrie că valorile eșantioanelor se obțin cu o eroare de ordinul 10^{-n} , unde n reprezintă numărul de cifre zecimale pe care se reprezintă eșantioanele. Eroarea de reconstrucție a semnalului inițial, folosindu-se coeficienții Fourier calculați pe baza eșantioanelor trunchiate, este de același ordin cu eroarea cu care au fost obținute valorile eșantioanelor (eroare de cuantizare).

În funcție de rezoluția cu care se exprimă valorile eșantioanelor se poate stabili și numărul minim de biți necesari pentru codarea acestora. În tabelul 3.6 se prezintă corespondența dintre numărul de cifre zecimale pe care este exprimată valoarea unui eșantion și numărul minim de biți necesari la ieșirea convertorului analog numeric. De asemenea, se prezintă și domeniul acoperit de cuvintele binare, dacă se utilizează codul complementului lui doi.

Tabelul 3.6. Numărul minim de biți necesari pentru codarea eșantioanelor scrise pe un anumit număr de cifre zecimale

Nr. cifre	Domeniu	Nr. biți	D _{CCD}
2	± 100	8	$-128 \div +127$
3	± 1.000	11	$-1.024 \div +1.023$
4	± 10.000	15	$-16.384 \div +16.383$
5	± 100.000	18	$-131.072 \div +131.071$
6	$\pm 1.000.000$	21	$-1.048.576 \div +1.048.575$

Amplitudinea maximă a semnalului analizat este 3; în acest caz, dacă se utilizează un convertor analog numeric pe 16 biți, este echivalent cu a avea 4 cifre fracționare. Dacă se folosește codul bipolar CCD (cod complementul lui doi), pe 16 biți, domeniul de variație este de la -32768 la $+32767$. Dacă se utilizează codarea fracționară Q_{13} pe 16 biți (un bit de semn, doi biți pentru codarea părții întregi și 13 biți pentru codarea părții fracționare), domeniul de variație este de la -4 la $+3,9998$ astfel, acesta acoperă domeniul semnalului analizat. În acest caz, chiar dacă eșantioanele sunt exprimate pe 5 cifre zecimale, deoarece amplitudinea semnalului este mai mică, eșantioanele pot fi exprimate doar pe 16 biți în loc de 18 biți.

STUDIUL SEMNALELOR NEPERIODICE. PERIODICIZAREA UNUI SET DE EȘANTIOANE

4.1. Introducere

În cazul în care se dorește studiul unui semnal neperiodic folosind dezvoltarea în serie Fourier, trebuie ca semnalul să fie analizat pe porțiuni care sunt considerate ca fiind o perioadă (sau o jumătate de perioadă) a unui semnal periodic. Dacă se consideră că eșantioanele utilizate în calcule sunt prelevate de pe o perioadă, atunci este vorba de periodicizare prin repetare. În cazul în care se consideră că aceste eșantioane au fost prelevate de pe o jumătate de perioadă, periodicizarea se face prin oglindire și repetare. Astfel, semnalul ce rezultă este periodic și par. Oglindirea propriu zisă nu se mai face deoarece, în calcule, oricum se utilizează doar eșantioanele prelevate dintr-o jumătate de perioadă (vezi și paragraful 3.7.1). Periodicizarea prin oglindire și repetare se face pentru eliminarea discontinuităților care pot apărea la capetele intervalului în cazul periodicizării prin repetare.

4.2. Periodicizare prin repetare

Considerăm un semnal oarecare $x(t)$ din care prelevăm eșantioane pe parcursul unei perioade T . Dacă aceasta porțiune, notată $x_T(t)$ unde

$$x_T(t) = x(t) \text{ pentru } t = 0 \div T, \quad (4.1)$$

o considerăm o perioadă a unui semnal periodic $x_p(t)$ atunci vom putea analiza semnalul dezvoltându-l în serie Fourier. Apare totuși o problemă. Conform relației (4.1) pentru partiționarea semnalului s-a folosit o fereastră dreptunghiulară. Astfel, este puțin probabil ca eșantionul de început cu cel de sfârșit din această "perioadă" să aibe valori apropiate încât prin repetare să rezulte un semnal fără discontinuități. În cazul utilizării acestui tip de periodicizare vor apare în plus componente spectrale în domeniul frecvențelor înalte, datorate discontinuității apărute. Acest lucru înseamnă că, dacă se dorește o reconstrucție cât mai exactă, vor trebui prelevate multe eșantioane de pe parcursul unei perioade T deci, mărită frecvența de eșantinare. Deoarece pentru reconstrucție se utilizează un număr redus de componente spectrale, funcție de frecvența de eșantionare aleasă, semnalul reconstituit va fi afectat de erori mai mari sau mai mici.

Spre exemplificare, un prim semnal studiat este semnalul rampă, $x(t) = t$, în acest caz în mod sigur va exista o diferență mare între eșantioanele de la capetele intervalului de observație. Acest interval se alege în domeniul $[-\pi, \pi]$ și se face periodicizarea sa prin repetare. Calculul teoretic al coeficienților seriei Fourier va da ca rezultat [Sp1 , Ca1]

$$a_n = 0 \quad (n = 0, 1, 2, \dots)$$

$$b_n = \frac{2}{\pi} \int_0^{\pi} x \sin nx dx = \frac{2}{n} (-1)^{n+1} \quad (4.2)$$

Semnalul periodicizat s-a notat $x_{ra}(t)$ și este prezentat în figura de mai jos.

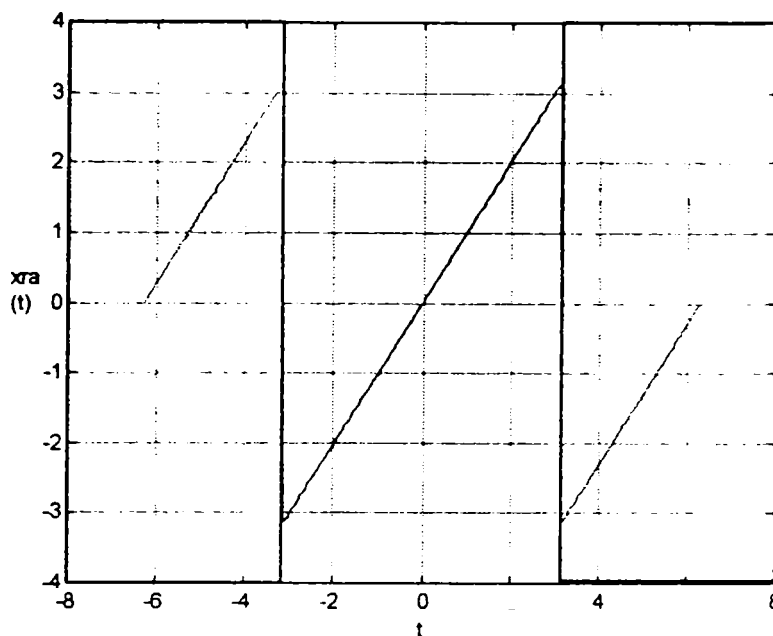


Fig. 4.1. Semnal rampă în domeniu $[-\pi, \pi]$.

Deoarece în practică se prelevează un număr finit de eșantioane, calculul coeficienților s-a făcut folosind suma și nu integrarea. În funcție de numărul K de componente armonice considerate prezente în semnalul analizat, rezultă un număr de $N = 2K + 1$ eșantioane prelevate de pe parcursul unei perioade. S-au calculat coeficienții Fourier cu relația (1.19), rezultatele pentru primii 5 coeficienți $b_n, n=1, \dots, 5$ fiind trecuți în tabelul de mai jos.

Tabelul 4.1 Coeficienții Fourier pentru semnalul rampă în domeniul $[-\pi, \pi]$

K (N)	5 (11)	10 (21)	50 (101)	100 (201)	1000 (2001)	ideal
b_1	1,94	1,98	2	2	2	2
b_2	-0,88	-0,97	-0,99	-1	-1	-1
b_3	0,49	0,62	0,66	0,66	0,66	0,5
b_4	-0,26	-0,43	-0,49	-0,5	-0,5	-0,25
b_5	0,08	0,32	0,39	0,4	0,4	0,125

Conform relației (4.2) coeficienții a_n trebuie să fie egali cu zero. De pe perioada 2π se prelevează un număr de N eșantioane de la $t = -\pi$ la $t = \pi - T_e = (N - 1)T_e$. Din acest motiv, în urma eșantionării rezultă că semnalul are o componentă continuă a_0 , egală cu $x(NT_e) - x((N - 1)T_e)$ unde, $x(NT_e) = x(\pi)$ iar $x((N - 1)T_e)$ este ultimul

eșantion prelevat de pe perioada 2π . Din același motiv apar și componente cosinusoidale cu amplitudinea $a_n = a_0/2$, $n=1, 2, \dots$. Deoarece acești coeficienți depind de diferența dintre valoarea semnalului de la capătul intervalului și valoarea ultimului eșantion prelevat, ei vor fi cu atât mai mici cu cât semnalul are o variație mai mică (bandă de frecvențe mai mică) respectiv, cu cât frecvența de eșantionare este mai mare.

De asemenea, după cum se observă din tabelul 4.1, coeficienții b_n sunt diferiți de valoarea ideală, doar primul și al doilea ajung să aibe valoarea corespunzătoare obținută cu relația (4.2), pentru valori mai mari ale numărului de eșantioane prelevate de pe o perioadă. Astfel, reconstrucția este afectată de erori, acestea conținând o componentă sinusoidală suprapusă (sinus integral [Ca1]). Apare așa numitul fenomen Gibbs, care rămâne prezent și pentru $N \rightarrow \infty$. Rezultă concluzia că oricât de mare este frecvența de eșantionare, semnalul reconstituit nu va fi identic cu cel ce este eșantionat (datorită faptului că banda de frecvențe este infinită).

În continuare perioada pe care se face eșantionarea semnalului rampă $x(t) = t$ este luată egală cu $T = 1$. Numărul de eșantioane prelevate pe parcursul acestei perioade de timp este $N = 2K + 1$, unde K reprezintă numărul de componente armonice considerate a fi prezente în semnal. Calculul coeficienților Fourier se face cu relația cunoscută

$$c(k) = \frac{1}{N} \sum_{i=0}^{N-1} x(iT_e) e^{-jk\omega T_e}, \quad (4.3)$$

unde pulsația semnalului este $\omega = 2\pi/T$ și perioada de eșantionare $T_e = T/N$.

Reconstrucția semnalului se face pe baza coeficienților calculați cu relația (4.3), și anume

$$xr(t) = \sum_{k=-K}^K c(k) e^{jk\omega t}. \quad (4.4)$$

Reconstrucția semnalului folosind relația (4.4) a fost făcută pentru o perioadă de timp mai mare decât cea corespunzătoare prelevării eșantioanelor. Semnalul reconstituit, după cum se vede în figura 4.2, este periodic cu o discontinuitate la sfârșitul/începutul perioadei. Numărul maxim de componente armonice considerate este inițial ales $K = 5$. Aplicând relațiile (4.3) și (4.4) semnalului rampă, în urma reconstrucției avem graficele de mai jos

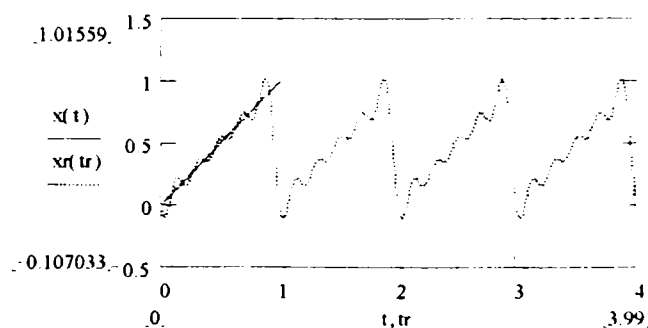


Fig. 4.2. Semnalul inițial (linie continuă) pe perioada T și respectiv reconstituit (linie întreruptă) în intervalul $0 \div 4T$.

Intersecțiile dintre semnalul reconstituit și semnalul inițial corespund punctelor de eșantionare.

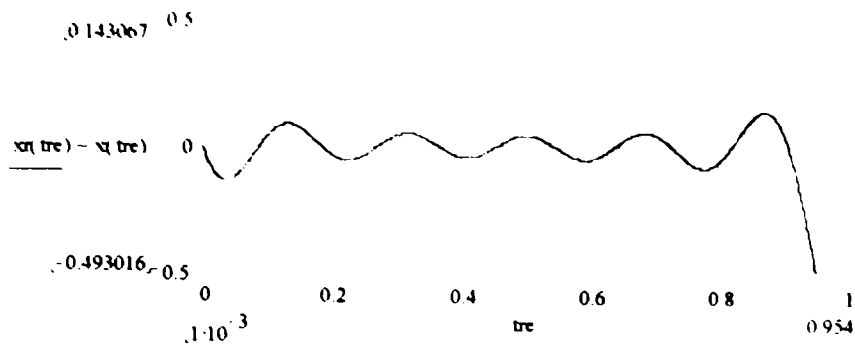


Fig. 4.3. Eroarea absolută făcută la reconstrucția semnalului rampă în intervalul $0-T_e/2$.

Au fost făcute simulări pentru mai multe cazuri în ceea ce privește panta semnalului rampă ($x(t) = t$, $x(t) = t/2$, ...), respectiv numărul de componente armonice considerate a fi prezente în semnal și s-a observat că eroarea la capătul intervalului, la momentul $(N-1)T_e + t_0 + T_e/2$, este tot timpul egală cu

$$\frac{x(t_0 + T) - x(t_0)}{2}$$

unde, cu t_0 s-a notat momentul inițial (începutul procesului de eșantionare). Momentul de timp ales, pentru calculul acestei erori, este cel ce se află la mijlocul intervalului dintre ultimul eșantion prelevat din prima perioadă și primul eșantion prelevat din a doua perioadă. Prin urmare în punctul de discontinuitate, valoarea semnalului este egală cu media aritmetică a valorilor limită la dreapta și la stânga. În restul intervalului eroarea absolută la reconstrucție scade relativ lent la creșterea numărului K . Eroarea în punctele de eșantionare este zero. În figura 4.3 punctele de eșantionare coincid cu intersecțiile dintre grafic și axa Ox .

Datorită intervalului de observație finit și a discontinuităților, apar componente spectrale superioare. Această mărire (împrăștiere) a spectrului poate fi redusă cu ajutorul unei ferestre (diferită de fereastra dreptunghiulară) care este o funcție pondere aplicată semnalului (porțiunii de semnal) analizat. Prin aplicarea unei ferestre se reduce (elimină) discontinuitatea ce (poate) apare la capătul perioadei de observare datorită periodicizării prin repetare. Acest lucru înseamnă că la capătul intervalului (ferestrei) se pot face oricâte derivate (rezultă continuitatea semnalului). Cel mai simplu mod de realizare a acestui lucru este ca valorile derivatelor să fie zero sau aproape zero la capetele intervalului. Ferestruirea face ca la capete, semnalul să tindă către zero. În paragraful următor se prezintă modul de eliminare (reducere) a discontinuităților prin oglindire.

4.3. Periodicizare prin oglindire și repetare

Eliminarea (reducerea) discontinuităților ce apar, datorită analizei semnalului pe o durată limitată de timp, se poate face folosindu-se oglindirea. Semnalul rezultat prin oglindire este mai apoi repetat astfel, obținându-se un semnal periodic. La reconstrucție trebuie să se țină seama de oglindirea făcută. Dacă se consideră o durată T din semnalul rampă analizat $x(t)$, se construiește semnalul

$$x_{par}(t) = \begin{cases} x(t) & \text{pentru } 0 \leq t \leq T \\ x(2T-t) & \text{pentru } T < t \leq 2T \end{cases} \quad (4.5)$$

În figura 4.4 se prezintă un exemplu de construcție a unui semnal periodic $x_{par}(t)$ prin utilizarea unei durate T din semnalul rampă $x(t)$.

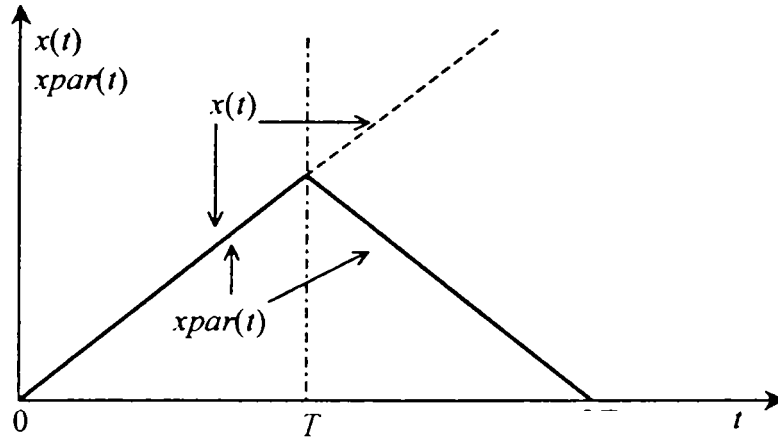


Fig. 4.4. Semnalul rampă $x(t)$ și semnalul $x_{par}(t)$ rezultat prin oglindire.

În paragraful anterior, semnalul periodicizat prin repetare avea perioada T . În acest caz, semnalul $x_{par}(t)$ va avea perioada $T_2 = 2T$ iar pulsația semnalului va fi $\omega_p = 2\pi/T_2$. Pentru același număr de eșantioane prelevate de pe parcursul noii perioade, frecvența de eșantionare se înjumătățește. Calculul coeficienților Fourier se face cu relația cunoscută

$$c_p(k) = \frac{1}{N} \sum_{i=0}^{N-1} x_{par}(iT_{e2}) e^{-j\omega_p k iT_{e2}}, \quad (4.6)$$

unde $T_{e2} = T_2/N$. Din relația (4.5) de definiție a semnalului $x_{par}(t)$ se observă că există o simetrie față de momentul $t = T$. Perioada de eșantionare T_{e2} este dublă față de perioada de eșantionare T_e utilizată în cazul periodicizării prin repetare astfel, între eșantioanele semnalului $x_{par}(t)$, datorită simetriei, există relația

$$x_{par}(T - iT_{e2}) = x_{par}(T + iT_{e2}),$$

sau

$$x_{par}(iT_{e2}) = x_{par}(2T - iT_{e2}),$$

care poate fi rescrisă sub forma

$$\begin{cases} x_{par}(iT_{e2}) = x(iT_{e2}) & \text{pentru } i = 0 \quad \frac{N-1}{2} \\ x_{par}(iT_{e2}) = x((N-i)T_{e2}) & \text{pentru } i = \frac{N+1}{2} \quad N-1 \end{cases} \quad (4.7)$$

Prin urmare, datorită simetriei, vor fi prelevate eșantioane din semnalul $x(t)$, la momentele iT_{e2} , doar de pe perioada de timp T fără a mai face efectiv oglindirea. Eșantioanele corespunzătoare celei de-a doua jumătăți de perioadă se obțin simplu cu relația (4.7). Relația (4.6) se rescrie sub forma

$$c_p(k) = \frac{1}{N} \left[\sum_{i=0}^{\frac{N-1}{2}} x(iT_{e2}) e^{-j\omega_p k iT_{e2}} + \sum_{i=\frac{N+1}{2}}^{N-1} x((N-i)T_{e2}) e^{-j\omega_p k iT_{e2}} \right]. \quad (4.8)$$

Pentru reconstrucția semnalului, în relația (4.4) se înlocuiește $c(k)$ cu $c_p(k)$ și ω cu ω_p obținând

$$xrp(t) = \sum_{k=-K}^K c_p(k) e^{jk\omega_p t}. \quad (4.9)$$

Din semnalul reconstituit $xrp(t)$ se ia în considerare doar porțiunea de semnal corespunzător timpului $t \in [0, T)$, ($t \in [t_0, T + t_0)$) care reprezintă reconstrucția semnalului inițial $x(t)$ corespunzător acestui interval.

Folosind relațiile (4.8) și (4.9) avem semnalul reconstituit și eroarea de reconstrucție prezentate în cele două figuri de mai jos.

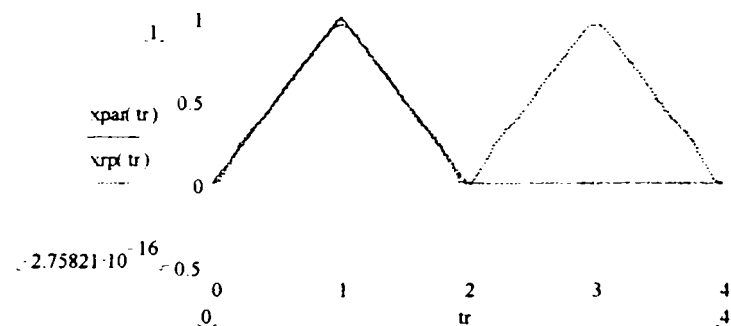


Fig. 4.5. O perioadă din semnalul $x_{par}(t)$ (linie continuă de la 0 la 2) și reconstrucția sa (linie intreruptă de la 0 la 4). $K=5$.

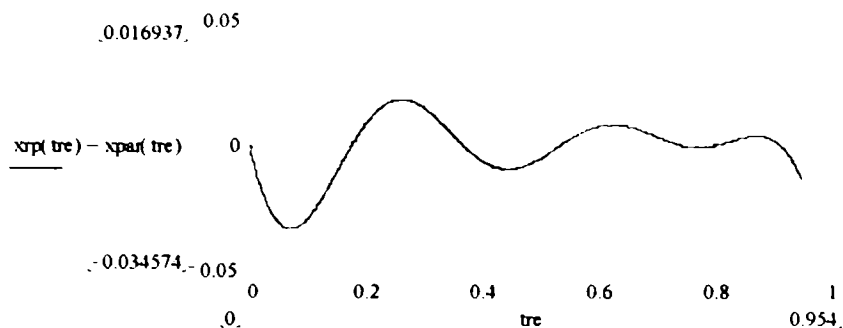


Fig. 4.6. Eroarea absolută la reconstrucția secvenței din semnalul analizat.

Din figurile 4.3 și 4.6 se poate observa că erorile de reconstrucție a semnalului inițial sunt mult mai mici în cazul în care se face oglindirea. În plus, deoarece la sfârșitul intervalului considerat ($T = 1$) nu mai există discontinuități, erorile sunt mai mici decât la începutul acestui interval.

În tabelul 4.2 se prezintă eroarea absolută maximă la reconstrucția semnalului inițial pe baza coeficienților Fourier. Calculele se fac pentru diferite valori ale mărimii K corespunzătoare armonice maxime considerată prezentă în semnal. În calcule făcute, valoarea maximă a lui K este 80. În acest caz, perioada de eșantionare $T_e = T/N$, unde $T = 1$ și $N = 2K + 1$, are valoarea 0,0062. Calculele nu se fac în timp continuu ci în timp discret astfel încât pentru reconstrucție se folosește un *pas*, în domeniu timp, ales egal cu 0,001, mai mic decât perioada de eșantionare minimă. Cu Δ s-au notat erorile absolute maxime pozitive, respectiv negative, la reconstrucția semnalului inițial în domeniul 0 la $T - T_e/2$ și, cu $E_{r\%}$ erorile relative procentuale maxime (pozitive, respectiv negative) în același domeniu. Cu cât semnalul are o valoare mai mică la un anumit moment, cu atât eroarea relativă în acel punct este mai mare. Din acest motiv în tabelul 4.2 (și în următoarele până la 4.6) pe coloanele corespunzătoare erorii relative sunt valori mari. Coloanele care au în capul de tabel pe $c(k)$ se referă la erorile de reconstrucție în cazul în care aceasta se face pe baza coeficienților Fourier calculați folosind relația (4.3) (este vorba de periodicizarea prin repetare). Coloanele de sub $c_p(k)$ se referă la erorile de reconstrucție în cazul în care se consideră periodicizarea prin oglindire și repetare. În acest caz reconstrucția semnalului se face pe baza coeficienților Fourier calculați folosind relația (4.6) sau (4.8).

Tabelul 4.2 Erorile de reconstrucție a semnalului rampă $x(t) = t$ în funcție de numărul K de componente armonice considerate ($t_0 = 0$)

K	$c(k)$		$c_p(k)$	
	Δ	$E_{r\%}$	Δ	$E_{r\%}$
5	0,143	62,3	0.016	6,6
	-0,493	-756,2	-0,034	-99,2
10	0,141	114,7	$8,9 \cdot 10^{-3}$	6,6
	-0,495	$-1,4 \cdot 10^3$	-0,018	-98,5
20	0,141	221,5	$4,5 \cdot 10^{-3}$	6,5
	-0,461	$-2,7 \cdot 10^3$	$-9,2 \cdot 10^{-3}$	-97,1
40	0,140	436	$2,2 \cdot 10^{-3}$	6,5
	-0,422	$-5 \cdot 10^3$	$-4,6 \cdot 10^{-3}$	-94,3
80	0,140	849	$1,1 \cdot 10^{-3}$	6,5
	-0,334	$-8,9 \cdot 10^3$	$-2,3 \cdot 10^{-3}$	-88,8

Se observă că prin dublarea respectiv triplarea numărului de eşantioane prelevate, eroarea absolută la reconstrucție se modifică nesemnificativ în cazul periodicizării prin repetare. În cazul periodicizării prin oglindire și repetare, erorile sunt cu cel puțin un ordin mai mic decât în cazul periodicizării prin repetare simplă. De asemenea, eroarea absolută scade cu creșterea numărului de eşantioane utilizate (calcularea mai multor coeficienți), adică creșterea frecvenței de eşantionare.

În tabelul 4.2 (și în următoarele) eroarea relativă maximă prezentă într-o anumită linie nu corespunde erorii absolute maxime de pe aceeași linie. Valorile mari ce se obțin pentru erorile relative se datorează faptului că la momentul inițial $t_0=0$, semnalul are valoarea 0. Calculul, în acest caz, se face de la momentul $t_0 + pas$ (al doilea punct în care se face calculul semnalului reconstituit). Eroarea relativă, în cazul periodicizării prin repetare crește deoarece, prin micșorarea perioadei de eşantionare, aceeași (aproape aceeași) eroare absolută se obține mai rapid când semnalul are valori mai mici. În cazul periodicizării prin oglindire și repetare, erorile relative rămân cu același ordin de mărime la creșterea frecvenței de eşantionare, chiar dacă calculele se fac pentru valori mai mici ale semnalului analizat, deoarece eroarea absolută scade

Aceleași calcule, pentru semnalul rampă $x(t) = t$, începând din momentul $t_0 = T_e/4$ sunt prezentate în tabelul următor.

Tabelul 4.3 Erorile de reconstrucție a semnalului rampă $x(t) = t$ în funcție de numărul de componente armonice considerate ($t_0 = T_e/4$)

K	c(k)		c _p (k)	
	Δ	E _{r%}	Δ	E _{r%}
5	0,143	52,8	0,016	6,0
	-0,493	-266,4	-0,034	-44,7
10	0,141	97,1	$8,9 \cdot 10^{-3}$	6,1
	-0,495	-504,7	-0,018	-44,7
20	0,141	187,8	$4,5 \cdot 10^{-3}$	6,0
	-0,461	-981,8	$-9,2 \cdot 10^{-3}$	-44,7
40	0,140	369,5	$2,2 \cdot 10^{-3}$	6,0
	-0,422	$-1,9 \cdot 10^3$	$-4,6 \cdot 10^{-3}$	-44,7
80	0,140	724	$1,1 \cdot 10^{-3}$	6,0
	-0,334	$-3,7 \cdot 10^3$	$-2,3 \cdot 10^{-3}$	-44,27

După cum se poate observa din tabelele 4.2 și 4.3, erorile absolute maxime de reconstrucție sunt identice pentru același număr de componente armonice considerate. Erorile relative maxime sunt mai mici datorită faptului că semnalul are valori mai mari pe perioada de timp considerată.

Tot pentru semnalul rampă, dar având componentă continuă sau pantă diferită, au fost făcute aceleași calcule. În tabelul 4.4 se prezintă erorile de reconstrucție pentru semnalul rampă $x(t)$ dar care are în plus și o componentă continuă egală cu 0,5; astfel, forma analitică a semnalului este $x(t) = t + 0,5$.

Tabelul 4.4 Erorile de reconstrucție a semnalului rampă $x_1(t) = t + 0,5$ în funcție de numărul de componente armonice considerate ($t_0 = 0$)

K	c(k)		c _p (k)	
	Δ	E _{r%}	Δ	E _{r%}
5	0,143	12,7	0,016	2,2
	-0,493	-33,9	-0,034	-6,05
10	0,141	13,6	8,9·10 ⁻³	1,4
	-0,495	-33,5	-0,018	-3,3
20	0,141	14,3	4,5·10 ⁻³	0,7
	-0,461	-31,0	-9,2·10 ⁻³	-1,7
40	0,140	14,7	2,2·10 ⁻³	0,4
	-0,422	-28,2	-4,6·10 ⁻³	-0,9
80	0,140	15	1,1·10 ⁻³	0,2
	-0,334	-27,4	-2,3·10 ⁻³	-0,4

Și în acest caz, la fel ca în cazul $t_0 \neq 0$, deoarece semnalul are valori mai mari datorită componenteii continue, erorile relative la reconstrucție sunt mai mici decât cele corespunzătoare semnalului $x(t) = t$ pentru același interval de timp (0 la T). Erorile absolute au aceleași valori.

În tabelul 4.5 se prezintă erorile de reconstrucție maxime în cazul în care semnalul analizat are o pantă mai mică $x_2(t) = 0,5t$.

Tabelul 4.5 Erorile de reconstrucție a semnalului rampă $x_2(t) = 0,5t$ în funcție de numărul de componente armonice considerate ($t_0 = 0$)

K	c(k)		c _p (k)	
	Δ	E _{r%}	Δ	E _{r%}
5	0,071	62,3	8,4·10 ⁻³	6,6
	-0,246	-756,2	-0,017	-99,2
10	0,070	114,7	4,4·10 ⁻³	6,6
	-0,247	-1,4·10 ³	-9,0·10 ⁻³	-98,5
20	0,070	221,5	2,2·10 ⁻³	6,5
	-0,230	-2,7·10 ³	-4,6·10 ⁻³	-97,1
40	0,070	436,6	1,1·10 ⁻³	6,5
	-0,211	-5,0·10 ³	-2,3·10 ⁻³	-94,3
80	0,070	849	5,7·10 ⁻³	6,5
	-0,167	-8,9·10 ³	-1,1·10 ⁻³	-88,8

Dacă semnalul analizat este $x_2(t) = 0,5t$, erorile absolute la reconstrucție au valori egale cu jumătate din valorile erorilor absolute la reconstrucție corespunzătoare semnalului $x(t)$. Valorile erorilor relative rămân neschimbate deoarece și semnalul analizat are în momentele de timp în care se fac calculele, valori egale cu jumătate din valorile corespunzătoare semnalului $x(t)$. Acest lucru se poate observa din tabelele 4.2 și 4.5.

Aceleași calcule pentru un semnal cu pantă mai mare, $x_3(t) = 2t$, sunt prezentate în tabelul 4.6.

Tabelul 4.6 Erorile de reconstrucție a semnalului rampă $x_3(t) = 2t$ în funcție de numărul de componente armonice considerate ($t_0 = 0$)

K	c(k)		c _p (k)	
	Δ	E _r %	Δ	E _r %
5	0,286	62,3	0,033	6,6
	-0,986	-756,2	-0,069	-99,2
10	0,283	114,7	0,017	6,6
	-0,990	-1,4·10 ³	-0,036	-98,5
20	0,282	221,5	9,0·10 ⁻³	6,5
	-0,923	-2,7·10 ³	-0,018	-97,1
40	0,280	436,6	4,5·10 ⁻³	6,5
	-0,844	-5,0·10 ³	-9,3·10 ⁻³	-94,3
80	0,280	849	2,3·10 ⁻³	6,5
	-0,668	-8,9·10 ³	-4,7·10 ⁻³	-88,8

Dacă semnalul rampă are o pantă mai mare și erorile absolute de reconstrucție sunt mai mari. Erorile absolute de reconstrucție în cazul semnalului $x_3(t) = 2t$ sunt de două ori mai mari decât în cazul semnalului $x(t) = t$. Cele relative, în schimb, au aceleași valori, similar cu cazul în care semnalul analizat a fost $x_2(t)$ sau $x(t)$, vezi tabelele 4.2, 4.5 și 4.6. Prin urmare valoarea erorii de reconstrucție depinde de viteza de variație a semnalului (mărimea benzii de frecvențe).

În literatura de specialitate [If1] se prezintă transformata cosinus, utilizată în mai multe domenii ca, de exemplu, compresie de date pentru transmisie, înregistrarea semnalelor biomedicale etc. Această transformată se definește ca fiind partea reală a transformatei Fourier discrete și se calculează cu relația

$$X_C(k) = \sum_{n=0}^{N-1} x_{par}(nT_{e2}) \cos\left(\frac{k2\pi nT_e}{N}\right). \quad (4.10)$$

Dacă funcția analizată este reală pară, ea conține doar termeni în cosinus. Dacă o anumită secvență dintr-un semnal real se oglindește față de unul din capetele sale rezultă o nouă secvență formată din cea inițială împreună cu cea oglindită, secvență care prin repetare va da un semnal periodic par. Calculele necesare pentru obținerea coeficienților Fourier se reduc deoarece se fac cu operanzi numere reale și nu complexe. În acest paragraf se utilizează oglindirea nu doar pentru simplificarea calculelor (calcule folosind numere reale și nu complexe), ci și pentru eliminarea (sau reducerea) discontinuităților ce pot apare în cazul periodicizării prin repetare a secvenței inițiale.

Semnalul rezultat prin oglindire și repetare fiind periodic par, se pot calcula coeficienții Fourier $a(k)$ folosind doar jumătate din numărul de eșantioane necesare pentru calculul transformatei Fourier discrete (coeficienții $b(k)$ sunt zero). Se va folosi relația pentru cazul semnalelor pare, N impar, rescrisă mai jos

$$a(k) = \frac{2}{N} \left[x_{par}(0) + 2 \sum_{i=1}^K x_{par}(iT_{e2}) \cos(k\omega_p iT_{e2}) \right]. \quad (4.11)$$

Deoarece prelevarea eșantioanelor se face doar de pe perioada T (și nu $2T$), relația (4.11) poate fi rescrisă sub forma

$$a(k) = \frac{2}{N} \left[x(0) + 2 \sum_{i=1}^K x(iT_{e2}) \cos(k\omega_p iT_{e2}) \right]. \quad (4.12)$$

Din relația (4.12) rezultă că fizic, oglindirea nu mai trebuie făcută ci, doar se consideră că porțiunea de semnal analizat reprezintă jumătate din perioada unui semnal periodic par.

Dacă eșantionarea începe dintr-un moment diferit de zero ($t_0 \neq 0$) atunci, în relația (4.11) sau (4.12), momentele de prelevare a eșantioanelor vor fi $t_0 + iT_{e2}$. Argumentul pentru funcția cosinus nu se modifică.

Reconstrucția semnalului se face cu relația

$$x_{pr}(t) = \frac{a(0)}{2} + \sum_{k=1}^K a(k) \cos(k\omega_p t). \quad (4.13)$$

În acest caz, considerarea semnalului $x_{par}(t)$ ca fiind unul par, la reconstrucție, în relația (4.13) timpul t începe de la zero și nu de la momentul t_0 în care a început eșantionarea semnalului $x(t)$. Semnalul (porțiunea din semnal) reconstituit va trebui poziționat în timp la locul corespunzător.

Pentru același semnal rampă $x(t) = t$ (K s-a ales tot 5), în cazul periodicizării prin oglindire și repetare avem rezultate prezentate sub formă grafică mai jos.

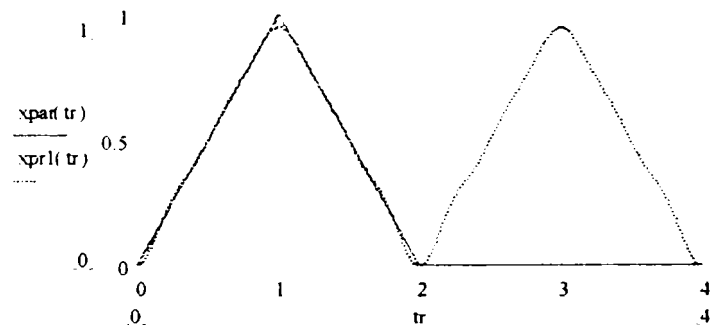


Fig. 4.7. Semnalul $x_{par}(t)$ (linie continuă de la 0 la 2) și reconstrucția sa (linie întreruptă de la 0 la 4), $K=5$.

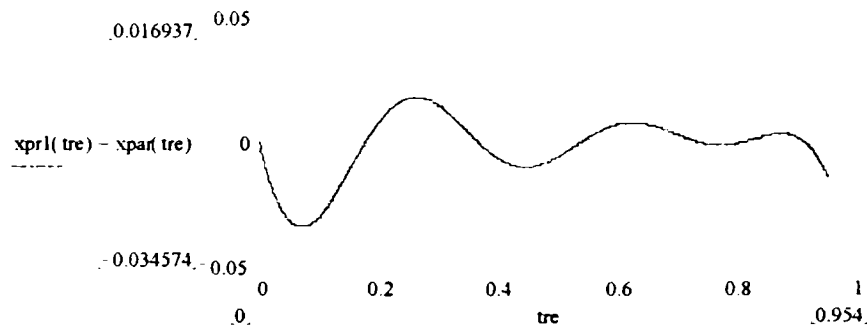


Fig. 4.8. Eroarea absolută la reconstrucția secvenței din semnalul analizat.

Din figurile 4.6 și 4.8 se observă că graficele erorii absolute de reconstrucție sunt aceleași în cele două cazuri – calculul coeficienților Fourier efectuându-se cu relația (4.8), respectiv (4.12). Pentru capătul intervalului, eroarea de reconstrucție este mult mai mică decât în cazul periodicizării prin repetare.

Dacă semnalul este considerat periodic par atunci se vor preleva doar un număr de $K + 1$ eşantioane de pe intervalul T analizat (în loc de $2K + 1$ - cazul periodicizării prin repetare). Calculul coeficienților Fourier este mult mai ușor de efectuat datorită utilizării unui număr redus de eşantioane.

În cazul în care rezultatul oglinirii și repetării se consideră a fi o perioadă dintr-un semnal periodic par (se utilizează relațiile (4.12) și (4.13)), erorile care apar la reconstrucție sunt identice cu cele prezentate mai sus pentru $c_p(k)$ (tabelele 4.2 la 4.6). Din acest motiv acestea nu au mai fost introduse într-un tabel.

În tabelul 4.7 se prezintă valorile coeficienților Fourier calculați cu relația (4.3) (coeficienții $c(k)$) respectiv (4.12) (coeficienții $a(k)$) pentru un semnal rampă $x(t) = t$ și $K = 10$. În tabel au fost trecuți doar coeficienții $c(k)$ cu indici pozitivi.

Tabelul 4.7 Valorile coeficienților Fourier $c(k)$ și $a(k)$ pentru un semnal rampă $x(t) = t$ și $K = 10$

k	$c(k)$	$A(k) = c(k) $	% din $A(1)$	$a(k)$	% din $a(1)$
0	0,476	0,476	-	0,998	-
1	-0,024+0,158i	0,160	100	-0,406	100
2	-0,024+0,077i	0,081	50,56	$-2,31 \cdot 10^{-3}$	0,57
3	-0,024+0,049i	0,055	34,35	-0,046	11,27
4	-0,024+0,035i	0,042	26,45	$-2,48 \cdot 10^{-3}$	0,61
5	-0,024+0,026i	0,035	21,91	-0,017	4,18
6	-0,024+0,019i	0,030	19,06	$-2,79 \cdot 10^{-3}$	0,68
7	-0,024+0,014i	0,027	17,21	$-9,07 \cdot 10^{-3}$	2,23
8	$-0,024+9,34 \cdot 10^{-3}$	0,026	16,01	$-3,32 \cdot 10^{-3}$	0,81
9	$-0,024+5,43 \cdot 10^{-3}$	0,024	15,28	$-5,83 \cdot 10^{-3}$	1,43
10	$-0,024+1,78 \cdot 10^{-3}$	0,024	14,94	$-4,22 \cdot 10^{-3}$	1,03

Partea reală a coeficienților $c(k)$, $k = 1, 2, \dots$, rămâne constantă, partea imaginară scade lent, de la coeficientul $c(8)$ ajunge să aibe valori de ordinul 10^{-3} ($A(8)$ este egal cu 16% din $A(1)$). Coeficienții $a(k)$ sunt numere reale și ajung să aibe valori de ordinul 10^{-3} de la indicele $k = 6$ ($a(6)$ este egal cu 0,68% din $a(1)$). Aceleași calcule s-au făcut pentru $K = 20$, în acest caz partea imaginară a coeficienților $c(k)$ a ajuns să aibe valori de ordinul 10^{-3} de la indicele $k = 12$ ($A(12)$ este egal cu 5,9% din $A(1)$), în timp ce pentru coeficienții $a(k)$ acest lucru se întâmplă începând de la ordinul $k = 6$ ($a(6)$ este egal cu 1,5% din $a(1)$).

Prin urmare, în cazul periodicizării prin oglinire și repetare (periodicitate prin paritate) semnalul devine par și valoarea coeficienților Fourier scade mult mai rapid. Acest lucru înseamnă că se pot neglija coeficienți de la un indice mai mic pentru $a(k)$ față de $c(k)$ și se obțin erori de reconstrucție comparabile. Rezultă un calcul mai rapid și o frecvență de eşantionare mai mică.

Pentru cel de-al doilea semnal analizat, și anume semnalul sinusoidal $x_s(t) = \sin(2\pi ft)$, de perioadă $T = 1$, s-au luat în calcul mai multe perioade de timp T_c , considerate a fi o perioadă, și anume $T_c = 0,25T, 0,375T, 0,75T, 0,95T$ și T .

Mai jos sunt prezentate semnalul (linie continuă) și reconstrucția sa (linie întreruptă), în cazul celor două tipuri de periodicizări, pentru ordinul armonice maxime $K=5$ și diferite perioade de observare T_c .

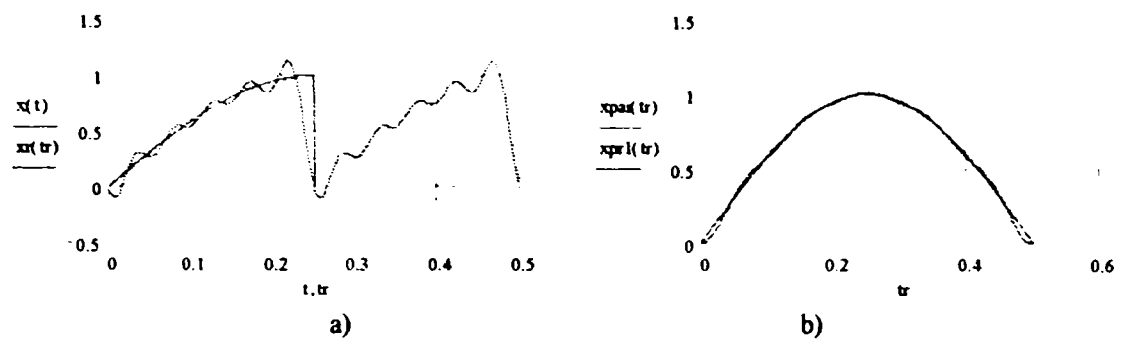


Fig. 4.9. Semnal sinusoidal, $T_c=0,25$, $K=5$, a) periodicizare prin repetare, b) periodicizare prin oglindire și repetare.

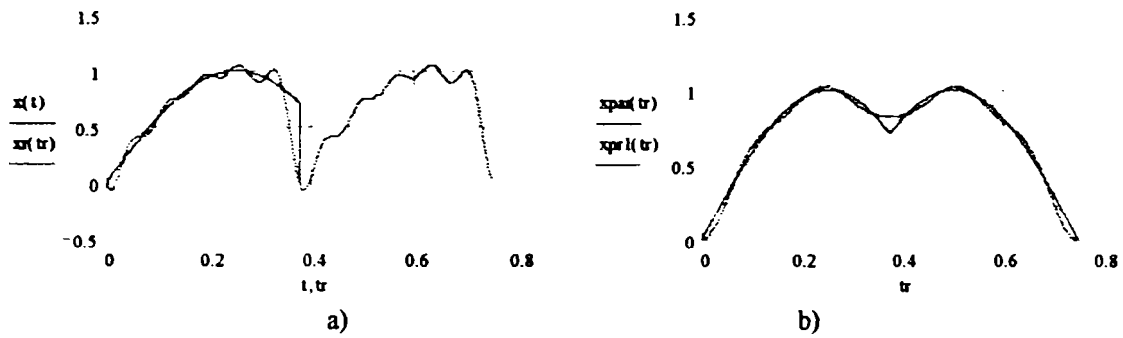


Fig. 4.10. Semnal sinusoidal, $T_c=0,375$, $K=5$, a) periodicizare prin repetare, b) periodicizare prin oglindire și repetare.

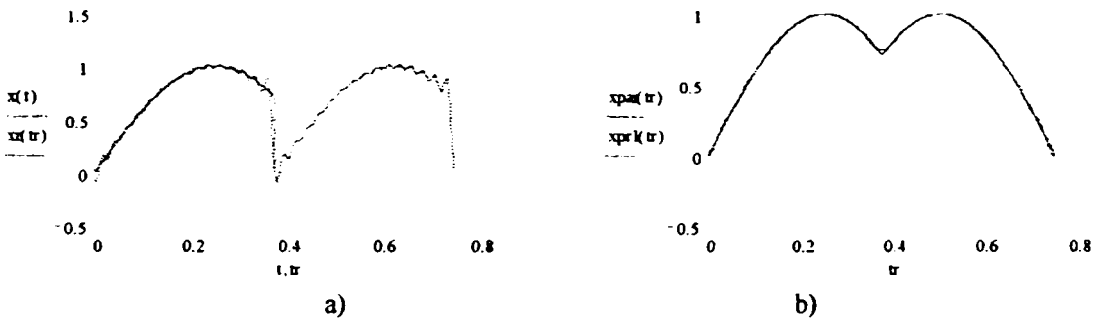


Fig. 4.11. Semnal sinusoidal, $T_c=0,375$, $K=15$, a) periodicizare prin repetare, b) periodicizare prin oglindire și repetare.

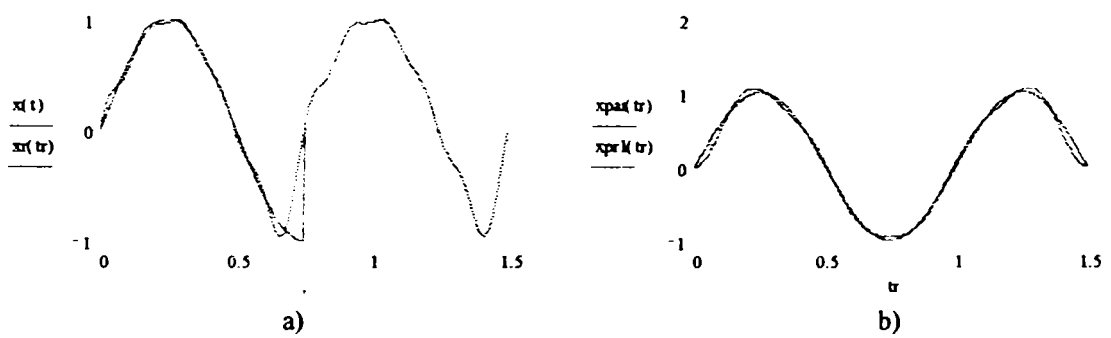


Fig. 4.12. Semnal sinusoidal, $T_c=0,75$, $K=5$, a) periodicizare prin repetare, b) periodicizare prin oglindire și repetare.

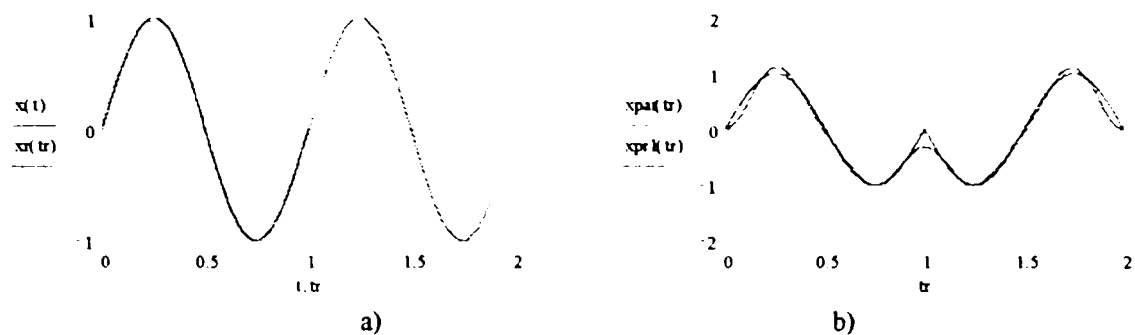


Fig. 4.13. Semnal sinusoidal. $T_c=1$. $K=5$. a) periodicizare prin repetare. b) periodicizare prin oglindire și repetare.

După cum se poate observa din figurile 4.9 la 4.13, semnalul reconstituit (linie întreruptă) diferă mai mult sau mai puțin față de semnalul analizat (linie continuă). În cazul în care semnalului analizat variază rapid la sfârșitul perioadei de observare, pentru o reconstrucție cu erori mai mici, trebuie prelevate mai multe eșantioane, altfel spus – mărită frecvența de eșantionare (vezi figurile 4.9 și 4.10). Dacă prelevarea eșantioanelor se face de pe o perioadă a semnalului analizat, reconstrucția, folosind periodicizarea prin repetare, se face cu erori neglijabile. În schimb, dacă se folosește periodicizarea prin oglindire și repetare, la mijlocul noii perioade obținute (fig. 4.12b) semnalul are o pantă mare care își schimbă semnul. Avem un punct de discontinuitate de ordinul 1 [Ca1]. Aceeași situație apare și la începutul/sfârșitul noii perioade. Prin urmare, reconstrucția se face cu o eroare mai mare.

În urma calculului coeficienților Fourier și a reconstrucției semnalului inițial pe baza acestor coeficienți s-au obținut erorile maxime de reconstrucție prezentate în tabelul 4.8 în funcție de perioada de observare T_c și de numărul K de componente armonice considerate. Cu Δ au fost notate erorile absolute maxime iar cu $E_{r\%}$ erorile relative procentuale maxime. Coloanele de sub $c(k)$ se referă la erorile de reconstrucție în cazul în care se consideră periodicizarea prin repetare și calculul coeficienților Fourier se face cu relația (4.3). coloanele de sub $c_p(k)$, respectiv $a(k)$, se referă la erorile de reconstrucție în cazul în care se consideră periodicizarea prin oglindire și repetare, calculul coeficienților Fourier se face cu relația (4.8), respectiv (4.12).

Analiza semnalului începe în momentul $t_0 = 0$ când și semnalul sinusoidal are valoarea zero. Acest lucru duce la obținerea unor erori relative de valori mari, după cum se poate vedea din tabelul 4.8.

Tabelul 4.8 Erorile de reconstrucție a semnalului sinusoidal în funcție de numărul de componente armonice considerate ($t_0 = 0$)

T_c	K	$c(k)$		$c_p(k)$		$a(k)$	
		Δ	$E_r\%$	Δ	$E_r\%$	Δ	$E_r\%$
0,25	5	0,15	43	0,027	6,9	0,027	6,9
		-1	-533	-0,054	-99,6	-0,054	-99,6
	10	0,145	76	0,014	6,6	0,014	6,6
		-1	-967	-0,028	-99,4	-0,028	-99,4
	15	0,143	110	$9,4 \cdot 10^{-3}$	6,6	$9,4 \cdot 10^{-3}$	6,6
		-1	-1000	-0,019	-99,1	-0,19	-99,1
0,375	5	0,118	24	0,116	16,4	0,116	16,4
		-0,707	-312	-0,082	-99,8	-0,082	-99,8
	10	0,109	40	0,045	6,7	0,045	6,7
		-0,707	-518	-0,042	-99,6	-0,042	-99,6
	15	0,106	56	0,036	6,6	0,036	6,6
		-0,707	-722	-0,028	-99,4	-0,028	-99,4
0,75	5	1	78,7	0,085	46,3	0,085	46,3
		-0,123	-100	-0,166	-84,6	-0,166	-84,6
	10	1	118	0,042	7,1	0,042	7,1
		-0,131	-100	-0,085	-69,8	-0,085	-69,8
	15	1	95,1	0,028	6,8	0,028	6,8
		-0,134	-100	-0,057	-56	-0,057	-56
0,95	5	0,309	27,5	0,108	94,2	0,108	94,2
		-0,043	-100	-0,291	-88,1	-0,291	-88,1
	10	0,309	40,9	0,054	60,8	0,054	60,8
		-0,043	-100	-0,188	-76,2	-0,188	-76,2
	15	0,309	40,3	0,036	35,9	0,036	35,9
		-0,043	-100	-0,110	-64,9	-0,110	-64,9
1	5	$1,1 \cdot 10^{-15}$	$1 \cdot 10^{-13}$	0,114	232,9	0,114	232,9
		$-5,5 \cdot 10^{-16}$	$-5,5 \cdot 10^{-14}$	-0,326	-88,8	-0,326	-88,8
	10	$1,9 \cdot 10^{-15}$	0	0,057	117,1	0,057	117,1
		$-1,3 \cdot 10^{-15}$	$-1,9 \cdot 10^{-13}$	-0,207	-77,4	-0,207	-77,4
	15	$1,1 \cdot 10^{-15}$	$1,1 \cdot 10^{-13}$	0,038	42,9	0,038	42,9
		$-6,6 \cdot 10^{-16}$	0	-0,123	-66,6	-0,123	-66,6

După cum se poate observa din tabelul de mai sus, erorile de reconstrucție sunt mai mici dacă se utilizează și oglindirea. În cazul în care eșantioanele se prelevează dintr-o perioadă a semnalului sinusoidal, se poate neglija eroarea de reconstrucție dacă se utilizează doar repetarea (erorile ce apar sunt erori de calcul ale programului). Cum periodicizarea se face pentru semnale oarecare, neperiodice, și nu pentru cele periodice, rezultă concluzia că dacă se periodicizează semnalul ce în prealabil a fost oglindit, reconstrucția sa se face cu erori mai mici decât în cazul periodicizării fără oglindire. Cele mai mari erori la reconstrucție apar atunci când cel puțin la unul din capete semnalul variază rapid (are pantă mare). Prin oglindire panta își schimbă semnul și astfel banda de frecvențe a semnalului rezultat este mult mai mare decât cea a semnalului din care face parte secvența de date. În acest caz, prin trunchiere, se pierde o cantitate importantă de informație. O soluție pentru eliminarea/reducerea pierderii de informație, este mărirea frecvenței de eșantionare ceea ce duce la prelevarea unui număr mai mare de eșantioane și calculul unui număr mai mare de coeficienți Fourier. O altă

soluție, ce nu presupune mărirea excesivă a frecvenței de eșantionare, este ca secvențele cu eșantioane prelevate din semnalul analizat să nu fie una în continuarea celeilalte ci să fie parțial suprapuse. Acest caz este prezentat în paragraful următor.

4.4 Prelucrarea semnalului pe segmente parțial suprapuse

Reconstrucția semnalului analizat cu erori cât mai mici folosind o frecvență mai mică de eșantionare, deci și un număr mai mic de eșantioane, se poate face prin suprapunerea parțială a intervalelor de observație. Astfel, intervalele de observație, notate IO , vor fi mai mari și parțial suprapuse, iar intervalele de reconstrucție, notate IR , vor fi mai mici și succesive. Acest lucru este prezentat grafic în figura de mai jos.

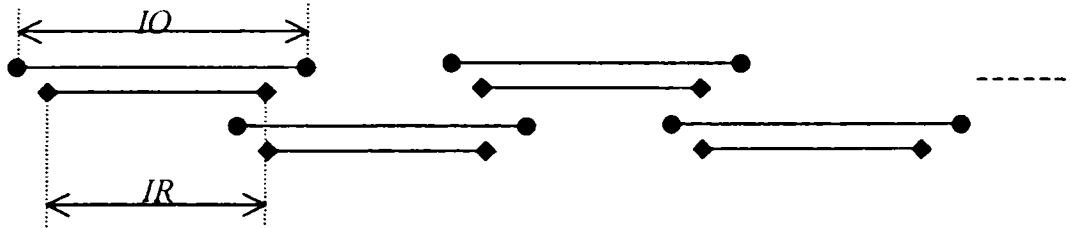


Fig. 4.14. Prezentarea grafică a intervalelor de observație IO și a intervalelor de reconstrucție IR .

Calculul făcut pentru reconstrucția semnalului folosesc toate informațiile obținute din eșantionarea semnalului pe perioada IO . Cu cât diferența dintre IO și IR este mai mare, cu atât eroarea de reconstrucție a semnalului inițial este mai mică.

Primul semnal analizat este rampa definită de ecuația $x(t) = t$. Prelevarea eșantioanelor se face pe o perioadă de timp $T = 1$ care este considerată perioada semnalului analizat. Se consideră cazul periodicizării prin repetare. Se alege ordinul K corespunzător armonice maxime, presupusă a exista în semnalul $x(t)$. Numărul de eșantioane prelevate de pe perioada T este $N = 2K + 1$, frecvența de eșantionare $f_e = 1/NT$. Coeficienții Fourier se calculează cu relația (4.3). Reconstrucția semnalului inițial pe baza coeficienților Fourier se face cu o anumită eroare care este mai mare la capetele intervalului de observație și mai mică la mijloc. În cazul în care frecvența de eșantionare crește (K ales este mai mare), erorile de reconstrucție scad relativ puțin la capetele intervalului de observație. În tabelul 4.9 se prezintă erorile absolute maxime de reconstrucție între punctele de eșantionare. S-au calculat aceste valori pe trei perioade de eșantionare de la începutul intervalului de observație, trei perioade de la sfârșitul acestui interval și 5 perioade de la mijlocul său.

De pe perioada de timp T , corespunzătoare unui IO , se prelevează N eșantioane cu indicii de la 0 la $N - 1$. Prin urmare ultimul eșantion prelevat se află la o distanță egală cu T_e față de capătul intervalului. Reconstrucția semnalului s-a realizat pe întregul IO , până în momentul $NT_e = T$.

Tabelul 4.9 Eroarea de reconstrucție la începutul, mijlocul și sfârșitul perioadei de observație în cazul semnalului rampă $x(t) = t$, $t_0=0$, periodicizare prin repetare

	esant/K	5	10	20	50	100	200	1000
Δ $c(k)$	$0 \div 1$	-0,143	-0,142	-0,141	-0,141	-0,141	-0,141	-0,141
	$1 \div 2$	0,081	0,078	0,077	0,076	0,076	0,076	0,076
	$2 \div 3$	-0,059	-0,054	-0,053	-0,052	-0,052	-0,052	-0,052
	$K - 2 \div K - 1$	0,049	-0,024	-0,012	-0,005	$-2,5 \cdot 10^{-3}$	$-1,2 \cdot 10^{-3}$	$-2,5 \cdot 10^{-4}$
	$K - 1 \div K$	-0,046	0,024	0,012	0,005	$2,5 \cdot 10^{-3}$	$1,2 \cdot 10^{-3}$	$2,5 \cdot 10^{-4}$
	$K \div K + 1$	0,046	-0,024	-0,012	-0,005	$-2,5 \cdot 10^{-3}$	$-1,2 \cdot 10^{-3}$	$-2,5 \cdot 10^{-4}$
	$K + 1 \div K + 2$	-0,049	0,024	0,012	0,005	$2,5 \cdot 10^{-3}$	$1,2 \cdot 10^{-3}$	$2,5 \cdot 10^{-4}$
	$K + 2 \div K + 3$	0,059	-0,026	-0,012	-0,005	$-2,5 \cdot 10^{-3}$	$-1,2 \cdot 10^{-3}$	$-2,5 \cdot 10^{-4}$
	$N - 3 \div N - 2$	-0,081	-0,078	-0,077	-0,076	-0,076	-0,0076	-0,076
	$N - 2 \div N - 1$	0,143	0,142	0,141	0,141	0,141	0,141	0,141
	$N - 1 \div N$	-0,993	-0,993	-0,993	-0,993	-0,993	-0,993	-0,993

După cum se vede din tabelul 4.9 eroarea de reconstrucție la începutul și sfârșitul perioadei de observație ajunge la o valoare sub care nu mai scade la creșterea frecvenței de eșantionare. La mijlocul perioadei, eroarea de reconstrucție scade la jumătate cu dublarea frecvenței de eșantionare. Pentru a reduce eroarea maximă de reconstrucție cu un ordin sau mai mult, mai puțin la capetele perioadei de observație, nu este suficient să se mărească frecvența de eșantionare. În plus acest lucru ar însemna prelevarea unui număr mai mare de eșantioane de pe intervalul de observație considerat deci, calcule mai multe. În figura următoare se prezintă grafic semnalul rampă și reconstrucția sa pe baza coeficienților Fourier în cazul $K=5$.

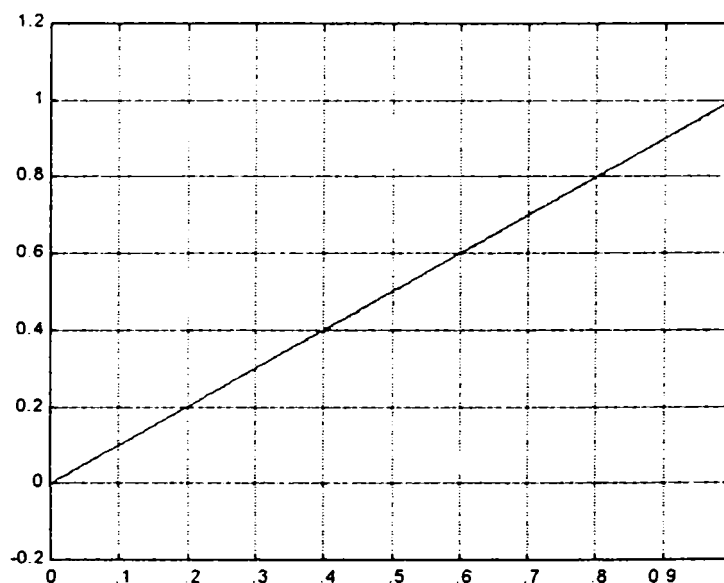


Fig. 4.15. Semnalul rampă (linie continuă) și reconstrucția sa (linie întreruptă) pe o perioadă $T=1$, periodicizare prin repetare.

În figura 4.16 se prezintă semnalul rampă analizat (linie continuă) și reconstrucția sa (linie întreruptă) folosind periodicizarea prin oglindire și repetare.

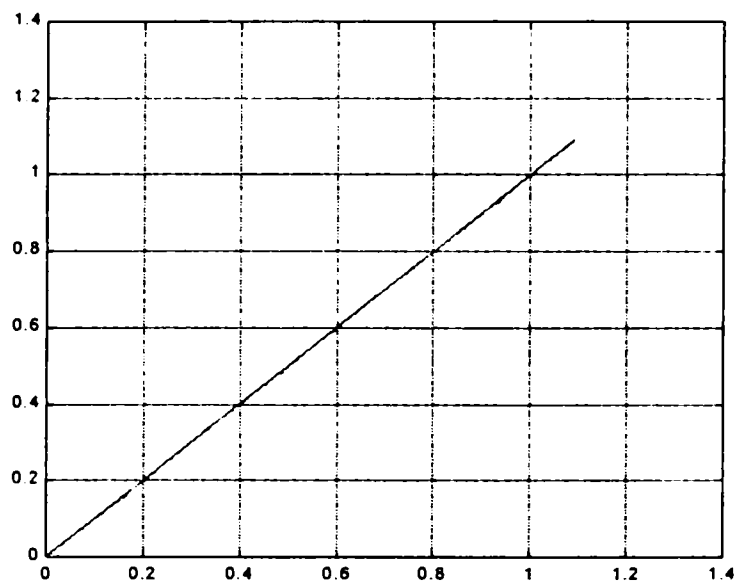


Fig. 4.16. Semnalul rampă și reconstrucția sa pe o perioadă $T=1$, periodicizare prin oglindire și repetare.

În cazul în care se consideră periodicizarea prin oglindire și repetare, erorile de reconstrucție sunt mult mai mici și, în plus, scad la jumătate, cu dublarea frecvenței de eșantionare, la capetele intervalului de observație. La mijlocul acestui interval scăderea este chiar mai accentuată, după cum se vede din tabelul 4.10.

Numărul de eșantioane prelevate pe parcursul intervalului de observație este $K-1$ (de la 0 la K), eșantionul de la jumătatea intervalului este notat KJ . Dacă K este impar atunci $KJ = (K+1)/2$, dacă K este par atunci $KJ = K/2$.

Tabelul 4.10 Eroarea de reconstrucție la începutul, mijlocul și sfârșitul perioadei de observație în cazul semnalului rampă, $t_0=0$, periodicizare prin oglindire și repetare

esant\K		5	10	20	50	100	200	1000
Δ $c(k)$	$0 \div 1$	-0,035	-0,018	-0,009	-0,004	-0,002	$-9,5 \cdot 10^{-4}$	$-1,9 \cdot 10^{-4}$
	$1 \div 2$	0,017	0,009	0,005	0,002	$9,2 \cdot 10^{-4}$	$4,6 \cdot 10^{-4}$	$9,3 \cdot 10^{-5}$
	$2 \div 3$	-0,011	-0,006	-0,003	-0,001	$-5,9 \cdot 10^{-4}$	$-2,9 \cdot 10^{-4}$	$-5,9 \cdot 10^{-5}$
	$KJ - 2 \div KJ - 1$	0,017	-0,005	$-9,9 \cdot 10^{-4}$	$1,5 \cdot 10^{-4}$	$-3,6 \cdot 10^{-5}$	$-8,9 \cdot 10^{-6}$	$-3,5 \cdot 10^{-7}$
	$KJ - 1 \div KJ$	-0,010	-0,004	$9,1 \cdot 10^{-4}$	$-1,4 \cdot 10^{-4}$	$3,6 \cdot 10^{-5}$	$8,8 \cdot 10^{-6}$	$3,5 \cdot 10^{-7}$
	$KJ \div KJ + 1$	0,007	-0,003	$-8,6 \cdot 10^{-4}$	$1,4 \cdot 10^{-4}$	$-3,5 \cdot 10^{-5}$	$-8,8 \cdot 10^{-6}$	$-3,5 \cdot 10^{-7}$
	$KJ + 1 \div KJ + 2$	0,003	-0,003	$8,1 \cdot 10^{-4}$	$-1,4 \cdot 10^{-4}$	$3,5 \cdot 10^{-5}$	$8,5 \cdot 10^{-6}$	$3,5 \cdot 10^{-7}$
	$KJ + 2 \div KJ + 3$	-0,179	0,003	$-7,8 \cdot 10^{-4}$	$1,3 \cdot 10^{-4}$	$-3,4 \cdot 10^{-5}$	$-8,7 \cdot 10^{-6}$	$-3,5 \cdot 10^{-7}$
	$K - 2 \div K - 1$	0,007	-0,004	-0,001	$-4,2 \cdot 10^{-4}$	$-1,9 \cdot 10^{-4}$	$-8,8 \cdot 10^{-5}$	$-1,7 \cdot 10^{-5}$
	$K - 1 \div K$	0,003	0,007	0,003	0,001	$5,1 \cdot 10^{-4}$	$2,5 \cdot 10^{-4}$	$4,9 \cdot 10^{-5}$
$K \div K + 1$	-0,179	-0,093	-0,048	-0,019	-0,009	-0,005	$-9,8 \cdot 10^{-4}$	

Din tabelele 4.9 și 4.10 se observă că erorile de reconstrucție a semnalului analizat sunt mult mai mici în cazul în care se face și oglindirea intervalului de observație. De asemenea, la începutul și sfârșitul acestui interval, reconstrucția se face cu erori mult mai mici care, în plus, scad la creșterea numărului de eșantioane (implicit și a frecvenței de eșantionare) utilizate.

După cum se vede din tabelul 4.9 (periodicizare prin repetare), la capătul intervalului, eroarea de reconstrucție este egală cu diferența dintre valorile semnalului la

momentele T și 0 . În cazul periodicizării prin oglindire și repetare (tabelul 4.10) această eroare este mult mai mică dar, rămâne cea mai mare din intervalul de reconstrucție.

Din tabelul 4.9 rezultă că pentru o eroare absolută la începutul reconstrucției semnalului cu o valoare de $0,053$ ($-0,077$ la sfârșitul IR) trebuie să se preleveze de pe perioada T un număr de 41 de eșantioane ($K = 20$) iar reconstrucția semnalului să se facă începând cu eșantionul 3 . Din tabelul 4.10 rezultă că pentru o eroare mai mică la începutul reconstrucției semnalului, de $0,017$ ($0,003$ la sfârșitul IR), se prelevează de pe aceeași perioadă de timp un număr de 11 eșantioane ($K = 5$) iar reconstrucția se face de la al doilea eșantion prelevat.

Din tabelele 4.9 și 4.10 rezultă că dacă IR este mai mic decât IO cu $2T_e$, T_e la început și T_e la sfârșit, eroarea de reconstrucție la începutul IR scade în cazul periodicizării prin repetare de $1,77$ până la $1,84$ ori respectiv, de aproximativ 2 ori în cazul periodicizării prin oglindire și repetare. Dacă IR este mai mic decât IO cu $4T_e$, eroarea de reconstrucție la începutul IR scade de $2,4$ până la $2,7$ ori, respectiv, $3,1$ ori.

În figura 4.17 se prezintă semnalul rampă $x(t) = t$ și semnalul reconstituit $x_{ref}(t)$ pe o perioadă de timp $2 \cdot T$ ($T = 1$). Astfel avem două IO și două IR , $IO = IR$ (de la 0 la 1 și de la 1 la 2 pe axa timpului). Graficul erorii absolute la reconstrucție este prezentat în figura 4.18.



Fig. 4.17. Semnalul rampă $x(t)$ și reconstrucția sa $x_{ref}(t)$ pe două IR ($IR=IO$). periodicizare prin repetare, $K=10$.

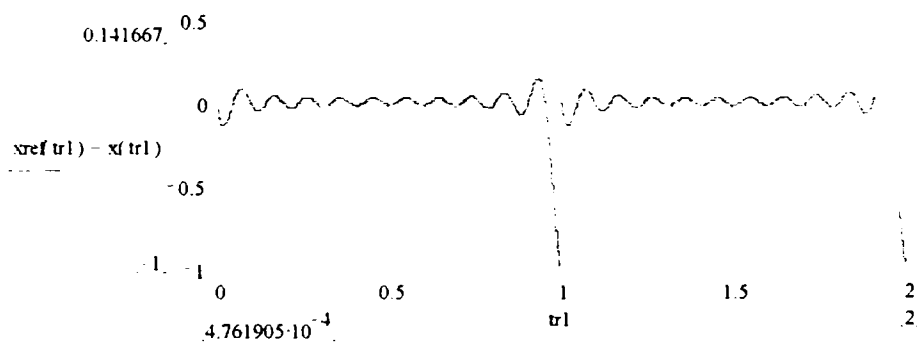


Fig. 4.18. Eroarea absolută la reconstrucția semnalului rampă pe două IR ($IR=IO$). periodicizare prin repetare, $K=10$.

La capetele IR eroarea absolută la reconstrucție este foarte mare, egală cu diferența dintre valoarea semnalului de la sfârșitul IR și valoarea semnalului de la începutul IR . În cazul periodicizării prin oglindire și repetare aceste erori sunt mult mai mici după cum se vede din figurile următoare.

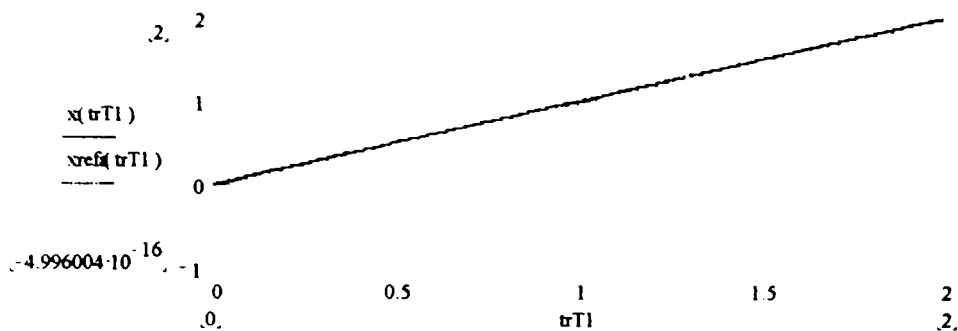


Fig. 4.19. Semnalul rampă $x(t)$ și reconstrucția sa $xrefa(t)$ pe două IR ($IR=IO$), periodicizare prin oglindire și repetare, $K=10$.

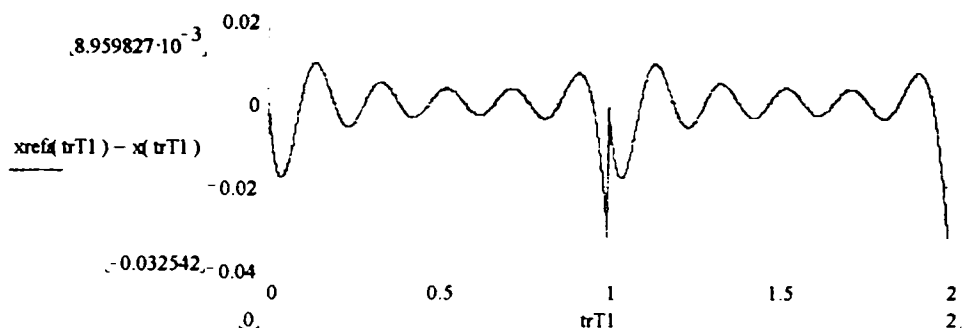


Fig. 4.20. Eroarea absolută la reconstrucția semnalului rampă pe două IR ($IR=IO$), periodicizare prin oglindire și repetare, $K=10$.

Eroarea maximă la reconstrucție, la sfârșitul IR, nu depinde de diferența dintre valoarea semnalului de la sfârșitul IR și de la începutul IR ci, de numărul de eșantioane prelevate din semnal sau, pentru un anumit număr de eșantioane, de panta semnalului (vezi tabelele 4.2 la 4.6 și 4.9).

În cazul în care IR este mai mic decât IO cu $2 \cdot T_e$, o perioadă de eșantionare la început și una la sfârșitul intervalului, eroarea absolută la reconstrucție, la sfârșitul IR, scade cu cel puțin un ordin.



Fig. 4.21. Reconstrucția semnalului rampă pe două IR, $IR < IO$ cu $2 T_e$, periodicizare prin repetare, $K=10$.

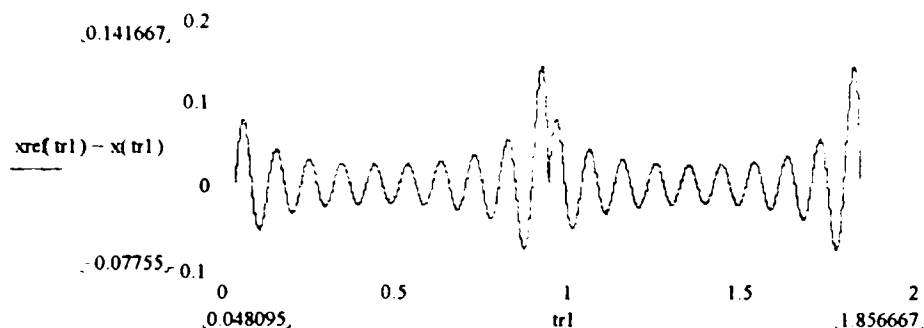


Fig. 4.22. Eroarea absolută la reconstrucția semnalului rampă pe două IR, $IR < IO$ cu $2 \cdot T_e$, periodicizare prin repetare. $K=10$.

În tabelul 4.11 se prezintă erorile absolute maxime la reconstrucția semnalului rampă $x(t) = t$, în funcție de numărul de eșantioane (perioade de eșantionare) din IO care nu mai apar în IR . Calculele s-au făcut pentru două valori ale ordinului armonice maxime considerată a fi prezentă în semnalul analizat. Pe coloane alăturate au fost trecute rezultatele pentru cazul periodicizării prin repetare ($\Delta c(k)$) respectiv, pentru cazul periodicizării prin oglindire și repetare ($\Delta a(k)$). Coloana "număr eșantioane eliminate", prescurtat *nee*, se referă la numărul de eșantioane eliminate la un capăt al intervalului de reconstrucție. Deoarece același număr de eșantioane se elimină și la celălalt capăt, dacă în tabel avem 1 înseamnă că $IO - IR = 2 \cdot T_e$. În cazul periodicizării prin oglindire și repetare perioada de eșantionare este $T_{e2} = 2 \cdot T_e$.

Tabelul 4.11 Erorile absolute maxime la reconstrucția semnalului rampă în funcție de diferența dintre IO și IR , $IO - IR = 2 \cdot nee \cdot T_e$

nr. eșantioane eliminate (<i>nee</i>)	K=10		K=20	
	$\Delta c(k)$	$\Delta a(k)$	$\Delta c(k)$	$\Delta a(k)$
0	0,1416	$8,95 \cdot 10^{-3}$	0,1412	$4,54 \cdot 10^{-3}$
	-1	-0,0325	-1	-0,0161
1	0,1416	$8,95 \cdot 10^{-3}$	0,1412	$4,54 \cdot 10^{-3}$
	-0,0775	$-5,92 \cdot 10^{-3}$	-0,0766	$-2,95 \cdot 10^{-3}$
2	0,0537	$4,50 \cdot 10^{-3}$	0,0524	$2,17 \cdot 10^{-3}$
	-0,0775	$-5,92 \cdot 10^{-3}$	-0,0766	$-2,95 \cdot 10^{-3}$
3	0,0537	$4,50 \cdot 10^{-3}$	0,0524	$2,17 \cdot 10^{-3}$
	-0,0417	$-3,72 \cdot 10^{-3}$	-0,0399	$-1,73 \cdot 10^{-3}$
4	0,0347	$3,30 \cdot 10^{-3}$	0,0323	$1,44 \cdot 10^{-3}$
	-0,0417	$-3,72 \cdot 10^{-3}$	-0,0399	$-1,73 \cdot 10^{-3}$

În tabelul 4.11 au fost trecute atât erorile absolute maxime pozitive cât și cele negative. Se observă că la eliminarea unui eșantion în plus, se regăsește în tabel eroarea absolută mai mică în modul deoarece erorile trecute în tabel sunt obținute în perioade de timp (de eșantionare) alăturate.

Dacă eșantionarea semnalului $x(t) = t$ începe într-un moment $t_0 \neq 0$, erorile absolute maxime la reconstrucție, în funcție de K și de diferența dintre IO și IR , sunt aceleași ca în tabelul 4.11. Dacă se modifică panta semnalului se modifică și valorile maxime ale erorilor absolute la reconstrucție, la fel ca în cazurile prezentate în tabelele 4.2 la 4.6. De exemplu, pantă pe jumătate (semnal $x(t) = 0,5t$) conduce la erori pe jumătate.

Din figurile 4.17, 4.18 și tabelul 4.9 se vede că cea mai mare eroare absolută la reconstrucție apare la sfârșitul IR , adică între ultimul eșantion prelevat de pe parcursul unui IO și sfârșitul IO ($IR = IO$). Erorile de pe parcursul celorlalte intervale (perioade de eșantionare) sunt toate mai mici și, în plus, pe perioadele de eșantionare situate simetric față de mijlocul distanței dintre primul și ultimul eșantion prelevate de pe parcursul unui IO , ele sunt egale în modul. În cazul în care reducerea IR se face în mod egal și la început și la sfârșit, eroarea de la sfârșitul intervalului va fi mai mare decât cea de la începutul său, vezi figura 4.21. Pentru ca aceste erori să fie egale în modul, la sfârșitul IR trebuie eliminată o perioadă în plus (cea dintre eșantionul $N - 1$ și eșantionul N , care de fapt este eșantionul 0 din IO următor). Acest lucru este prezentat în figurile următoare.

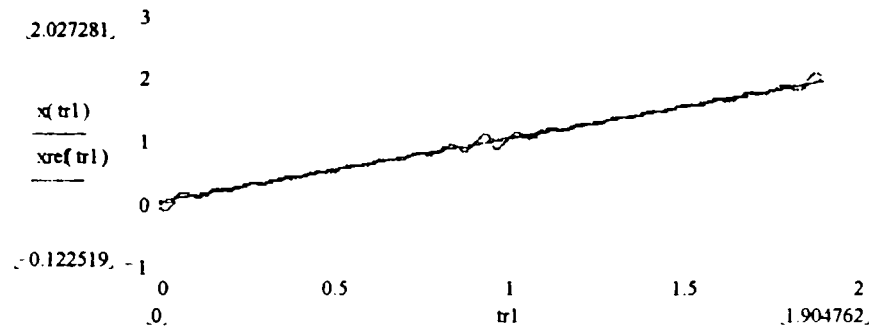


Fig. 4.23. Semnalul rampă $x(t)$ și reconstrucția sa $xref(t)$ pe două IR ($IR=IO-T_e$), periodicizare prin repetare, $K=10$.

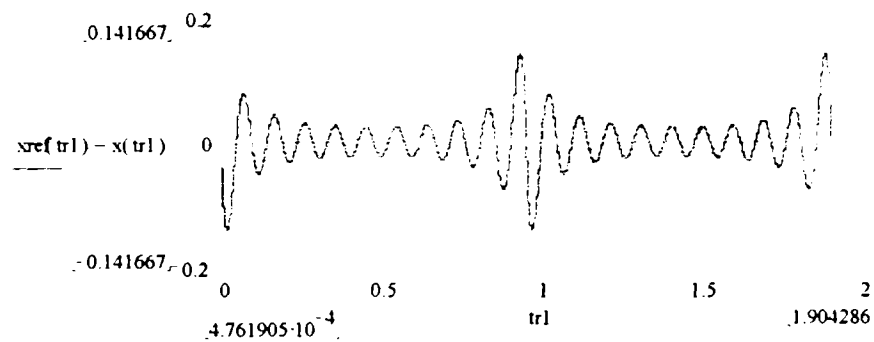


Fig. 4.24. Eroarea absolută la reconstrucția semnalului rampă pe două IR ($IR=IO-T_e$), periodicizare prin repetare, $K=10$.

În cazul periodicizării prin oglindire și repetare perioada de eșantionare este notată T_{e2} și are valoarea $T_{e2} = 2T_e = 2T/N$. Deoarece $N = 2K + 1$, pe un IO egal cu $T = 1$ vor fi prelevate $K + 1$ eșantioane. Distanța de la eșantionul $K + 1$ la sfârșitul IO este doar T_e și nu T_{e2} (vezi figura 4.19, paragrafele 2.1 și 3.4). Dacă se elimină de la sfârșitul IO o perioadă de timp egală cu T_{e2} , adică este valabilă egalitatea $IR = IO - T_{e2}$, reconstrucția semnalului nu se mai face până la ultimul eșantion prelevat (momentul $(K + 1)T_{e2}$), ci până la momentul $KT_{e2} + T_e$. Pentru ca reconstrucția să fie făcută în intervalul $0 \div (K + 1)T_{e2}$ trebuie ca de la sfârșitul IO să se elimine o perioadă de timp egală cu T_e (adică $T_{e2}/2$), astfel va fi valabilă egalitatea $IR = IO - T_e$. Graficele semnalului rampă, a semnalului reconstituit și a erorii absolute la reconstrucție sunt prezentate în figurile 4.25 și 4.26.

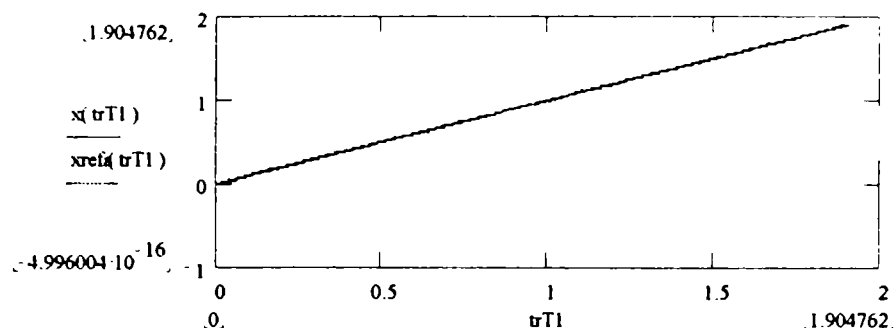


Fig. 4.25. Semnalul rampă $x(t)$ și reconstrucția sa $xrefa(t)$ pe două IR ($IR=IO-T_e$), periodicizare prin oglindire și repetare. $K=10$.

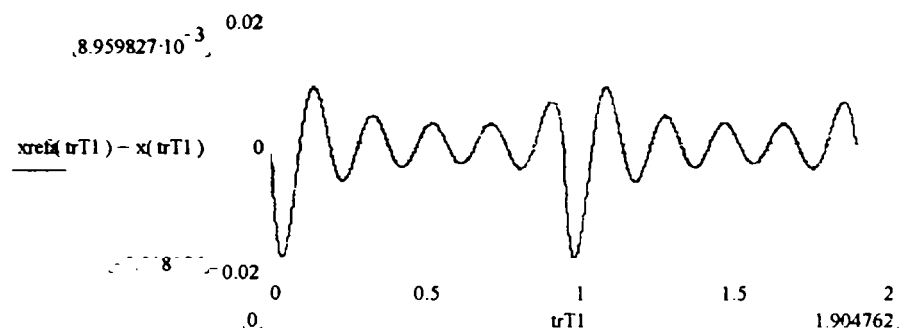


Fig. 4.26. Eroarea absolută la reconstrucția semnalului rampă pe două IR ($IR=IO-T_e$), periodicizare prin oglindire și repetare. $K=10$.

Rezultatele calculelor erorilor absolute maxime, pozitive și negative, la reconstrucția semnalului rampă în cazul $IR = IO - 2neeT_e - T_e$ sunt prezentate în tabelul următor. Dacă este vorba de periodicizare prin oglindire și repetare, calculul IR se face cu relația $IR = IO - 2neeT_{e2} - T_e$.

Tabelul 4.12. Erorile absolute maxime la reconstrucția semnalului rampă în funcție de diferența dintre IO și IR, $IR = IO - 2neeT_e - T_e$

nr. eșantioane eliminate (nee)	$K=10$		$K=20$	
	$\Delta c(k)$	$\Delta a(k)$	$\Delta c(k)$	$\Delta a(k)$
0	0,1416	$8,95 \cdot 10^{-3}$	0,1412	$4,54 \cdot 10^{-3}$
	-0,1416	-0,0181	-0,1412	$-9,27 \cdot 10^{-3}$
1	0,0775	$8,95 \cdot 10^{-3}$	0,0766	$4,54 \cdot 10^{-3}$
	-0,0775	$-5,92 \cdot 10^{-3}$	-0,0766	$-2,95 \cdot 10^{-3}$
2	0,0537	$4,50 \cdot 10^{-3}$	0,0524	$2,17 \cdot 10^{-3}$
	-0,0537	$-5,92 \cdot 10^{-3}$	-0,0524	$-2,95 \cdot 10^{-3}$
3	0,0417	$4,50 \cdot 10^{-3}$	0,0399	$2,17 \cdot 10^{-3}$
	-0,0417	$-3,72 \cdot 10^{-3}$	-0,0399	$-1,73 \cdot 10^{-3}$
4	0,0347	$3,30 \cdot 10^{-3}$	0,0323	$1,44 \cdot 10^{-3}$
	-0,0347	$-3,72 \cdot 10^{-3}$	-0,0323	$-1,73 \cdot 10^{-3}$

Din tabelul 4.12 se observă că erorile absolute pozitive și negative la reconstrucția semnalului în cazul periodicizării prin repetare ($\Delta c(k)$) sunt egale în modul. Aceasta deoarece dacă eroarea maximă pozitivă se obține la sfârșitul IR, eroarea maximă negativă se va obține începutul IR în intervale de timp (perioade de eșantionare) situate simetric față de mijlocul IR. În cazul periodicizării prin oglindire și repetare ($\Delta a(k)$)

valorile din tabelele 4.11 și 4.12 sunt identice, mai puțin pentru cazul $nee=0$, deoarece după cum se vede din figurile 4.20 și 4.26 aceste erori se obțin în perioade (de eșantionare) alăturate, la începutul IR . Deoarece în acest caz erorile sunt ceva mai mici, în cazul periodicizării prin oglindire și repetare, doar în cazul $nee=0$ rezultă concluzia că este bine ca, pentru obținerea IR din IO , să se elimine o perioadă de eșantionare mai mult la sfârșitul IO față de începutul său.

Aceleași calcule au fost făcute și pentru semnalul sinusoidal $x(t) = \sin \omega t$ cu $\omega = 2\pi/T$. Din figurile 4.9 la 4.13 se observă că dacă $T_c=0,25$ erorile absolute la reconstrucție în cazul periodicizării prin repetare sunt destul de mari. La fel, dacă $T_c=0,375$ aceste erori sunt destul de mari și în cazul periodicizării prin oglindire și repetare datorită pantei și a punctului de discontinuitate de ordinul 1 ce se formează la mijlocul perioadei. Pentru aceste două perioade (intervale) de observare T_c , sunt prezentate grafic mai jos reconstrucția și eroarea absolută. Calculele se fac pentru două IO succesive, IR fiind mai mic decât IO cu cel puțin o perioadă de eșantionare (T_e) în cazul periodicizării prin repetare respectiv, o jumătate de perioadă de eșantionare în cazul periodicizării prin oglindire și repetare. Numărul de componente armonice prezente în semnal a fost ales $K=10$ (și 15) pentru a putea elimina până la 9 (4 la început și 5 la sfârșit) perioade de eșantionare din semnal, obținând astfel $IR \neq 0$ dorit.

Cazul $T_c=0,25$, $K=10$, $nee=0$ este prezentat în figurile 4.27 și 4.28. În figura 4.27 semnalul sinusoidal analizat este desenat cu linie continuă, semnalul reconstituit cu linie întreruptă. Deoarece fiecare IR este mai mic cu o perioadă de eșantionare decât IO , ultimul punct pe axa timpului pentru care se fac calculele nu este 0.5, ci $0,5-2 \cdot T_e=0,476$.

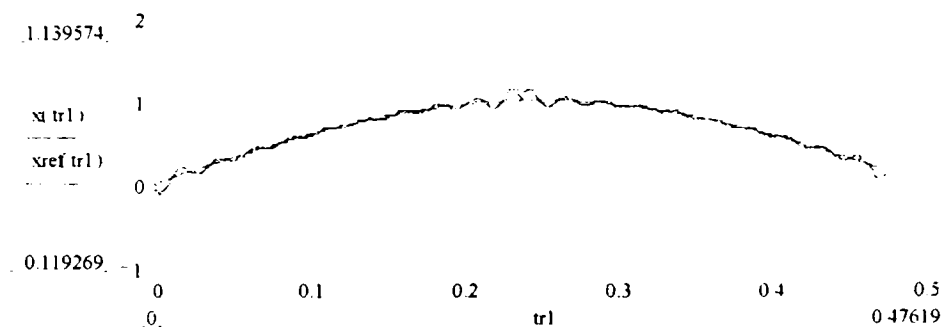


Fig. 4.27. Semnal sinusoidal (linie continuă) și reconstrucția sa (linie întreruptă) pe două IR . $T_c=0,25$. $K=10$, $IR=IO-T_e$ periodicizare prin repetare.

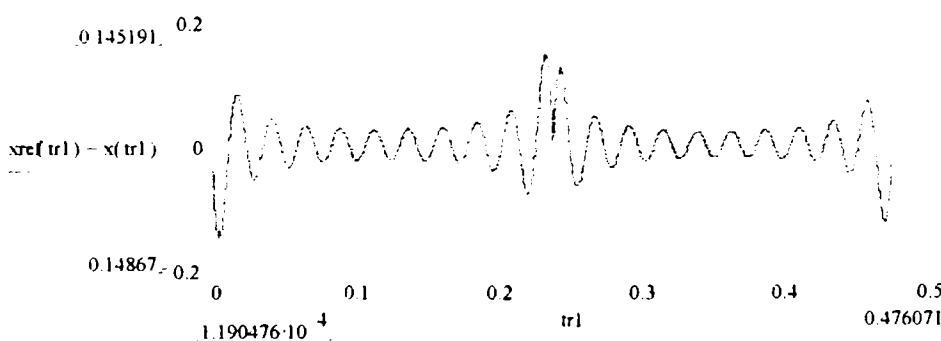


Fig. 4.28. Graficul erorii absolute la reconstrucție pe două IR , semnal sinusoidal. $T_c=0,25$, $K=10$. $IR=IO-T_e$ periodicizare prin repetare.

Dacă IR este mai mic decât IO cu mai mult decât o perioadă de eșantionare la sfârșit, eroarea absolută maximă la reconstrucție va fi mai mică. În figura 4.29 se

prezintă același semnal sinusoidal, doar că $IR = IO - 3 \cdot T_e$, o perioadă lipsă la începutul intervalului și două perioade lipsă la sfârșitul său.

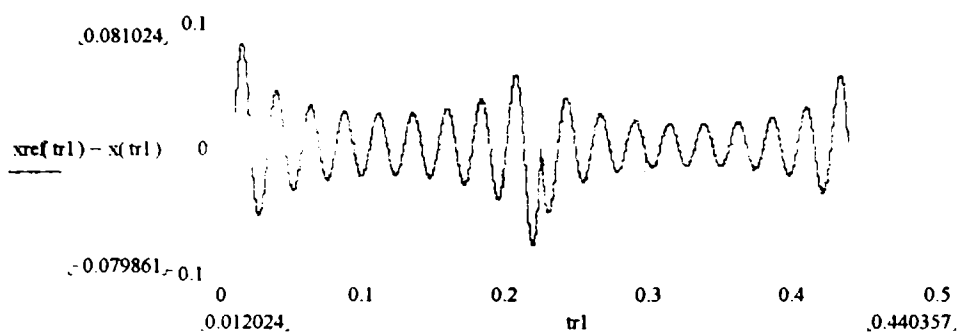


Fig. 4.29. Graficul erorii absolute la reconstrucție pe două IR, semnal sinusoidal, $T_c=0,25$, $K=10$, $IR=IO-3 \cdot T_e$ periodicizare prin repetare.

În cazul periodicizării prin oglindire și repetare, eroarea absolută maximă la reconstrucție este mai mică decât dacă periodicizarea se face prin repetare simplă, chiar dacă IR este mai mic decât IO cu o perioadă de eșantionare T_e ($T_{e2}=2 \cdot T_e$). Graficele cu semnalul analizat pe două IR, reconstrucția sa și eroarea absolută la reconstrucție sunt prezentate în figurile 4.30 și 4.31.

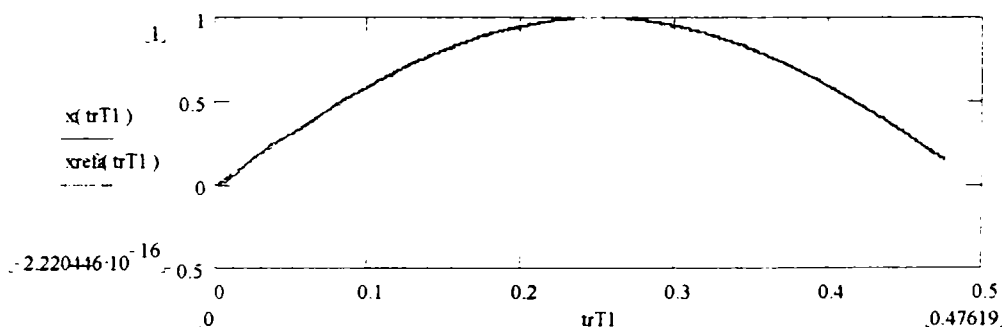


Fig. 4.30. Semnal sinusoidal (linie continuă) și reconstrucția sa (linie intreruptă) pe două IR, $T_c=0,25$, $K=10$, $IR=IO-T_e$ periodicizare prin oglindire și repetare.

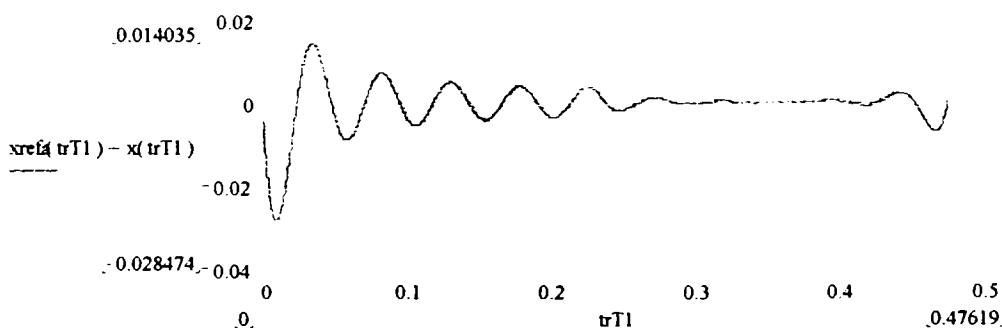


Fig. 4.31. Graficul erorii absolute la reconstrucție pe două IR, semnal sinusoidal, $T_c=0,25$, $K=10$, $IR=IO-T_e$ periodicizare prin oglindire și repetare.

Dacă $T_c=0,375$ eroarea de reconstrucție, în cazul periodicizării prin repetare, în al doilea IR este mai mare decât în primul IR, după cum se poate observa din figura 4.33. Aceasta deoarece diferența dintre sfârșitul și începutul celui de-al doilea IO este mai mare decât aceeași diferență corespunzătoare primului IO.

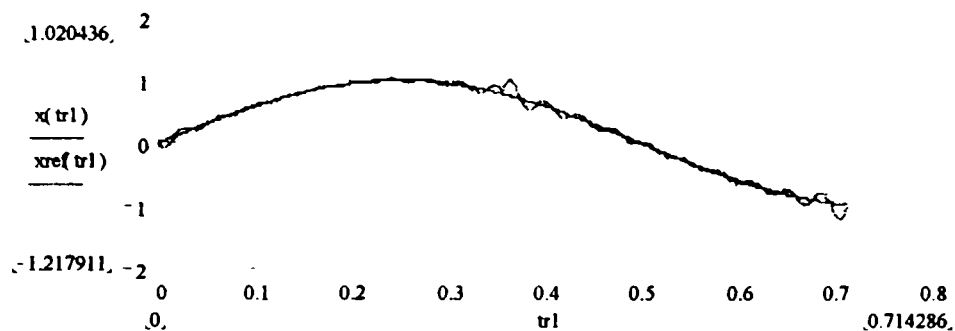


Fig. 4.32. Semnal sinusoidal (linie continuă) și reconstrucția sa (linie intreruptă) pe două IR, $T_c=0,375$, $K=10$, $IR=IO-T_e$ periodicizare prin repetare.

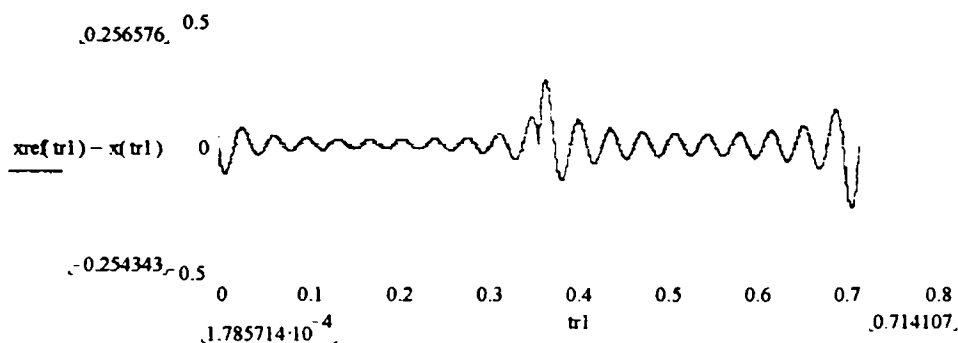


Fig 4.33. Graficul erorii absolute la reconstrucție pe două IR, semnal sinusoidal, $T_c=0,375$, $K=10$, $IR=IO-T_e$ periodicizare prin repetare.

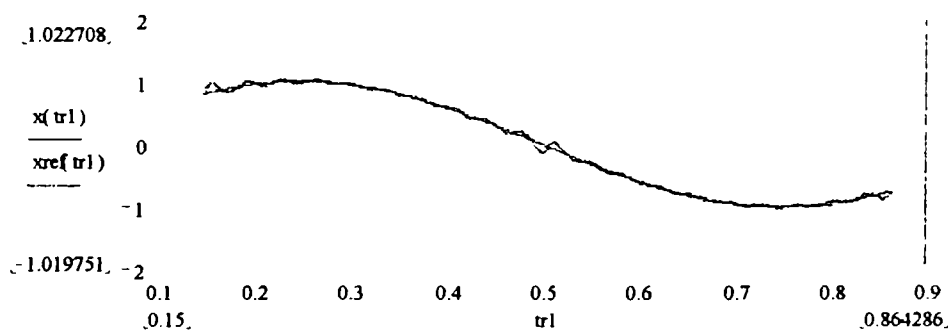


Fig. 4.34. Semnal sinusoidal (linie continuă) și reconstrucția sa (linie intreruptă) pe două IR, $T_c=0,375$, $K=10$, $IR=IO-T_e$ periodicizare prin repetare, $t_0=0,15$.

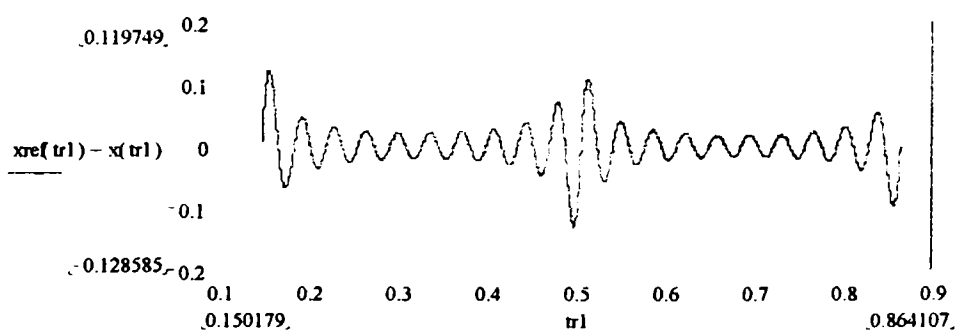


Fig 4.35. Graficul erorii absolute la reconstrucție pe două IR, semnal sinusoidal, $T_c=0,375$, $K=10$, $IR=IO-T_e$ periodicizare prin repetare, $t_0=0,15$.

În figurile 4.34 și 4.35 se prezintă semnalul sinusoidal, reconstrucția sa și graficul erorii absolute la reconstrucție pentru același (aceleași) IO respectiv, IR dar, momentul inițial nu mai este 0, ci $t_0 = 0,15$. Din figurile 4.33 și 4.35 se vede că eroarea absolută la reconstrucție este mai redusă în cazul în care eșantionarea începe la $t_0 = 0,15$. Astfel, al doilea IO acoperă o porțiune din semnal la care diferența dintre sfârșitul și începutul intervalului este mai mică. O simulare pe un IO pentru care valoarea semnalului sinusoidal de la începutul intervalului este (aproape) egală cu cea de la sfârșitul intervalului a dat ca rezultat o eroare de ordinul 10^{-3} pentru $K=10$, $t_0=0,166$, $T_c=0,166$. Rezultă concluzia că eroarea de reconstrucție a unui semnal este cu atât mai mică cu cât valorile semnalului de la capetele IO sunt mai apropiate. Acest lucru poate fi observat dacă se prelucrează un semnal periodic pe o perioadă.

Dacă același semnal sinusoidal, de perioadă unu, este analizat pe intervale de observare $T_c=0,375$ folosind periodicizarea prin oglindire și repetare, eroarea la reconstrucție este mult mai mică. S-a ales un IR mai mic decât IO cu T_e ($T_c/2$) pentru a reduce eroarea de reconstrucție datorată punctului de discontinuitate de ordinul 1 ce se formează la mijlocul perioadei nou formate ($2T_c$), vezi figura 4.10.

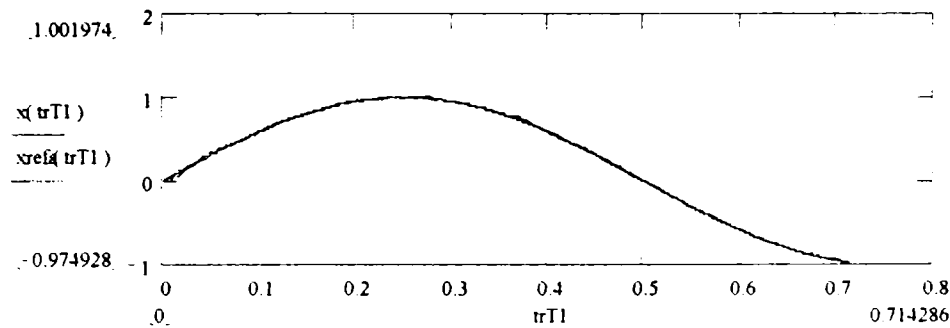


Fig. 4.36. Semnal sinusoidal (linie continuă) și reconstrucția sa (linie intreruptă) pe două IR . $T_c=0.375$. $K=10$. $IR=IO-T_e$ periodicizare prin oglindire și repetare.

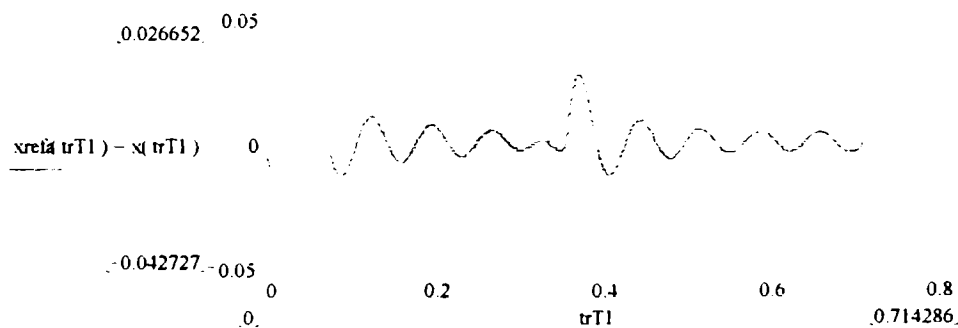


Fig 4.37. Graficul erorii absolute la reconstrucție pe două IR . semnal sinusoidal. $T_c=0.375$. $K=10$. $IR=IO-T_e$ periodicizare prin oglindire și repetare.

În tabelul 4.13 se prezintă erorile absolute maxime la reconstrucția semnalului sinusoidal de perioadă unu ($T=1$), pentru anumite IO considerate a fi o perioadă a semnalului analizat, notată T_c . Calculul este realizat pentru două valori ale ordinului componentei armonice maxime, K , considerate a fi prezente în semnal și anume 10 și 15. Numărul de eșantioane lipsă, nee , este între 0 și 4. Relația de calcul a IR în funcție de IO și de nee este $IR = IO - 2neeT_e - T_e$ pentru cazul periodicizării prin repetare și $IR = IO - 2neeT_{e2} - T_e$ pentru cazul periodicizării prin oglindire și repetare. A treia

coloană notată *t.p.* se referă la tipul periodicizării – *r* pentru repetare și *or* pentru oglindire și repetare.

Tabelul 4.13. Erorile absolute maxime la reconstrucția semnalului sinusoidal $x(t) = \sin 2\pi ft$, în funcție de *IR* și *K*, $IR = IO - 2neeT_c - T_e$, $t_0 = 0$

T_c	<i>K</i>	<i>t.p.</i>	număr eşantioane lipsă (<i>nee</i>)				
			0	1	2	3	4
0,25	10	<i>r</i>	-0,1486	-0,0798	-0,0560	0,0434	-0,0361
		<i>or</i>	-0,0284	0,0140	$-9,21 \cdot 10^{-3}$	$6,91 \cdot 10^{-3}$	$-5,61 \cdot 10^{-3}$
	15	<i>r</i>	-0,1461	0,0792	-0,0543	0,0415	-0,0338
		<i>or</i>	-0,0192	$9,45 \cdot 10^{-3}$	$-6,15 \cdot 10^{-3}$	$4,55 \cdot 10^{-3}$	$-3,64 \cdot 10^{-3}$
0,375	10	<i>r</i>	0,2565	0,1434	-0,0972	0,0698	-0,0504
		<i>or</i>	-0,0427	0,0210	-0,0137	0,0102	$-8,15 \cdot 10^{-3}$
	15	<i>r</i>	0,2522	-0,1412	0,0976	0,0736	-0,0577
		<i>or</i>	-0,0289	0,0142	$-9,26 \cdot 10^{-3}$	$6,88 \cdot 10^{-3}$	$-5,51 \cdot 10^{-3}$
0,75	10	<i>r</i>	-0,1845	0,1102	0,0694	0,0376	-0,0311
		<i>or</i>	-0,0858	0,0425	-0,0279	0,0210	-0,0170
	15	<i>r</i>	-0,1727	0,1060	0,0748	-0,0539	0,0371
		<i>or</i>	-0,0579	0,0284	0,0185	0,0137	-0,0109
0,95	10	<i>r</i>	-0,0432	0,0235	-0,0163	0,0126	0,0109
		<i>or</i>	-0,1091	0,0542	0,0361	0,0275	-0,0228
	15	<i>r</i>	-0,0433	0,0235	-0,0161	0,0123	0,0100
		<i>or</i>	-0,0734	0,0361	-0,0235	0,0173	-0,0138
1	10	<i>r</i>	0	0	0	0	0
		<i>or</i>	-0,1150	0,0572	-0,0382	0,0291	-0,0241
	15	<i>r</i>	0	0	0	0	0
		<i>or</i>	-0,0773	0,0381	-0,0247	0,0183	-0,0145

Din tabelul 4.13 se observă că dacă avem un semnal oarecare, cazurile $T_c=0,25$ și $T_c=0,375$, eroarea maximă făcută la reconstrucția sa folosind metoda periodicizării prin oglindire și repetare (*or*) este mai mică decât în cazul utilizării periodicizării prin repetare (*r*). De asemenea, la creșterea frecvenței de eşantionare (creșterea ordinului *K*), eroarea la reconstrucție scade mai mult în cazul *or* decât în cazul *r* (la creșterea frecvenței de eşantionare cu 50%, scăderea erorii este neglijabilă). Cu cât perioada T_c se apropie ca valoare de perioada semnalului sinusoidal analizat, reconstrucția semnalului este mai bine făcută prin utilizarea periodicizării prin repetare. Dacă $T_c=T$ cum este de așteptat, erorile la reconstrucție sunt neglijabile (erori datorate programului de calcul) în cazul periodicizării prin repetare și mari în cazul periodicizării prin oglindire și repetare. Pentru reducerea erorilor, în acest caz, trebuie ca *IR* să fie ales mai mic decât *IO* cu mai mult de $8T_{e2}$.

Din calculele, tabelele și graficele corespunzătoare prelucrării, pe porțiuni, a semnalului rampă și a celui sinusoidal rezultă concluzia că este de preferat utilizarea periodicizării prin oglindire și repetare. Aceasta deoarece numărul minim necesar de eşantioane ce se prelevează este jumătate plus unu din cel minim necesar în cazul periodicizării prin repetare, prin urmare și frecvența de eşantionare este mult mai mică. În plus, erorile absolute maxime la reconstrucția semnalului inițial sunt mult mai mici. Dacă un semnal este prelucrat pe o perioadă întreagă a sa (semnal periodic), erorile făcute la reconstrucție sunt destul de mari. Prin urmare metoda oglinirii și repetării, gândită pentru semnale oarecare, nu poate fi aplicată cu succes prea mare în cazul semnalelor periodice decât dacă intervalul de observare a semnalului este (mult) diferit de perioada semnalului analizat.

EAȘANTIONAREA SEMNALELOR PERIODICE TRECE BANDĂ

5.1. Introducere

Conform teoremei eșantionării, pentru un semnal care are frecvența maximă din spectru notată f_{\max} , frecvența de eșantionare va fi $f_e \geq 2f_{\max}$. Dacă semnalul este periodic atunci, $f_e \geq 2f_{\max} + f$, unde cu f s-a notat frecvența fundamentalei. Perioada semnalului o notăm $T = 1/f$. Numărul minim de eșantioane necesare pentru reconstrucția semnalului inițial este

$$N = T \cdot f_e. \quad (5.1)$$

Notăm cu K ordinul componentei armonice maxime din semnalul periodic, adică

$$f_{\max} = Kf. \quad (5.2)$$

Folosind această notație pentru f_{\max} , din relația (5.1), rezultă numărul minim de eșantioane necesare pentru reconstrucția semnalului, în funcție de ordinul componentei armonice maxime din semnalul considerat

$$N = 2K + 1. \quad (5.3)$$

Pentru semnale trece bandă ce conțin componente cu frecvențe cuprinse în domeniul (f_{\min}, f_{\max}) , unde $f_{\min} > 0$, frecvența de eșantionare poate fi redusă, în anumite condiții, sub valoarea $2f_{\max}$. În acest caz cele N eșantioane se prelevează de pe mai multe perioade întregi T .

Cazul semnalelor trece bandă cu spectru continuu, a fost tratat pe larg în literatură [Hs1, Br1] unde se demonstrează că frecvența de eșantionare, ce poate fi utilizată, depinde de frecvența maximă din spectru și de lățimea de bandă de frecvențe a semnalului analizat. În continuare, se studiază cazul semnalelor periodice trece bandă, deci cu spectru discret, caz care nu a fost cercetat până acum.

5.2 Eșantionarea semnalelor periodice de tip trece bandă

Considerăm un semnal periodic trece bandă $x(t)$, cu frecvențe cuprinse în domeniul $[f_m, f_M]$. Folosim notațiile $f_m = M_1 f$ și $f_M = M_2 f$, unde f este fundamentala semnalului trece bandă, M_1 și M_2 , cu $M_2 > M_1$ și $M_1 > 1$, ordinele armonicilor corespunzătoare frecvențelor f_m și f_M . Lățimea de bandă a semnalului va fi

$$f_B = f_M - f_m \quad (5.4)$$

Se dorește obținerea unei frecvențe de eșantionare mai mică decât cea rezultată din teorema eșantionării și, modul de calcul al ei sau al numărului de eșantioane necesare ce sunt prelevate de pe o perioadă a semnalului trece bandă.

În urma eșantionării semnalului $x(t)$ nu vom avea erori de aliere dacă semnalul nu conține în reprezentarea spectrală componente sinusoidale de frecvențe diferite care au aceleași eșantioane. Frecvențele sinusoidelor ce au aceleași eșantioane se determină cu ajutorul relațiilor [To2], [Pa5]

$$\sin\left(2\pi f \frac{n}{f_e} + \varphi\right) = \sin\left[2\pi(f + k_1 f_e) \frac{n}{f_e} + \varphi\right] \quad (5.5)$$

$$\sin\left(2\pi f \frac{n}{f_e} + \varphi\right) = \sin\left[2\pi(k_2 f_e - f) \frac{n}{f_e} - \varphi + \pi\right] \quad (5.6)$$

unde: $f_e = 1/T_e$ este frecvența de eșantionare a semnalului $\sin(2\pi f t + \varphi)$, iar k_1 și k_2 sunt numere întregi.

Mulțimea frecvențelor sinusoidelor ce au aceleași eșantioane se notează f_{k_1} și f_{k_2} și se obțin din relațiile (5.5) și (5.6) cu

$$f_{k_1} = f + k_1 f_e \quad (5.7)$$

și

$$f_{k_2} = k_2 f_e - f. \quad (5.8)$$

În cazul eșantionării unui semnal trece bandă, pentru evitarea erorilor de aliere, este necesar ca în intervalul de frecvențe $[f_m, f_M]$ să nu existe sinusoidale cu aceleași eșantioane. Cu alte cuvinte, mulțimea frecvențelor sinusoidelor $\{f_{k_1}, f_{k_2}\}$, se limitează la domeniul $[f_m, f_M]$, adică,

$$f_m \leq f + k_1 f_e \leq f_M, \quad (5.9)$$

$$f_m \leq k_2 f_e - f \leq f_M, \quad (5.10)$$

iar ca rezultat să avem o singură soluție. Impunem ca inecuația (5.9) să admită doar soluția $k_1 = 0$ și inecuația (5.10) să nu admită nici o soluție pentru k_2 . Relațiile (5.9) și (5.10) se rescriu sub forma

$$\frac{f_m - f}{f_e} \leq k_1 \leq \frac{f_M - f}{f_e}, \quad (5.11)$$

$$\frac{f_m + f}{f_e} \leq k_2 \leq \frac{f_M + f}{f_e}. \quad (5.12)$$

Înlocuind f cu valoarea minimă f_m sau maximă f_M , după caz, din relațiile (5.11) și (5.12), rezultă intervalele maxime pentru mărimile k_1 și k_2 , sub forma

$$\frac{f_m - f_M}{f_e} \leq k_1 \leq \frac{f_M - f_m}{f_e}, \quad (5.13)$$

$$\frac{2f_m}{f_e} \leq k_2 \leq \frac{2f_M}{f_e}. \quad (5.14)$$

Deoarece pentru k_1 se impune numai soluția $k_1 = 0$, limitele din relația (5.13) trebuie să aibă valori în intervalul deschis $(-1, 1)$, adică

$$-1 < \frac{f_m - f_M}{f_e} \leq k_1 \leq \frac{f_M - f_m}{f_e} < 1. \quad (5.15)$$

Astfel rezultă

$$f_e > f_M - f_m = f_B. \quad (5.16)$$

Pentru k_2 nu se admite nici o soluție dacă inecuația (5.14) poate fi scrisă sub forma

$$K - 1 < \frac{2f_m}{f_e} \leq k_2 \leq \frac{2f_M}{f_e} < K \quad (5.17)$$

unde $K = 1, 2, \dots$

Dacă frecvența de eșantionare f_e satisface relațiile (5.16) și (5.17), în principiu, ar trebui să nu apară erori de aliere.

Relațiile (5.16) și (5.17) nu ne oferă o valoare limită minimă $f_{e\min}$ pentru frecvența de eșantionare. În continuare, se pune problema determinării acestei frecvențe minime care poate fi mai mică decât valoarea $2f_M$ ce rezultă din teorema eșantionării semnalelor de tip trece jos ce au frecvența maximă f_M .

Considerăm

$$f_e < 2f_M, \quad (5.18)$$

astfel, din relația (5.17) se obține

$$K > \frac{2f_M}{f_e} > 1. \quad (5.19)$$

Acest lucru înseamnă că termenul (constanta) K poate avea valorile $K = 2, 3, \dots$

Din relațiile (5.17) și (5.19) se observă că o valoare mică pentru frecvența f_e corespunde unei valori mari pentru constanta K . Astfel, dacă se obține valoarea maximă pentru K , astfel încât relația (5.17) să poată fi respectată, se va putea determina simplu frecvența de eșantionare minimă $f_{e\min}$. Din relația (5.17) se obține succesiv

$$\frac{2f_M}{K} < f_e < \frac{2f_m}{K-1},$$

$$\frac{f_M}{K} < \frac{f_m}{K-1},$$

$$K(f_M - f_m) < f_M,$$

$$K < \frac{f_M}{f_B}. \quad (5.20)$$

Astfel, valoarea maximă a lui K se obține ca parte întreagă a raportului f_M/f_B , adică

$$K_{\max} = \left[\frac{f_M}{f_B} \right], \quad (5.21)$$

unde cu $[\cdot]$ am notat partea întreagă a cantității dintre paranteze.

Din relațiile (5.17) și (5.21) se obține

$$f_e > f_{e\min} = \frac{2f_M}{K_{\max}} = \frac{2f_M}{\left[\frac{f_M}{f_B} \right]}. \quad (5.22)$$

Dacă raportul f_M/f_B este un număr întreg, atunci relația (5.22) devine

$$f_e > f_{e\min} = 2f_B. \quad (5.23)$$

Rezultatele prezentate corespund cu cele din bibliografie [Hs1, Br1, Va1], ceea ce dovedește corectitudinea metodei.

În cele ce urmează se pune problema determinării frecvenței minime de eșantionare ce corespunde unui număr N minim de eșantioane prelevate uniform pe durata unei perioade a semnalului. Se va prezenta modul de calcul al numărului minim de eșantioane necesare pentru ca semnalul să poată fi corect reconstituit.

Teoremă

În cazul unui semnal periodic trece bandă, cu frecvențe cuprinse în intervalul $\left[\frac{M_1}{T}, \frac{M_2}{T}\right]$, T fiind perioada semnalului, numărul N de eșantioane, prelevate uniform pe durata unei perioade complete, necesare pentru reconstrucția semnalului, este corect ales dacă:

- $N > 2(M_2 - M_1 + 1)$,
- $\left[\frac{2M_1}{N}\right] = \left[\frac{2M_2}{N}\right]$ și
- $\frac{2M_1}{N}$ respectiv $\frac{2M_2}{N}$ nu sunt numere întregi.

Cu $[\cdot]$ s-a notat partea întreagă a cantității dintre paranteze.

Demonstrație

În continuare se va demonstra faptul că un semnal periodic trece bandă $x(t)$ poate fi reconstituit pe baza unui număr N de eșantioane echidistante, mai puține decât cele rezultate în urma aplicării teoremei eșantionării. De asemenea, se va demonstra faptul că numărul minim de eșantioane necesare este dat de relația $N > 2(M_2 - M_1 + 1)$ și, ce condiții mai trebuie să îndeplinească acest număr N pentru ca reconstrucția semnalului să fie posibilă. Condițiile a), b) și c) vor rezulta pe parcursul demonstrației.

Dacă aplicăm teorema eșantionării, conform relației (5.3) rescrisă (se înlocuiește K cu M), rezultă că numărul minim de eșantioane necesare este $N_e = 2M_2 + 1$. Folosind aceste eșantioane, putem calcula $2M_2 + 1$ coeficienți din dezvoltarea în serie Fourier a semnalului considerat dar, deoarece nu avem componente spectrale în domeniul $[0, f_1)$, înseamnă că un număr de $2M_1 - 1$ coeficienți sunt egali cu zero, prin urmare nu are rost calculul lor. Ar rezulta că numărul minim de eșantioane necesar este

$$N = 2M_2 + 1 - (2M_1 - 1) = 2(M_2 - M_1 + 1). \quad (5.24)$$

Se va demonstra ulterior că acest număr nu poate fi utilizat fiind prea mic (rezultă o eroare de aliere).

Folosind doar coeficienții Fourier nenuli, putem scrie seria Fourier exponențială sub forma

$$x(iT_e) = \sum_{k=-M_2}^{-M_1} c_k e^{jk\omega T_e} + \sum_{k=M_1}^{M_2} c_k e^{jk\omega T_e}, \quad (5.25)$$

unde $\omega = 2\pi f$, $T_e = T/N$, $T = 1/f$, $i \in \{0, \dots, N-1\}$.

Pentru determinarea coeficienților seriei Fourier, la fel ca în cazul eșantionării semnalelor periodice de tip trece jos, se înmulțește rel. (5.25) cu $e^{-jn\omega T_e}$ și se face însumarea după i . Variabila n are același domeniu de variație cu variabila k ($[-M_2, -M_1] \cup [M_1, M_2]$). Rezultatul se poate scrie ca mai jos

$$\sum_{i=0}^{N-1} x(iT_e) e^{-jn\omega T_e} = \sum_{k=M_1}^{M_2} \left[c_{-k} \sum_{i=0}^{N-1} e^{-j(k+n)\omega T_e} + c_k \sum_{i=0}^{N-1} e^{j(k-n)\omega T_e} \right]. \quad (5.26)$$

În cazul semnalelor periodice de tip trece jos deci, când $|k + m| < N = 2M_2 + 1$, pentru sumele de exponențiale avem doar cazurile (vezi relație (3.58) și (3.59))

$$\sum_{i=0}^{N-1} e^{-j(k+n)\omega T_e} = \begin{cases} 0 & \text{pt. } k \neq -n \\ N & \text{pt. } k = -n \end{cases} \quad (5.27)$$

și

$$\sum_{i=0}^{N-1} e^{j(k-n)\omega T_e} = \begin{cases} 0 & \text{pt. } k \neq n \\ N & \text{pt. } k = n \end{cases} \quad (5.28)$$

Relațiile de calcul a coeficienților Fourier c_k și c_{-k} sunt:
pentru $k = n$

$$c_k = \frac{1}{N} \sum_{i=0}^{N-1} x(iT_e) e^{-jn\omega T_e} = \frac{1}{N} \sum_{i=0}^{N-1} x(iT_e) e^{-jk\omega T_e} \quad (5.29)$$

și pentru $k = -n$

$$c_{-k} = \frac{1}{N} \sum_{i=0}^{N-1} x(iT_e) e^{-jn\omega T_e} = \frac{1}{N} \sum_{i=0}^{N-1} x(iT_e) e^{jk\omega T_e} \quad (5.30)$$

Folosind relațiile (5.25), (5.29) și (5.30) putem scrie

$$\begin{aligned} x_r(t) &= \sum_{k=-M_2}^{-M_1} c_k e^{jk\omega t} + \sum_{k=M_1}^{M_2} c_k e^{jk\omega t} = \\ &= \sum_{k=M_1}^{M_2} \left[\frac{1}{N} \sum_{i=0}^{N-1} x(iT_e) e^{-jk\omega T_e} e^{jk\omega t} + \frac{1}{N} \sum_{i=0}^{N-1} x(iT_e) e^{jk\omega T_e} e^{-jk\omega t} \right] = \\ &= \frac{1}{N} \sum_{i=0}^{N-1} x(iT_e) \sum_{k=M_1}^{M_2} \left[e^{jk\omega(t-iT_e)} + e^{jk\omega(iT_e-t)} \right] = \\ &= \frac{1}{N} \sum_{i=0}^{N-1} x(iT_e) \sum_{k=M_1}^{M_2} \left[e^{jk\omega(t-iT_e)} + e^{-jk\omega(t-iT_e)} \right] = \\ &= \frac{1}{N} \sum_{i=0}^{N-1} x(iT_e) \sum_{k=M_1}^{M_2} 2 \cos k\omega(t-iT_e) = \\ &= \frac{2}{N} \sum_{i=0}^{N-1} x(iT_e) \sum_{k=M_1}^{M_2} \cos k\omega(t-iT_e). \end{aligned} \quad (5.31)$$

Relația (5.31) se poate folosi pentru reconstrucția semnalului din eșantioanele sale dacă relațiile (5.27) și (5.28) sunt valabile. În cazul semnalelor trece bandă, dacă $N < 2M_2 + 1$, sumele de exponențiale din relațiile (5.27) și (5.28) pot lua valori egale cu N și pentru alte valori ale lui k și n . Acest lucru înseamnă că relațiile de calcul a

coeficienților c_k și c_{-k} ar fi mai complicate (vezi 3.7.3 începerea procesului de eșantionare de la un moment $t_0 \neq 0$) și/sau anumiți coeficienți nu ar putea fi corect calculați (vezi 1.5 erori la eșantionarea funcțiilor periodice); prin urmare, eșantionarea ar fi incorect efectuată.

Căutăm condițiile ce trebuie îndeplinite pentru ca relațiile (5.27) și (5.28) să fie adevărate. Rescriem aceste două relații ca mai jos

$$\sum_{i=0}^{N-1} e^{-j(k+n)\omega_i T} = \sum_{i=0}^{N-1} e^{-j(k+n)\frac{2\pi}{T}i\frac{T}{N}} = \sum_{i=0}^{N-1} e^{-j\frac{k+n}{N}i2\pi} = \begin{cases} 0 & \text{pentru } k \neq -n \\ N & \text{pentru } k = -n \end{cases} \quad (5.32)$$

$$\sum_{i=0}^{N-1} e^{j(k-n)\omega_i T} = \sum_{i=0}^{N-1} e^{j\frac{k-n}{N}i2\pi} = \begin{cases} 0 & \text{pentru } k \neq n \\ N & \text{pentru } k = n \end{cases} \quad (5.33)$$

Pentru ca relațiile de mai sus să fie adevărate, trebuie ca fracțiile $(k+n)/N$ și $(k-n)/N$ să fie diferite de un număr întreg pentru orice k și n , dar $k \neq n$ și/sau $k \neq -n$. În caz contrar, rezultatul sumei (sumelor) va fi N și pentru valori ale lui k și n diferite de $k = n$ sau $k = -n$, acest lucru însemnând că relația (5.31) nu poate fi utilizată. Cele două fracții pot fi un număr întreg dacă

$$|k+n| \geq r_1 N \quad (5.34)$$

respectiv,

$$|k-n| \geq r_2 N, \quad (5.35)$$

unde r_1, r_2 sunt numere întregi. Astfel, fracția $(k \pm n)/N$ poate fi egală cu un întreg $\leq r_1$ sau r_2 . Atât k cât și n pot lua valori în domeniul $[-M_2, -M_1] \cup [M_1, M_2]$. Prin urmare, sumele $k+n$ și $k-n$ pot lua valori în domeniul $[-2M_2, -2M_1] \cup [-(M_2 - M_1), (M_2 - M_1)] \cup [2M_1, 2M_2]$. Acest interval fiind simetric față de 0, pentru simplificarea demonstrației, vom lua în considerare doar partea pozitivă a acestui domeniu. Pentru ca eșantionarea să fie corectă (reconstrucție posibilă folosind relația (5.31)), trebuie ca numărul N de eșantioane prelevate să fie destul de mare pentru a putea calcula coeficienții Fourier corespunzători semnalului și, în același timp, să nu facă parte din domeniul prezentat mai sus. De asemenea, din relațiile (5.34) și (5.35) rezultă că și multiplii lui N nu pot face parte din acest domeniu. Prin urmare, trebuie ca $N > M_2 - M_1$ și orice multiplu de N să nu facă parte din domeniul $[2M_1, 2M_2]$, adică

$$rN \notin [2M_1, 2M_2], \quad (5.36)$$

unde r este un număr întreg. Ținând cont doar de capetele intervalului, rezultă condiția c) din teoremă.

Definim un număr întreg

$$m = \left\lceil \frac{2M_1}{N} \right\rceil,$$

sau altfel scris, $mN < 2M_1$. În acest caz următoarea dublă inegalitate este adevărată

$$m < \frac{2M_1}{N} < m+1. \quad (5.37)$$

În relația (5.37) nu avem si egalitate datorită relației (5.36).

Definim un întreg p unde $1 \leq p \leq N$, astfel încât $2M_1 = mN + p$. Nici un număr din șirul $2M_1, 2M_1 + 1, \dots, 2M_2$ nu trebuie să fie divizibil cu N . Notăm termenul general din șir cu $2M_1 + n$, unde $n = 0, 1, 2, \dots$. Dacă condiția de mai sus (relația (5.36)) este satisfăcută, ținând cont și de relația (5.37), înseamnă că orice număr din șir trebuie să satisfacă condiția

$$2M_1 + n < (m+1)N$$

sau, altfel scris

$$mN + p + n < (m+1)N$$

de unde rezultă inegalitatea

$$p + n < N. \quad (5.38)$$

Scriem ultimul termen din șir sub forma $2M_2 = mN + p + n'$. Dacă

$$\left[\frac{2M_2}{N} \right] = \left[m + \frac{p+n'}{N} \right] = m + \left[\frac{p+n'}{N} \right] > m,$$

rezultă

$$p + n' > N$$

și deci există o valoare $n^* < n'$ astfel încât $p + n^* = N$, prin urmare unul din termenii din șir va fi egal cu $(m+1)N$. Pentru ca acest lucru să nu se întâmple, următoarea inegalitate trebuie să fie adevărată

$$\frac{2M_2}{N} < m+1.$$

Pentru N corect ales rezultă că trebuie îndeplinite două condiții generale, și anume

$$\begin{cases} mN < 2M_1 \\ (m+1)N > 2M_2 \end{cases} \quad (5.39)$$

Astfel se îndeplinește condiția $r_1 N \notin [2M_1, 2M_2]$.

În continuare vom verifica dacă numărul de eşantioane ales poate avea valoarea minimă $N_{\min} = 2(M_2 - M_1 + 1)$.

Dacă $N = N_{\min} = 2(M_2 - M_1 + 1)$, sistemul (5.39) devine

$$\begin{cases} m2(M_2 - M_1 + 1) < 2M_1 \\ (m+1)2(M_2 - M_1 + 1) > 2M_2 \end{cases} \quad (5.40)$$

Prima inegalitate a sistemului (5.40) o transformăm în egalitate adunând la membrul stâng un număr întreg notat n_1 , $n_1 \geq 1$

$$M_1 = m(M_2 - M_1 + 1) + n_1. \quad (5.41)$$

A doua inegalitate a sistemului (5.40) o rescriem sub forma

$$M_2 < m(M_2 - M_1 + 1) + (M_2 - M_1 + 1). \quad (5.42)$$

Din relațiile (5.41) și (5.42) avem

$$M_2 < M_1 - n_1 + M_2 - M_1 + 1,$$

de unde rezultă condiția $n_1 < 1$.

Prin urmare N nu poate lua valoarea $N_{\min} = 2(M_2 - M_1 + 1)$. Dacă pentru N se alege valoarea minimă $N = N_{\min} = 2(M_2 - M_1 + 1) + 1$, în urma unor calcule similare cu cele efectuate mai sus rezultă condiția $n_1 < 3$, deci ≥ 1 . Astfel, numărul minim de eşantioane poate fi ales $2(M_2 - M_1 + 1) + 1$ dacă și condiția $r_1 N \notin [2M_1, 2M_2]$ este îndeplinită. Aceste calcule au dus la enunțarea punctului a) din teoremă.

Până acum am obținut numărul minim de eşantioane necesare pentru a putea reconstitui semnalul. De aici nu rezultă că acest număr poate să fie folosit. Pentru a alege un anumit număr $N \geq N_{\min}$, trebuiesc efectuate câteva calcule.

Considerăm $N = 2(M_2 - M_1 + 1) + p$, unde p este un număr natural, $p \geq 1$. În acest caz, sistemul (5.39) se va rescrie sub forma

$$\begin{cases} 2M_1 > m[2(M_2 - M_1 + 1) + p] \\ 2M_2 < m[2(M_2 - M_1 + 1) + p] + 2(M_2 - M_1 + 1) + p \end{cases} \quad (5.43)$$

Prima inegalitate o transformăm în egalitate, mărirind membrul drept cu un număr n' ce îndeplinește condițiile $n' > 0$, $n' \in \mathbb{N}$

$$2M_1 = m[2(M_2 - M_1 + 1) + p] + n'. \quad (5.44)$$

Din a doua inegalitate a sistemului (5.43) și relația (5.44) obținem

$$2M_2 < 2M_1 - n' + 2(M_2 - M_1 + 1) + p$$

adică

$$p + 2 > n'. \quad (5.45)$$

Relația (5.45) este o condiție necesară pentru ca numărul de eșantioane să fie corect ales. Mai trebuie aleasă valoarea lui m . Valoarea maximă pe care o ia termenul m se calculează folosind prima inegalitate din sistemul (5.40)

$$m_{\max} = \left[\frac{2M_1}{2(M_2 - M_1 + 1) + 1} \right]. \quad (5.46)$$

Dacă se găsește un număr N care să satisfacă condițiile

$$\begin{cases} m_{\max} N < 2M_1 \\ (m_{\max} + 1)N > 2M_2 \end{cases}, \quad (5.47)$$

atunci acel număr va avea valoarea minimă (și $N \leq [2M_1/m_{\max}]$). Dacă nu există nici un număr care să satisfacă condițiile din sistemul (5.47) se mai reduce valoarea lui m ($m < m_{\max}$).

Condiția exprimată prin relația (5.45) este destul de greu de verificat așa că pentru simplificarea determinării numărului N de eșantioane necesare, se caută o condiție care să fie mai ușor de verificat.

Rescriem sistemul (5.39) sub forma

$$\begin{cases} m < \frac{2M_1}{N} \\ m + 1 > \frac{2M_2}{N} \end{cases} \quad (5.48)$$

Din prima inegalitate putem scrie

$$m = \left[\frac{2M_1}{N} \right] < \frac{2M_1}{N}. \quad (5.49)$$

Din a doua inegalitate avem

$$m + 1 > \frac{2M_2}{N} > \left[\frac{2M_2}{N} \right] = m', \quad m' \in \mathbf{N}. \quad (5.50)$$

Deoarece $M_2 > M_1$ rezultă că

$$m' \geq m. \quad (5.51)$$

Relația (5.50) o rescriem sub forma

$$m' - m < 1. \quad (5.52)$$

Deoarece m și $m' \in \mathbf{N}$, din relațiile (5.51) și (5.52) se obține singura posibilitate pentru ca sistemul (5.48) să fie valabil și anume $m = m'$, adică

$$\left\lceil \frac{2M_1}{N} \right\rceil = \left\lceil \frac{2M_2}{N} \right\rceil. \quad (5.53)$$

Prin obținerea relației (5.53) s-a demonstrat punctul b) din teoremă.

O condiție suplimentară care trebuie satisfăcută este ca raportul $2M_1/N$ sau raportul $2M_2/N$ să nu fie numere întregi (vezi sistemul (5.39)).

Dacă în urma calculelor $N_{\min} \in [M_1, M_2]$ atunci, numărul minim de eșantioane N ce poate fi ales este mai mare decât M_2 .

Folosind relația (5.53), numărul N poate fi ușor calculat efectuând doar câteva împărțiri.

5.3 Condiții suplimentare pentru utilizarea numărului minim de eșantioane

Pentru a obține condițiile suplimentare în care se poate utiliza un număr minim de eșantioane din semnalul trece bandă analizat și să fie posibilă reconstrucția sa, se va apela la o exemplificare grafică.

Dacă un semnal trece bandă periodic, de perioadă $T = 1/f$, cu frecvențe cuprinse între $f_m = M_1 f$ și $f_M = M_2 f$ inclusiv, unde $M_2 > M_1 > 1$, poate fi eșantionat cu frecvența de eșantionare minimă, adică $f_e = N_{\min} f$ unde $N_{\min} = 2(M_2 - M_1 + 1) + 1$, atunci avem unul din cele două cazuri prezentate în figurile de mai jos.

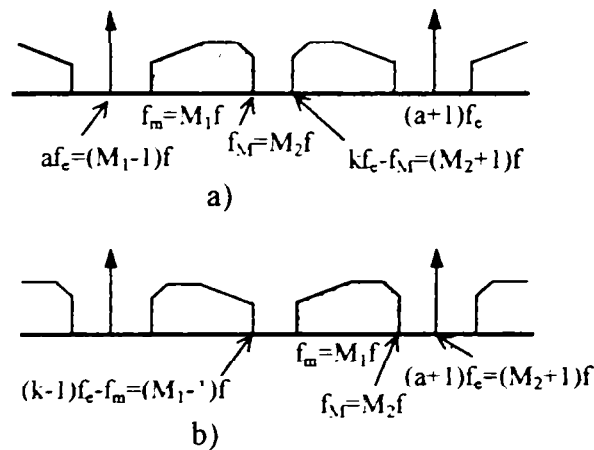


Fig. 5.1. Reprezentarea grafică a spectrului unui semnal trece bandă eșantionat cu o frecvență minimă de eșantionare.

În figura 5.1a se prezintă grafic spectrul unui semnal trece bandă eșantionat cu o frecvență minimă de eșantionare. Multiplul af_e al frecvenței minime de eșantionare are o valoare mai mică cu frecvența fundamentale față de frecvența f_m corespunzătoare capătului inferior al benzii de frecvențe a semnalului. Zona hașurată corespunde spectrului semnalului trece bandă iar celelalte zone, cu aceeași formă sau vazută în oglindă, apar datorită periodicizării spectrului în urma procesului de eșantionare. Distanța în domeniu frecvență între multiplul frecvenței de eșantionare, spectrul semnalului și replicile sale este egală cu frecvența fundamentalei.

În figura 5.1b avem un caz similar celui din figura 5.1a, diferența constă în faptul că multiplul $(a+1)f_e$ al frecvenței minime de eșantionare este mai mare cu frecvența

fundamentalei față de frecvența f_M corespunzătoare capătului superior al benzii de frecvențe a semnalului.

Deoarece semnalul este periodic, spectrul nu va fi continuu ci discret (în zonele corespunzătoare spectrului și al replicilor sale avem doar linii spectrale).

Pe baza graficelor din figura 5.1 putem scrie:

Figura 5.1a

$$\begin{aligned} kf_e - M_2 f &\geq (M_2 + 1)f \\ kNf &\geq 2M_2 f + f \\ kN &\geq 2M_2 + 1, \end{aligned} \quad (5.54)$$

Figura 5.1b

$$\begin{aligned} (k-1)f_e - M_1 f &\leq (M_1 - 1)f \\ (k-1)Nf &\leq 2M_1 f - f \\ (k-1)N &\leq 2M_1 - 1. \end{aligned} \quad (5.55)$$

Condițiile (5.54) și (5.55) rezultă și din sistemul (5.39) și anume: $2M_1/N$ sau $2M_2/N$ nu pot fi numere întregi pentru o eșantionare corectă.

Zona dintre af_e și $(a+1)f_e$ reprezintă o „perioadă” în domeniul frecvență, ea repetându-se de la $a=0$ la $a=\infty$. Astfel, din figura 5.1a, putem scrie

$$af_e = m \left[M_2 f - (M_1 - 1)f + \frac{1}{2} f \right], \quad (5.56)$$

unde termenul din paranteza dreaptă este $f_e/2$, iar m este un întreg (1, 2, ...). Rescriem relația (5.56) sub forma

$$(M_1 - 1)f = m \frac{f_e}{2} = m \frac{N_{\min} f}{2}$$

adică,

$$\frac{2(M_1 - 1)}{N_{\min}} = m. \quad (5.57)$$

Din figura 5.1b putem scrie

$$(a+1)f_e = m \left[(M_2 + 1)f - M_1 f + \frac{1}{2} f \right]$$

de unde rezultă

$$\frac{2(M_2 + 1)}{N_{\min}} = m. \quad (5.58)$$

Cu alte cuvinte, dacă una din relațiile (5.57) sau (5.58) este adevărată, atunci semnalul periodic trece bandă poate fi eșantionat cu frecvență minimă. În caz contrar va trebui calculat un $N > N_{\min}$ prin procedeul expus mai sus (în paragraful 5.2).

5.4 Eșantionarea semnalelor periodice trece bandă obținute prin modulare

În continuare, considerăm cazul în care semnalul trece bandă este obținut prin modularea în amplitudine a unui semnal purtător (periodic) cu un semnal periodic de tip trece jos, notat $p(t)$. Un semnal modulat în amplitudine cu purtătoare sinusoidală este descris de o ecuație de tipul [Hs1]

$$x(t) = p(t) \cos \omega_0 t. \quad (5.59)$$

unde $\cos \omega_0 t$ este purtătoarea cu frecvența f_0 și $p(t)$ este semnalul modulator de tip trece jos, frecvența fundamentalei notată f_1 , iar frecvența maximă notată f_{\max} . Semnalul modulat va fi de tip trece bandă [Hs1] având frecvența centrală f_0 , iar frecvențele corespunzătoare capetelor benzii de frecvențe vor avea valorile $f_0 \pm f_{\max}$.

Eșantionarea semnalelor trece bandă a fost și este tratată de mai mulți autori. S-au prezentat sub diverse forme condițiile impuse frecvenței de eșantionare astfel încât să nu apară procesul de aliere [Hs1, Br6, Pa4]. A fost enunțată și o teoremă ce se referă la eșantionarea semnalelor trece bandă reale [Br6, Ma3].

Se presupune că semnalul trece bandă are spectrul diferit de zero doar în intervalul $f_i < |f| < f_s$, unde cu f_i este notată limita inferioară și cu f_s este notată limita superioară a benzii de frecvențe. Banda semnalului va fi $B = f_s - f_i$. Se consideră că $B < f_i$, în caz contrar frecvența de eșantionare trebuie să fie mai mare decât $2f_s$.

Teorema eșantionării semnalelor trece bandă reale spune că reconstituirea semnalului pe baza eșantioanelor sale este posibilă dacă frecvența de eșantionare f_e satisface relația [Ma3]

$$\frac{2f_s}{n} \leq f_e \leq \frac{2f_i}{n-1} \quad \text{unde} \quad 2 \leq n \leq \frac{f_s}{B}. \quad (5.60)$$

Numărul n din relația (5.60) este un întreg cuprins în domeniul precizat.

Se observă că dacă f_s/B este un număr întreg, atunci se poate utiliza cea mai mică frecvență de eșantionare și anume $f_e = 2B$.

Pentru a calcula perioada semnalului periodic trece banda (modulat în amplitudine) pe baza perioadelor semnalelor modulator și purtător se face următorul enunț: produsul a două semnale periodice, cu frecvențe aflate în relație armonică, este un semnal periodic.

Considerăm că avem două semnale periodice, cu frecvențele fundamentale notate f_0 , respectiv f_1 (perioadele $T_0 = 1/f_0$ respectiv $T_1 = 1/f_1$). Dacă aceste frecvențe sunt scrise ca raport de numere întregi sub forma

$$f_0 = \frac{a_0}{b_0} \text{ și } f_1 = \frac{a_1}{b_1}, \quad (5.61)$$

atunci raportul lor va fi

$$\frac{f_0}{f_1} = \frac{a_0}{a_1} \cdot \frac{b_1}{b_0} = \frac{m_0}{m_1} \in Q, \quad (5.62)$$

unde $a_0, b_0, a_1, b_1, m_0 = a_0 \cdot b_1$ și $m_1 = a_1 \cdot b_0$ sunt numere întregi.

Pe baza relației (5.62) se poate rescrie enunțul anterior sub forma: produsul a două semnale periodice, cu frecvențe aflate în relație armonică, de perioade T_0 și respectiv T_1 , va da ca rezultat un semnal periodic de perioadă T unde.

$$T = m_0 T_0 = m_1 T_1, \quad (5.63)$$

m_0 și m_1 fiind numere întregi.

Pentru ca T să fie perioadă principală, m_0 și m_1 nu trebuie să aibă nici un divizor comun (diferit de 1). În caz contrar, perioada calculată pentru semnalul produs de semnale periodice va fi un multiplu al perioadei principale.

Considerăm semnalul periodic trece bandă, notat $x(t)$, obținut prin modularea în amplitudine a unei purtătoare sinusoidale cu un semnal periodic trece jos, notat $p(t)$, semnal descris de relația (5.59). Notăm perioada semnalului periodic modulator $p(t)$ cu T_1 , perioada semnalului purtător $\cos \omega_0 t$ cu T_0 și perioada semnalului modulat (trece bandă) $x(t)$ cu T_x . Cu K notăm ordinul componentei armonice maxime din semnalul $p(t)$ adică, $f_{\max} = K f_1$.

Termenii m_0 și m_1 se aleg astfel încât raportul m_0/m_1 să fie ireductibil pentru ca perioada T_x , calculată folosind relația (5.63), să fie perioada principală a semnalului $x(t)$.

Dacă f_0 este un multiplu al lui f_1 , frecvența fundamentalei semnalului trece bandă va fi $f_x = f_1$, adică $m_1 = 1$. În caz contrar, $f_x = f_1/m_1 (= f_0/m_0)$, unde $m_1 > 1$. Se stabilește raportul m_0/m_1 ireductibil după care se calculează frecvența fundamentalei f_x . În continuare, se calculează ordinele M_1 și M_2 corespunzătoare componentelor armonicilor aflate la capetele benzii de frecvențe (f_i și f_s) a semnalului modulat $x(t)$ și numărul N de eșantioane necesare pentru calculul coeficienților Fourier corespunzători semnalului modulator $p(t)$.

Pentru f_i și f_s putem scrie

$$\begin{cases} f_i = M_1 f_x = f_0 - K f_1 \\ f_s = M_2 f_x = f_0 + K f_1 \end{cases} \quad (5.64)$$

Din relațiile (5.43) și (5.44) rezultă succesiv

$$\begin{cases} M_1 f_x = m_0 f_x - K m_1 f_x \\ M_2 f_x = m_0 f_x + K m_1 f_x \end{cases}$$

$$\begin{cases} M_1 = m_0 - K m_1 \\ M_2 = m_0 + K m_1 \end{cases} \quad (5.65)$$

Semnal $x(t)$ are spectru discret, diferit de zero în intervalul

$$M_1 f_x \leq |f| \leq M_2 f_x. \quad (5.66)$$

Banda semnalului va fi

$$B = f_0 + K f_1 - (f_0 - K f_1) = 2K f_1. \quad (5.67)$$

Prin urmare, frecvența minimă de eșantionare va fi $f_e > 2B = 4K f_1$ datorită faptului că în relația (5.66) avem și egalitate (vezi și relația (5.23)).

Din relația (5.45) se vede că este posibil cazul în care $M_1 > 1$, prin urmare semnalul $x(t)$ poate să nu aibă nici o componentă spectrală de frecvența fundamentalei, f_x .

Dacă semnalul trece bandă a fost obținut prin modularea unei purtătoare cu un semnal modulator, eșantionarea semnalului trece bandă se poate face astfel încât să se obțină eșantioanele semnalului modulator.

Se cunoaște faptul că un semnal trece bandă cu spectru continuu poate fi eșantionat cu o frecvență mai mică decât cea rezultată din teorema eșantionării. Cea mai mică frecvență de eșantionare folosită poate fi, în anumite condiții, $2f_B$, unde f_B este diferența dintre frecvența maximă și cea minimă din semnalul trece bandă (banda semnalului) [Hs1, Br6, Pa4], relația (5.23).

Considerăm cazul semnalului periodic (cu spectru discret) din relația (5.39), $x(t) = p(t) \cos \omega_0 t$, adică, între semnalul modulator și semnalul modulat nu avem defazaj.

Banda semnalului este dată de relația (5.67); prin urmare, conform [Hs1, Br6], frecvența minimă de eșantionare ar fi egală cu $2f_B = 4K f_1$. În cazul nostru, deoarece în relația (5.66) avem și egalitate, $f_{e \min} > 2f_B$.

Căutăm condițiile în care semnalul $x(t)$, cu spectru discret, poate fi eșantionat cu o frecvență egală cu cea corespunzătoare eșantionării semnalului $p(t)$, și anume

$$f_e = f_{e1} = (2K + 1)f_1 < 2f_s. \quad (5.68)$$

Rescriem relația (5.63) sub forma

$$f_1 = \frac{m_1}{m_0} f_0 \quad (5.69)$$

și astfel relația (5.68) devine

$$f_{e1} = (2K + 1) \frac{m_1}{m_0} f_0. \quad (5.70)$$

Pentru ca eșantionând semnalul $x(t)$ cu frecvența minimă de eșantionare f_{e1} să obținem direct eșantioanele semnalului modulator $p(t)$, trebuie ca frecvența f_0 să fie într-un anumit raport cu frecvența f_1 . Notăm cu $T_{e1} = 1/f_{e1}$ pasul de eșantionare. Dacă dorim ca

$$x(iT_{e1}) = \pm p(iT_{e1}), \quad (5.71)$$

atunci trebuie să fie îndeplinită relația $\cos \omega_0 iT_{e1} = \pm 1$, adică

$$\cos \omega_0 iT_{e1} = \cos 2\pi f_0 i \frac{m_0}{m_1} \frac{1}{(2K + 1)f_0} = \cos 2\pi \frac{m_0}{m_1} \frac{1}{(2K + 1)} = \pm 1.$$

Rezultă două condiții

1.

$$\frac{m_0}{m_1} \frac{1}{2K + 1} = s \Rightarrow \cos \omega_0 iT_{e1} = 1 \quad (5.72)$$

2.

$$\frac{m_0}{m_1} \frac{1}{2K + 1} = \frac{2s - 1}{2} \Rightarrow \cos \omega_0 iT_{e1} = \pm 1 \quad (5.73)$$

unde s este un număr întreg.

Din condițiile de mai sus rezultă valorile pe care le poate lua f_0 în funcție de f_1 , pentru cazul în care se dorește utilizarea frecvenței minime de eșantionare f_{e1}

1.

$$\frac{m_0}{m_1} = s(2K + 1) \Rightarrow f_0 = s(2K + 1)f_1 \quad (5.74)$$

2.

$$\frac{m_0}{m_1} = \frac{2s - 1}{2}(2K + 1) \Rightarrow f_0 = \frac{2s - 1}{2}(2K + 1)f_1 \quad (5.75)$$

unde $s = 1, 2, \dots$

Prin urmare f_0 poate lua valorile sf_{e1} sau $sf_{e1} - f_{e1}/2$, în acest caz, numărul de eșantioane prelevate din semnalul $x(t)$ pe o perioadă T_1 , este minim și egal cu $N = 2K + 1$.

Dacă f_0 are o altă valoare, atunci numărul N de eșantioane prelevate va fi mai mare decât $2K + 1$.

Pentru calculul coeficienților Fourier, între numărul de eșantioane N , perioada de eșantionare T_e și perioada T_1 a semnalului modulator $p(t)$, avem relația

$$NT_e = mT_1, \quad (5.76)$$

unde m este un număr întreg. Din condițiile (5.72) și (5.73) avem două relații pentru alculul numărului N de eșantioane ce se prelevează din semnalul $x(t)$, eșantioane ce au proprietatea descrisă de relația (5.71). Acestea sunt:

Cazul I

$$\omega_0 T_e = s2\pi \quad (\cos \omega_0 i T_e = 1)$$

$$2\pi \frac{m_0}{m_1} \frac{1}{T_1} \frac{m T_1}{N} = s2\pi \Rightarrow$$

$$\Rightarrow N = m \frac{m_0}{m_1} \frac{1}{s} \quad (5.77)$$

Cazul II

$$\omega_0 T_e = s\pi \quad \cos \omega_0 i T_e = \pm 1$$

$$2\pi \frac{m_0}{m_1} \frac{1}{T_1} \frac{m T_1}{N_1} = s\pi \Rightarrow$$

$$\Rightarrow N = 2m \frac{m_0}{m_1} \frac{1}{s} \quad (5.78)$$

unde: s este un număr întreg, N numărul de eșantioane prelevate de pe parcursul a $m T_1$ perioade, din semnalul $x(t)$. Pentru m se alege o astfel de valoare încât N să rezulte un întreg cât mai mic, dar mai mare sau egal cu $2K + 1$. Frecvența de eșantionare utilizată rezultă din relația (5.76) și va avea valoarea

$$f_e = \frac{N f_1}{m}.$$

Coeficienții Fourier corespunzători semnalului modulator $p(t)$ se vor calcula cu relația

$$c_p(k) = \frac{1}{N} \sum_{i=0}^{N-1} x(i T_e) e^{-j k \omega_0 i T_e}, \quad (5.79)$$

pentru cazul I (N calculat cu relația (5.77)) și

$$c_p(k) = \frac{1}{N} \sum_{i=0}^{N-1} x(i T_e) e^{-j k \omega_0 i T_e} (-1)^i, \quad (5.80)$$

pentru cazul II (N calculat cu relația (5.78)). În relațiile (5.79) și (5.80) $\omega = 2\pi f_1$.

Semnalul $x(t) = p(t) \cos \omega_0 t$ conține termeni de forma $a_k \cos k \omega_1 t \cos \omega_0 t$ și $b_k \sin k \omega_1 t \cos \omega_0 t$. Aceștia pot fi scriși sub forma

$$a_k \cos k\omega_1 t \cos \omega_0 t = \frac{a_k}{2} \cos(\omega_0 - k\omega_1)t + \frac{a_k}{2} \cos(\omega_0 + k\omega_1)t \quad (5.81)$$

respectiv

$$b_k \sin k\omega_1 t \cos \omega_0 t = \frac{b_k}{2} \sin(\omega_0 - k\omega_1)t + \frac{b_k}{2} \sin(\omega_0 + k\omega_1)t. \quad (5.82)$$

Din relațiile (5.81) și (5.82) se observă că cele două componente ale semnalului trece bandă $x(t)$ cu frecvențele $f_0 - kf_1$ și $f_0 + kf_1$ au aceeași amplitudine, ceea ce particularizează acest semnal.

Concluzie: În cazul unui semnal trece bandă obținut prin modularea unei purtătoare de frecvență f_0 , componentele armonicilor cu frecvențe simetrice față de f_0 au aceeași amplitudine.

Din sistemul (5.65) putem scrie

$$M_1 + M_2 = 2m_0 \quad (5.83)$$

deci suma ordinelor componentelor armonice corespunzătoare capetelor benzii de frecvență este un număr întotdeauna par. Această condiție este obligatorie datorită simetriei spectrului semnalului $x(t)$ față de frecvența f_0 .

Se consideră că semnalul trece bandă $x(t)$ este real. În acest caz, coeficienții Fourier c_k și c_{-k} sunt complex conjugați prin urmare pot fi calculați doar coeficienții cu indice pozitiv, cei cu indice negativ se obțin ușor din cei calculați cu relația (5.29). Dacă semnalul trece bandă $x(t)$ este obținut prin modulare în amplitudine, în relația (5.59) coeficienții Fourier corespunzători componentelor armonice cu frecvențe aflate în stânga lui f_0 sunt complex conjugații celor corespunzători componentelor armonice cu frecvențe aflate în dreapta lui f_0 . Astfel, se pot calcula chiar mai puțini coeficienți, aproximativ o pătrime. De exemplu, se vor calcula doar coeficienții c_k pentru k având valori în intervalul cu limitele date de componenta armonică de ordinul $M_0 = (M_1 + M_2)/2$, corespunzătoare frecvenței f_0 și componenta armonică de ordinul M_2 .

Mai înainte a fost tratat cazul particular $p(t)\cos\omega_0 t$. Între semnalul purtător și cel modulator putem avea un defazaj astfel, în relație, mai apare un termen. Considerăm semnalul

$$y(t) = p_i(t)\cos(\omega_0 t + \varphi) = \sum_{k=0}^K a_k \cos k\omega t \cos(\omega_0 t + \varphi) \quad (5.84)$$

unde φ reprezintă defazajul purtătoarei față de semnalul modulator $p_i(t)$. Relația (5.84) poate fi scrisă sub forma

$$y(t) = \sum_{k=0}^K a_k \cos k\omega t \cos \varphi \cos \omega_0 t - \sum_{k=0}^K a_k \cos k\omega t \sin \varphi \sin \omega_0 t$$

$$\begin{aligned}
&= \sum_{k=0}^K a_k \cos \varphi \cos k\omega t \cos \omega_0 t - \sum_{k=0}^K a_k \sin \varphi \cos k\omega t \sin \omega_0 t \\
&= p(t) \cos \omega_0 t - q(t) \sin \omega_0 t.
\end{aligned} \tag{5.85}$$

Semnalele modulator $p(t)$ și $q(t)$ au aceeași perioadă și același număr de coeficienți în dezvoltarea în serie Fourier, coeficienții $c_p(k)$, corespunzători semnalului $p(t)$ și $c_q(k)$, corespunzători semnalului $q(t)$, nefiind independenți. În cazul general, semnalele $p(t)$ și $q(t)$ sunt două semnale modulator independente, relația (5.85) descriind o modulare în amplitudine în cuadratură.

În continuare, considerăm că semnalele periodice $p(t)$ și $q(t)$ sunt diferite dar că au aceeași perioadă, notată T_1 și păstrăm notația K pentru ordinul componentei armonice maxime din aceste semnale.

Funcțiile cosinus și sinus sunt periodice în cazul nostru, cu perioada T_0 . Rezultă, la fel ca în cazul anterior (fără defazaj) că există niște numere întregi m_1 și m_0 , astfel încât $m_1 T_1 = m_0 T_0 = T$, adică

$$y(t) = y(t + T), \tag{5.86}$$

T fiind perioada semnalului modulat în amplitudine în cuadratură $y(t)$.

Pentru a obține eșantioanele semnalelor $p(t)$ și $q(t)$ direct din eșantioanele semnalului $y(t)$, pentru reconstrucție corectă, avem nevoie de minim $2K + 1$ eșantioane din fiecare semnal modulator (în total $2(2K + 1)$ eșantioane).

Dacă se folosește o frecvență de eșantionare $f_e = 1/T_e$ astfel încât să fie valabilă relația

$$\omega_0 T_e = (2s - 1) \frac{\pi}{2} \tag{5.87}$$

unde $s = 1, 2, \dots$, atunci sunt valabile relațiile

$$\begin{aligned}
x(iT_e) &= \pm p(iT_e), \text{ pentru } i \text{ număr par,} \\
x(iT_e) &= \pm q(iT_e), \text{ pentru } i \text{ număr impar.}
\end{aligned} \tag{5.88}$$

Cu alte cuvinte, se eșantionează semnalul modulat (trece bandă) $x(t)$ și se obțin eșantioanele semnalelor modulator.

Din relațiile notate (5.88) se poate observa că pasul de eșantionare corespunzător obținerii de eșantioane din semnalele modulator $p(t)$ și $q(t)$ este $2T_e$. Prin urmare, se poate scrie

$$N2T_e = mT_1, \quad N, m - \text{numere întregi,} \tag{5.89}$$

unde N este numărul de eșantioane utilizate pentru calculul coeficienților Fourier corespunzători semnalului $p(t)$ sau $q(t)$, iar m reprezintă numărul de perioade T_1 de pe care se vor preleva cele $2N$ eșantioane.

Din (5.87) și (5.89), înlocuind pe ω_0 cu $2\pi m_0/(m_1 T_1)$, rezultă pentru calculul lui N relația

$$N = m \frac{m_0}{m_1} \frac{2}{2s-1}. \quad (5.90)$$

Termenul m se alege astfel încât N să fie întreg și cât mai mic posibil, dar mai mare decât $2K+1$. Numărul total de eșantioane prelevate este $2N$. Calculul numărului N de eșantioane începe cu $m=1$ și $s=1$.

Caz 1: Dacă în urma calculului folosind relația (5.90) rezultă pentru N un număr întreg, se mărește variabila s și se caută un întreg mai mic. În cazul în care se ajunge în situația $N < 2(2K+1)$ se oprește incrementarea lui s și se alege cel mai mic număr întreg N care este mai mare sau egal cu $2(2K+1)$.

Caz 2: Dacă rezultatul calculului este un număr ce are partea fracționară diferită de zero, se mărește variabila m până când se ajunge la un rezultat întreg. În continuare, se execută calcule identice cu cele prezentate în cazul 1.

Din relația (5.90) se observă că pentru un număr de eșantioane N cât mai mic, trebuie ca m să fie cât mai mic și s cât mai mare.

Perioada de eșantionare rezultă simplu din relația (5.89) și anume

$$T_e = \frac{mT_1}{2N}. \quad (5.91)$$

Coeficienții Fourier corespunzători semnalelor modulate $p(t)$ și $q(t)$ se calculează cu relațiile

$$c_p(k) = \frac{1}{N} \sum_{i=0}^{N-1} x(2iT_e) e^{-jk\omega 2iT_e} (-1)^i, \quad (5.92)$$

$$c_q(k) = \frac{1}{N} \sum_{i=0}^{N-1} x(2iT_e + T_e) e^{-jk\omega(2iT_e + T_e)} (-1)^{i+s}. \quad (5.93)$$

Pulsația ω va fi egală cu $2\pi f_1$, $k \in [-K, K]$.

Reconstrucția semnalelor modulate se face folosind relațiile

$$p_r(t) = \sum_{k=-K}^{+K} c_p(k) e^{jk\omega t}, \quad (5.94)$$

$$q_r(t) = \sum_{k=-K}^{+K} c_q(k) e^{jk\omega t}. \quad (5.95)$$

Semnalul trece bandă va fi reconstituit simplu, și anume

$$x_r(t) = p_r(t) \cos \omega_0 t - q_r(t) \sin \omega_0 t. \quad (5.96)$$

5.5 Exemplu numeric

Conform [Hs1, Li1], un semnal trece bandă cu componente în domeniul de frecvențe $f_m < f < f_M$ poate fi eșantionat cu o frecvență de eșantionare f_e mai mică decât f_M fără să apară procesul de aliere. Există anumite constrângeri în alegerea frecvenței de eșantionare și anume

$$\begin{cases} 1 \leq i \leq \frac{f_M}{f_B} \leq \frac{i f_e}{2 f_B}, \\ \frac{i-1}{2} \frac{f_e}{f_B} \leq \frac{f_M}{f_B} - 1 \end{cases},$$

unde $f_B = f_M - f_m$ și i este un întreg. Acest sistem poate fi scris mai simplu sub forma

$$\begin{cases} i f_e \geq 2 f_M \\ (i-1) f_e \leq 2 f_m \end{cases}$$

de unde rezultă limitele pentru frecvența de eșantionare

$$f_e \geq \frac{2 f_M}{i} \quad \text{și} \quad f_e \leq \frac{2 f_m}{i-1}. \quad (5.97)$$

Dacă

$$\frac{f_M}{f_B} = n$$

unde $n \in (I, I+1]$, I număr întreg, numărul de intervale în care poate exista o frecvență de eșantionare utilizabilă (nu apar erori de aliere) este I . Pentru fiecare interval, limitele pentru frecvența de eșantionare se calculează cu relațiile notate (5.97). În aceste relații, i este un întreg ce poate lua valorile $i = 1, \dots, I$.

Considerăm $f_M/f_B = 4$. Calculăm limitele celor trei intervale de frecvențe în care poate exista frecvența de eșantionare aleasă. Pentru simplificarea calculului alegem $f_B = 10$ și atunci rezultă $f_M = 40$, $f_m = 30$. Rezultatele sunt trecute în tabelul 5.1.

Tabelul 5.1 Limitele intervalelor de frecvențe pentru $f_M/f_B = 4$

$\frac{f_M}{f_B}$	i	$f_e \geq$	$f_e \leq$	$\frac{f_e}{f_B} \geq$	$\frac{f_e}{f_B} \leq$
4	3	26,6	30	2,66	3,0
	2	40	60	4,0	6,0
	1	80	∞	8,0	∞

În tabel au fost trecute și limitele frecvențelor de eșantionare normate cu banda f_B pentru a fi utilizate mai târziu în desenarea unui grafic.

Pentru simulare a fost construit un semnal periodic trece bandă obținut prin modulare în amplitudine în cuadratură. Acesta este descris de ecuația

$$x(t) = p(t) \cos(2\pi f_0 t) - q(t) \sin(2\pi f_0 t)$$

unde

$$p(t) = 0,5 + \cos(2\pi f_1 t) + 0,25 \cos(2\pi 2 f_1 t) + 0,5 \cos(2\pi K f_1 t) + \\ + 0,5 \sin(2\pi f_1 t) + 0,5 \sin(2\pi K f_1 t)$$

și

$$q(t) = \cos(2\pi 2 f_1 t) + 0,5 \cos(2\pi K f_1 t) + 0,25 \sin(2\pi 3 f_1 t) + 0,5 \sin(2\pi K f_1 t).$$

Calculul numărului de eșantioane necesar pentru utilizarea relației (5.31) este prezentat în anexa F pentru valorile $f_1 = 1$, $K = 5$, $f_0 = 35$. Se pot obține numărul minim teoretic de eșantioane N_m , numărul minim utilizabil N_u și alte valori mai mari, care respectă condițiile din teorema enunțată în paragraful 5.2. Pe baza numărului de eșantioane utilizat și a frecvenței fundamentale f_1 se obține frecvența de eșantionare corespunzătoare. Pentru valorile alese mai sus banda va fi $f_B = 10$, frecvența maximă din spectru $f_M = 40$ și frecvența minimă $f_m = 10$. Raportul f_M/f_B are valoarea 4. În tabelul 5.2 sunt trecute frecvențele de eșantionare ce pot fi utilizate pentru o reconstrucție corectă.

Tabelul 5.2 Frecvențele de eșantionare ce pot fi utilizate pentru un semnal periodic trece bandă cu $f_1 = 1$, $K = 5$ $f_0 = 35$

$\frac{f_M}{f_B}$	i	N	f_e	$\frac{f_e}{f_B}$
4	3	27	27	2,7
		28	28	2,8
		29	29	2,9
	2	41 ÷ 59	4,1 ÷ 5,9	4,1 ÷ 5,9
	1	81 ÷ ∞	8,1 ÷ ∞	8,1 ÷ ∞

Frecvențele de eșantionare normate f_e/f_B sunt în intervalele definite în tabelul 5.1.

Reprezentarea grafică a semnalului periodic trece bandă $x(t)$ și a semnalului reconstituit, notat $xr_2(t)$, sunt prezentate în figura 5.2. Frecvența de eșantionare utilizată este $f_e = 27$.

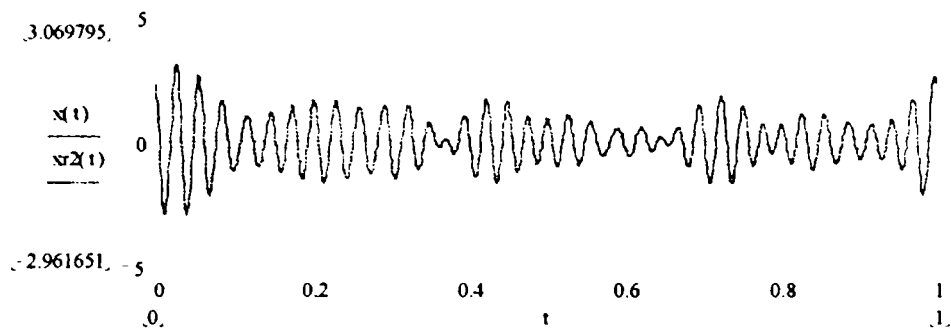


Fig. 5.2. Semnalul trece bandă $x(t)$ și reconstrucția sa $xr2(t)$.

Din figura 5.2 se vede că semnalul reconstituit trece prin aceleași puncte ca și semnalul analizat, eroarea de reconstrucție fiind neglijabilă.

Pentru obținerea directă a eșantioanelor semnalelor modulatorie se calculează numărul de eșantioane cu relația (5.90). Termenul m_1 se alege 1, iar numărul de perioade m de pe care se prelevează eșantioanele, se alege tot 1. În tabelul 5.3 se prezintă rezultatul calculului obținut cu relația (5.90) în funcție de s .

Tabelul 5.3. Numărul de eșantioane N și frecvența de eșantionare f_e în cazul $p(t), q(t)$

s	1	2	3	4	5
N	70	23,33	14	10	7,77
f_e	140	-	28	20	-

Deoarece $K = 5$, numărul minim de eșantioane necesar la eșantionarea semnalului $p(t)$ sau $q(t)$ este 11. Prin urmare, din tabel se poate alege $N = 14$. Calculele coeficienților Fourier s-au făcut cu relațiile (5.92) și (5.93), reconstrucția semnalelor $p(t)$ și $q(t)$ cu relațiile (5.94) și (5.95), iar semnalul trece bandă a fost reconstruit cu relația (5.96). Semnalele $p(t)$ și $q(t)$ sunt prezentate în figura 5.3.

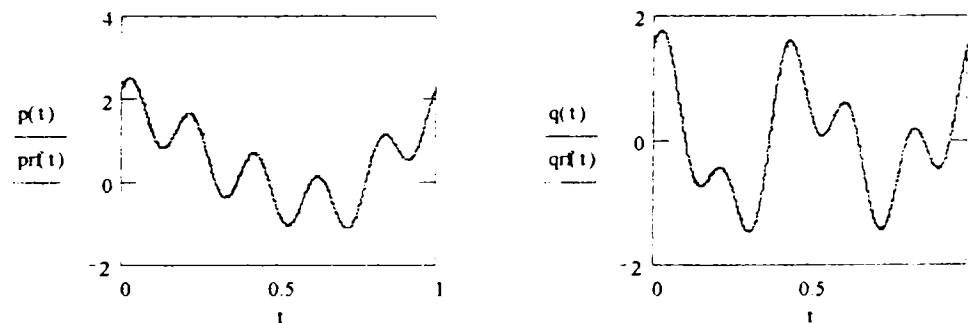


Fig. 5.3. Semnalele $p(t), q(t)$ și reconstrucțiile lor.

La fel ca în figura 5.2, reconstrucția semnalelor modulatorie este făcută cu erori neglijabile.

Eșantionarea semnalelor periodice trece bandă poate fi făcută pe mai multe perioade T_1 , astfel frecvența de eșantionare fiind mult redusă. În cazul în care se utilizează relația (5.31) și se achiziționează $N = 27$ eșantioane de pe o perioadă T_1 , frecvența de eșantionare va fi $f_e = 27$. Dacă aceste eșantioane se prelevează de pe $2T_1$,

frecvența de eșantionare va fi $f_e = 13,5$. Pentru achiziția de pe $4T_1$, frecvența de eșantionare va fi $f_e = 6,75$.

În cazul în care se dorește obținerea directă a eșantioanelor semnalelor modulate, din tabelul 5.3 rezultă că frecvența minimă de eșantionare este $f_e = 28$ (se prelevează $2N = 28$ eșantioane). Dacă prelevarea se face de pe $3T_1$ perioade, frecvența de eșantionare va fi $f_e = 9,33$ dar și $s = 2$ (dacă $2s - 1 = 3$ rezultă $s = 2$). Dacă prelevarea se face de pe $5T_1$, frecvența de eșantionare va fi $f_e = 5,6$, $s = 1$ (sau $s = 3$).

Prin urmare, dacă semnalul trece bandă este periodic, frecvențele de eșantionare normate f_e/f_B pot avea și valori mai mici decât 2. În cazul semnalelor trece bandă oarecare prezentat în literatură [Br1, Hs1, Va1], valoarea minimă a f_e/f_B este 2.

În figura de mai jos se prezintă zonele în domeniul frecvențe (normate cu f_B), în care pot exista frecvențe de eșantionare astfel încât reconstrucția semnalului să se facă corect. Zonele hașurate reprezintă zonele în care constrângerile date de relațiile notate (5.97) nu sunt satisfacute (nu pot fi alese frecvențe din acele zone).

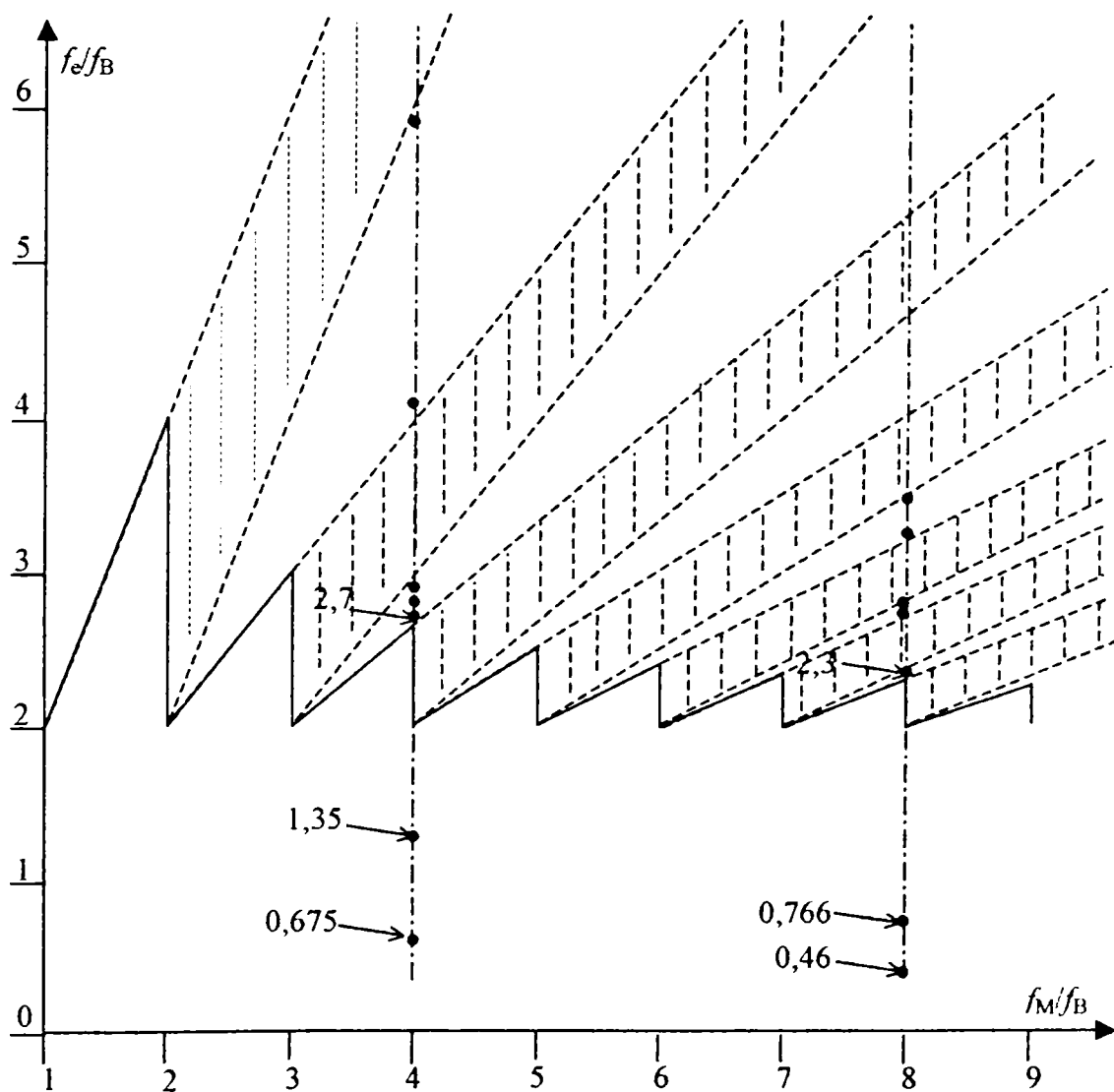


Fig. 5.4. Frecvențe de eșantionare permise pentru un semnal trece bandă.

În figura 5.4 au fost trecute câteva puncte ce reprezintă frecvențe de eșantionare, normate cu f_B , ce pot fi utilizate. De la limita $f_e/f_B = 2$ în sus, zonele nehașurate reprezintă intervale, pentru o anumită valoare a termenului f_M/f_B , în care pot exista frecvențe de eșantionare. De la limita $f_e/f_B = 2$ în jos, pot fi alese frecvențe de eșantionare doar dacă semnalul trece bandă analizat este periodic. În acest caz eșantionarea se face pe mai multe perioade. Astfel, domeniul de frecvențe de eșantionare ce pot fi utilizate a fost mărit.

Trecerea de la reprezentarea tradițională analogică a semnalelor la una numerică (digitală) este motivată de numeroase avantaje. Aceste avantaje includ ușurința procesării semnalului, posibilitatea de a fi salvat pe un suport pentru mult timp fără ca proprietățile sale să se modifice, posibilitatea de a face o copie sau mai multe fără pierdere de informație etc.

În prezenta teză de doctorat se tratează cu precădere eșantionarea semnalelor periodice și, pe baza eșantioanelor prelevate, calculul coeficienților Fourier. Teza este structurată pe cinci capitole. În capitolul 1 se face o introducere în eșantionarea semnalelor cu accent pe eșantionarea semnalelor periodice. Este prezentată eroarea de aliere ce poate să apară în cazul eșantionării unui semnal oarecare de tip trece jos respectiv, un semnal periodic de tip trece jos. În capitolul 2 se prezintă posibilitatea de reducere a frecvenței de eșantionare a unui semnal periodic prin prelevarea eșantioanelor de pe mai multe perioade. În capitolul 3 se tratează eșantionarea semnalelor periodice și pare respectiv, impare. Sunt obținute relații de calcul a coeficienților Fourier și sunt prezentate câteva posibilități de obținere a eșantioanelor necesare. În capitolul 4 se prezintă prelucrarea unui semnal oarecare prin periodicizarea pe porțiuni (intervale). Aceste intervale sunt considerate o perioadă dacă se utilizează periodicizarea prin repetare respectiv, o jumătate de perioadă dacă se utilizează periodicizarea prin oglindire și repetare. Semnalele utilizate sunt semnalul rampă și semnalul sinusoidal. Semnalul rampă a fost ales deoarece, pe lângă faptul că este simplu de generat, fiecare eșantion prelevat are o valoare diferită de a celor deja prelevate sau de a celor ce urmează să fie prelevate. De asemenea, valoarea semnalului de la sfârșitul intervalului considerat a fi o perioadă este diferită de valoarea semnalului de la începutul acestui interval. Astfel, în cazul periodicizării prin repetare va rezulta un punct de discontinuitate indiferent de mărimea intervalului ales. Semnalul sinusoidal a fost ales deoarece este un semnal periodic simplu de generat iar diferența între două eșantioane succesive este variabilă pe parcursul intervalului de observare considerat a fi o perioadă. Dacă semnalul are o variație mai lentă și valorile de la capetele intervalului ales sunt aproape egale, banda de frecvențe a semnalului obținut prin periodicizare este redusă și prin urmare reconstrucția poate fi realizată cu erori mai mici la frecvențe reduse de eșantionare. În capitolul 5 se tratează eșantionarea semnalelor periodice de tip trece bandă. Sunt obținute relațiile de calcul a numărului de eșantioane necesare (și implicit a frecvenței de eșantionare) pentru calculul coeficienților Fourier. Sunt prezentate două cazuri. Unul în care semnalul periodic de tip trece bandă conține doar componente armonice de ordin mai mare corespunzătoare unei frecvențe $1/T$, unde T este perioada semnalului, ce pot fi obținute prin filtrarea trece bandă a unui semnal periodic de tip trece jos. Al doilea caz îl reprezintă obținerea semnalului periodic de tip trece bandă prin modularea în amplitudine a unei purtătoare sinusoidale cu un semnal modulator periodic de tip trece jos.

Generarea semnalelor, calculul frecvenței de eșantionare (număr de eșantioane) necesară, al coeficienților Fourier, reconstrucția semnalelor analizate și graficele din lucrare au fost făcute cu ajutorul a două programe de calcul matematic și anume: Mathcad și Matlab.

Programul Mathcad a fost utilizat datorită ușurinței cu care se scriu relațiile de calcul. Acestea se introduc la fel ca în cazul editării ecuațiilor într-un program de editare. Domeniul de variație al variabilelor (de exemplu t pentru $x(t)$) poate fi ales în orice interval folosind un pas între două valori succesive ce poate fi diferit de unu. De asemenea este simplu de efectuat modificări într-un program (fișier) deja scris. Dezavantajul programului Mathcad este că efectuarea calculului durează destul de mult timp. Acest lucru se datorează faptului că rezultatul calculului nu se memorează. În cazul în care rezultatul unei operații matematice se utilizează în mai multe locuri în cadrul unui program, acea operație matematică se va executa la fiecare apelare (utilizare) a acelui rezultat. Ca exemplu considerăm două ecuații notate $ec1$ și $ec2$. Cu ecuația $ec1$ se calculează unul din cei $N=2K+1$ coeficienți Fourier ai unui semnal periodic $x(t)$ unde, K este ordinul componentei armonice corespunzătoare frecvenței maxime din semnal. Pentru a calcula toți coeficienții ecuația $ec1$ se apelează de N ori. Cu ecuația $ec2$ se obține semnalul $xr(t)$ ce reprezintă reconstrucția semnalului $x(t)$ pe baza coeficienților Fourier. Timpul t nu este continuu ci discret: pasul între două valori succesive ale semnalului reconstituit poate fi ales mult mai mic decât perioada de eșantionare. Dacă se dorește calculul valorii semnalului reconstituit $xr(t)$ pentru M valori ale lui t , ecuația $ec2$ va fi apelată de M ori. În calculul valorii semnalului $xr(t)$ într-un punct intervin toți cei N coeficienți Fourier. Astfel, pentru calculul a M valori ale semnalului $xr(t)$, ecuația $ec1$ va fi apelată de MN ori (fiecare coeficient Fourier va fi calculat de M ori).

Pentru programul Matlab este mai dificil de scris un fișier (program) care să implementeze o ecuație (sau mai multe ecuații). Acest program de calcul lucrează cu vectori și matrice. Indicele unui element dintr-un vector poate fi doar un număr întreg mai mare decât zero (de exemplu pentru $x(t)$, t poate avea valori întregi de la unu în sus). Acest indice indică poziția elementului în vector. Modificarea conținutului unui fișier nu este simplu de făcut. Ca avantaj – calculele sunt efectuate mai rapid – dacă elementele unui vector sau al unei matrice au fost calculate ele sunt memorate și pot fi utilizate fără a fi recalulate la fiecare apelare.

Pentru calcule simbolice (calculul determinantilor din tabelul 3.1) a fost utilizat programul Mathematica.

Principalele contribuții aduse în cadrul prezentei teze de doctorat sunt evidențiate în continuare:

1. În capitolul 1 se prezintă grafic faptul că un semnal periodic, datorită spectrului său discret, poate fi eșantionat cu o frecvență mai mică decât cea dată de teorema eșantionării fără să apară fenomenul de aliere. Condiția ca fenomenul de aliere să nu apară este următoarea: diferența dintre frecvența minimă de eșantionare a semnalelor periodice dată de relația (1.17) și frecvența de eșantionare utilizată nu poate fi egală cu multiplul frecvenței fundamentale. Dacă această condiție este îndeplinită, spectrul semnalului și replica sa centrată pe frecvența de eșantionare, se întrepătrund dar, liniile spectrale nu se suprapun. În acest caz, pentru reconstrucția semnalului inițial nu se mai poate utiliza un filtru trece jos deoarece anumite componente ce apar în spectru datorită întrepătrunderii trebuie să fie eliminate. Acest lucru se poate face cu ajutorul unui filtru pieptene ce are benzi de trecere cu frecvențe centrale egale cu frecvențele fundamentale și armonicilor din semnalul analizat.

2. În paragraful 1.5 se prezintă un algoritm ce permite alegerea frecvenței minime de eșantionare a unui semnal periodic dacă nu se cunoaște ordinul K_1 al componentei armonice corespunzătoare frecvenței maxime din semnal, în cazul în care în semnalul analizat sunt prezente toate componentele armonice până la ordinul K_1 . Dacă ordinul K

ales este mai mic sau egal cu K_1 , coeficientul c_K va fi diferit de zero. De asemenea, $c_{K+1} = c_{-K} = c_K^*$, unde cu $*$ s-a notat complex conjugatul, deoarece transformata Fourier (discretă) este periodică. Dacă ordinul K ales este mai mare decât K_1 atunci, $c_K = c_{K+1} = 0$. Dacă $c_{K-1} = c_{K+2}^* \neq 0$ și $c_K = c_{K+1} = 0$ atunci valoarea lui K_1 este egală cu $K-1$. În cazul în care din semnalul analizat lipsesc mai multe componente armonice (succesive), obținerea lui K_1 este puțin mai dificilă. Aceasta deoarece se poate ajunge la situația $c_K = c_{K+1} = 0$ chiar dacă K ales este mai mic decât K_1 . În acest caz, semnal cu componente armonice lipsă, trebuie verificați toți coeficienții Fourier la modificarea valorii atribuite lui K și nu doar coeficientul c_K . Pentru $K < K_1$ există coeficienți c_k care au o valoare pentru $K = K'$ și o altă valoare pentru $K = K''$, unde $K' < K'' \leq K_1$. Dacă $K > K_1$ coeficienții c_k nu își schimbă valoarea dacă K se modifică de la K' la K'' , unde $K_1 \leq K' < K''$. Și acest caz este prezentat în același paragraf.

3. În paragraful 2.2 este obținută relația notată (2.13) cu ajutorul căreia se calculează o valoare pentru frecvența de eșantionare a unui semnal periodic, valoare mai mică decât cea rezultată din teorema eșantionării. La această relație s-a ajuns pornind de la condiția ca în intervalul de frecvențe a unui semnal periodic să nu avem, pentru o anumită frecvență de eșantionare, două componente cu aceleași eșantioane. În același paragraf se demonstrează că prin utilizarea unei frecvențe de eșantionare obținută cu ajutorul relației (2.13) nu apar erori de aliere. Prelevarea eșantioanelor necesare se face de pe un număr întreg și par (putere a lui doi datorită împărțirii cu 2^P) de perioade ale semnalului analizat.

4. Relația (2.13) este destul de restrictivă prin faptul că eșantioanele necesare sunt prelevate doar de pe un număr par - putere a lui doi - de perioade. În paragraful 2.3 se tratează cazurile în care numărul M de perioade de pe care sunt prelevate eșantioanele necesare este impar sau par (nu doar putere a lui doi). Este enunțată o teoremă ce prezintă condiția necesară pentru reducerea frecvenței de eșantionare în cazul semnalelor periodice, și anume, distanța dintre oricare două eșantioane prelevate trebuie să fie diferită de multiplul perioadei de eșantionare. Din această teoremă rezultă condiția necesară pentru o eșantionare corectă și anume: numărul N de eșantioane necesare și numărul M de perioade de pe care sunt ele prelevate nu trebuie să aibe nici un divizor comun. De aici rezultă că eșantioanele necesare pot fi prelevate și de pe un număr impar de perioade ale semnalului analizat fără apariția erorilor de aliere.

5. Dacă eșantioanele necesare pentru calculul coeficienților Fourier sunt prelevate de pe o perioadă a semnalului analizat, se obțin într-o anumită ordine (eșantioane cu indicii de la 0 la $N-1$ în ordine crescătoare). În cazul în care același număr de eșantioane se prelevează de pe mai multe perioade, prin utilizarea unei frecvențe mai mici de eșantionare, eșantioanele se vor obține într-o ordine diferită față de eșantionarea pe o perioadă. Acest lucru înseamnă că eșantionul i , în cazul eșantionării pe mai multe perioade, nu este același cu eșantionul i în cazul eșantionării pe o perioadă. Sunt și excepții când aceste eșantioane sunt aceleași ca, de exemplu, prelevarea a câte un eșantion din perioade succesive. În același paragraf 2.3 se obține o relație (notată (2.37)) cu ajutorul căreia se calculează ordinea de prelevare a eșantioanelor de pe mai multe perioade față de cazul eșantionării pe o perioadă.

6. În paragraful 3.4 se prezintă relațiile de calcul ale coeficienților Fourier pentru un semnal periodic și par, pentru un număr impar respectiv, par de eșantioane. Aceste

eșantioane pot fi prelevate de pe parcursul unei jumătăți de perioadă, de pe parcursul unei perioade sau de pe parcursul a mai multe perioade corespunzătoare semnalului analizat. Modul de obținere a acestor relații este prezentat în anexa A. În paragraful 3.5 se prezintă relațiile de calcul ale coeficienților Fourier pentru un semnal periodic și impar și, posibilități de prelevare a eșantioanelor necesare (de pe o perioadă sau mai multe). Modul de obținere a acestor relații este prezentat în anexa B.

7. În paragraful 3.7.3 sunt obținute relațiile de calcul a coeficienților Fourier corespunzatori unor semnale periodice pare, respectiv impare, în cazul în care procesul de eșantionare începe la un moment t_0 diferit de zero (se consideră începutul unei perioade ca fiind momentul zero). Se demonstrează faptul că pentru o eșantionare corectă (posibilitatea calculării coeficienților Fourier) t_0 trebuie să fie diferit de zero sau de multiplii de $T_e/2$, unde T_e este perioada de eșantionare. Această demonstrație se face în două moduri. Prima demonstrație pornește de la relația de calcul a coeficienților Fourier și se impune condiția ca numitorul să fie diferit de zero. Pentru a doua demonstrație se scrie sistemul format din ecuațiile corespunzătoare descompunerii în serie Fourier trigonometrică a semnalului analizat, pentru fiecare eșantion prelevat. Pentru ca sistemul să fie compatibil determinat, matricea formată din termenii cosinus (în cazul semnalelor periodice și pare) trebuie să aibă determinantul diferit de zero. Sunt calculate valorile determinantilor pentru mai multe astfel de matrice (K diferit) și se obține condiția ca determinantul să fie diferit de zero.

8. În capitolul 4 se analizează un semnal oarecare pe o anumită perioadă de timp, numită în teză „interval de observare” și notat cu IO . Dacă IO este considerat o perioadă a unui semnal periodic, datorită valorilor diferite a semnalului la capetele intervalului, vor apărea discontinuități. Rezultă o bandă de frecvențe infinită. Acest mod de obținere a unui semnal periodic pe baza unui IO dintr-un semnal oarecare este denumit în teză periodicizare prin repetare. Coeficienții Fourier calculați sunt numere complexe. În teză se utilizează oglindirea setului de eșantioane corespunzătoare unui IO față de unul din capete pentru reducerea sau chiar eliminarea eventualelor discontinuități ce pot apărea la capătul intervalului. Noul interval (IO plus IO oglindit) este considerat o perioadă a unui semnal periodic. În plus, prin oglindire și repetare, semnalul periodic ce se formează este și par, coeficienții Fourier sunt numere reale și pot fi calculați mai ușor pe baza unui număr mai mic de eșantioane față de cazul anterior (periodicizare prin repetare). În cazul periodicizării prin oglindire și repetare coeficienții Fourier descresc mai repede decât în cazul periodicizării prin repetare datorită faptului că banda de frecvențe este mai mică. Prin urmare, pentru erori comparabile, se pot neglija coeficienții cu ordin mai mic, ceea ce duce la reducerea numărului de eșantioane necesare și la reducerea volumului de calcul.

9. Eroarea de reconstrucție a semnalului pe baza coeficienților Fourier scade mult mai mult dacă intervalul de reconstrucție (notat IR) este ales mai mic decât dacă este mărită frecvența de eșantionare. În cazul periodicizării prin repetare, la creșterea frecvenței de eșantionare, eroarea de reconstrucție la începutul și sfârșitul IR scade neglijabil; se consideră că IR este egal cu IO . În cazul periodicizării prin oglindire și repetare, eroarea de reconstrucție la începutul și sfârșitul IR scade la jumătate cu dublarea frecvenței de eșantionare. Aceeași scădere a erorii de reconstrucție la începutul IR are loc în cazul oglindirii, dacă frecvența de eșantionare rămâne nemodificată dar, IR este mai mic decât IO cu două perioade de eșantionare; IR începe cu o perioadă de eșantionare mai târziu și se termină cu o perioadă de eșantionare mai repede decât IO . Acest lucru duce la concluzia că în urma periodicizării prin oglindire și repetare și

alegerea unui IR mai mic decât IO , se obțin erori de reconstrucție mici la frecvențe de eșantionare mici.

10. În paragraful 5.2 se demonstrează faptul că un semnal periodic trece bandă, ce are banda de frecvențe notată f_B și frecvența maximă din spectru notată f_M , poate fi eșantionat cu o frecvență de eșantionare f_e mai mare decât $2f_B$ dar mai mică decât $2f_M$ fără să apară procesul de aliere. Demonstrarea pornește de la condiția ca în intervalul de frecvențe a semnalului periodic trece bandă, pentru f_e aleasă, să nu existe componente cu aceleași eșantioane. O condiție suplimentară este ca frecvența minimă f_m din banda de frecvențe să fie mai mare decât această bandă, $f_m > f_M - f_m = f_B$.

11. Tot în paragraful 5.2 se prezintă o teoremă ce precizează condițiile pe care trebuie să le îndeplinească numărul N de eșantioane, prelevate de pe o perioadă a unui semnal periodic trece bandă astfel încât reconstrucția semnalului să se facă corect (să nu apară procesul de aliere). De asemenea, se deduce o relație (notată (5.31)), cu ajutorul căreia semnalul periodic trece bandă poate fi reconstituit pe baza celor N eșantioane prelevate, dacă N respectă condițiile teoremei. În anexa D se prezintă un program scris în Matlab ce implementează relația 5.31. În anexa C se prezintă un program scris în Matlab cu ajutorul căruia se poate calcula numărul minim de eșantioane ce îndeplinește condițiile teoremei din paragraful 5.2. Acest program atribuie lui N valori de la numărul minim teoretic (dat de condiția a) din teoremă) în sus, efectuează împărțiri și comparații pentru a verifica condițiile b) și c) din teoremă și, dacă ele sunt satisfăcute, returnează valoarea minimă ce poate fi utilizată pentru N . Un program similar scris în Mathcad oferă pe lângă valoarea minimă utilizabilă pentru N și alte valori mai mari. De asemenea sunt calculate și frecvențele de eșantionare corespunzătoare pentru cazul în care eșantioanele se prelevează de pe o perioadă a semnalului periodic trece bandă analizat.

12. În paragraful 5.3, pornind de la reprezentarea grafică a spectrului semnalului trece bandă eșantionat, sunt date două condiții care, dacă una din ele este îndeplinită, semnalul poate fi eșantionat cu o frecvență minimă, deoarece se pot preleva numărul minim de eșantioane necesare fără să apară procesul de aliere. În acest caz, un multiplu al frecvenței minime de eșantionare va fi mai mică decât frecvența minimă din spectrul semnalului cu o valoare egală cu $1/T$, unde T este perioada semnalului, sau mai mare decât frecvența maximă din spectrul semnalului cu aceeași valoare $1/T$.

13. În paragraful 5.4 se prezintă cazul semnalelor periodice de tip trece bandă obținute prin modularea în amplitudine a unei purtătoare sinusoidale cu un semnal modulator periodic de tip trece jos. Se obține o relație de calcul a perioadei semnalului trece bandă (notată 5.63) în funcție de perioada semnalului modulator respectiv, perioada semnalului purtător. În anexa C se prezintă un program de calcul a termenilor m_0 și m_1 ce intervin în relația 5.63, utili pentru calculul perioadei semnalului trece bandă și, calculul ordinelor M_1 și M_2 corespunzătoare componentelor armonice aflate la capetele benzii de frecvențe a semnalului modulat (trece bandă).

În același paragraf sunt obținute relațiile de calcul a frecvenței f_0 a semnalului purtător în funcție de frecvența minimă de eșantionare a semnalului modulator pentru ca semnalul rezultat prin modulare în amplitudine să poată fi eșantionat cu o frecvență minimă de eșantionare. Pentru cazul f_0 oarecare, sunt obținute relații de calcul a numărului minim de eșantioane, implicit și a frecvenței de eșantionare, pentru ca prin eșantionarea semnalului modulat să se obțină direct informații despre semnalul modulator (de fapt prin această eșantionare se face și demodularea semnalului periodic de tip trece bandă obținut prin modulare în amplitudine). În anexa E se prezintă schema logică a unui program de calcul a numărului minim de eșantioane necesare pentru

calculul coeficienților Fourier corespunzători semnalului modulator. Informațiile pe baza cărora se calculează acest număr sunt frecvența fundamentalei semnalului modulator, ordinul componentei maxime din semnalul modulator și frecvența semnalului purtător.

În același paragraf sunt prezentate relațiile de calcul ale coeficienților Fourier corespunzători semnalului modulator (semnalelor modulatorie dacă este vorba de modulare în amplitudine în cuadratură).

Deoarece semnalul trece bandă analizat în capitolul 5 este periodic, eșantioanele necesare pentru calculul coeficienților Fourier pot fi prelevate de pe mai multe perioade. Dacă eșantioanele sunt prelevate de pe o perioadă a semnalului atunci frecvența minimă de eșantionare este mai mare decât $2f_B$ (raportul f_e/f_B nu poate fi mai mic de 2). Dacă eșantionarea se face pe mai multe perioade rezultă o frecvență de eșantionare mult mai mică, iar raportul f_e/f_B poate ajunge mai mic decât 2. În cazurile prezentate în literatură sub acest prag $f_e/f_B=2$ nu se poate ajunge fără apariția erorilor de aliere.

În continuarea celor prezentate, o direcție de dezvoltare o reprezintă eșantionarea semnalelor trece bandă obținute prin modularea în amplitudine a unei purtătoare (co)sinusoidale, $x(t) = p(t)\cos(\omega_0 t + \varphi)$, la momente de timp iT_e pentru care $\cos(\omega_0 iT_e + \varphi) \neq 1$ dar și $\neq 0$. În acest caz, valoarea eșantioanelor semnalului modulator $p(t)$ se pot obține din eșantioanele semnalului modulat $x(t)$ prin împărțirea lor la $\cos(\omega_0 iT_e + \varphi)$

$$p(iT_e) = \frac{x(iT_e)}{\cos(\omega_0 iT_e + \varphi)}$$

În acest caz este necesară cunoașterea momentului prelevării unui eșantion din semnalul modulat față de momentul trecerii prin zero a semnalului purtător pentru calculul numitorului din relația de mai sus. De asemenea frecvența de eșantionare trebuie să fie sincronizată cu frecvența purtătoarei, la fel ca și în cazul prezentat în paragraful 5.4 unde eșantionarea este făcută la momente de timp pentru care $\cos(\omega_0 iT_e) = \pm 1$.

După obținerea unui set de eșantioane din semnalul modulator se poate aplica metoda periodicizării prin oglindire și repetare (periodicizare prin paritate) pentru calculul coeficienților Fourier corespunzători semnalului modulator.

Este posibil ca prin această metodă de obținere a eșantioanelor, restricțiile cu privire la alegerea frecvenței de eșantionare (relațiile notate (5.97)) să fie mai puțin restrictive deoarece nu mai este necesar ca $\cos(\omega_0 iT_e + \varphi) = 1$.

BIBLIOGRAFIE

- [An1] Andre Angot, *Complemente de matematici pentru inginerii din electrotehnică și telecomunicații*, Editura Tehnică, București, 1965
- [Be1] Bellman R., *Introducere în analiza matriceală*, Ed. Tehnică, București 1969
- [Br1] Brown J. L., Jr., „First-Order Sampling of Bandpass Signals – A New Approach”, *IEEE Trans. on Information Theory*, vol. IT-26, no. 5, September 1980
- [Br2] Brown J. L., Jr., „Sampling Bandlimited Periodic Signals – An Application of the DFT”, *Transaction on Education*, vol. E-23, no. 4, November 1980
- [Br3] Brown J. L., Jr., „An RKHS Analysis of Sampling Theorems for Harmonic – Limited Signals”, *IEEE Trans. on Acoustic, Speech and Signal Processing*, pp 437-440, April 1985
- [Br4] Brown J. L., Jr., „Sampling of Bandlimited Signals: Fundamental Results and Some Extensions”, Cap.3 din Bose N. K. and Rao C. R., *Handbook of Statistics*, vol. 10, Elsevier Science Publishers B.V., 1993
- [Br5] Brown J. L., Jr., „On Quadrature Sampling of Bandpass Signals”, *IEEE Trans. on Aerospace and Electronic Systems*, Vol AES-15, No. 3, pp 366-371, May 1979
- [Br6] Bracewell N. R., *The Fourier Transform and Its Applications*, Mc. Graw-Hill Inc. 1978
- [Br7] Brigham E. Oran, *The Fast Fourier Transform and its Application*, Prentice-Hall 1988
- [Br8] Brăileanu G., „Sampled Signal Reconstruction and Nyquist Frequency”, *IEEE Signal Processing Magazine*, vol. 13, Issue 6, pp 26-32, September 1996
- [Bu1] Buzdugan Gh. (coordonator), *Manualul Inginerului*, vol.1, Ed. Tehnică, București 1965
- [Bu2] Butzer P. L., Nessel R., *Fourier Analysis and Approximation*, vol. I, Birkhäuser Verlag, Stuttgart, 1971
- [Ca1] Cartianu Gh., *Analiza și sinteza circuitelor electrice*, Editura didactică și pedagogică, București 1972

- [Ce1] Ceangă E., Munteanu T., Bratcu A., Culea M., *Semnale. Circuite și Sisteme*, Partea I: Analiza semnalelor, Ed. Academică, 2001
- [Ch1] Chassaing R., *Digital Signal Processing with C and the TMS320C30*, John Willey & Sons, Inc., New – York, 1992
- [Cr1] Crstici B., *Matematici speciale*, Editura Didactică și Pedagogică, București, 1981
- [Dr1] Dragu I., Iosif I., *Prelucrarea numerică a semnalelor discrete în timp*, Ed. Militară, București 1985
- [Du1] Dumitrescu B., *Prelucrarea semnalelor: breviar teoretic, probleme rezolvate, ghid Matlab*, versiunea 5.3, mai 2003, Universitatea “Politehnica” București, Facultatea de Automatică și Calculatoare
- [Ga1] Gallagher N. C., Jr., Wise G. L., „A representation for bandlimited functions”, *Proceeding of the IEEE*, vol. 63, pp 1624-1625, 1975
- [Gh1] Ghinea M., *Procesarea digitală a semnalelor*, Editura Tritonic, București, 1997
- [Go1] Goldman S., *Teoria Informatiei*, NY Interscience 1965
- [Ha1] Harris F. J., „On the use of windows for harmonic analysis with the discrete Fourier Transform”, *Proceeding of the IEEE*, vol. 66, no. 1, pp 51-83, January 1978
- [Hi1] Higgins R. J., „Five short stories about the cardinal series”, *Bulletin of the American Mathematical Society*, vol. 12, no. 1, pp 45-89, 1985
- [Hs1] Hsu P. Hwei, „Sampling”, cap. 2 din „*The Communications Handbook*”, Gibson D. Jerry, CRC Press, 1997
- [If1] Ifeachor C. E., Jervis W. B., *Digital Signal Processing. A Practical Approach*, Addison-Wesley Publishing Company, 1993
- [Ig1] Ignea A., Pop E., „Eșantionarea semnalelor pentru obținerea de valori medii”, *Metrologia aplicată*, vol. XXVII, nr. 1, pp 7-11, 1980
- [Je1] Jerri J. Abdul, „The Shannon Sampling Theorem – Its Various Extensions and Applications: A Tutorial Review”, *Proceedings of the IEEE*, vol. 65, no. 11, pp. 1565-1596, November 1977
- [Ku1] Kuo M. S., Lee H. B., *DSP – Real Time Digital Signal Processing*, John Willey & Sons Ltd., England, 2001
- [Li1] Liu J., Zhon X., Peng Y., „Spectral Arrangement and other Topics in First – Order Bandpass Sampling Theory”, *IEEE Trans. on Sig. Proc.*, vol. 49, no. 6, pp. 1260-1263, June 2001
- [Ly1] Lyons G. R., *Understanding Digital Signal Processing*, Prentice Hall 2001

- [Ma1] Mateescu Ad., *Semnale, circuite și sisteme*, Ed. Didactică și Pedagogică, București, 1984
- [Ma2] Marks II J. R., *Introduction to Shannon Sampling and Interpolation Theory*, Springer-Verlag, New York Inc., 1991
- [Ma3] Marple L., „Exploding the Nyquist Barrier Misconception”, *IEEE Signal Processing Magazine*, Vol. 13, Issue 6, pp. 32-42, September 1996
- [Ma4] Marple S. L. jr., „Restoring the Nyquist Barrier”, *IEEE Signal Processing Magazine*, pp 24-28, January 1996
- [Na1] Nafoarniță I, Câmpeanu A, Isar A., *Semnale, circuite și sisteme*, Centrul de multiplicare UPT, Timișoara, 1995
- [Ne1] Neal C. G., Wise L. G., „A Representation for Band-Limited Functions”, *Proceedings of the IEEE*, pp. 1624-1625, November, 1975
- [Op1] Oppenheim A., Schaffer R., *Digital Signal Processing*, Prentice-Hall, 1975
- [Pa1] Papoulis A., *The Fourier Integral and its Applications*, N.Y., McGraw-Hill, 1962
- [Pa2] Papoulis A., *Signal Analysis*, N.Y., McGraw-Hill, 1977
- [Pa3] Pazsitka R., „Sampling of even or odd signals”, *Proceedings of the Symposium of Electronics and Telecommunications, ETC2000*, vol. 2, pp. 117-120, Timișoara, November 23-24, 2000
- [Pa4] Pazsitka R., „Sampling of Bandpass Periodical Signals”, *Proceedings of the Symposium on Electronics and Telecommunications, ETC2002*, vol. 1, pp. 162-167, Timișoara, September 19-20, 2002
- [Pa5] Pazsitka R., Toma L., Stoiciu D., De Sabata A., „A Method to Derive the Sampling Theorem for Bandpass Signals”, *Buletinul Științific al Universității “Politehnica” din Timișoara*, Tom 48 (62), Fascicola 2, 2003
- [Pa6] Pazsitka R., „Sampling Amplitude Modulated Signal”, *Buletinul Științific al Universității “Politehnica” din Timișoara*, Tom 48 (62), Fascicola 2, 2003
- [Pf1] Pfaffelhuber E., „Sampling Series for Band-Limited Generalized Functions”, *Transactions on Information Theory*, vol IT-17, no. 6, pp. 650-654, November, 1971
- [Po1] Pop E., Stoica V., *Principii și metode de măsurare numerică*, Ed. Facla, Timișoara, 1977
- [Po2] Pop E., Nafoarniță I., Tiopnuț V., Toma L., Mihăescu A., *Metode în prelucrarea numerică a semnalelor*, Ed. Facla, Timișoara, 1986

- [Po3] Pop E., „Teoria generală a măsurării”, curs an 6, ETC-IE, 1997
- [Ra1] Radu O., Săndulescu Gh., *Filtre numerice. Aplicații*, Ed. Tehnică, București, 1979
- [Ra2] Rabiner R. L., „On the Use of Symetry in FFT Computation ”, IEEE Trans. on Acoustic, Speech and Signal Processing, vol. AASP-27, no. 3, pp 233-239, June, 1979
- [Ra3] Rader M. C., „Recovery of Undersampled Periodic Waveforms”, IEEE Transactions on Acoustic, Speech, and Signal Processing, vol. ASSP-25, no. 3, pp 242-249, June 1977
- [Sh1] Shannon E. C., „Communications in the Presence of Noise”, Proceedings of the IRE, vol. 37, no. 1, pp 10-21, January, 1949; Proceedings of the IEEE, vol. 86, no. 2, pp 447-457, February, 1998
- [Sp1] Spătaru Al., *Teoria transmisiunii informației. Semnale și perturbații*, Ed, Tehnică, București, 1965
- [Sm1] Smith W. S., *The Scientist and Engineer's Guide to Digital Signal Processing*, Second Edition, California Technical Publishing, San Diego, California, 1999
- [Sm2] Smith J. L., „Breaking the Nyquist Barrier”, IEEE Signal Procesing Magazine, pp 41-43, July 1995
- [St1] Straton J. A., *Theorie de L' Electromagnetisme*, Dunod, Paris, 1961
- [St2] Stearns D. S., *Digital Signal Analisis*, Hayden Book Company, Inc. New-Jersey, 1975
- [St3] Stanomir D., Stănășilă O., *Metode matematice în teoria semnalelor*, Ed. Tehnică, București, 1980
- [St4] Stănășilă O., Șabac Gh. I., *Matematici speciale*, vol. 2, Ed. Didactică și Pedagogică, București, 1983
- [St5] Stolojanu G., ș.a., *Prelucrarea numerică a semnalului vocal*, Ed. Militară, București, 1984
- [St6] Stremler G. F., „Analog Modulation”, cap. 1 din „The Communications Handbook”, Gibson D. Jerry, CRC Press, 1997
- [St7] Stearns D. S., David A. R., *Signal Processing Algorithms in Matlab*, Prentice Hall, 1996
- [Ti1] Tiponuț V., „Studii privind aplicarea eșantionării la aparatele de măsură”, Teză de doctorat, Timișoara, 1981
- [To1] Tolstov G. P., *Serii Fourier*, Ed. Tehnică, București, 1955

- [To2] Toma L. „Metodă de eliminare a erorilor la estimarea frecvențelor sinusoidelor”, *EAA – Automatică și electronică*, vol. 30, nr. 3, pp 91-92, 1986
- [Ts1] Tseng C. H., „Bandpass Sampling Criteria for Nonlinear Systems”, *IEEE Transactions on Signal Processing*, vol. 50, no. 3, pp 568-577, March 2002
- [Ți1] Țițeica S., *Mecanica cuantică*, Ed. Academiei, București, 1984
- [Un1] Unser M., „Sampling – 50 Years After Shannon”, *Proceedings of the IEEE*, vol. 88, no. 4, pp. 569-587, April, 2000
- [Va1] Vaughan B. R., Scott L. N., White R. D., „The Theory of Bandpass Sampling”, *IEEE Transactions on Signal Processing*, vol. 39, no. 9, pp. 1973-1984, September, 1991
- [Vl1] Vlasov A. K., *Curs de Matematică Superioară*, Ed. Tehnică, București, 1951
- [Xi1] Xi J., Chicharo J., „A New Algorithm for Improving the Accuracy of Periodic Signal Analysis”, *IEEE Transactions on Instrumentation and Measurement*, vol. 45, no. 4, pp. 827-831, August, 1996
- [Yo1] Young H. P., *Electronic Communication Techniques*, Prentice Hall, 1994
- [Ze1] Zemanian A. H., *Generalized Integral Transformation*, John Wiley & Sons Inc., 1968

CALCULUL COEFICIENȚILOR FOURIER a_k CORESPUNZĂTORI UNUI SEMNAL PERIODIC ȘI PAR

În această anexă se vor obține relațiile de calcul a coeficienților Fourier a_k , $k = 0, 1, \dots, K$, a unui semnal periodic par $f_p(t)$, de perioadă T_0 , care are un număr de K componente armonice. Utilizăm ca punct de plecare relația (1.3) rescrisă mai jos

$$f(t) = a_0 + \sum_{k=1}^{\infty} [a_k \cos(k\omega_0 t) + b_k \sin(k\omega_0 t)], \quad (\text{A.1})$$

unde coeficienții b_k sunt egali cu zero. Indicele superior de însumare ∞ îl înlocuim cu $N-1$ unde N reprezintă numărul de eșantioane prelevate din semnalul $f_p(t)$ pe parcursul unei perioade (sau a mai multor perioade). De asemenea, timpul continuu t este înlocuit cu momentele iT_e , unde T_e reprezintă perioada de eșantionare $T_e = T_0/N$, iar $i = 0, 1, \dots, N-1$. Rezultă relația

$$f_p(iT_e) = \sum_{k=0}^{N-1} a_k \cos(k\omega_0 iT_e). \quad (\text{A.2})$$

Înmulțim relația (A.2) cu $\cos(n\omega_0 iT_e)$ unde n este o variabilă cu același domeniu de definiție ca și k . Se obține

$$f_p(iT_e) \cos(n\omega_0 iT_e) = \sum_{k=0}^{N-1} a_k \cos(k\omega_0 iT_e) \cos(n\omega_0 iT_e). \quad (\text{A.3})$$

În continuare, în urma însumării după toate valorile lui i , relația (A.3) devine

$$\sum_{i=0}^{N-1} f_p(iT_e) \cos(n\omega_0 iT_e) = \sum_{k=0}^{N-1} a_k \sum_{i=0}^{N-1} \cos(k\omega_0 iT_e) \cos(n\omega_0 iT_e). \quad (\text{A.4})$$

În relația (A.4) se aplică formula

$$\cos a \cdot \cos b = \frac{\cos(a+b) + \cos(a-b)}{2}$$

rezultând

$$\sum_{i=0}^{N-1} f_p(iT_e) \cos(n\omega_0 iT_e) = \sum_{k=0}^{N-1} a_k \sum_{i=0}^{N-1} \frac{\cos((k+n)\omega_0 iT_e) + \cos((k-n)\omega_0 iT_e)}{2}. \quad (\text{A.5})$$

Suma după i din membrul drept poate fi scrisă sub forma

$$\sum_{i=0}^{N-1} \frac{\cos((k+n)\omega_0 iT_e) + \cos((k-n)\omega_0 iT_e)}{2} =$$

$$= \frac{1}{2} \left[\sum_{i=0}^{N-1} \cos((k+n)\omega_0 iT_e) + \sum_{i=0}^{N-1} \cos((k-n)\omega_0 iT_e) \right] \quad (\text{A.6})$$

Folosindu-ne de relația

$$\sum_{i=0}^{N-1} \cos i\alpha = \cos(N-1) \frac{\alpha}{2} \cdot \frac{\sin N \frac{\alpha}{2}}{\sin \frac{\alpha}{2}} \quad (\text{A.7})$$

și înlocuind pe α cu $(k-n)\omega_0 T_e$, respectiv cu $(k+n)\omega_0 T_e$, avem pentru sumele din relația (A.6)

$$\sum_{i=0}^{N-1} \cos((k-n)\omega_0 iT_e) = \begin{cases} 0 & \text{pentru } k \neq n \\ N & \text{pentru } k = n \end{cases} \quad (\text{A.8})$$

respectiv

$$\sum_{i=0}^{N-1} \cos((k+n)\omega_0 iT_e) = \begin{cases} 0 & \text{pentru } k+n > 0 \\ N & \text{pentru } k+n = 0 \end{cases} \quad (\text{A.9})$$

Suma din relația (A.9) este diferită de zero doar pentru $k=n=0$ deoarece variabilele k și n sunt numere pozitive în domeniul 0 la $N-1$. Astfel, pentru coeficientul a_0 se obține relația

$$a_0 = \frac{1}{N} \sum_{i=0}^{N-1} f_p(iT_e), \quad (\text{A.10})$$

iar pentru coeficienții a_k , $k=1,2,\dots,K$, se obține

$$a_k = \frac{2}{N} \sum_{i=0}^{N-1} f_p(iT_e) \cos(k\omega_0 iT_e). \quad (\text{A.11})$$

În cazul în care N este un număr *impar*, datorită faptului ca eșantioanele sunt egale între ele două câte două ($f_p(iT_e) = f_p((N-i)T_e)$), se pot utiliza un număr mai mic de eșantioane pentru a calcula valorile coeficienților a_k . Deoarece ultimul eșantion prelevat dintr-o perioadă a semnalului periodic par $f_p(t)$ este $f_p((N-1)T_e)$, înseamnă că eșantionul $f_p(0)$ este unic ($f_p(0) = f_p(NT_e)$, eșantion care nu este prelevat), restul eșantioanelor fiind egale două câte două ($N-1$ fiind un număr par). Și în cazul funcției cosinus avem aceeași relație de egalitate și anume

$$\cos(k\omega_0(N-i)T_e) = \cos\left(k\frac{2\pi}{NT_e}(N-i)T_e\right) = \cos\left(k\frac{2\pi}{N}i\right) = \cos(k\omega_0iT_e)$$

astfel relația (A.11) devine

$$a_k = \frac{2}{N} \left(f_p(0) + 2 \cdot \sum_{i=1}^K f_p(iT_e) \cos(k\omega_0iT_e) \right). \quad (\text{A.12})$$

În acest caz numărul de eșantioane prelevate este $K+1$ (primele $K+1$ eșantioane din cele $N=2K+1$). Deoarece semnalul analizat este periodic, frecvența de eșantionare poate fi redusă prin prelevarea eșantioanelor, necesare pentru calculul coeficienților Fourier, de pe mai multe perioade ale semnalului $f_p(t)$.

În cazul în care N este un număr *par*, primul eșantion $f_p(0)$ este unic și, deoarece $N-1$ este un număr *impar*, rezultă că și eșantionul $f_p\left(\frac{N}{2}\right)$ ($= f_p(K+1)$) este unic, restul fiind egale două câte două; prin urmare, relația (A.11) poate fi rescrisă sub forma

$$a_k = \frac{2}{N} \left(f_p(0) + f_p((K+1)T_e) \cos(k(K+1)\omega_0T_e) + 2 \cdot \sum_{i=1}^K f_p(iT_e) \cos(k\omega_0iT_e) \right). \quad (\text{A.13})$$

În acest caz numărul de eșantioane prelevate este $K+2$.

CALCULUL COEFICIENȚILOR FOURIER b_k CORESPUNZĂTORI UNUI SEMNAL PERIODIC ȘI IMPAR

În această anexă se vor obține relațiile de calcul a coeficienților Fourier b_k , $k = 1, 2, \dots, K$, a unui semnal periodic impar $f_I(t)$, de perioadă T_0 , care are un număr de K componente armonice. Utilizăm ca punct de plecare relația (1.3), rescrisă mai jos

$$f(t) = a_0 + \sum_{k=1}^{\infty} [a_k \cos(k\omega_0 t) + b_k \sin(k\omega_0 t)], \quad (\text{B.1})$$

unde coeficienții a_k sunt egali cu zero, $f(t)$ devenind $f_I(t)$. Indicele superior de însumare ∞ îl înlocuim cu K care reprezintă numărul de coeficienți diferiți de zero deoarece presupunem că în semnal avem K componente armonice. De asemenea, timpul continuu t este înlocuit cu momentele iT_e , unde T_e reprezintă perioada de eșantionare $T_e = T_0/N$ iar $i = 0, 1, \dots, N-1$, N fiind numărul de eșantioane prelevate pe parcursul unei perioade ținând cont de teorema eșantionării aplicată la semnale periodice ($N \geq 2K + 1$). Rezultă relația

$$f_I(iT_e) = \sum_{k=1}^K b_k \sin(k\omega_0 iT_e). \quad (\text{B.2})$$

Înmulțim relația (B.2) cu $\sin(n\omega_0 iT_e)$, unde n este o variabilă de calcul cu același domeniu de definiție ca și k , obținând

$$f_I(iT_e) \sin(n\omega_0 iT_e) = \sum_{k=1}^{N-1} b_k \sin(k\omega_0 iT_e) \sin(n\omega_0 iT_e). \quad (\text{B.3})$$

Pentru fiecare din cele N eșantioane prelevate avem o relație de tipul (B.3). Însușind toate aceste relații obținem

$$\sum_{i=0}^{N-1} f_I(iT_e) \sin(n\omega_0 iT_e) = \sum_{k=1}^K b_k \sum_{i=0}^{N-1} \sin(k\omega_0 iT_e) \sin(n\omega_0 iT_e). \quad (\text{B.4})$$

Ținând cont de faptul că

$$\sin a \cdot \sin b = \frac{\cos(a+b) + \cos(a-b)}{2},$$

relația (B.4) devine

$$\sum_{i=0}^{N-1} f_I(iT_e) \sin(n\omega_0 iT_e) = \sum_{k=1}^K b_k \sum_{i=0}^{N-1} \frac{\cos((k+n)\omega_0 iT_e) + \cos((k-n)\omega_0 iT_e)}{2}. \quad (\text{B.5})$$

Suma după i din partea dreaptă a egalității o rescriem sub forma

$$\sum_{i=0}^{N-1} \frac{\cos((k+n)\omega_0 iT_e) + \cos((k-n)\omega_0 iT_e)}{2} =$$

$$= \frac{1}{2} \left[\sum_{i=0}^{N-1} \cos((k+n)\omega_0 iT_e) + \sum_{i=0}^{N-1} \cos((k-n)\omega_0 iT_e) \right] \quad (\text{B.6})$$

Folosind egalitatea

$$\sum_{i=0}^{N-1} \cos i\alpha = \cos(N-1) \frac{\alpha}{2} \cdot \frac{\sin N \frac{\alpha}{2}}{\sin \frac{\alpha}{2}}, \quad (\text{B.7})$$

și înlocuind pe α cu $(k+n)\omega_0 iT_e$ respectiv, cu $(k-n)\omega_0 iT_e$, vom obține

$$\sum_{i=0}^{N-1} \cos((k+n)\omega_0 iT_e) = \begin{cases} 0 & \text{pentru } k+n > 0 \\ N & \text{pentru } k+n = 0 \end{cases} \quad (\text{B.8})$$

respectiv,

$$\sum_{i=0}^{N-1} \cos((k-n)\omega_0 iT_e) = \begin{cases} 0 & \text{pentru } k \neq n \\ N & \text{pentru } k = n \end{cases}. \quad (\text{B.9})$$

Relația (B.8) este diferită de zero doar pentru $k = n = 0$, ceea ce nu este posibil deoarece nu avem coeficientul b_0 . Prin urmare, relația de calcul pentru coeficienții b_k , $k = 1, 2, \dots, K$, este

$$b_k = \frac{2}{N} \sum_{i=0}^{N-1} f_I(iT_e) \sin(k\omega_0 iT_e). \quad (\text{B.10})$$

Deoarece între eșantioane avem o relație de egalitate (în modul) și în același timp avem o înmulțire între două funcții impare, rezultatul fiind o funcție pară, rezultă că

$$f_I(iT_e) \sin(k\omega_0 iT_e) = f_I((N-i)T_e) \sin(k\omega_0 (N-i)T_e), \quad (\text{B.11})$$

prin urmare, relația (A.10) poate fi scrisă sub forma

$$b_k = \frac{4}{N} \sum_{i=0}^K f_I(iT_e) \sin(k\omega_0 iT_e), \quad (\text{B.12})$$

dacă N este un număr impar și

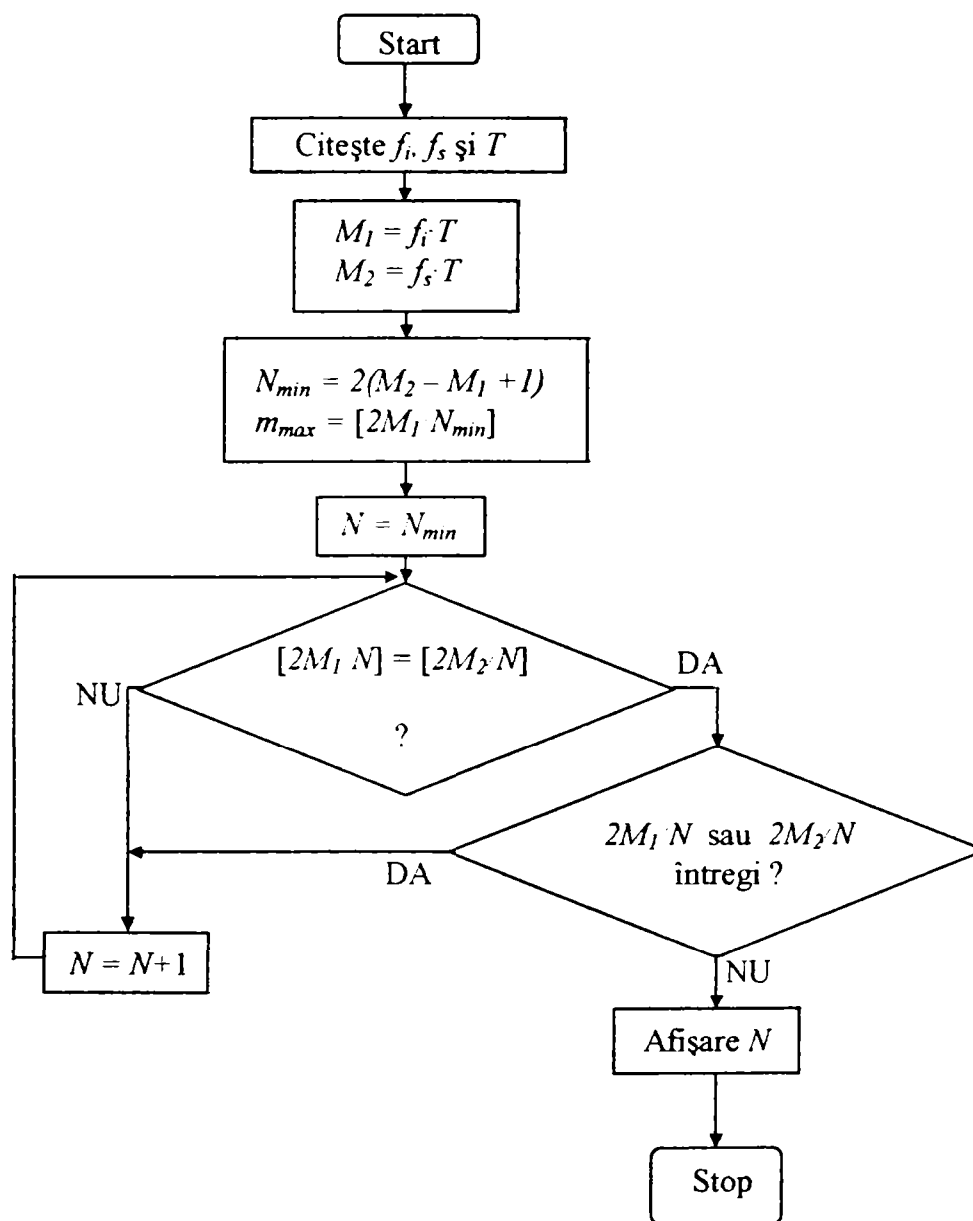
$$b_k = \frac{4}{N} \sum_{i=0}^{K+1} f_I(iT_e) \sin(k\omega_0 iT_e), \quad (\text{B.13})$$

dacă N este un număr par.

Deoarece $K + 1 = \frac{N}{2}$ și $\sin(k\omega_0 \frac{N}{2} T_e) = \sin(k\pi) = 0$, rezultă că eșantionul $f_1(\frac{N}{2} T_e)$ (care oricum are valoarea zero deoarece semnalul este periodic și impar) este înmulțit cu zero și prin urmare poate fi eliminat din calcul; relația (B.13) devine aceeași cu (B.12). Astfel, se utilizează doar jumătate din numărul de eșantioane necesare conform teoremei eșantionării, prin urmare se poate reduce frecvența de eșantionare cel puțin la jumătate. O reducere mai mare a frecvenței de eșantionare poate fi realizată prin prelevarea eșantioanelor, necesare calculului coeficienților Fourier, de pe mai multe perioade a semnalului analizat.

CALCULUL TERMENILOR N , M_1 , M_2 , m_1 , m_0 PENTRU UN SEMNAL DE TIP TRECE BANDĂ

Mai jos se prezintă schema logică pentru calculul numărului N de eșantioane ce trebuie prelevate din semnalul periodic trece bandă $x(t)$ analizat, pentru ca, utilizând relația (5.31), acesta să poată fi reconstituit din eșantioanele sale. Dacă avem doar banda de frecvențe (f_i , f_s) a acestui semnal și perioada T a semnalului, ordinele M_1 și M_2 ale armonicilor corespunzătoare capetelor benzii de frecvențe se pot calcula ușor cu relațiile $M_1 = f_i \cdot T$ și $M_2 = f_s \cdot T$.



Programul scris în matlab ce implementează schema logica de mai sus, este listat în continuare:

```

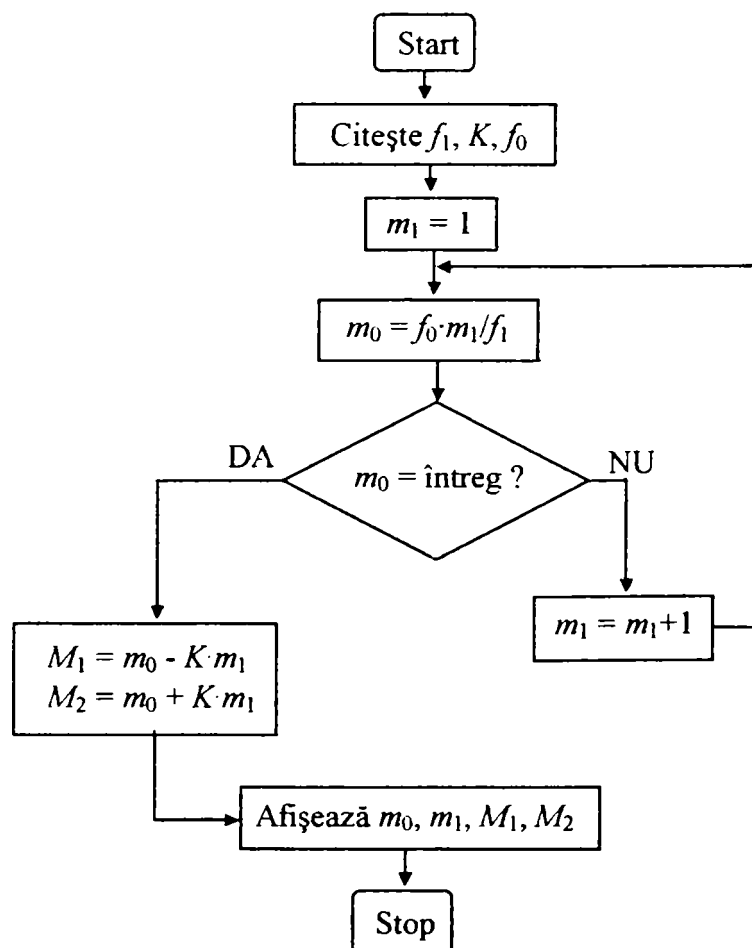
clear
fi = 70;
fs = 90;
f = 2;
T = 1/f;
M1 = fi*T;
  
```

```

M2 = fs*T;
Nmin = 2*(M2-M1+1);
m_max = floor(2*M1/Nmin);
N = Nmin;
for k = Nmin:2*Nmin
    col = floor(2*M1/N);
    co2 = floor(2*M2/N);
    co3 = 2*M1/N-col;
    co4 = 2*M2/N-co2;
    if col == co2 & co3 ~= 0 & co4 ~=0
        break
    end
    N = N+1;
end
N

```

Dacă semnalul periodic trece bandă a fost obținut prin modularea în amplitudine a unei purtătoare sinusoidale cu un semnal periodic trece jos $p(t)$, ordinele M_1 și M_2 se obțin după efectuarea unor calcule puțin mai complicate. Calculele se fac în funcție de frecvența f_1 a fundamentalei semnalului modulator, ordinul K corespunzător armonicei maxime din acest semnal și frecvența f_0 a purtătoarei. Se calculează termenii m_0 și m_1 (vezi relația (5.62 sau 5.63)), întregi ce nu au voie să aibă divizori comuni și pe baza lor, se calculează M_1 și M_2 . Mai jos, se prezintă schema logică pentru calculul termenilor m_0 , m_1 , M_1 și M_2 .



Programul scris în matlab ce implementează schema logica de mai sus este listat în continuare:

```

clear
f1=2;      se introduce
K=5;      introduce K
f0=80;    se introduce f
m01=f0/f1;
m1=1;     introduce m1
m0=m01*m1;
R=rem(m0,1);  restul împărțirii lui m0 la
while R ~=0
    m1=m1+1;
    m0=m01*m1;
    R=rem(m0,1);
end
M1 = m0 - K*m1;
M2 = m0 + K*m1;
Af
m1
m0
M1
M2

```

PROGRAM CE IMPLEMENTEAZĂ RELAȚIA (5.31)

În această anexă se prezintă un program numit *k1_k2* ce implementează relația (5.31) în matlab. Acest program, la rândul său, apelează o funcție *fincdf* ce generează eșantioanele semnalului trece bandă $x(t)$ obținut prin modulare în amplitudine, relația (5.85). Modificând această funcție se poate schimba numărul de componente și amplitudinile acestora din semnalele $p(t)$ și $q(t)$.

```

clear
global f1 Km f0
f1 = 2;
T1 = 1/f1;
Km = 5;
f0 = 80;
m1 = 1;
m0 = (f0*m1)/f1;
K1 = m0-Km*m1;

K2 = m0+Km*m1;
Nmin = 2*(K2-K1+1);
m_max = floor(2*K1/Nmin);
N = Nmin;
cont = 1;

for k = Nmin:2*Nmin
    col = floor(2*K1/N);
    co2 = floor(2*K2/N);
    co3 = 2*K1/N-col;
    co4 = 2*K2/N-co2;
    if col == co2 & co3 ~= 0 & co4 ~= 0
        break
    end
    N = N+1;
end
N
incep = 0;
pas = 0.001;
sf = 1;
t = incep:pas:sf;
incred = incep;

for tt = 1:length(t)
    si(tt) = fincdf(f0, f1, Km, incred);
    incred = incred + pas;
end
figure(1)
plot(t,si)
title 'si'
Te = T1/N;
incred = incep;
for tr = 1:length(t)
    co(tr) = 0;
    suma(tr) = 0;
    fr(tr) = 0;
    for ir = 1:N
        for kr = K1:K2
            co(tr) = co(tr) + cos(kr*2*pi*f1*(incred-(ir-1)*Te));
        end
        suma(tr) = suma(tr) + fincdf(f0, f1, Km, (ir-1)*Te)*co(tr);
        co(tr) = 0;
    end
end

```

```

    fr(tr) = (2/N)*suma(tr);
    increm = increm + pas;
end
figure(2)
plot(t,fr)
title '.....'
for tr=1:length(t)
    er(tr)=fr(tr)-si(tr);
end
figure(3)
plot(t,er)
title '.....'

```

În program se poate alege valoarea frecvenței f_1 corespunzătoare fundamentalei semnalului $p(t)$ și ordinul Km corespunzător armonice maxime. De asemenea, se poate stabili frecvența f_0 a purtătoarei $\cos(2\pi f_0 t)$. Trebuie ales și termenul m_1 întreg astfel încât termenul $m_0 = (f_0 m_1) / f_1$, să rezulte întreg. De asemenea, m_0 și m_1 trebuie să nu aibe nici un divizor comun. Programul returnează numărul N minim de eșantioane necesare pentru reconstrucția corectă a semnalului trece bandă.

Funcția *fincdf* este prezentată în continuare

```

function[rez]=funcdf(f0, f1, Km, tx)
x = 0.5 + 1*cos(2*pi*f1*tx) + 0.5*cos(2*pi*2*f1*tx) +
0.25*sin(2*pi*Km*f1*tx);
y = 1*sin(2*pi*f1*tx) + 0.5*sin(2*pi*2*f1*tx) +
0.5*cos(2*pi*Km*f1*tx);
rez = x*cos(2*pi*f0*tx) - y*sin(2*pi*f0*tx);

```

Parametrii de intrare sunt:

f_0 - frecvența purtătoarei,

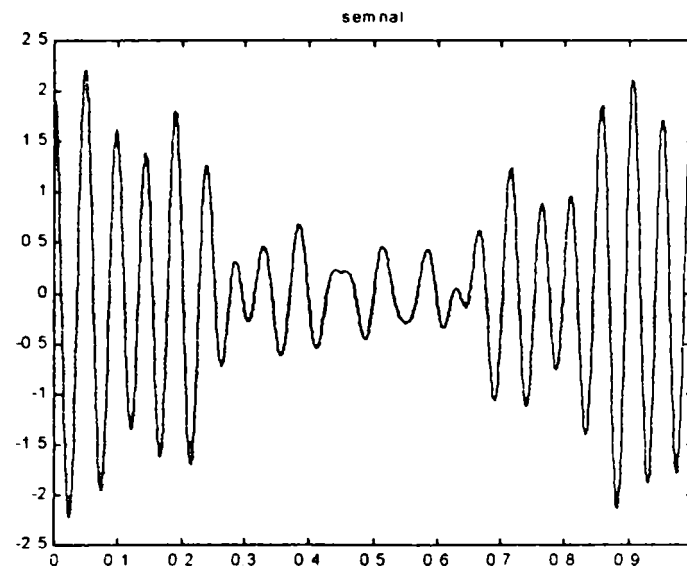
f_1 - frecvența fundamentalei semnalului modulator,

Km - ordinul componentei armonice maxime din semnalul modulator,

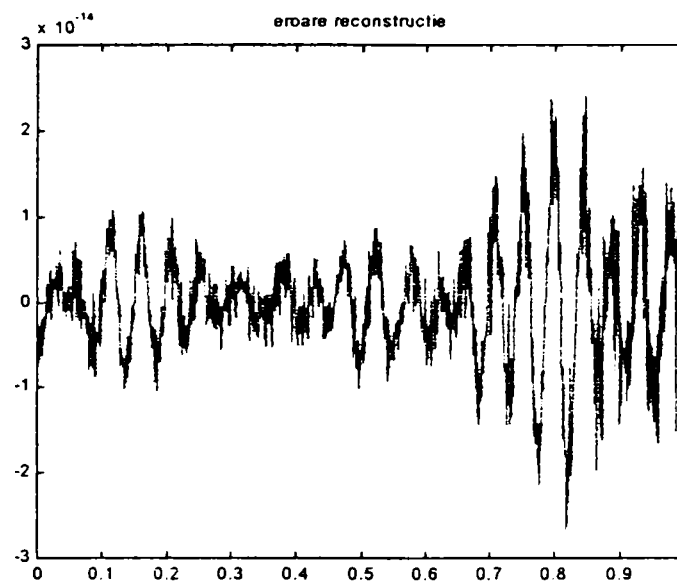
tx - momentul în care se dorește calculul valorii semnalului modulat în amplitudine.

Cu valorile - $f_1 = 1$ (Hz, kHz, ...), $Km = 5$, $f_0 = 20$, numărul minim teoretic de eșantioane necesare rezultă 22 dar, deoarece semnalul trece bandă are componente între $K1 = 15$ și $K2 = 25$, acesta nu poate fi ales. Conform calculelor, numărul minim de eșantioane care trebuie prelevate este 26 ($f_e = 26$ în loc de 51). Acest lucru a fost prezentat și în capitolul 5 și anume, dacă numărul necesar de eșantioane este între $K1$ și $K2$, atunci numărul minim care poate fi ales este mai mare decât $K2$.

Semnalul are forma de variație din figura următoare



Eroarea de reconstrucție este neglijabilă după cum se poate observa mai jos

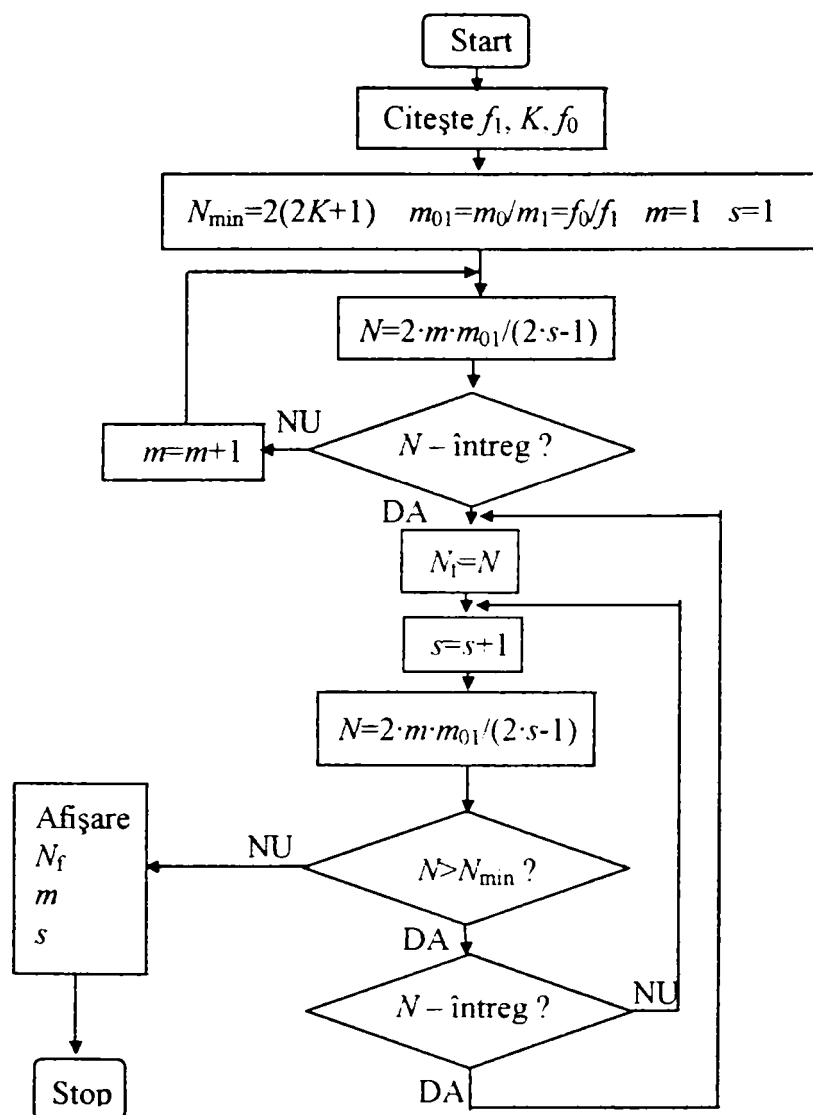


Dacă f_1 și Km rămân neschimbați și $f_0 = 30$, numărul minim de eșantioane necesar ce rezultă în urma calculelor este 24 (în loc de 71), $K1 = 25$, $K2 = 35$.

CALCULUL NUMĂRULUI N PENTRU UN SEMNAL TRECE BANDĂ OBȚINUT PRIN MODULARE ÎN AMPLITUDINE

Schema logică prezentată mai jos corespunde unui program ce calculează numărul N de eșantioane necesare pentru calculul coeficienților Fourier corespunzători semnalului modulator. Eșantioanele se prelevează din semnalul periodic trece bandă obținut prin modularea în amplitudine a unei purtătoare sinusoidale cu un semnal modulator periodic de tip trece jos.

Datele de intrare pentru calculul numărului N de eșantioane necesare sunt trei la număr: frecvența f_1 a fundamentalei semnalului (semnalelor) modulator, ordinul K al componentei armonice corespunzătoare frecvenței maxime din acest semnal și frecvența f_0 corespunzătoare purtătoarei sinusoidale.



Pentru obținerea frecvenței de eșantionare în cazul semnalului modulat în amplitudine în cuadratură, numărul de eșantioane N_f obținut se înmulțește cu doi.

**PROGRAM PENTRU CALCULUL NUMĂRULUI N CONFORM TEOREMEI
DIN PARAGRAFUL 5.2**

Programul este scris în mathcad și calculează numărul minim teoretic N_m de eșantioane necesare în procesul de eșantionare al unui semnal periodic trece bandă obținut prin modulare în amplitudine. De cele mai multe ori acesta nu se poate utiliza deoarece, frecvența de eșantionare ce rezultă, nu este potrivită apărând erori de aliere. Pe baza condițiilor din teorema 2, capitolul 5, se calculează numărul minim util N_u ce poate fi utilizat. De asemenea, se crează și un tabel de unde se pot obține și alte valori pentru numărul de eșantioane ce pot fi achiziționate dintr-o perioadă a semnalului analizat, valori care sunt mai mari decât N_u .

Ca date de intrare trebuie date frecvența f_1 a fundamentalei semnalului modulator, ordinul K corespunzător componentei armonice de ordin maxim din acest semnal și frecvența f_0 corespunzătoare purtătoarei. Se alege valoarea potrivită pentru m_1 (vezi anexa C), programul calculând mai departe ordinele $M1$ și $M2$ corespunzătoare armonicilor componentelor cu frecvențele de la capetele benzii de frecvențe. De asemenea, se obține și frecvența de eșantionare corespunzătoare unui număr de eșantioane ales.

Ca exemplu, se consideră: $f_1 = 1$, $K = 5$, $f_0 = 35$ și se alege $m_1 = 1$.

$$f_1 = 1 \quad K = 5 \quad f_0 = 35 \quad m_1 = 1$$

$$m_0 = \frac{f_0}{f_1} \cdot m_1 \quad M1 = m_0 - K \cdot m_1 \quad M1 = 30$$

$$m_0 = 35 \quad M2 = m_0 - K \cdot m_1 \quad M2 = 40$$

$$N_m = 2 \cdot (M2 - M1 - 1) - 1 \quad N_m = 23 \quad k = 1 \cdot N_m \cdot 2 \cdot N_m \quad x_1(k) = \frac{2 \cdot M1}{k} \quad x_2(k) = \frac{2 \cdot M2}{k}$$

$$f_e(k) = k \cdot f_1$$

$$N_u = (ind - 1)$$

$$nx = N_m$$

while ind=1

$$nx = nx + 1$$

$$con1 = \text{floor} \left(2 \cdot \frac{M1}{nx} \right)$$

$$con2 = \text{floor} \left(2 \cdot \frac{M2}{nx} \right)$$

$$con3 = \text{floor} \left(2 \cdot \frac{M1}{nx} \right) - 2 \cdot \frac{M1}{nx}$$

$$con4 = \text{floor} \left(2 \cdot \frac{M2}{nx} \right) - 2 \cdot \frac{M2}{nx}$$

$$ind = \text{if}(con1 = con2, \text{if}(con3 \neq 0, \text{if}(con4 \neq 0, 0, 1), 1), 1)$$

nx

$$N_u = 27$$

k	$x_1(k)$	$x_2(k)$	$f_e(k)$
23	2.608696	3.478261	23
24	2.5	3.333333	24
25	2.4	3.2	25
26	2.307692	3.076923	26
27	2.222222	2.962963	27
28	2.142857	2.857143	28
29	2.068966	2.758621	29
30	2	2.666667	30
31	1.935484	2.580645	31
32	1.875	2.5	32
33	1.818182	2.424242	33
34	1.764706	2.352941	34
35	1.714286	2.285714	35
36	1.666667	2.222222	36
37	1.621622	2.162162	37
38	1.578947	2.105263	38
39	1.538462	2.051282	39
40	1.5	2	40
41	1.463415	1.95122	41
42	1.428571	1.904762	42
43	1.395349	1.860465	43
44	1.363636	1.818182	44
45	1.333333	1.777778	45
46	1.304348	1.73913	46

În urma calculelor, numărul minim de eșantioane ce trebuie prelevat este 27. Frecvența este tot 27 deoarece, $f_1 = 1$. Din tabelul de mai sus de pot alege și alte valori, notate k , pentru numărul de eșantioane prelevat. Conform teoremei din paragraful 5.2, valorile corecte pentru k sunt cele pentru care părțile întregi ale lui x_1 și x_2 sunt egale și x_1 sau x_2 nu sunt numere întregi.